

FACULTAD DE INGENIERÍA

Escuela Académico Profesional de Ingeniería Civil

Tesis

Mejoramiento de la subrasante del suelo arcilloso con adición de ceniza de cabuya y fibras PET en el tramo Socos - Yanayacu, Ayacucho

Jhonatan Ayala Guevara

Para optar el Título Profesional de Ingeniero Civil

Huancayo, 2025

Repositorio Institucional Continental Tesis digital



Esta obra está bajo una licencia "Creative Commons Atribución 4.0 Internacional"

INFORME DE CONFORMIDAD DE ORIGINALIDAD DE TRABAJO DE INVESTIGACIÓN

Α	:	Decano de la Facultad de Ingeniería		
DE	:	Juan Jose Bullon Rosas		
ASUNTO		Asesor de trabajo de investigación Remito resultado de evaluación de originalidad de trabajo o	de investigació	ာ်က
FECHA	:	10 de Octubre de 2025	de investigació	711
Con sumo a de investiga	_	o me dirijo a vuestro despacho para informar que, en mi condic	ción de asesor (del trabajo
ſítulo: "Mejorar la	a subr	asante del suelo arcilloso con adicion de ceniza de cabuya y Socos – Yanayacu, Ayacucho"	fibras PET en	el tramo
Autor: Jhonatan Ay	yala C	Guevara – EAP. Ingeniería Civil		
de las coinc	cidend	a carga del documento a la plataforma "Turnitin" y se realizó cias resaltadas por el software dando por resultado 17 % de nados a plagio. Se utilizaron los siguientes filtros:		
• Filtro de ex	xclusiá	ón de bibliografía	SI x	NO
		ón de grupos de palabras menores excluidas (en caso de elegir "SI"): 15	SI X	NO
• Exclusión (de fue	ente por trabajo anterior del mismo estudiante	SI X	NO
	milituc	, se determina que el trabajo de investigación constituye u d de otros autores (citas) por debajo del porcentaje estable		

Recae toda responsabilidad del contenido del trabajo de investigación sobre el autor y asesor, en concordancia a los principios expresados en el Reglamento del Registro Nacional de Trabajos conducentes a Grados y Títulos – RENATI y en la normativa de la Universidad Continental.

Atentamente,

La firma del asesor obra en el archivo original (No se muestra en este documento por estar expuesto a publicación)

Asesor

Dr. JUAN BULLON ROSAS

DEDICATORIA

A mis amados padres, Hugo Efrain Ayala Torre y Consuelo Exaltación Guevara Vargas, quienes con su amor incondicional, apoyo constante y sabiduría infinita han sido mi fuente de inspiración y fortaleza a lo largo de este viaje académico. Cada logro alcanzado en esta tesis es el reflejo de sus sacrificios y enseñanzas. A ustedes les dedico este trabajo con profundo agradecimiento y amor eterno.

AGRADECIMIENTOS

Quiero expresar mi sincero agradecimiento a la Universidad Continental por brindarme la oportunidad de formarme académicamente en un ambiente enriquecedor y de excelencia. Agradezco a todos los profesores y personal administrativo que han contribuido a mi desarrollo durante estos años.

Un agradecimiento especial merece el Ing. Juan Bullón Rosas, mi asesor, cuya orientación, paciencia y conocimientos han sido fundamentales en la culminación de este proyecto. Su guía experta y dedicación han dejado una marca significativa en mi aprendizaje y crecimiento académico.

A la Universidad Continental y al Ing. Juan Bullón Rosas, les expreso mi profundo reconocimiento y gratitud por su valioso aporte a mi formación profesional.

ÍNDICE

Asesor		ii
DEDICATO	ORIA	iii
AGRADEC	CIMIENTOS	iv
ÍNDICE		v
ÍNDICE DE	E TABLAS	viii
ÍNDICE DE	E FIGURAS	ix
RESUMEN	T	X
ABSTRAC'	Т	xi
INTRODU	CCIÓN	xii
CAPÍTULO) I	14
	MIENTO DEL ESTUDIO	
	anteamiento y formulación del problema	
1.1.1.	Realidad problemática	
1.1.2.	Formulación del problema	
1.2. Ob	jetivos	
1.2.1.	Objetivo general	
1.2.2.	Objetivos específicos	
1.3. Jus	stificación en importancia	16
1.3.1.	Justificación	16
1.3.2.	Importancia	17
1.4. Hij	pótesis y descripción de variables	18
1.4.1.	Hipótesis	18
1.4.2.	Variables	18
CAPITULO	O II	20
	EÓRICO	
	tecedentes del problema	
2.1.1.	Antecedentes internacionales	
2.1.2.	Antecedentes nacionales	23
2.2. Bas	ses teóricas	26

2.2.1.	Suelos	26
2.2.2.	Origen de los suelos	26
2.2.3.	Granulometría del suelo	26
2.2.4.	Clasificación del suelo	27
2.2.5.	Límites de consistencia del suelo	35
2.2.6.	Contenido de humedad óptimo	39
2.2.7.	Densidad seca máxima (gr/cm³)	40
2.2.8.	El índice CBR en la evaluación de la calidad de una subrasante	40
2.2.9.	Aspectos importantes de una subrasante	44
2.2.10.	Estabilizacion de suelos	45
2.2.11.	Polímeros	46
2.2.12.	Cabuya	47
2.3. Def	linición de términos básicos	49
CAPITULO	Э Ш	51
METODOL	OGÍA	51
3.1. Mé	todo y alcance de la investigación	51
3.1.1.	Metodo	51
3.1.2.	Tipo	52
3.1.3.	Alcance	52
3.1.4.	Diseño	52
3.1.5.	Población y muestra	52
3.2. Ma	teriales y métodos	53
3.2.1.	Materiales	53
3.2.2.	Métodos	53
3.3. Des	sarrollo de la investigación	53
3.3.1.	Generalidades	53
3.3.2.	Programa de investigaciones geotecnicas	54
CAPITULO) IV	64
RESULTAI	OOS Y DISCUSIÓN	64
4.1. Res	sultados del tratamiento y análisis de la información	64
4.1.1.Ca	aracterización física de los suelos evaluados en estado natural	64
4.1.2.	Caracterízacion mecanicas de los suelos evaluados	68
4.2. Pri	ieba de hipótesis	72

	Adición de ceniza de cabuya y fibras PET en la comp so para subrasante	
	Adición de ceniza de cabuya y fibras PET en la capación rcilloso para subrasante	•
4.3. Dis	scusión de resultados	75
	Adición de ceniza de cabuya y fibras PET en la comp so para subrasante	
	Adición de ceniza de cabuya y fibras PET en la capación rcilloso para subrasante	_
CONCLUS	SIONES	82
RECOMEN	NDACIONES	83
REFEREN	CIAS BIBLIOGRÁFICAS	84
ANEXOS		87

ÍNDICE DE TABLAS

Tabla 1. Clasificación de suelos según tamaño de partículas	27
Tabla 2. Condición del suelo de subrasante según su índice de grupo	29
Tabla 3. Sistema de clasificación AASHTO	32
Tabla 4. Símbolos para fines de identificación de suelos en el Sistema Unificado	33
Tabla 5. Grupos de clasificación de suelos del Sistema Unificado	34
Tabla 6. Correlación entre los sistemas de clasificación AASHTO y SUCS	35
Tabla 7. Clasificación de un suelo según su índice de plasticidad	38
Tabla 8. Clasificación de un suelo según su índice de plasticidad	39
Tabla 9. Categorías de subrasante en función de su índice CBR	41
Tabla 10. Composicion química de la ceniza de cabuya	49
Tabla 11. Tratamientos de dosificaciones de la ceniza de cabuya y fibras de pet adiciona	das al
suelo	52
Tabla 12. Ensayos para el suelo a nivel de subrasante	63
Tabla 13. Analisis granulométrico Socos - Yanayacu	64
Tabla 14. Porcentaje de suelo (Grava, Arenas y Finos)	65
Tabla 15. Contenido de humedad y humedad optima	66
Tabla 16. Limites de consistencia del suelo en estado natural	67
Tabla 17. Óptimo contenido de humedad y Máxima densidad seca del suelo	69
Tabla 18. CBR del suelo con ceniza de cabuya y fibras PET	71
Tabla 19. ANOVA: óptimo contenido de humedad del suelo con ceniza de cabuya y fibras	s PET
	72
Tabla 20. Prueba de Duncan: óptimo contenido de humedad del suelo con ceniza de cab	uya y
fibras PET	73
Tabla 21. ANOVA: máxima densidad seca del suelo con ceniza de cabuya y fibras PET.	73
Tabla 22. Prueba de Duncan: máxima densidad seca del suelo con ceniza de cabuya y	fibras
PET	74
Tabla 23. ANOVA: CBR del suelo con ceniza de cabuya y fibras PET	74
Tabla 24. Prueba de Duncan: CBR del suelo con ceniza de cabuya y fibras PET	75

ÍNDICE DE FIGURAS

Figura 1. Límites de consistencia y variación del volumen de la masa del suelo	37
Figura 2. Símbolo del polietileno tereftalato.	46
Figura 3. Vista satelital del tramo de la carretera Socos – Yanayacu.	54
Figura 4. Excavacion de las calicatas de estudio	56
Figura 5. Muestreo de material en laboratorio	57
Figura 6. Ensayo de granulometría	59
Figura 7. Ensayo de límite líquido	60
Figura 8. Ensayo de límite plástico	61
Figura 9. Ensayo de Proctor modificado	61
Figura 10. Ensayo de C.B.R.	62
Figura 11. Plastico PET triturado en la planta industrial MMOLPLAST	62
Figura 12. Ceniza de cabuya	63
Figura 13. Curva granulométrica del material en las calicatas	66
Figura 14. Contenido de humedad natural y humedad ótpima	67
Figura 15. Relación porcentaje de humedad – número de golpes (calicata 1)	68
Figura 16. Óptimo contenido de humedad del suelo con ceniza de cabuya y fibras PET	69
Figura 17. Máxima densidad seca del suelo con ceniza de cabuya y fibras PET	70
Figura 18. CBR del suelo con ceniza de cabuya y fibras PET	71

RESUMEN

La presente investigación tiene como objetivo general determinar la influencia de la adición de ceniza de cabuya y fibras PET para mejorar la subrasante de suelo arcilloso en el tramo Socos - Yanayacu, Ayacucho. La investigación corresponde al método científico, de tipo aplicada, nivel explicativo y diseño experimental. La población del estudio estuvo conformada por el suelo de la subrasante en una distancia de 3 Km del tramo Socos -Yanayacu, en la región Ayacucho. La muestra estuvo delimitada por el suelo de las 7 calicatas del tramo de estudio, las cuales tuvieron una profundidad de 1.5 metros y se ejecutaron al lado derecho de la via. Los resultados evidenciaron que los suelos del tramo Socos – Yanayacu presentan una alta proporción de partículas finas, ya que más del 50% pasa el tamiz N°200, lo que los hace susceptibles a la deformación y de baja capacidad portante. El contenido de humedad natural superó la humedad óptima en la a de suelos arcillosos. Respecto a la adición de ceniza de cabuya y fibras PET, se logró mejorar significativamente la compactación del suelo, alcanzando densidades secas máximas superiores a 2.000 g/cm³ y reduciendo la humedad óptima en el suelo de algunas calicatas. En cuanto a la capacidad de soporte, el índice CBR pasó de valores bajos como 3.7% y 5.1% en el suelo natural a más de 80% en los suelos tratados, siendo el tratamiento 2 (6% ceniza de cabuya + 5% fibras PET) el más efectivo. El análisis estadístico con análisis de varianza y prueba de Duncan confirmó que los tratamientos aplicados influyen significativamente en la densidad seca máxima y el CBR del suelo, validando la efectividad del uso de ceniza de cabuya y fibras PET como estabilizantes para subrasantes en vías rurales. De esta forma, se concluye que la adición de ceniza de cabuya y fibras PET influyen significativamente en la mejora de la subrasante de suelo arcilloso en el tramo Socos - Yanayacu, Ayacucho.

Palabras clave: Estabilización, máxima densidad seca, óptimo contenido de humedad, plasticidad, subrasante, suelo arcilloso.

ABSTRACT

The general objective of this research was to determine the influence of the addition of cabuya ash and PET fibers to improve the subgrade of clayey soil in the Socos - Yanayacu, Ayacucho stretch. The research corresponds to the scientific method, applied type, explanatory level and experimental design. The study population consisted of the subgrade soil in a distance of 3 km of the Socos - Yanayacu section, in the Ayacucho region. The sample was delimited by the soil of the 7 pits of the study section, which had a depth of 1.5 meters and were executed on the right side of the road. The results showed that the soils of the Socos - Yanayacu section have a high proportion of fine particles, with more than 50% passing the N°200 sieve, which makes them susceptible to deformation and of low bearing capacity. The natural moisture content exceeded the optimum moisture content in most of the test pits, and the consistency limits indicate low to medium plasticity, typical of clayey soils. With respect to the addition of cabuya ash and PET fibers, soil compaction was significantly improved, reaching maximum dry densities above 2,000 g/cm³ and reducing the optimum soil moisture in some pits. In terms of bearing capacity, the CBR index went from low values of 3.7% and 5.1% in the natural soil to more than 80% in the treated soils, with treatment 2 (6% cabuya ash + 5% PET fibers) being the most effective. Statistical analysis with analysis of variance and Duncan's test confirmed that the treatments applied significantly influence the maximum dry density and CBR of the soil, validating the effectiveness of the use of cabuya ash and PET fibers as stabilizers for subgrade in rural roads. Thus, it is concluded that the addition of cabuya ash and PET fibers significantly influence the improvement of the clay soil subgrade in the Socos - Yanayacu section, Ayacucho.

Keywords: Stabilization, maximum dry density, optimum moisture content, plasticity, subgrade, clayey soil.

INTRODUCCIÓN

En el ámbito de la Ingeniería Geotécnica, la mejora de las características de suelos arcillosos representa un desafío significativo y esencial para garantizar la estabilidad y durabilidad de las infraestructuras viales. En el tramo Socos — Yanayacu en Ayacucho, es típico encontrar suelos arcilloso en la subrasante, debido a las formaciones geológicas, por lo que demanda soluciones innovadoras y sostenibles para mejorar las propiedades geotécnicas del terreno. En este contexto, la presente investigación se centra en la evaluación de la influencia de la adición de ceniza de cabuya y fibras de PET. La ceniza de cabuya proviene de residuos agroindustriales y las fibras de PET derivan de botellas de plástico reciclado, destacando como alternativas para mitigar las deficiencias propias a los suelos arcillosos.

Así, la investigación corresponde al método científico, de tipo aplicada, nivel explicativo y diseño experimental; con una población representada por el suelo de la subrasante en una distancia de 3 Km del tramo Socos – Yanayacu, en la región Ayacucho, del cual se analizaron las caracteristicas físicas y mecánicas.

La investigación comprendió el acopio de ceniza de cabuya y fibras PET recicladas, así como la excavación de calicatas y la extracción del material mas representativo que se encontró en el segundo estrato. Las proporciones de ceniza de cabuya fueron el 3% y 6%, y la proporción de las fibras PET fue al 5%. En laboratorio, se realizaron los ensayos de caracterización física como granulometría, contenido de humedad y plasticidad; para evaluar las propiedades mecánicas de la subrasante de suelo arcillos con ceniza de cabuya y fibras PET se realzaron las pruebas de compactación y capacidad de soporte o CBR, que mejoraron significativamente en función al aumento de las proporciones de ceniza junto a las fibras.

El informe de investigación se compone de cinco capítulos. En el capítulo I, el planteamiento del problema, describe el problema y la formulación del problema, objetivos, justificación e importancia, hipótesis y variables. En el capítulo II, el marco teórico, se adjuntan los antecedentes internacionales y nacionales, junto con las bases teóricas de la investigación y la definición de términos básicos. En el capítulo III, la metodología, se adjunta el método, tipo, alcance, diseño, población y muestra, materiales y métodos de la investigación. En el capítulo IV de resultados se presentan los resultados, la prueba de hipótesis y la discusión de resultados en función a los objetivos planteados. En el capítulo V se presentan las conclusiones y recomendaciones de la investigación. Finalmente se adjuntan las referencias

bibliográficas y los anexos del estudio; como la operacionalización de variables, matriz de consistencia, certificados de laboratorio, y la evidencia fotográfica de la ejecución de la investigación.

CAPÍTULO I PLANTEAMIENTO DEL ESTUDIO

1.1. Planteamiento y formulación del problema

1.1.1. Realidad problemática

A nivel global, la Ingeniería Civil desempeña un papel crucial en la edificación de carreteras y otras infraestructuras vitales. La constante amenaza de inestabilidad del suelo representa un desafío que puede generar inconvenientes significativos en las redes de comunicación. No obstante, mediante una comprensión detallada de las características geológicas y naturales del suelo y la realización de evaluaciones geotécnicas exhaustivas, es posible implementar medidas adecuadas para asegurar la estabilidad y durabilidad de las estructuras viales (1).

"En América Latina, se están desarrollando proyectos de investigación con el propósito de aprovechar las particularidades de los suelos para obtener beneficios sustanciales. Sin embargo, en el ámbito de la construcción de carreteras, la presencia común de suelos finos en la región representa un desafío significativo para los profesionales que buscan establecer vías adecuadas a nivel mundial" (2)(3), observan que a nivel mundial se ha enfrentado el desafío de adaptar los suelos, tradicionalmente abordado mediante el costoso reemplazo de suelos problemáticos por otros más apropiados. En la actualidad, la demanda de estabilizadores de suelo en el mercado ofrece alternativas, logrando la estabilización del suelo mediante la combinación y optimización de las propiedades de diferentes materiales. Adicionalmente, según Ramaji el refuerzo del suelo implica el uso de aditivos, ya sean naturales o sintéticos, para mejorar las características de los estratos del suelo. Diversas

técnicas de refuerzo están disponibles para estabilizar suelos problemáticos. Pino (2010) señala que muchos países enfrentan la escasez de financiamiento para proyectos de construcción y mantenimiento de vías, lo que subraya la necesidad de establecer técnicas más eficientes en términos de costo y efectividad desde una perspectiva económica (4).

En el contexto peruano, se afrontan desafíos que impactan las carreteras, ya sea por cuestiones constructivas o por las propiedades de los suelos presentes en la subrasante. Debido a que los suelos pueden ser arcillosos y/o limosos, con altas y bajas proporciones. En las regiones de la sierra y selva de Perú, son frecuentes los terrenos inestables y deficiencias para subrasante debido a las condiciones climáticas particulares de esas áreas. Ante esta situación, se han considerado diversas metodologías para estabilizar el suelo, haciendo uso de recursos naturales disponibles en las zonas de intervención; con la finalidad de aprovechar los recursos locales y encontrar soluciones específicas que se adecuen a las características particulares de los suelos en la región (5).

La región de Ayacucho presenta degradación en las rutas vecinales debido a factores ambientales y la falta de mantenimiento, lo que resulta en el aumento de los costos de transporte y dificultades en el acceso al comercio. El tramo Socos - Yanayacu, es un camino vecinal de 3 km que enfrenta desafíos específicos debido a la presencia de suelo arcilloso, conocido por su alta plasticidad y baja capacidad de soporte. Esta particularidad hace que la construcción de infraestructuras viales sea un desafío, debido a la tendencia del suelo a expandirse y contraerse ante las variaciones climáticas, lo que ocasiona la formación de grietas y deformaciones en la superficie de la carretera.

De esta forma, la investigación plantea abordar el problema de la estabilización de suelos arcillosos, mediante la adición de ceniza de cabuya y fibras de PET como un enfoque innovador. Donde la ceniza de cabuya es un subproducto de la industria textil y las fibras de PET provienen de botellas de plástico recicladas; que presentan importantes propiedades mecánicas y potencial para estabilizar suelos.

1.1.2. Formulación del problema

Problema general

¿De qué forma influye la adición de ceniza de cabuya y fibras PET para mejorar la subrasante de suelo arcilloso en el tramo Socos – Yanayacu, Ayacucho?

Problemas específicos

a. ¿De qué forma influye la adición de ceniza de cabuya y fibras PET en la compactación del suelo arcilloso para subrasante?

b. ¿De qué forma influye la adición de ceniza de cabuya y fibras PET en la capacidad de soporte del suelo arcilloso para subrasante?

1.2. Objetivos

1.2.1. Objetivo general

Determinar la influencia de la adición de ceniza de cabuya y fibras PET para mejorar la subrasante de suelo arcilloso en el tramo Socos – Yanayacu, Ayacucho.

1.2.2. Objetivos específicos

- a. Determinar la influencia de la adición de ceniza de cabuya y fibras PET en la compactación del suelo arcilloso para subrasante.
- b. Determinar la influencia de la adición de ceniza de cabuya y fibras PET en la capacidad de soporte del suelo arcilloso para subrasante.

1.3. Justificación en importancia

1.3.1. Justificación

Justificación teórica

La subrasante de suelo arcilloso presenta limitaciones técnicas significativas en proyectos viales, como baja capacidad portante, alta plasticidad y sensibilidad a los cambios de humedad, lo que compromete la durabilidad y funcionalidad del pavimento. Frente a ello, el uso de materiales alternativos como la ceniza de cabuya, con propiedades puzolánicas, y las fibras PET recicladas, con buena resistencia a la tracción y estabilidad química, surge como una solución sostenible y eficiente para mejorar el comportamiento mecánico del suelo. La combinación de ambos materiales permite no solo estabilizar químicamente la matriz del suelo, sino también reforzarla físicamente, contribuyendo a la mejora de su resistencia y la reducción de la deformación.

Justificación social

La mejora de la subrasante de suelo arcilloso en el tramo Socos — Yanayacu, Ayacucho, mediante la adición de ceniza de cabuya y fibras PET recicladas, representa una oportunidad para generar impacto social positivo en las comunidades locales. Este enfoque no solo busca optimizar la calidad de las vías de comunicación, facilitando el acceso a servicios básicos, centros educativos, mercados y atención médica, sino que también promueve la inclusión de prácticas sostenibles y el reaprovechamiento de residuos locales, como la cabuya y el plástico. Al involucrar recursos disponibles en la zona y fomentar una economía circular, se contribuye al desarrollo socioeconómico, la generación de empleo y la mejora de la calidad de vida de

los habitantes, especialmente en contextos rurales donde las deficiencias en infraestructura vial limitan el progreso.

Justificación metodológica

Desde el enfoque metodológico, la presente investigación se fundamenta en un diseño experimental que permitirá evaluar cuantitativamente la influencia de la adición de ceniza de cabuya y fibras PET recicladas en las propiedades geotécnicas del suelo arcilloso de la subrasante en el tramo Socos – Yanayacu, Ayacucho. A través de ensayos estandarizados de laboratorio, como el CBR y el Proctor modificado, se analizarán las muestras con adición y sin adición de fibras y ceniza de cabuya, para determinar los cambios en la capacidad de soporte y comportamiento mecánico del suelo. Esta metodología garantiza la validez técnica y científica de los resultados, permitiendo establecer correlaciones confiables y replicables que justifiquen el uso de estos materiales alternativos en futuras soluciones de estabilización vial en contextos similares.

Justificación ambiental

La investigación propuesta promueve una solución ambientalmente sostenible al incorporar ceniza de cabuya y fibras PET recicladas como estabilizantes del suelo arcilloso en la subrasante del tramo Socos – Yanayacu, Ayacucho, contribuyendo a la reducción de residuos orgánicos e inorgánicos que comúnmente son desechados sin un aprovechamiento técnico. Ya que, el uso de ceniza de cabuya permite aprovechar subproductos agroindustriales locales, mientras que la reutilización de botellas PET disminuye el volumen de desechos plásticos que contaminan suelos y cuerpos de agua. Esta iniciativa fomenta una gestión sostenible de materiales, reduce la huella de carbono asociada al uso de estabilizantes industriales convencionales y refuerza la práctica de economía circular en proyectos de infraestructura vial, alineándose con los principios de protección y conservación del medio ambiente.

1.3.2. Importancia

El estudio es importante porque propone una alternativa innovadora, sostenible y de bajo costo para mejorar la calidad de las subrasantes en vías rurales, específicamente en el tramo Socos — Yanayacu, Ayacucho, una zona donde las condiciones del suelo arcilloso dificultan el desempeño y durabilidad de la infraestructura vial. Al emplear ceniza de cabuya y fibras PET recicladas, se busca no solo mejorar el comportamiento mecánico del suelo, sino también contribuir al aprovechamiento de recursos locales y residuos sólidos, generando beneficios técnicos, sociales, económicos y ambientales. Los resultados podrán servir como base para futuras investigaciones y proyectos de estabilización de suelos en contextos similares,

18

fortaleciendo la planificación de carreteras sostenibles en regiones con limitada inversión en

infraestructura.

1.4. Hipótesis y descripción de variables

1.4.1. Hipótesis

Hipótesis general

La adición de ceniza de cabuya y fibras PET influyen significativamente en la mejora de la

subrasante de suelo arcilloso en el tramo Socos – Yanayacu, Ayacucho.

Hipótesis especificas

a. La adición de ceniza de cabuya y fibras PET influyen significativamente en la

compactación del suelo arcilloso para subrasante.

b. La adición de ceniza de cabuya y fibras PET influyen significativamente en la

capacidad de soporte del suelo arcilloso para subrasante.

1.4.2. Variables

Variable independiente 1: Ceniza de cabuya

La ceniza de cabuya es un subproducto resultante de la combustión controlada de las fibras

de cabuya, utilizadas tradicionalmente para fabricar sogas o tejidos. Esta ceniza, rica en

compuestos minerales como sílice, calcio y potasio, ha demostrado potencial como material

puzolánico en la estabilización de suelos. En aplicaciones viales, se investiga su uso como

aditivo natural y sostenible para mejorar las propiedades geotécnicas de suelos arcillosos, tales

como la resistencia a la compresión y la reducción de la plasticidad, ofreciendo una alternativa

ecológica y de bajo costo (Evaluación de la ceniza de cabuya como aditivo para la

estabilización de suelos arcillosos, 2020).

Variable independiente 2: Fibras PET

Las fibras PET (polietileno tereftalato) son materiales sintéticos obtenidos a partir del reciclaje

de botellas plásticas, que se utilizan como refuerzo en mezclas de suelo o concreto en

ingeniería vial. Estas fibras presentan alta resistencia a la tracción, estabilidad química y

durabilidad, lo que las hace útiles para mejorar las propiedades mecánicas del suelo, como el

aumento de la capacidad portante, la reducción de la deformación plástica y el control de

fisuras (Uso de fibras PET recicladas en estabilización de suelos para aplicaciones viales,

2018).

Variable dependiente: Subrasante del suelo arcilloso

Capa natural o preparada, sobre la cual se apoya la estructura del pavimento en una carretera. Su función principal es proporcionar soporte estructural a las capas superiores, distribuyendo las cargas del tráfico hacia el terreno natural. Cuando esta subrasante está compuesta predominantemente por suelo arcilloso, se habla de una subrasante de suelo arcilloso, que requiere de tratamientos o estabilización para mejorar su comportamiento frente a cargas y condiciones climáticas (Ministerio de Transportes y Comunicaciones, 2014).

CAPITULO II MARCO TEÓRICO

2.1. Antecedentes del problema

2.1.1. Antecedentes internacionales

Barragán (2019), en su tesis "Análisis del comportamiento físico mecánico de la adición de ceniza de cascarilla de arroz de la variedad blando a un suelo areno-arcilloso", tuvo como objetivo determinar las propiedades físicas y mecánicas de un suelo areno-arcilloso en la vereda San José, municipio de Agua de Dios, mediante una metodología experimental aplicada en una calicata ubicada en la vereda San José 01. La adición de cascarilla de arroz directamente al suelo natural, evidenció cambios significativos en las propiedades del suelo. El límite líquido del suelo patrón, inicialmente en un 40.05%, disminuyó a un 18.56% al agregar un 1% de ceniza de cascarilla de arroz. Asimismo, el índice de plasticidad, que era del 24% en el suelo natural, disminuyó a un 8.04% con la adición del 1% de ceniza de cascarilla de arroz. Resultados similares se obtuvieron al utilizar ceniza de fibra de fique, reduciendo tanto el límite líquido como el índice de plasticidad. En cuanto a la máxima densidad seca, que inicialmente era de 1.62 gr/cm3 en el suelo natural, se incrementó a 1.64 gr/cm3 al añadir un 1% de ceniza de cascarilla de arroz. Además, el óptimo contenido de humedad del suelo natural, que era del 24.5%, disminuyó a un 23.7% al incorporar un 1% de ceniza de cascarilla de arroz. Como conclusión se tiene que la adición del 1% de cascarilla de arroz demostró reducir el índice de plasticidad, aumentar la máxima densidad seca y disminuir el contenido óptimo de humedad, sugiriendo una mejora en las propiedades del suelo arenoarcilloso estudiado (6).

Ramos (2017), en su tesis "Análisis de la modificación de un suelo altamente plástico con cascarilla de arroz y ceniza volante para subrasante de un pavimento" tuvo como objetivo, analizar la modificación de un suelo altamente plástico, utilizando cascarilla de arroz y ceniza volante, con el propósito de emplearlo como subrasante para un pavimento. Este estudio se llevó a cabo mediante un enfoque experimental, tomando la población de la Plaza de Corabastos en la Av. 19, al norte de la ciudad de Bogotá. La muestra se obtuvo mediante tubos de Shelby a una profundidad de 1.20 m, y se emplearon ensayos como; CBR, límite de Atterberg, corte directo, compresión confinada y módulo resiliente.Los principales resultados muestran que la humedad óptima en el ensayo patrón (A0C0) fue un 24.26%. En los ensayos, se observó un mayor aumento en A6C10 (27.63%) y una disminución en A6C20 (24.57%). Densidad seca máxima (g/cm³), se registró un aumento de A6C30 (1.15 g/cm³) a A0C0 (1.34g/cm³), indicando cambios en la densidad del suelo. Para el CBR (Coeficiente de Soporte California), se realizaron tres pruebas de golpes con valores de 10 golpes (32.2% CBR), 25 golpes (26.5% CBR) y 56 golpes (21.4% CBR). Se concluye que no ocurrió fricción entre partículas, ya que no se observó un aumento en la densidad seca máxima (A6C30: 1.15 g/cm³ a A0C0: 1.34 g/cm³). Sin embargo, en términos de resistencia o CBR, el valor obtenido en A6C30 cumplió con el mínimo requerido para el pavimento, sugiriendo que la modificación del suelo fue efectiva para cumplir con los estándares necesarios (7).

Aeqib y Chakraborty (2020), en su articulo "Effects of Waste Glass Powder on Subgrade Soil Improvement. 2020"; el objetivo principal de este estudio fue observar el impacto del mejoramiento del suelo mediante la adición de residuos de vidrio en forma de polvo, con el propósito de reducir costos y preservar el medio ambiente. El diseño de la investigación fue de tipo experimental, y la población de estudio comprendió los suelos de la ciudad de Daca. Se empleó la técnica de observación y se utilizaron fichas técnicas de ensayos en laboratorio como instrumentos. Los resultados revelaron que al agregar vidrio triturado en forma de polvo que pasaba el tamiz N°200, se logró transformar el suelo original, inicialmente clasificado como arcilla inorgánica de baja plasticidad (CL). Asimismo, la plasticidad se redujo significativamente, disminuyendo del 21.52% al 15.5%. En cuanto al ensayo de compactación modificada, se registraron valores de 1.89 g/cm³, 1.95 g/cm³, 2.00 g/cm³, 2.03 g/cm³ y 2.03 g/cm³, superiores al valor original del suelo natural que era de 1.83 g/cm³. En el ensayo de capacidad de soporte CBR, se observó un aumento inicial del 1.56%, elevándose posteriormente a 2.45%, 4.2%, 6.5%, 8.9% y finalmente alcanzando un 10.4%. La conclusión principal del estudio sugiere que la adición óptima de polvo de vidrio fue del 8% en peso seco del suelo. Esto se respalda con el aumento de la densidad máxima seca de 1.83 g/cm3 a 2.03

g/cm3, el incremento del CBR del 1.56% al 10.4%, indicando que la tasa de mejora disminuyó después del 8% de polvo de vidrio (8).

Mishra y Kumar (2018), en su articulo "Use of randomly oriented polyethylene terephthalate (PET) fiber in combination with fly ash in subgrade of flexible pavement. 2018", el objetivo principal de este estudio fue lograr la utilización eficaz de la fibra PET y residuos industriales, específicamente cenizas volantes, en la subrasante de la construcción de pavimento flexible. Se trata de un estudio de tipo experimental, utilizando como población los suelos de la ciudad de Uttar Pradesh. La técnica empleada fue la observación y se emplearon fichas técnicas de ensayos en laboratorio como instrumentos de recolección de datos. Los resultados clave indicaron que la adición de fibra de PET en porcentajes de 0.4%, 0.8%, 1.2%, y 1.6%, junto con ceniza volante en proporciones de 5%, 10%, 15%, y 20%, mejoran significativamente la resistencia, especialmente evidenciada en el ensayo de CBR (Capacidad de soporte de California). La combinación óptima se encontró al agregar un 8% de fibra PET (1.2%) junto con un 15% de ceniza volante. Se concluyó que la adición de fibra PET y cenizas volantes contribuye de manera positiva a mejorar la resistencia de suelos arcillosos, lo que sugiere una aplicación eficaz de estos materiales en la construcción de pavimentos flexibles (9).

Ormeño (2020), en su artículo científico "Estabilización de una subrasante compuesta por arcilla de baja plasticidad con ceniza de cascara de arroz", el objetivo central de este estudio fue analizar la influencia de la ceniza de cascarilla de arroz (CCA) en la estabilización de la capa de subrasante de un pavimento compuesto por un suelo arcilloso de baja resistencia. El estudio tuvo un enfoque cuantitativo-experimental, realizado en la provincia de Chota, Cajamarca, con la muestra tomada de Calla Pampa. Los ensayos realizados fueron límites de Atterberg y el ensayo de CBR. Los resultados principales, al aplicar porcentajes de 10%, 15%, 25% y 30% de ceniza de cascarilla de arroz (CCA), revelaron que a medida que aumentaba el porcentaje de CCA, se observó un óptimo contenido de humedad. En relación con la máxima densidad seca, se registró una disminución de su valor al aumentar el porcentaje de CCA. En cuanto al CBR, se observó un incremento en la resistencia al aumentar el porcentaje de CCA. La conclusión del estudio destacó que a mayores proporciones de CCA, se experimentó un aumento en el contenido de humedad y una disminución en la densidad seca, al mismo tiempo que se incrementaba la resistencia medida por el CBR. Este hallazgo sugiere que la CCA mejora las propiedades del suelo, facilitando su compactación con menor energía requerida (10).

2.1.2. Antecedentes nacionales

Tupia (2021), en su tesis "Estabilización de suelos en la subrasante con cenizas de hojas de eucaliptos en la avenida Juan Velazco – Carabayllo en Lima, 2021", el objetivo principal de esta investigación fue estudiar la influencia de la adición de ceniza de hojas de eucalipto en la estabilización de la subrasante de la Avenida Juan Velazco en Carabayllo, Lima. L investigación fue de tipo aplicada, de diseño cuasi experimental, con un enfoque cuantitativo. La población estudiada fue la trocha carrozable de la Avenida Juan Velazco en el distrito de Carabayllo, por lo cual la muestra estuvo delimitada por un tramo de 2.4 km y 3 calicatas como puntos de estudio. Los resultados obtenidos indicaron que el suelo, según la clasificación AASHTO fue de tipo A-4 y del tipo arcilla inorgánica de baja plasticidad (NP) según la clasificación SUCS, en la calicata N°02. En estado natural, se obtuvo un Óptimo Contenido de Humedad (OCH) del 15.50% y una Máxima Densidad Seca (MDS) de 1.869 gr/cm3. Al incorporar la ceniza de hojas de eucalipto (CHE) en proporciones de 4.00%, 7.00% y 11.00%, el ensayo de Índice de Plasticidad indicó que el suelo se volvía No plástico en todos los casos. El OCH fue del 15.50% con una adición del 4.00%, y la MDS aumentó a 1.902 gr/cm³. Con la adición de 7.00% y 11.00% de CHE, el OCH fue del 15.70%, y la MDS alcanzó valores de 1.952 gr/cm3 y 1.973 gr/cm3, respectivamente. Además, se evaluó el CBR al 95.00%, obteniendo valores con la incorporación de CHE del 4.00%, 7.00% y 11.00% de 13.90%, 24.40%, y 25.80%, respectivamente, mientras que al 100% de CBR fueron de 24.10%, 32.00% y 33.90%. La conclusión principal de la investigación señala que la incorporación de ceniza de hojas de eucalipto del 11%, permite mejorar la subrasante de la Avenida Juan Velazco en Carbayllo, Lima (11).

Hoyle y Rodríguez (2019), en su tesis "Estabilización del suelo de la trocha carrozable con fibras de raquis de musa paradisiaca y cenizas de hojas eucaliptus de los caseríos Canchas a Colcap, Jimbe, Santa, Áncash — 2019", el objetivo central de esta investigación fue determinar de qué manera el uso de fibras de raquis de Musa afrodisiaca y ceniza de hojas de eucalipto estabiliza los suelos de la trocha carrozable del caserío Canchas a Colcap, Jimbe, Santa, Ancash. La investigación tuvo un diseño cuasi experimental, con un enfoque cuantitativo. La población del estudio comprendió la trocha carrozable en el tramo de los caseríos Canchas — Colcap, con una longitud de 3 kilómetros y un ancho de carril de 4 metros. La muestra estuvo conformada por el suelo de las 4 calicatas, ubicadas cada 1 kilómetro según las especificaciones del MTC. Los instrumentos utilizados para la recolección de datos fueron los registros de los ensayos estandarizados. Los resultados obtenidos en el suelo natural revelaron un valor de 6.75% del CBR al 95%, clasificándose como suelo granular. La

incorporación de ceniza de hojas de eucalipto y fibras de raquis de Musa afrodisiaca en proporciones de 5.00%, 10.00% y 15.00% mostró que el mejor rendimiento se obtuvo con un 10.00%, alcanzando un valor de CBR de 11.24%. En los ensayos con el Proctor modificado en las mismas proporciones, se obtuvieron resultados como 8.80% de OCH y MDS 1.862 gr/cm3 en el suelo natural, mientras que con la incorporación del 10.00% se alcanzó 9.40 OCH y MDS 1.930 gr/cm3, evidenciando una disminución del OCH y MDS. En cuanto a la clasificación de los suelos, la primera calicata reveló un contenido de grava del 43%, arena del 37.32%, arcilla y finos del 19.69%, con una clasificación SUCS de suelo SC (arena arcillosa) y AASHTO 7 (A-2-6 (0)), material granular con partículas finas arcillosas. Las calicatas tercera y cuarta presentaron similitudes en la clasificación, con presencia de grava del 54.87%, arena del 22.49%, y finos del 22.64%, clasificándose como SUCS (SM-SC) y AASHTO (A-2-4(0)), suelo granular con partículas finas arcillosas. De esta forma, se concluye que la proporción óptima de fibras de raquis de Musa paradisiaca y ceniza de hojas de eucaliptus fue el 10%; debido a que mejora el CBR y la densidad máxima seca del suelo para una trocha carrozable (12).

Terrones (2018), en su tesis "Estabilización de suelos Arcillosos adicionando Cenizas de Bagazo de caña para el mejoramiento de sub rasante en el sector Barraza, Trujillo-2018", el objetivo general de esta investigación fue determinar la influencia de la adición de ceniza de bagazo de caña de azúcar en porcentajes de 5%, 10%, y 15% en peso de suelo seco en la estabilización de suelos arcillosos en el sector Barraza. El diseño del estudio fue experimental y de diseño explicativo. La población de estudio fue el sector de Barraza, que abarca una longitud de 1.2 km, y la muestra se obtuvo mediante 3 calicatas a una profundidad de 1.50 m. Los ensayos realizados fueron Proctor modificado, compresión simple no confinada y el ensayo de CBR. Los resultados principales obtenidos con la adición de ceniza de bagazo de caña en porcentajes del 5%, 10%, y 15% fueron los siguientes: la máxima densidad seca fue de 2.03 gr/cm³ y 6.07% de humedad óptima, 2.06 gr/cm³ y 6.38% de humedad óptima, y 2.07 gr/cm³ y 8% de humedad óptima, en comparación con el suelo natural. En cuanto a la resistencia a la compresión, se registraron valores de 33.728 Kpa, 79.040 Kpa y 150.938 Kpa, respectivamente. El CBR fue de 22.27% para el tercer porcentaje de adición. En conclusión, para la máxima densidad seca las proporciones óptimas de ceniza de bagazo de caña de azúcar fueron de 5% y 10%, en cuanto a la resistencia a la compresión la proporción óptima fue del 15%, ya que se observó un aumento significativo en las propiedades del subrasante de 10 veces respecto al suelo natural. En el caso del CBR, al adicionar la proporción del 15% de ceniza de bagazo de caña de azúcar, este valor se incrementó en 12 veces, alcanzando un valor del 22.27%, lo que indica una mejora sustancial en las propiedades del subrasante. Destcando que la adición de ceniza de bagazo de caña de azúcar influye significativamente en la estabilización de suelos arcillosos (13).

Ramos (2022) en la tesis "Mejoramiento de suelo arcilloso nivel subrasante aplicando fibra de cabuya en Av. Cuzco - Distrito Mi Perú - Callao 2020", el propósito de este estudio fue determinar la influencia de la fibra de cabuya como estabilizante en el mejoramiento del suelo arcilloso a nivel subrasante en la Avenida Cuzco, distrito Mi Perú – Callao. Se utilizó una metodología de enfoque cuantitativo, con un diseño preexperimental, nivel descriptivo, y técnica de recolección basada en ensayos de laboratorio como análisis granulométrico, límites de Atterberg, compactación Proctor modificado, CBR e inmersión. La población estuvo constituida por toda la avenida Cuzco y la muestra fue no probabilística, representada por calicatas extraídas de la subrasante. Se realizaron tratamientos con adición de fibra de cabuya en proporciones de 10%, 15% y 20% al suelo natural. Los resultados demostraron que el valor del CBR aumentó de 19.5% (suelo natural) a 38.5% (con 20% de fibra de cabuya), además se mejoró la resistencia a la compresión no confinada y se redujo el índice de plasticidad. En conclusión, el uso de fibra de cabuya incrementa de forma significativa la capacidad portante y la estabilidad del suelo, evidenciando su viabilidad como aditivo natural y económico para mejorar subrasantes arcillosas (14).

Márquez (2019), en su tesis "Mejoramiento de la estabilización en la subrasante de suelos arcillosos usando plásticos reciclados PET en el distrito La Encantada, Provincia de Morropón. Piura, 2019", el objetivo general de la investigación fue mejorar las propiedades de los suelos arcillosos mediante la incorporación de plástico reciclado PET como estabilizante en la subrasante de la carretera no pavimentada del distrito La Encantada, provincia de Morropón, Piura. Se aplicó un enfoque cuantitativo con un diseño experimental, utilizando calicatas como muestra representativa del suelo. El estudio incluyó ensayos de laboratorio estandarizados, como análisis granulométrico, contenido de humedad, límites de Atterberg, ensayo Proctor modificado y CBR, tanto en muestras sin adición como en muestras con 6% de fibras de plástico PET. Los resultados indicaron que la adición de PET no modificó significativamente la granulometría del suelo, pero mejoró la resistencia al corte y la capacidad portante, duplicando el valor de CBR con respecto al suelo natural. En conclusión, el uso de fibras PET recicladas representa una alternativa eficaz y sostenible para estabilizar suelos arcillosos, permitiendo reducir el impacto ambiental por residuos plásticos y mejorar el desempeño de las vías rurales (15).

2.2. Bases teóricas

2.2.1. Suelos

"El término suelo puede ser conceptualizado desde diversas perspectivas, ya sea desde la Geología, Agronomía o la Ingeniería Civil. En el ámbito de la Ingeniería Civil, el suelo se define como un conjunto de partículas resultantes de la desintegración mecánica o descomposición química de rocas que existieron previamente". Según Villalaz, el suelo se caracteriza como "una delgada capa sobre la corteza terrestre compuesta por material proveniente de la desintegración y/o alteración física o química de las rocas, así como de los residuos generados por las actividades de los seres vivos que se asientan sobre ella" (16).

Esta definición resalta la naturaleza dinámica y compleja del suelo, que es el resultado de procesos geológicos, químicos y biológicos a lo largo del tiempo. Por lo cual, es importante comprender la composición y las propiedades del suelo en infraestructuras viales, ya que estas características impactan directamente en el diseño, construcción y mantenimiento de las carreteras (17).

2.2.2. Origen de los suelos

La mayoría de los suelos en la superficie terrestre se forman a través del proceso de meteorización de las rocas, que involucra tanto la destrucción química como la desintegración física de las rocas. El término "meteorización de las rocas", describe los diversos procesos externos que provocan la fragmentación de las rocas en partículas más pequeñas. Esta fragmentación, conocida como meteorización mecánica, representa un cambio físico (18). Adicionalmente a la meteorización mecánica, se encuentra la meteorización química, que implica la destrucción de los minerales constituyentes de la roca y alteraciones en su composición química. Durante este proceso, los minerales persistentes en la roca experimentan transformaciones, convirtiéndose en minerales con composiciones y propiedades físicas diferentes. Por lo que, este proceso complejo de meteorización contribuye de manera significativa a la formación y evolución de los suelos en la superficie terrestre.

2.2.3. Granulometría del suelo

El propósito fundamental del análisis granulométrico, es determinar la proporción de sus diversos elementos, que se clasifican según el tamaño de sus partículas para definirlas como grava, arena y material de grano fino que pueden ser limo y arcilla. Este proceso resulta esencial para comprender la composición granulométrica de un suelo (19).

Tabla 1. Clasificación de suelos según tamaño de partículas

Tipo de	material	Tamaño de las partículas			
Grava			75 mm - 4.75 mm		
	Arena gruesa		4.75 mm - 2.00 mm		
	Arena		2.00 mm - 0.425		
Arena	media Arena fina	mm	0 425 mm - 0 075		
Arena	Arena iina	mm	0.425 11111 - 0.075		
	Limo		0.075 mm - 0.005		
		mm			
Material fino	Arcilla		menor a 0.005 mm		

Nota: Tomado del MTC 2014:31.

La AASHTO M 145 – 91 define los términos "grava", "arena "y "limo – arcilla" de la siguiente manera:

- ✓ **Grava:** Material que entra en el tamiz con una abertura de 75 mm (3") y es retenido por el tamiz con un espesor de 2 mm (N° 10).
- ✓ **Arena gruesa:** material que pasa el tamiz 2 mm (No. 10) y es retenido en el tamiz 0.425 mm (No. 40).
- ✓ **Arena fina:** material que pasa el tamiz 0.425 mm (No. 40) y es retenido en el tamiz 75 μm (No. 200).
- ✓ **Limo** arcilla: material que pasa el tamiz 75 μm (No. 200).

2.2.4. Clasificación del suelo

2.2.4.1. Sistema de clasificación AASHTO

Procedimiento para la clasificación del suelo dentro de siete grupos, basados en la distribución del tamaño de partículas, límite líquido e índice de plasticidad. La evaluación del suelo dentro de cada grupo es hecha por medio del "índice de grupo" el cual es un valor calculado de una fórmula empírica. El grupo de clasificación, incluyendo el índice de grupo deben ser utilizados para evaluar la calidad relativa del material que constituye el suelo para uso en estructuras de trabajos con tierra, terraplenes, subrasantes, subbases y bases (20).

a. Índice de grupo (IG)

El índice de grupo es calculado a partir de la siguiente ecuación empírica:

$$IG = (F - 35)[0.2 + 0.005(LL - 40)] + 0.01(F - 15)(IP - 10)....(1)$$

Donde:

IG = índice de grupo

F = porcentaje que pasa el tamiz 75 µm (No. 200), expresado como un número entero. Este porcentaje está basado solo en el material que pasa el tamiz 75 mm (3").

LL = límite líquido

IP = índice de plasticidad

Consideraciones importantes sobre el índice de grupo:

Primer Término (Índice Parcial de Grupo con Límite Líquido):

Fórmula: (F-35)[0.2 + 0.005(LL-40)]

- Este término evalúa el índice parcial de grupo basado en el límite líquido.
- Si el límite líquido es igual o mayor a 40, este término contribuye al índice de grupo.

Segundo Término (Índice Parcial de Grupo con Índice de Plasticidad):

Fórmula: 0.01(F-15)(IP-10)

- Este término evalúa el índice parcial de grupo basado en el índice de plasticidad.
- Para suelos de los subgrupos A–2–6 y A–2–7, el índice de grupo se calcula solo con este término.

Criterios de Evaluación:

- El porcentaje mínimo crítico que pasa el tamiz 75 μm (No. 200) es 35, sin considerar la plasticidad, y 15 si el índice de plasticidad es mayor que 10.
- Un límite líquido de 40 o más se asume como crítico.
- Un índice de plasticidad de 10 o más se asume como crítico.

Consideraciones Adicionales:

- Si el índice de grupo calculado es negativo, se reporta como cero.
- Para suelos no plásticos sin límite líquido determinado, el índice de grupo se considera cero.
- El índice de grupo se reporta como el número entero más cercano.

Valor de Soporte:

- Bajo condiciones normales de buen drenaje y compactación, el valor de soporte de un material de subrasante puede asumirse como inversamente proporcional al índice de grupo.
- Un índice de grupo de cero indica un "buen material" de subrasante, mientras que un índice de grupo de 20 o más indica un "muy pobre material" de subrasante.
- Límite Superior del Índice de Grupo:
- No hay un límite superior para el valor del índice de grupo obtenido mediante esta fórmula.

- Fundamento de los Valores Críticos:
- Los valores críticos se basan en evaluaciones de subrasante, subbase y
 materiales de la capa de base realizadas por diversas organizaciones de
 carreteras utilizando las pruebas implicadas en este sistema de clasificación.

El (MTC, 2014), establece categorías del suelo para subrasante en función del valor del índice de grupo de acuerdo a la siguiente tabla.

Tabla 2. Condición del suelo de subrasante según su índice de grupo

Índice de grupo	Suelo de subrasante		
IG mayor que 9	Inadecuado		
IG está entre 4 a 9	Insuficiente		
IG está entre 2 a 4	Regular		
IG está entre 1 a 2	Bueno		
IG está entre 0 a 1	Muy bueno		

Nota: Tomado del MTC 2014:33

b. Descripción de los grupos de clasificación AASHTO

La AASHTO M 145 – 91, describe los grupos de clasificación de suelos (20) **Material granular** – contiene 35% o menos de material que pasa el tamiz 75 μm (No. 200).

La clasificación geotécnica de suelos se realiza según el sistema unificado de clasificación de suelos (USCS), el cual organiza los suelos en grupos y subgrupos basándose en sus características. A continuación se presenta una descripción de algunos de estos grupos y subgrupos.

- Grupo A 1: "Este conjunto abarca una combinación debidamente graduada de fragmentos de roca o grava, arena gruesa, arena fina, y un material aglutinante no plástico o ligeramente plástico. También engloba fragmentos de roca, grava, arena gruesa, cenizas volcánicas, entre otros elementos, excluyendo cualquier material aglutinante".
 - ✓ Subgrupo A − 1 − a: "Materiales constituidos principalmente por fragmentos de roca o grava bien gradada, con o sin aglutinante de material fino".
 - ✓ Subgrupo A 1 b: "Materiales constituidos principalmente por arena gruesa bien gradada, con o sin aglutinante".
- **Grupo A 3:** Este grupo se caracteriza por arena fina de playa o desierto sin finos de limo o arcilla, o con una pequeña cantidad de limo no plástico. Incluye

mezclas de arena fina pobremente gradada y cantidades limitadas de arena gruesa y grava.

- Grupo A 2: Este grupo abarca una variedad de materiales granulares en el límite entre los grupos A 1 y A 3, y los materiales limo arcillosos de los grupos A 4, A 5, A 6 y A 7. Incluye materiales con hasta un 35 por ciento que pasa el tamiz 75 μm (No. 200), que no cumplen las limitaciones para los grupos A 1 o A 3 debido al contenido de finos o plasticidad.
 - ✓ Subgrupos A 2 4 y A 2 5: "Materiales granulares con hasta un 35 por ciento que pasa el tamiz 75 μm (No. 200) y una porción menor a 0.425 mm (No. 40). Tienen características de los grupos A 4 y A 5, como grava y arena gruesa con contenido de limo o índice de plasticidad que excede las limitaciones del grupo A 1, y arena fina con contenido de limo no plástico que excede las limitaciones del grupo A 3".
 - ✓ Subgrupos A 2 6 y A 2 7: Materiales similares a los subgrupos A 2 4 y A 2 5, pero con una porción fina que contiene arcilla plástica con características de los grupos A 6 o A 7.

Materiales de limo y arcilla – contienen más del 35 por ciento de material que pasa el tamiz 75 μm (No. 200).

- Grupo A 4: Este grupo comprende suelos limosos no plásticos o moderadamente plásticos, con el 75 por ciento o más que pasa el tamiz 75 μm (No. 200). También incluye mezclas de suelo fino limoso con hasta un 64 por ciento de arena y grava retenida en el tamiz 75 μm (No. 200).
- Grupo A 5: Los suelos típicos en este grupo son similares a los del Grupo A –
 4, pero suelen ser de carácter diatomáceo o micáceo y pueden ser altamente elásticos, indicado por un alto límite líquido.
- Grupo A 6: Este grupo comprende suelos arcillosos plásticos con el 75 por ciento o más que pasa el tamiz 75 μm (No. 200). También incluye mezclas de suelo fino arcilloso con hasta un 64 por ciento de arena y grava retenida en el tamiz 75 μm (No. 200). Estos suelos suelen experimentar cambios volumétricos significativos entre los estados húmedo y seco.
- Grupo A 7: Los suelos típicos en este grupo son similares a los del Grupo A –
 6, pero tienen un elevado límite líquido, similar al Grupo A 5. Pueden ser elásticos y están sujetos a considerables cambios volumétricos.

- ✓ Subgrupo A 7 5: Incluye materiales con índice de plasticidad moderado en relación al límite líquido, altamente elásticos y sujetos a cambios volumétricos considerables.
- ✓ Subgrupo A -7 6: Incluye materiales con alto índice de plasticidad en relación al límite líquido, con cambios volumétricos extremadamente altos.
- Grupo A 8: Suelos altamente orgánicos como turba o estiércol. La clasificación se basa en inspección visual, no depende de porcentajes específicos. Son inadecuados para terraplenes y subrasantes debido a su alta compresibilidad y baja resistencia. Se caracterizan por su composición principalmente orgánica descompuesta, textura fibrosa, color marrón oscuro o negro, y olor a descomposición.

Tabla 3. Sistema de clasificación AASHTO

Clasificación general	Materiales granulares (35% o menos que pasa el tamiz No. 200)						Materiales de limo y arcilla (Más del 35% que pasa el tamiz No. 200)				
Clasificación de grupo	A-1		A-3	A-2			A-4	A - 5	A - 6	A-7 *	
	A-1-a	A-1-b		A-2-4	A-2- 5	A-2-	A- 2-7	-			A-7-5, A-7
Análisis por tamices, porcentaje que pasa:											
2.00 mm (No. 10)	50 máx	_	_	_	_	_	_	_	_	_	
0.425 mm (No. 40)	30 máx	50 máx	51 mín		_	_	_	_	_	_	
75 μm (No. 200)	15 máx	25 máx	10 máx	35 máx	35 máx	35 máx	35 máx	36 mín	36 mín	36 mín	36 mín
Características de la fracción que pasa el tamiz 0.425 mm (No.40):											
Límite líquido	-	_	_	40 máx.	41 mín	40 máx	41 mín	40 máx	41 mín	40 máx	41 mín
Índice de plasticidad	6 m	ıáx.	NP	10 máx.	10 máx	11 mín	11 mín	10 máx	10 máx	11 mín	11 mín
Tipos usuales de materiales constitutivos significativos	_	os de roca, y arena	Arena fina	Gı	-	ena limo	osas o	Suelos	s limosos	Suelo	s arcillosos
Calificación general como subrasante			Excelente	a bueno						Regular	a malo

^{*} IP del subgrupo A - 7 - 5 es menor o igual que LL menos 30; IP del subgrupo A - 7 - 6 es mayor que LL menos 30.

Nota: Tomado de la norma AASHTO M 145 – 91:2

2.2.4.2. Sistema Unificado de Clasificación de Suelos (SUCS)

En la actualidad este sistema se utiliza prácticamente en todo el trabajo geotécnico.

Tabla 4. Símbolos para fines de identificación de suelos en el Sistema Unificado

Símbolo	Descripción
G	Grava
S	Arena
M	Limo
С	Arcilla
0	Limos orgánicos y arcilla
н	Alta plasticidad
L	Baja plasticidad
W	Bien graduado
Р	Mal graduado
Pt	Turba y suelos altamente orgánicos

Nota: Tomado de (DAS, 2004).

La ASTM, mediante su práctica estándar D 2487 – 11, ha establecido un sistema riguroso para la clasificación de suelos con finesde aplicación en ingeniería. Este sistema se fundamenta en la evaluación de características de laboratorio cruciales, tales como el tamaño de las partículas, el límite líquido y el índice de plasticidad. Esta metodología se emplea cuando se busca una clasificación precisa y detallada (21).

Conforme a la siguiente tabla, este sistema de clasificación distingue tres divisiones principales de suelos: grano grueso, grano fino y altamente orgánicos. A su vez, estas divisiones se desglosan en un total de 15 grupos fundamentales de suelos (21).

Esta normativa proporciona un marco estructurado que permite a los ingenieros y profesionales relacionados con la geotecnia comprender y comunicar de manera efectiva las características y propiedades de los suelos, facilitando así un análisis más preciso y una toma de decisiones informada en proyectos de ingeniería.

Tabla 5. Grupos de clasificación de suelos del Sistema Unificado

Tipo de suelo	Símbolo de grupo	Nombre de grupo	Descripción del material
	GW	Grava bien gradada	Mezclas gravosas – poco o ningún material fino. Variación en tamaños granulares
	GP	Grava mal gradada	Mezcla de grava – arena – poco o ningún material fino
	GM	Grava limosa	Mezcla de grava – arena – limo
Suelos de grano	GC	Grava arcillosa	Mezcla de grava – arena – arcillas. Grava con material fino en cantidad apreciable
grueso (más de 50% retenido en el tamiz No. 200)	SW	Arena bien gradada	Mezcla de arena bien gradada – grava – poco o ningún material fino. Arena limpia con poco o ningún material fino. Amplia variación en tamaños granulares y cantidades de partículas en tamaños intermedios
•	SP	Arena mal gradada	Mezcla de arena mal gradada - grava - poco o ningún material fino. Un tamaño predominante o una serie de tamaños con ausencia de partículas intermedias
	SM	Arena limosa	Mezcla de arena - limo
	SC	Arena arcillosa	Mezcla de arena - arcilla
	CL	Arcilla inorgánica de baja plasticidad	Arcillas gravosas, arcillas arenosas, arcillas limosas, arcillas magras
0	ML	Limo inorgánico de baja plasticidad	Limos inorgánicos y arenas muy finas, polvo de roca, limo arcilloso, poco plástico, arenas finas limosas, arenas finas arcillosas
Suelos de grano fino (50% o más	OL	Arcilla orgánica Limo orgánico Arcilla	Limos orgánicos y arcillas limosas orgánicas de baja plasticidad
pasa el tamiz No. 200)	СН	inorgánica de alta plasticidad	Arcillas gruesas
200)	МН	Limo inorgánico de alta plasticidad	Limos inorgánicos, suelos finos limosos o arenosos micáceos o diatomáceos (ambiente marino, naturaleza orgánico silíceo), limos elásticos
	ОН	Arcilla orgánica Limo orgánico	Arcillas orgánicas de plasticidad media a alta, limos orgánicos
Suelos altamente orgánicos	Pt	Turba	Turba (carbón en formación) y otros suelos altamente orgánicos

Nota: Adaptado de la norma ASTM D 2487 – 11:2 y el MTC 2014:30.

Los sistemas de clasificación de suelos AASHTO y SUCS, se pueden correlacionar de acuerdo a la siguiente tabla.

Tabla 6. Correlación entre los sistemas de clasificación AASHTO y SUCS

Sistema de clasificación AASHTO (AASHTO M 145)	Sistema de clasificación SUCS (ASTM D 2487)			
A – 1 – a	GW, GP, GM, SW, SP,			
A – 1 – b	GM, GP, SM, SP			
A – 2	GM, GC, SM, SC			
A – 3	SP			
A – 4	CL, ML			
A – 5	ML, MH, CH			
A – 6	CL, CH			
A – 7	OH, MH, CH			

Nota: Tomado del (MTC, 2014).

2.2.5. Límites de consistencia del suelo

Los límites de consistencia, también conocidos como límites de Atterberg, según el MTC (Ministerio de Transportes y Comunicaciones), tienen como objetivos:

 Determinar la sensibilidad del comportamiento superficial ante variaciones de humedad.

Este paso implica analizar cómo la superficie reacciona a cambios en el contenido de humedad. Se puede llevar a cabo mediante pruebas específicas, como el ensayo de límites de Atterberg, que ayuda a identificar los cambios en las propiedades plásticas del suelo con variaciones en la humedad. La sensibilidad se evalúa observando las transiciones entre los estados sólido y plástico del suelo en función del contenido de humedad.

• Especificar los Límites de Contenido de Humedad para los tres estados sólidos:

✓ Estado Líquido

Este estado se caracteriza por un contenido de humedad suficiente para que el suelo adquiera una consistencia de líquido. Los límites específicos pueden establecerse mediante pruebas de límites de Atterberg, identificando el punto en el cual el suelo se comporta de manera similar a un líquido, con poca o ninguna resistencia al flujo.

✓ Estado plástico

Este estado se refiere al rango de contenido de humedad en el cual el suelo puede ser moldeado y conservar su forma. Los límites para este estado se

determinan observando la transición del suelo de un estado semisólido a uno plástico durante las pruebas de límites de Atterberg.

✓ Estado sólido

En este estado, el suelo tiene un contenido de humedad bajo y exhibe características sólidas, como cohesión y resistencia. Los límites de este estado se identifican al alcanzar un contenido de humedad donde el suelo deja de comportarse de manera plástica y adquiere una consistencia más rígida y sólida.

Estos límites proporcionan información valiosa sobre el comportamiento del suelo en diferentes estados y son esenciales para comprender y predecir su respuesta a las variaciones en el contenido de humedad.

Los límites de consistencia son determinados mediante ensayos de laboratorio, como el límite líquido, el límite plástico y el índice de plasticidad, y son fundamentales para comprender y caracterizar el comportamiento de los suelos en diferentes condiciones de humedad.

- a. Límite líquido (LL).- Es el contenido de humedad del suelo cuando pasa de un estado semilíquido a un estado plástico y tiene el potencial de moldearse.
- b. Límite plástico (LP). Es el contenido de humedad del suelo a medida que pasa de un estado plástico a un estado semisólido y comienza a descomponerse.
- c. Límite de contracción. (LC). Es el contenido de humedad cuando el suelo pasa de estar semisolido a sólido y deja de descender a medida que pierde humedad.

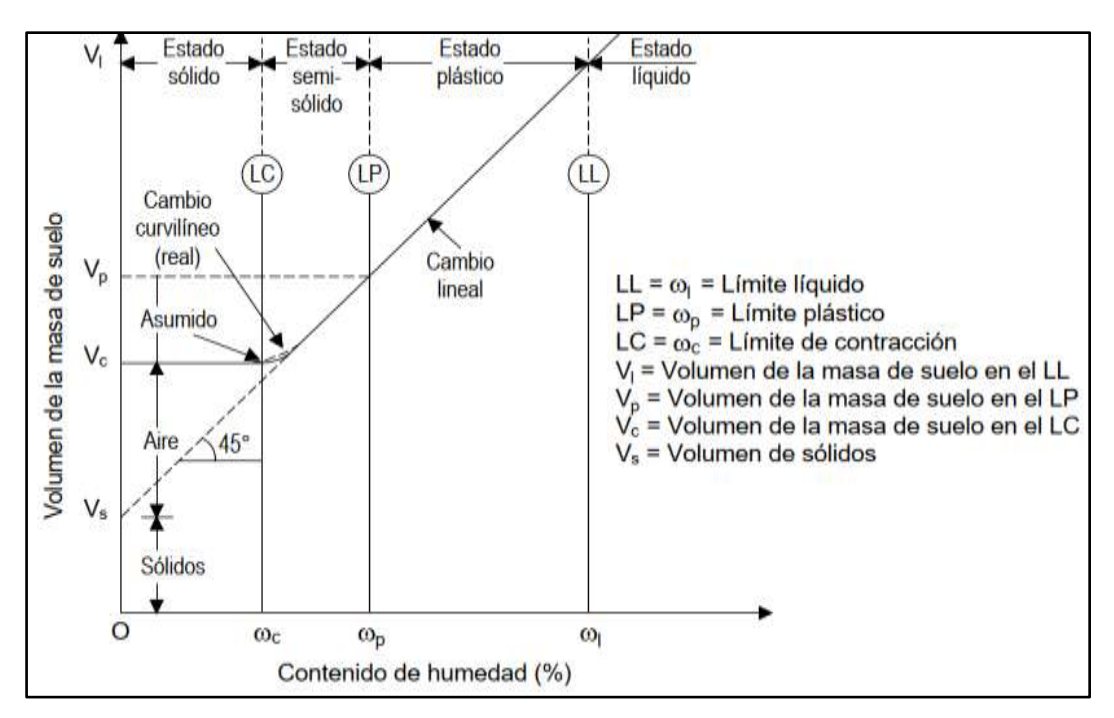


Figura 1. Límites de consistencia y variación del volumen de la masa del suelo

Nota: Tomado de Venkatramaiah 2006:59 (VENKATRAMAIAH, 2006)

El límite de contracción también muestra cuánto (en porcentaje) puede absorber el suelo sin pandearse, cuanto mayor sea el valor, menor será el potencial de expansión. También se puede utilizar para evaluar el comportamiento de corte y relleno, principalmente la aparición de grietas (MTC, 2014).

2.2.5.1. Índices obtenidos a partir de los límites de consistencia Índice de plasticidad

El parámetro que describe la diferencia entre los límites de líquido y plástico se conoce como el Índice de Plasticidad (IP). Este índice es una medida cuantitativa que proporciona información sobre el grado de plasticidad de un suelo. La fórmula para calcular el Índice de Plasticidad es la siguiente:

$$IP = LL - LP$$

En el caso en el que el límite plástico del suelo se clasifica como "no plástico" (NP), el índice de plasticidad se considera cero. Esta designación indica que el suelo no experimenta cambios significativos en su consistencia en respuesta a variaciones en el contenido de humedad. En otras palabras, el suelo no muestra propiedades plásticas discernibles en el rango de humedad evaluado.

El índice de plasticidad, al ser cero en este caso, sugiere que la superficie del suelo no presenta una transición marcada entre los estados sólido y plástico. Esta información es valiosa para la clasificación de suelos y proporciona detalles sobre la respuesta del suelo a condiciones de humedad.

Además, se menciona que el índice de plasticidad describe la longitud del período húmedo durante el cual el suelo exhibe una consistencia plástica. Este concepto destaca la importancia del índice de plasticidad en la comprensión de la variabilidad del suelo en diferentes condiciones climáticas y proporciona una base para su clasificación.

La relación entre el índice de plasticidad y la arcillosidad es mencionada, indicando que superficies con alto índice de plasticidad tienden a ser muy arcillosas, mientras que aquellas con bajo índice de plasticidad son ligeramente arcillosas. Esto refleja cómo la plasticidad del suelo está intrínsecamente vinculada a su composición y textura, lo cual es fundamental en la planificación y diseño de proyectos de ingeniería que involucran interacciones con el suelo.

Tabla 7. Clasificación de un suelo según su índice de plasticidad

índice de plasticidad	Plasticidad	Características		
IP > 20	Alta	Suelos muy arcillosos		
$7 < IP \le 20$	Media	Suelos arcillosos		
$IP \le 7$	Baja	Suelos poco arcillosos		
IP = 0	No plástico (NP)	Suelos exentos de arcilla		

Nota: Tomado del MTC 2014:32.

Según Crespo (2004), la plasticidad es una propiedad del suelo que se refiere a su capacidad para deformarse sin romperse. En otras palabras, es la habilidad del suelo para cambiar su forma y estructura sin experimentar fracturas o quiebres significativos. Esta característica permite medir el comportamiento del suelo en cualquier momento, ya que no presenta una pérdida de continuidad estructural incluso cuando se somete a deformaciones.

Las arcillas son conocidas por exhibir esta propiedad de plasticidad en diferentes grados. Este comportamiento plástico de las arcillas es esencial para comprender su respuesta a las fuerzas aplicadas y su capacidad para retener agua. La plasticidad de las arcillas es una característica distintiva que las diferencia de otros tipos de suelos, y su estudio es crucial en la Ingeniería Civil y la Geotecnia.

La plasticidad se cuantifica por el índice de plasticidad o se puede estimar por la fuerza de las muestras de suelo secadas al aire (22).

Tabla 8. Clasificación de un suelo según su índice de plasticidad

Término usado	IP	Resistencia en estado	Ensayos de campo	
No plástico	0 – 3	Muy baja	Cae en pedazos fácilmente	
Ligeramente plástico	4 – 15	Ligera	Se tritura fácilmente con los dedos	
Medianamente plástico	15 – 30	Mediana	Difícil de triturar	
Muy plástico	31 o mayor	Alta	Imposible de triturar con los dedos	

Nota: Tomado de Sowers, GB y Sowers, GF 1972:111

El MTC recomienda tener en cuenta que el contenido de arcilla en el suelo, dependiendo de su cantidad, puede ser un factor de riesgo en suelos de subrasante y estructuras de pavimentos, principalmente por su alta sensibilidad al agua (18).

2.2.6. Contenido de humedad óptimo

La relación entre el peso de agua presente en una masa de suelo y el peso de las partículas sólidas se define como el contenido de humedad y se expresa como un porcentaje. Este cálculo se realiza mediante la determinación del peso de agua eliminada al secar el suelo húmedo en un horno controlado a una temperatura de 110 °C hasta alcanzar un peso constante. El peso resultante del suelo después del proceso de secado se utiliza como el peso de las partículas sólidas presentes.

La pérdida de peso durante el secado en el horno se considera como el peso del agua en la masa inicial del suelo. La fórmula para calcular el contenido de humedad se expresa como:

Contenido de humedad(%) =
$$\frac{Peso \ de \ agua}{Peso \ de \ particulas \ solidas} * 100$$

Este proceso es fundamental en la caracterización de suelos, ya que proporciona información crucial sobre la cantidad de agua presente en relación con las partículas sólidas. La determinación precisa del contenido de humedad es esencial en diversas disciplinas, como la Geotecnia, la Agronomía y la Ingeniería Civil, para comprender y gestionar adecuadamente las propiedades del suelo.

2.2.7. Densidad seca máxima (gr/cm³)

El peso volumétrico máximo seco, también conocido como peso unitario seco máximo, es la máxima densidad que un material puede alcanzar en condiciones de laboratorio después de pasar por un proceso de compactación en un molde estandarizado y en capas adecuadas según el tipo de material. Este proceso se realiza con un contenido óptimo de humedad que asegura una lubricación efectiva para facilitar la compactación. La obtención de la máxima densidad es esencial para garantizar la estabilidad y resistencia del suelo.

Para determinar el peso volumétrico máximo seco, se utiliza comúnmente el ensayo de Proctor Modificado, que implica la compactación del suelo en capas sucesivas utilizando un pisón estandarizado y aplicando una energía específica. Este ensayo ha evolucionado con el tiempo, y en la actualidad, se emplean rodillos pesados para simular las condiciones de compactación en el campo de manera más realista (23).

El peso volumétrico máximo seco es una medida crítica en Ingeniería Civil y Geotecnia, ya que proporciona información valiosa sobre las propiedades mecánicas y la capacidad de soporte del suelo. Esta información es esencial para el diseño y construcción de estructuras, carreteras y cimientos, ya que la compactación adecuada del suelo contribuye a la durabilidad y estabilidad de las obras civiles.

2.2.8. El índice CBR en la evaluación de la calidad de una subrasante

El valor relativo de soporte, también conocido como California Bearing Ratio (CBR), según la definición de Sowers, GB y Sowers, GF, es un índice semiempírico que proporciona información sobre las características de resistencia y deformación de un suelo. Este parámetro ha demostrado ser crucial en la evaluación del comportamiento del pavimento y se utiliza para establecer parámetros que permiten determinar el espesor adecuado del pavimento (23).

El CBR se determina mediante ensayos de laboratorio que evalúan la capacidad de soporte relativa del suelo en comparación con una mezcla estándar de grava y arena. Este índice es particularmente valioso en ingeniería de pavimentos, ya que ayuda a los ingenieros a comprender la capacidad del suelo para soportar cargas y deformaciones, lo que es esencial para el diseño y la construcción de pavimentos duraderos y seguros.

La correlación establecida entre el CBR y el comportamiento del pavimento permite a los profesionales de la ingeniería utilizar este índice como una herramienta predictiva para

evaluar la capacidad de un suelo de soportar cargas vehiculares y determinar el grosor necesario del pavimento para garantizar un rendimiento estructural adecuado a lo largo del tiempo.

Además, se señala que este método ha recibido críticas por considerarse excesivamente conservador, ya que requiere la saturación previa del suelo. No obstante, se debe reconocer que este requisito es bastante riguroso y se justifica debido a que la falta de saturación previa podría llevar a una falta de conocimiento de las condiciones reales de humedad máxima de la subrasante (23).

Según las directrices del MTC, una vez que se ha definido el valor del índice CBR de diseño para cada sector con características homogéneas, se procederá a determinar a qué categoría de subrasante pertenece el sector o subtramo en cuestión (18).

Tabla 9. Categorías de subrasante en función de su índice CBR

Categorías de subrasante	Índice CBR
Subrasante inadecuada	CBR < 3%
Subrasante insuficiente	$3\% \le CBR < 6\%$
Subrasante regular	$6\% \le CBR < 10\%$
Subrasante buena	$10\% \le CBR < 20\%$
Subrasante muy buena	$20\% \le CBR < 30\%$
Subrasante excelente	$30\% \le CBR$

Nota: Tomado del MTC 2014:35.

Para asignar la categoría de la subrasante según la tabla proporcionada, es fundamental que los suelos presentes en la explanación, ubicados debajo del nivel superior de la subrasante, posean un espesor mínimo de 0.60 m del material correspondiente a la categoría asignada. En caso contrario, se asignará automáticamente a la categoría inmediata de calidad inferior. Este criterio asegura que la categorización sea precisa y se ajuste a las condiciones específicas de cada sector, optimizando así la calidad y la seguridad de la infraestructura vial.

En relación al nivel superior de la subrasante, el Ministerio de Transportes y Comunicaciones (MTC) establece recomendaciones específicas. Se sugiere que este nivel debe estar ubicado por encima del nivel freático, con un mínimo de 0.60 m para una subrasante excelente - muy buena (CBR \geq 20%), 0.80 m para una subrasante buena - regular (6% \leq CBR < 20%), 1.00 m para una subrasante pobre (3% \leq CBR < 6%), y 1.20 m para una subrasante inadecuada (CBR < 3%). En situaciones donde sea necesario, se

podrán emplear subdrenes, capas anticontaminantes o drenantes, o se ajustará la elevación de la rasante para alcanzar el nivel requerido. Este enfoque garantiza una adecuada protección y rendimiento de la subrasante, considerando las características específicas de resistencia del suelo (18).

2.2.8.1. Características que deben cumplir los suelos para conformar una subrasante

Los suelos localizados por debajo del nivel superior de la subrasante, a una profundidad mínima de 0.60 m, deben cumplir con el requisito de ser suelos adecuados y estables, con un valor de California Bearing Ratio (CBR) igual o superior al 6%. En situaciones en las que el suelo por debajo de este nivel presente un CBR inferior al 6%, se deberá implementar un proceso de estabilización de suelos, el cual se describe con mayor detalle más adelante. Este enfoque garantiza que la subrasante cuente con una base sólida y estable, cumpliendo con los estándares establecidos para la construcción de infraestructuras viales

(18).

Los suelos ideales para una subrasante deben poseer características que faciliten su proceso de compactación, garantizando una mayor resistencia a la deformación una vez compactados. Además, es crucial que estos suelos exhiban una baja sensibilidad a las variaciones de humedad, especialmente en lo que respecta a los cambios de volumen. Esta propiedad es esencial para prevenir problemas relacionados con la expansión y contracción del suelo debido a la humedad, lo cual podría afectar la estabilidad de la infraestructura. Adicionalmente, en regiones con bajas temperaturas y posibilidad de heladas, los suelos seleccionados deben mostrar una baja susceptibilidad a estos fenómenos. Además, se busca que los suelos no presenten potencial de alterabilidad, asegurando su estabilidad a lo largo del tiempo y minimizando riesgos para la infraestructura vial. Estas características contribuyen a la formación de una subrasante sólida y duradera, esencial para la calidad y seguridad de las obras viales (24).

En este contexto, se destaca la preferencia por suelos granulares con una distribución de tamaño de partícula continua, caracterizados por una proporción baja de finos poco plásticos y ausencia de piedras de gran tamaño. Estos suelos granulares proporcionan una base sólida y estable para la infraestructura vial. A su vez, se menciona que los suelos de grano fino, como los limos y arcillas, pueden ser utilizados en núcleos, siempre y cuando

no sean arcillas extremadamente plásticas ni limos altamente compresibles con límites líquidos elevados. La calidad de los materiales que conforman el cimiento del pavimento es de suma importancia, subrayando la necesidad de contar con materiales de alta calidad para garantizar la durabilidad y resistencia de la obra vial (24).

La susceptibilidad a la expansión es un factor crucial que debe ser considerado al evaluar los materiales utilizados en las explanaciones. Según Rico y del Castillo (2005), cambios significativos de volumen en estos materiales pueden dar lugar a deformaciones sustanciales en la superficie de la subbase, generando problemas como la pérdida de apoyo, incluso si tanto la subrasante como la subbase están compuestas por materiales no susceptibles. Los autores señalan que la adición de una cierta cantidad de cemento mediante la estabilización ha demostrado ser una estrategia efectiva para mitigar la susceptibilidad a los cambios volumétricos en suelos finos.

La deformabilidad, según los autores, es un requisito fundamental para determinar la aceptación o rechazo de un material de subrasante. Además, destaca que la deformabilidad juega un papel crucial en el comportamiento del material como soporte para un pavimento de calidad. Estos aspectos subrayan la importancia de evaluar y controlar la expansión de los suelos en el diseño de infraestructuras viales, así como la utilidad de técnicas como la estabilización con cemento para mejorar las propiedades de estos materiales (25).

Los suelos naturales de baja calidad, según las recomendaciones de Kraemer & Pardillo (2004), podrían ser descartados y reemplazados por materiales de mejor calidad. Estos suelos se considerarían inaceptables como base para un pavimento cuando presenten ciertos criterios predefinidos. Es importante destacar que la calidad de los suelos utilizados en la construcción de pavimentos juega un papel crítico en la durabilidad y el rendimiento de la infraestructura vial.

Las especificaciones para la aceptación o rechazo de suelos como cimiento para pavimentos pueden variar, pero comúnmente se toman en cuenta propiedades como la capacidad de carga, la expansión, la plasticidad y la resistencia a la compresión. Kraemer & Pardillo (2004) seguramente proporcionan pautas específicas o criterios detallados para determinar la idoneidad de los suelos en función de estos parámetros, lo que contribuye a garantizar la integridad y la eficacia de la infraestructura vial.

- Presentan una elevada plasticidad, la cual, en todo caso, puede reducirse mediante procesos de estabilización.
- Contienen una cantidad significativa de materia orgánica.
- Son suelos evolutivos, cuyas propiedades tienden a degradarse con el tiempo, a veces incluso durante el propio proceso de construcción.
- Exhiben características de suelos expansivos, con cambios de volumen que podrían afectar la integridad del pavimento.
- Poseen una marcada heterogeneidad, como es común en algunos rellenos constituidos por residuos derivados de la actividad humana.
- Son altamente erosionables, propensos a la formación de oquedades de considerable tamaño debido a corrientes de agua.

2.2.9. Aspectos importantes de una subrasante

La adecuada adaptación de la carga en la rueda a la capacidad de la subrasante resulta esencial en la construcción de pavimentos. "Para lograr un diseño económico y práctico, es crucial evaluar las características físicas del sustrato y diseñar el pavimento en consecuencia. Esta evaluación puede llevarse a cabo mediante métodos empíricos basados en experiencias previas o mediante análisis más detallados" (26).

Montejo, señala que la calidad del sustrato tiene un impacto significativo en el espesor necesario para el pavimento, ya sea flexible o rígido (26). El parámetro de evaluación utilizado para esta capa es la capacidad de soporte (CBR) o la resistencia a la deformación por esfuerzo cortante bajo las cargas del tránsito.

Rico y del Castillo, destacan que un sustrato resistente puede soportar niveles de esfuerzo relativamente altos, lo que permite reducir el espesor de las capas del pavimento sin comprometer su estabilidad general (25). Esto conlleva a una disminución significativa de los costos en la construcción del pavimento. En resumen, la selección y evaluación adecuadas del sustrato son fundamentales para lograr pavimentos eficientes, económicamente viables y duraderos.

De acuerdo con Kraemer et al., con la formación de una subrasante se debe conseguir una superficie con la siguientes características.

- Sin excesivas irregularidades, de manera que el espesor de la capa inferior del pavimento pueda ser uniforme.
- Poco sensible a los cambios de humedad.

- Con pendients que permitan drenar las precipitaciones ocurridas durante la ejecución de obras y la vida útil de las carreteras.
- Con una resistencia suficiente para soportar el tráfico vehicular sin presentar erosión o deformaciones.

2.2.10. Estabilización de suelos

La estabilización del suelo implica la modificación de sus características considerando la relación entre costo, calidad y eficacia. Se puede llevar a cabo mediante métodos químicos y mecánicos. En el enfoque químico, se añaden sustancias químicas para mejorar las propiedades del suelo, mientras que en el enfoque mecánico, se aplican metodologías para mejorar las propiedades sin recurrir a la adición de sustancias (27).

El Manual de Carreteras señala que la aplicación de aditivos químicos y procesos mecánicos constituye un método para mejorar las características físicas del suelo, ya sean estos métodos naturales o artificiales (sintéticos) (18). Este proceso se conoce como estabilización, y su objetivo principal es mejorar la resistencia mecánica del suelo de manera permanente. Existen diversas técnicas para lograr este objetivo, y el ingeniero a cargo debe seleccionar la solución más adecuada desde el punto de vista económico y técnico. La estabilización del suelo es esencial en la construcción de infraestructuras viales duraderas y eficientes.

2.2.10.1. Criterios para establecer la estabilización de suelos

Los criterios más destacados incluyen:

- Suelos con un Índice de Soporte de California (CBR) inferior al 6% se consideran subrasante inadecuada. Aquellos que presenten zonas mojadas o áreas suaves califican para un análisis de estabilización de suelos.
- La presencia de arcillas o limos en la subrasante, que al humedecerse puedan penetrar a las capas superiores, se considera un factor crítico.
- La posición de la subrasante en relación con la napa freática es crucial. A una profundidad mínima de 0.60m se clasifica como subrasante extraordinaria y muy buena, a 0.80m como buena y regular, mientras que a 1 m y 1.20m se considera pobre e inadecuada respectivamente.
- En regiones con altitudes superiores a los 4 000 m, se debe evaluar la susceptibilidad del suelo al congelamiento y heladas, factores asociados con la capa freática, entre otros.

 La determinación del tipo de suelo existente es esencial para evaluar la necesidad de estabilización.

2.2.11. Polímeros

Los polímeros son moléculas de gran tamaño conformadas por eslabones orgánicos conocidos como monómeros, los cuales se unen mediante enlaces covalentes, mayormente compuestos por átomos de carbono. Estas sustancias orgánicas constituyen los materiales plásticos que conocemos.

El proceso mediante el cual se crean estos polímeros se denomina polimerización. En este proceso, los monómeros reaccionan y se unen para formar cadenas macromoleculares. Existen dos métodos principales para llevar a cabo la polimerización: adición o crecimiento de cadena, y condensación o crecimiento de pasos. En ambos métodos, se generan las largas cadenas moleculares características de los polímeros, otorgándoles propiedades específicas y diversas aplicaciones en la industria y la vida cotidiana.

2.2.11.1. PET

El tereftalato de polietileno (PET) es el material utilizado en envases que llevan el símbolo "1" dentro de tres flechas, según el sistema de identificación de reciclaje SPI. Estos envases, como botellas para refrescos, agua, jugo y bebidas deportivas, son conocidos por ser fuertes, duraderos y portátiles. El PET presenta propiedades como una buena resistencia química y térmica, así como una alta capacidad para resistir corrosión y desgaste.

El símbolo "1" en el fondo de los envases de PET indica que son reciclables, y este material es comúnmente recolectado y reciclado para darle una segunda vida en diversos productos.



Figura 2. Símbolo del polietileno tereftalato.

Nota: MULTIPLAST 2015

La valorización del PET reciclado, que proviene principalmente de botellas y envases, se ha logrado mediante el desarrollo de un proceso de fabricación sencillo y económicamente rentable. Este proceso permite obtener compuestos plásticos de ingeniería, que son adecuados para aplicaciones exigentes. La reutilización del PET a través de este método contribuye a la gestión sostenible de los residuos plásticos y a la creación de productos de calidad a partir de materiales reciclados (28).

2.2.11.2. Propiedades y características del plástico PET

El plástico PET ha experimentado un desarrollo significativo en la producción de fibras textiles y en la fabricación de una amplia variedad de envases, destacándose especialmente en la producción de botellas, bandejas, flejes y láminas. Este crecimiento se atribuye a las propiedades físicas del PET, que le permiten cumplir con diversas especificaciones técnicas, convirtiéndolo en un material versátil y ampliamente utilizado en la industria (29).

Dentro de las características más importantes del plástico PET, están los siguientes:

- El tereftalato de polietileno tiene buen comportamiento frente a esfuerzos permanentes
- Tiene alto grado de transparencia y brillo, que conserva el sabor y aroma de cualquier alimento
- Es reciclable, al ser un material termoplástico puede modificarse su forma
- Muy buen coeficiente de deslizamiento, rozamiento o coeficiente de fricción
- Muy buena barrera a CO2 (dióxido de carbono), aceptable barrera a O2 (oxigeno)
 y a la humedad
- Buena resistencia térmica con respecto a otros plásticos
- Buena resistencia química para resistir a ácidos y tener barreras protectoras
- Es muy ligero en relación a su resistencia
- Alta resistencia y dureza
- Alta resistencia al desgaste ya la corrosión

2.2.12. Cabuya

"La Cabuya (Agave americana L.), también conocida como fique, maguey negro o blanco, pinca, cabuya americana, pita, cocuisa, cocui, cabuyero, penca azul, entre otros

nombres, varía en denominación según la región donde se cultiva" (Cervantes & Cuya, 2015). Originaria de América Tropical, su distribución se extiende desde el sur de los países centroamericanos hasta las 53 regiones por donde atraviesa la cordillera de los Andes, incluyendo Ecuador, Colombia, Bolivia, Venezuela y Perú. La cabuya demuestra una notable capacidad para resistir períodos de sequía, prosperando en terrenos áridos gracias a la capacidad de sus hojas para almacenar agua. Esta resistencia se manifiesta especialmente durante la temporada de lluvias. Además, la planta exhibe robustez frente a la sequedad y al frío, siendo clasificada como xerófita. Con un crecimiento rápido, alcanza la madurez en un corto periodo y tiene una vida útil que oscila entre 10 y 30 años (30).

2.2.12.1. Propiedades de la ceniza

La obtención de ceniza se lleva a cabo al quemar tallos o hojas secas de la planta, transformándolos en polvo. Este producto posee propiedades que contribuyen a mejorar la calidad del suelo, ya que contiene nutrientes esenciales como magnesio, fósforo, calcio, potasio y sílice. Al utilizar la ceniza como enmienda del suelo, es crucial evaluar las cantidades de minerales presentes, asegurándose de que su composición mineral se encuentre dentro de límites seguros. La ceniza con un elevado contenido de nutrientes puede ser utilizada de manera sostenible para incrementar la fertilidad del suelo.

2.2.12.2. Composicion de la cabuya

"El Ministerio del Ambiente proporciona datos cuantitativos sobre los componentes químicos, físicos y mineralógicos de la cabuya. Los porcentajes respectivos son los siguientes: 54.85% de humedad, 8% de materia orgánica amorfa que incluye proteínas, potasio, nitrógeno, sacarosa, calcio, fósforo, sapogeninas y saponinas, 6% de celulosa (D-celulosa) y 1% de minerales" (31).

Tabla 10. Composicion química de la ceniza de cabuya

CÓDIGO	COMPOSICIÓN QUÍMICA DE LO	OS RESTOS DE	CABUYA
CODIGO	ENSAYOS	UNIDAD	RESULTADO
	-Det. de óxido de calcio (CaO)	%	13.22
	-Det. de dióxido de silicio (SiO2)	%	61.15
	-Det. de trióxido de azufre (SO3)	%	2.12
	-Det. de óxido de magnesio (MgO)	%	3.23
-Det. de	-Det. de óxido de manganeso (MnO)	%	2.10
	-Det. de trióxido de aluminio (AL2O3)	%	3.25
	-Det. de pentóxido de fósforo (P2O3)	%	2.00
	-Det. de trióxido de hierro (Fe2O3)	%	4.22
Σ	-Det. de óxido de bario (BaO)	%	0.74
	-Det. de óxido de zinc (ZnO)	%	0.06
	-Det. de óxido de cobre (CuO)	%	0.18
	-Det. de trióxido de cobre (CrO3)	%	0.09
	-Otros	%	3.14

Nota: Mateslab S.A.C.

2.3. Definición de términos básicos

a. Arcilla

La arcilla es un material terroso constituido por partículas de tamaño muy fino (menor a 0.002 mm), que presenta propiedades plásticas al mezclarse con agua, permitiendo su moldeado. Su comportamiento depende en gran medida de su contenido mineralógico y de humedad (32).

b. Capacidad de Soporte

Es la capacidad de un suelo para resistir cargas aplicadas sin sufrir deformaciones excesivas. En la ingeniería vial, se mide con el ensayo CBR (California Bearing Ratio) y es fundamental para el diseño de pavimentos (33)

c. Compactación

La compactación es el proceso mecánico mediante el cual se reduce el volumen de vacíos de un suelo, incrementando su densidad seca, al aplicar energía (impacto, vibración o presión), con el objetivo de mejorar su resistencia y estabilidad (34).

d. Curva granulométrica

Es una representación gráfica del porcentaje de material que pasa por una serie de tamices de diferentes aberturas, permitiendo evaluar la distribución del tamaño de partículas en un suelo. Es clave para su clasificación y diseño de mezclas (35).

e. Densidad

La densidad del suelo es la relación entre su masa y su volumen. Se distingue entre densidad húmeda, densidad seca y densidad aparente, siendo esta última relevante para evaluar su comportamiento en estado natural o compactado (36).

f. Estabilización de suelos

La estabilización de suelos es el conjunto de métodos que modifican y mejoran las propiedades físicas y/o químicas del suelo para incrementar su resistencia, durabilidad y capacidad de soporte, a través de aditivos o procesos mecánicos (37).

g. Suelo

El suelo es la capa superficial de la corteza terrestre compuesta por partículas minerales y materia orgánica, producto de la desintegración de rocas. En ingeniería, se considera el material natural que sirve de soporte a las estructuras (38).

CAPITULO III METODOLOGÍA

3.1. Método y alcance de la investigación

3.1.1. Metodo

Bernal (2010) señala que "El método científico se entiende como el conjunto de postulados, reglas y normas para el estudio y la solución de los problemas de investigación, institucionalizados por la denominada comunidad científica reconocida." De acuerdo con los mencionado, la investigación corresponde al método científico, debido al conjunto de normas organizadas para el desarrollo de la investigación, se analió la influencia de la adición de ceniza de cabuya y fibras de PET en el subrasante de suelos arcillosos en el tramo Socos – Yanayacu, Ayacucho (39).

3.1.2. Tipo

Espinoza (2014) afirma que, la investigación aplicada busca utilizar el conocimiento científico en la solución de problemas para beneficiar a la sociedad. De este modo, la investigación fue de tipo aplicada, ya que se aplicaron los conocimientos en suelos y geotécnia par solucionar el problema del suelo arccilloso en la subrasante empleando la ceniza de cabuya y la fibras PET recicladas (40).

3.1.3. Alcance

Según Hernández y otros (2014), el nivel de investigación explicativo "está dirigido a responder por las causas de los efectos y fenómenos físicos o sociales". En ese sentido, el alcance de la investigación fue explicativo ya que se evaluaron los efectos de la ceniza de cabuya (variable independiente 1) y las fibras PET (variable independiente 2) en la subrasante del suelo arcilloso (variable dependiente) (41).

3.1.4. Diseño

El diseño de investigación es experimental, debido a que "la esencia de esta concepción de experimento es que requiere la manipulación intencional de una acción, para analizar sus posibles resultados" (41). De acuerdo con lo mencionado, el diseño de la investigación fue experimental, debido a que se manipularon las proporciones de ceniza de cabuya y fibras PET para evaluar su efecto en la subrasante de suelo arcilloso del tramo Socos – Yanayacu, Ayacucho.

La siguiente tabla, muestra los tratamiento aplicados para el suelo arcilloso.

Tabla 11. Tratamientos de dosificaciones de la ceniza de cabuya y fibras de pet adicionadas al suelo

		Tratamentos
T0	Suelo	
T1	Suelo +	3% de adicion de ceniza de cabuya + 5% de fibras de pet
T2	Suelo +	6% de adicion de ceniza de cabuya + 5% de fibras de pet

Nota: Elaboracion propia

3.1.5. Población y muestra

Población

La población se define como el conjunto total de elementos, personas, objetos o unidades de análisis que comparten una o más características específicas y sobre los cuales se pretende generalizar los resultados del estudio. Por lo cual, debe estar claramente delimitada en términos de espacio, tiempo y atributos relevantes para el problema de investigación (41).

Para la investigación la población estuvo representada por el suelo de la subrasante en la progresiva 0+000 km al 3+000 km del tramo Socos – Yanayacu, Ayacucho., donde se analizaran sus caracteristicas físicas y mecanicas.

Muestra

La muestra es un subconjunto representativo de la población, con el propósito de obtener información y realizar inferencias válidas sobre el total de la población sin necesidad de estudiarla en su totalidad. La selección de la muestra, debe garantizar que los resultados obtenidos reflejen adecuadamente las características de la población (41).

La muestra estuvo delimitada por el suelo de las 7 calicatas dentro del tramo de estudio, las cuales presentan un CBR menor al 6% que se identifica como una subrasante pobre e inadecuada. Las calicatas tuvieron una profundidad de 1.5 metros y se ejecutaran al lado derecho de la via.

3.2. Materiales y métodos

3.2.1. Materiales

Los materiales que se emplearon para la ejecución de la investigación corresponden al suelo de las calicatas en el tramo Socos – Yanayacu, la ceniza de cabuya y las fibras PET recicladas. Además de los materiales empleados en los ensayos de laboratorio para la caracterización física y mecánica del suelo arcilloso para subrasante.

3.2.2. Métodos

El método para el desarrollo de la investigación, corresponden a la normativa nacional del Ministerio de Transportes y Comunicaciones que se adapta de la normativa internacional (ASTM y AASHTO) para la caracterización del suelo arcilloso y los requerimientos para una subrasante.

3.3. Desarrollo de la investigación

3.3.1. Generalidades

A. Ubicación

La carretera del tramo Socos – Yanayacu, políticamente se encuentra ubicada de la siguiente manera:

• Departamento : Ayacucho

• Provincia : Huamanga

Distrito : Socos

• Lugar : Tramo Socos – Yanayacu

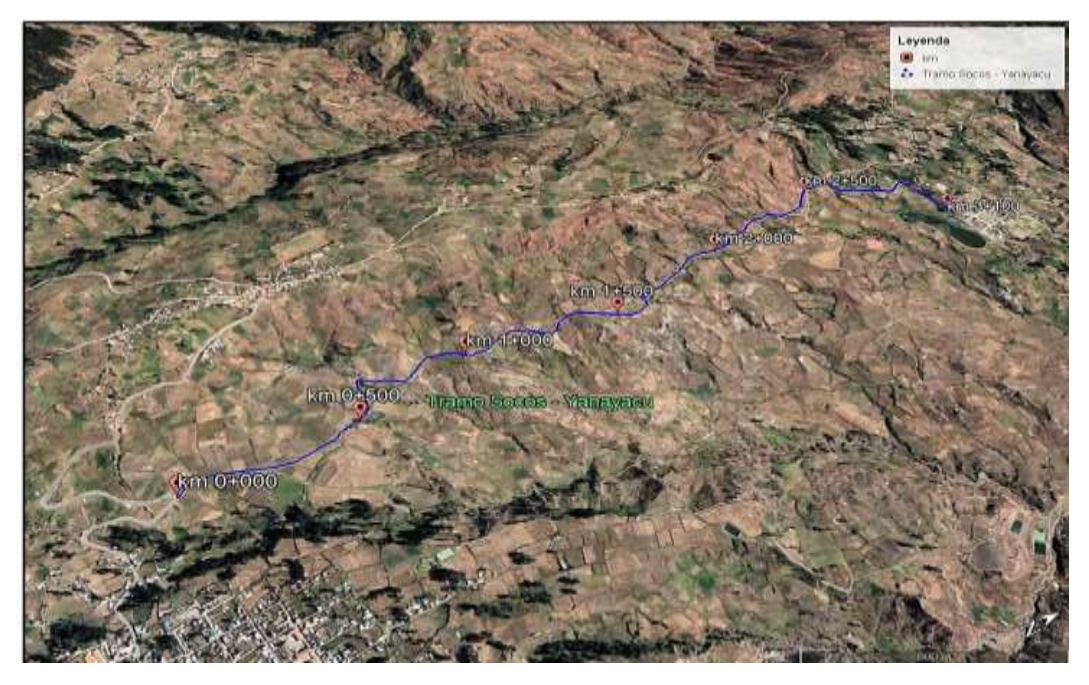


Figura 3. Vista satelital del tramo de la carretera Socos – Yanayacu.

Nota: Google Earth Pro-2019.

La carretera que abarca el tramo Socos-Yanayacu está situada en el distrito de Socos, perteneciente a la provincia de Huamanga. Desde una perspectiva geográfica, se encuentra en la región Quechua, destacando por pendientes moderadas a lo largo del tramo y una altitud promedio de 3,360 metros sobre el nivel del mar. Según datos del INEI hasta el año 2017, la población en esta área se estimaba en 5,952 habitantes.

3.3.2. Programa de investigaciones geotecnicas

En la fase inicial de recolección de información, se adaptó una metodología que combinó observaciones visuales in situ con un análisis exhaustivo de fichas técnicas de los ensayos de laboratorio. Esta aproximación permitió una comprensión más profunda de la realidad problemática del área, particularmente en lo que respecta a la manipulación del material de los suelos a nivel de la subrasante. Se llevaron a cabo inspecciones detalladas en el tramo en estudio, identificando progresivas y calicatas con excavaciones de 1.50 metros, según las especificaciones de la norma MTC-2014. Estas exploraciones proporcionaron

información valiosa sobre los diversos estratos que conforman los suelos en el camino vecinal del tramo Socos – Yanayacu.

Además de la observación directa, se recopiló material en cantidad suficiente para realizar diversos ensayos de laboratorio tanto en suelo natural como en suelos tratados con ceniza de cabuya y fibras de pet. Posteriormente, se trasladaron las muestras al laboratorio para llevar a cabo ensayos, como contenido de humedad natural, granulometría por tamizado, límite líquido, límite plástico e índice de plasticidad. Estos resultados permitieron clasificar los tipos de suelos según las normas AASHTO y SUCS.

Simultáneamente, se procedió a la incineración de la ceniza de cabuya y al picado del PET reciclado, obteniendo la cantidad necesaria según las dosificaciones propuestas (3% y 6% de ceniza de cabuya). Se realizaron ensayos químicos para determinar sus características, seguidos de otros ensayos, como plasticidad, Proctor modificado y CBR al suelo, con la adición de fibras de PET (5%) junto con la ceniza. Estos ensayos, ejecutados con diferentes dosificaciones, permitirán determinar la mejora alternativa según el tipo de suelo encontrado en el sector más crítico de todo el tramo de la carretera Socos – Yanayacu.

FASE I: Obtención y preparación de las muestras de suelo

Se llevó a cabo el reconocimiento del área designada para la recopilación de datos en el tramo de la carretera Socos – Yanayacu, específicamente del kilómetro 0+000 al km 3+000. La obtención de muestras se realizó mediante la excavación de calicatas con una profundidad máxima de 1.60 metros. Posteriormente, se llevó a cabo la descripción e identificación in situ de las calicatas, siguiendo la Norma ASTM D 2488, que establece estándares para la descripción e identificación de suelos mediante procedimientos visuales y manuales.

Durante este proceso, se registraron con detalle las características fundamentales del suelo, incluyendo el espesor de cada estrato, color, olor, consistencia, humedad, entre otros aspectos relevantes. Se identificó la presencia de un material con características de suelo limoso, de color rojizo y con una humedad moderada, encontrándose en un estado semi compacto.

Luego de la descripción in situ, se procedió a la selección de muestras de suelo extraídas de las 07 calicatas realizadas en el tramo de 3 kilómetros. Se acumularon

aproximadamente 50 kilogramos por cada calicata para su análisis posterior en laboratorio.



Figura 4. Excavacion de las calicatas de estudio

Nota: Elaboracion propia

Se llevaron a cabo las fases de obtención y transporte de las muestras representativas de suelo desde cada calicata, siguiendo las indicaciones detalladas en la Norma MTC E 104, que aborda la conservación y el transporte de las muestras de suelo. Para el ensayo de contenido de humedad natural, se utilizaron bolsas herméticas con el objetivo de prevenir la pérdida de humedad durante el transporte hacia el laboratorio. Este enfoque aseguró la integridad de las muestras, preservando adecuadamente su contenido de humedad para facilitar su análisis subsiguiente en el laboratorio.

FASE II: Ensayos de laboratorio

Se llevó a cabo una minuciosa preparación de las muestras de suelo para la realización de los ensayos de laboratorio, siguiendo estrictamente las directrices establecidas en las Normas MTC E105 (obtención de muestras representativas en laboratorio mediante el cuarteo) y MTC E 106 (preparación en seco de muestras para el análisis granulométrico y la determinación de las constantes del suelo).

Para garantizar la representatividad de las muestras, se aplicó el método de cuarteo según la Norma MTC E105, que implica la división cuidadosa de una muestra inicial en fracciones más pequeñas. Este enfoque asegura que cada porción sea una representación

precisa del suelo original, permitiendo que los resultados de los ensayos reflejen con precisión las características del suelo en el segmento crítico de la trocha carrozable.

Adicionalmente, siguiendo la Norma MTC E 106, las muestras de suelo fueron preparadas en seco para llevar a cabo el análisis granulométrico y determinar las constantes del suelo. La preparación en seco facilita la manipulación precisa de las muestras, un aspecto crucial para obtener resultados confiables en los ensayos de laboratorio.

El cumplimiento riguroso de estas normas y procedimientos asegura la calidad y representatividad de las muestras de suelo, factores esenciales para el estudio y diseño geotécnico de la subrasante en el tramo crítico de la zona en estudio.



Figura 5. Muestreo de material en laboratorio

Nota: Elaboracion propia

En una primera instancia, se llevaron a cabo los ensayos de análisis granulométrico, límite líquido y límite plástico con el objetivo de clasificar las muestras de suelo obtenidas de cada calicata.

• Granulometría (MTC E – 107)

La granulometría es un parámetro esencial para caracterizar la distribución de tamaños de partículas en un suelo. En el contexto de normativas peruanas, la Granulometría se determina siguiendo el método especificado por la norma MTC E-107. A continuación, se proporciona una descripción general de este concepto y cómo se aborda en dicha normativa:

La granulometría se refiere al análisis de la distribución de tamaños de partículas en un suelo. La información sobre el tamaño de las partículas es crucial para comprender el comportamiento del suelo en términos de permeabilidad, compactación y otros aspectos relevantes para la Ingeniería Civil y Geotécnica. La norma MTC E-107 establece los procedimientos para realizar el ensayo de granulometría en laboratorio. El método comúnmente utilizado es el llamado "Tamizado", que implica pasar la muestra de suelo a través de una serie de tamices de aberturas graduadas. Cada tamiz retiene partículas de un tamaño específico, y al pesar las fracciones retenidas en cada tamiz, se puede determinar la distribución de tamaños de partículas.

Procedimiento general:

- 1. Preparación de la muestra: Se toma una muestra representativa del suelo.
- 2. Secado de la muestra: La muestra se seca para obtener el peso seco inicial.
- 3. Tamizado: La muestra se pasa a través de una serie de tamices de aberturas graduadas.
- 4. Pesado de fracciones retenidas: Se pesan las fracciones retenidas en cada tamiz.
- 5. Cálculo de porcentajes acumulativos: Se calculan los porcentajes acumulativos restando el porcentaje de material retenido en cada tamiz del porcentaje retenido en el tamiz anterior.
- 6. Gráfica granulométrica: Los resultados se representan gráficamente en una curva granulométrica que muestra la distribución de tamaños de partículas.

El cumplimiento de la norma MTC E-107 garantiza que la determinación de la Granulometría se realice de manera estandarizada y precisa, proporcionando información valiosa para la interpretación de las propiedades físicas del suelo en proyectos de ingeniería.



Figura 6. Ensayo de granulometría

Nota: Elaboracion propia

• Limite Líquido (Norma MTC E – 110)

El Límite Líquido es una propiedad de los suelos que se determina mediante ensayos de laboratorio. La norma MTC E-110 establece los procedimientos para la determinación del Límite Líquido en suelos. Se presenta una descripción general de este concepto y cómo se aborda en la normativa:

El Límite Líquido (LL) es una propiedad índice que caracteriza la plasticidad de un suelo, es decir, su capacidad para cambiar de forma sin agrietarse. Se define como el contenido de agua expresado como porcentaje del peso seco del suelo en el cual el suelo pasa de un estado plástico a un estado semilíquido. En otras palabras, representa la cantidad de agua necesaria para que el suelo exhiba un comportamiento plástico.

La norma MTC E-110 establece los procedimientos para determinar el Límite Líquido de un suelo. Estos procedimientos suelen implicar la realización del ensayo de Casagrande, que consiste en determinar el contenido de humedad en el cual, una ranura hecha en una muestra de suelo se cierra por un recorrido de 13 mm debido a 25 golpes estándar.

El cumplimiento de la norma MTC E-110 garantiza que la determinación del Límite Líquido se realice de manera estandarizada y consistente, permitiendo una caracterización precisa de las propiedades de plasticidad del suelo.

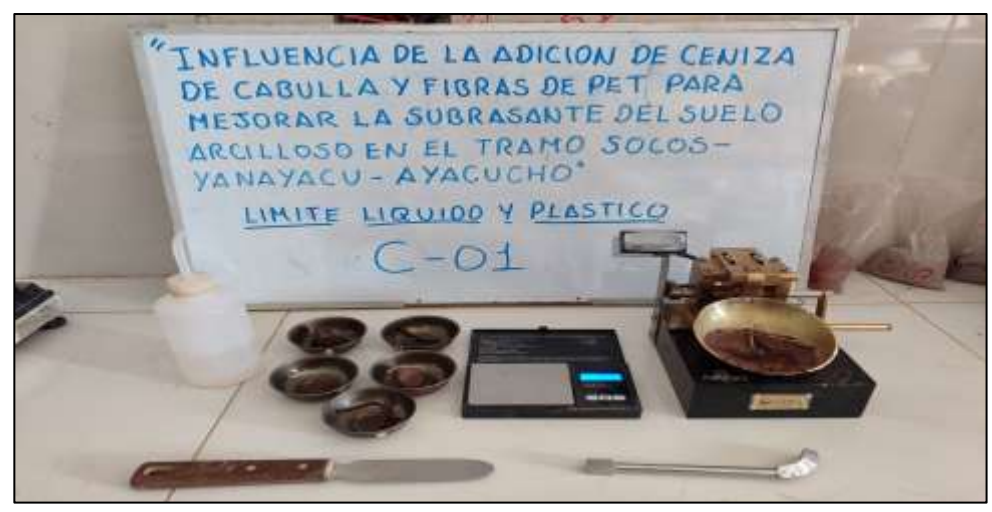


Figura 7. Ensayo de limite liquido

Nota: Elaboracion propia

• Limite plástico (Norma MTC E – 111)

El Límite Plástico es otra propiedad índice de los suelos y su determinación se rige por la norma MTC E-111 en el contexto de normativas peruanas. SE proporciona una descripción general de este concepto y cómo se aborda en dicha normativa:

El Límite Plástico (LP) es una propiedad índice que también caracteriza la plasticidad de un suelo. Representa el contenido de agua expresado como porcentaje del peso seco del suelo en el cual el suelo cambia de un estado plástico a un estado semisólido y comienza a agrietarse al ser manipulado. Mientras que el Límite Líquido indica la transición de un estado plástico a un estado semilíquido, el Límite Plástico señala la transición a un estado más sólido.

La norma MTC E-111 establece los procedimientos para determinar el Límite Plástico de un suelo. El método comúnmente utilizado para este propósito es el ensayo de la cuchara de Casagrande, que implica el rodado de una muestra de suelo en forma de churro hasta que se rompe.



Figura 8. Ensayo de limite plastico

Nota: Elaboracion propia

• Proctor Modificado (MTC E – 115)

"Ensayo de Proctor tiene como objetivo determinar la humedad óptima de suelo por la cual este alcanza su densidad máxima seca. Este ensayo está en relación entre el contenido de humedad de suelo seco y el peso unitario de suelo compactado a una determinada humedad y a una energía de compactación determinada".



Figura 9. Ensayo de Proctor modificado

Nota: Elaboracion propia

• Ensayo CBR (MTC E − 132)

"El propósito de la prueba CRB es determinar la resistencia del suelo y del agregado comprimido en el laboratorio con un contenido de humedad óptimo determinado por la prueba Proctor y varios grados de compresión".



Figura 10. Ensayo de C.B.R.

Nota: Elaboracion propia

FASE III: Aplicación de los aditivos propuestos

A. Obtención de los polímeros reciclados

Se utilizaron envases reciclables de PET de botella reciclada, los cuales se obtuvieron de MMOLPLAST E.I.R.L. – Lima. Para volverlos aditivos se transportaron a una máquina trituradora y se obtuvo los polímeros en una sola dimensión.



Figura 11. Plastico PET triturado en la planta industrial MMOLPLAST.

Nota: Planta industrial MMOLPLAST.

B. Obtención de la ceniza de cabuya

El proceso de obtención de ceniza de cabuya involucró varias etapas clave. Inicialmente, se recolectaron hojas secas de cabuya, las cuales pasaron por un proceso que incluyó lavado, secado, incineración y tamizado. Finalmente, la ceniza resultante se incorporó al suelo natural para llevar a cabo los estudios correspondientes.



Figura 12. Ceniza de cabuya

Nota: Elaboracion propia

C. Ensayos de laboratorio para el desarrollo de la investigación

La investigación se llevó a cabo mediante la realización de ensayos de laboratorio, siguiendo las pautas establecidas por el Manual de Suelos y Pavimentos del MTC (2014). Se consultó la tabla 12 de dicho manual para determinar las características específicas del suelo objeto de estudio.

Tabla 12. Ensayos para el suelo a nivel de subrasante

MTC E 107
MTC E 108
MTC E 110
MTC E 111
NTP 339.134
NTP 339.135
MTC E 115
MTC E 132

Nota: Elaboración propia

CAPITULO IV RESULTADOS Y DISCUSIÓN

4.1. Resultados del tratamiento y análisis de la información

4.1.1. Caracterización física de los suelos evaluados en estado natural

4.1.1.1. Análisis granulométrico de los suelos

El análisis granulométrico de las 7 calicatas del tramo Socos – Yanayacu, se muestra en la siguiente tabla con los porcentajes pasantes.

Tabla 13. Analisis granulométrico Socos - Yanayacu

MALLA	-				Porcent	aje que pas	sa (%)	
MALLA		C - 01	C - 02	C- 03	C - 04	C - 05	C - 06	C - 07
Tamices ASTM	Abertura (mm)	E - 02	E - 02	E - 02	E - 02	E - 02	E - 02	E - 02
3/4"	19.000	100.00	100.00	100.00	100.00	100.00	100.00	100.00
1/2"	12.5000	97.20	91.50	87.30	100.00	84.80	98.10	72.30
3/8"	9.5000	94.00	88.90	85.30	99.90	79.30	97.10	68.10
No 4	4.750	89.90	82.20	80.10	99.50	66.30	94.40	55.20
No 8	2.360	85.50	76.90	74.50	98.90	56.10	88.20	44.20
No 10	2.000	84.20	75.50	68.60	97.50	53.10	85.70	41.30
No 16	1.190	80.60	72.00	67.10	96.30	45.00	78.30	33.70
No 20	0.840	78.10	69.80	67.70	94.60	40.50	74.00	30.00
No 30	0.600	75.30	67.20	62.20	92.60	36.00	69.60	27.00
No 40	0.425	72.50	64.70	59.20	89.00	32.20	65.70	24.90
No 50	0.300	69.20	61.90	55.60	79.30	28.50	61.60	23.10
No 80	0.177	63.40	57.40	49.70	77.80	23.50	55.00	22.00
No 100	0.150	60.80	55.80	48.30	74.40	22.10	52.80	21.30
No 200	0.075	59.90	51.00	44.70	74.00	18.60	50.10	19.00

Nota: Elaboración propia

En la tabla 14, se aprecia que más del 50% del material pasa a través de la malla número 200. Esta observación implica una presencia notable de partículas finas, como limos, arcillas y arenas. Este contenido hace posible afirmar que los suelos en cuestión presentan susceptibilidad a la deformación bajo cargas aplicadas, lo que los hace menos resistentes.

Tabla 14. Porcentaje de suelo (Grava, Arenas y Finos)

Suelo	C-01	C-02	C-03	C-04	C-05	C-06	C-07
Grava (No. 2" a No4)	3.00	2.67	3.23	1.50	33.07	3.03	26.93
Arena (No 4 a No 200)	37.10	46.33	52.07	24.50	48.33	46.87	54.07
Finos (menor a 200)	59.90	51.00	44.70	74.00	18.60	50.10	19.00

Nota: Elaboración propia

Al analizar la tabla 15, derivada de los estudios de las calicatas, es posible afirmar que las áreas críticas que exigen atención se encuentran en los tramos 0+000 (C-07), 0+500 (C-06), 1+000 (C-05), 2+000 (C-03) y 2+500 (C-02), debido a que en dichos tramos, se observó una predominancia marcada de arenas y finos.

Por lo cual, es necesario realizar la estabilización del suelo de la subrasante en el tramo Socos – Yanayacu, para fortalecer la capacidad de carga del suelo, además de mitigar los posibles efectos adversos de la presencia predominante de arenas y finos en los tramos identificados.

La siguiente figura, muestra la curva grnualométrica del material encontrado en las 7 calicatas.

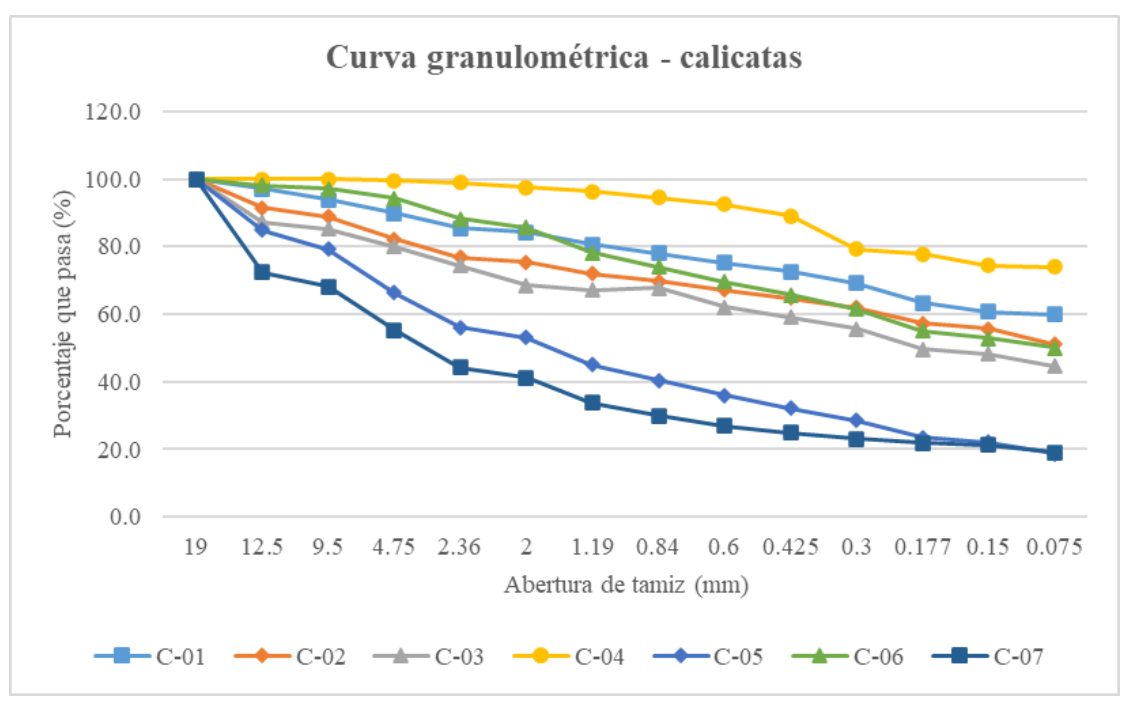


Figura 13. Curva granulométrica del material en las calicatas

Nota: Elaboración propia

4.1.1.2. Contenido de humedad

A través de la prueba de contenido de humedad, se puede determinar si el nivel de humedad natural en el suelo supera o está por debajo del punto óptimo. Con la finalidad de comprender las condiciones del suelo y tomar decisiones informadas sobre las medidas de corrección o ajuste necesarias. La siguiente tabla, proporciona un resumen detallado del contenido de humedad natural y óptimo en el suelo e las 7 calicatas.

Tabla 15. Contenido de humedad y humedad optima

Calicata	Progresiva	Estrato	Contenido de humedad (%)	Humedad óptima
C-01	0+000	E-02	17.00	15.66
C-02	0+500	E-02	18.40	16.25
C-03	1+000	E-02	14.10	15.74
C-04	1+500	E-02	13.80	13.33
C-05	2+000	E-02	5.20	8.55
C-06	2+500	E-02	14.20	15.41
C-07	3+000	E-02	9.80	11.38

Nota: Elaboración propia

De forma complementaria, se adjunta la siguiente figura referente al contenido de humedad natural y la humedad óptima del suelo.

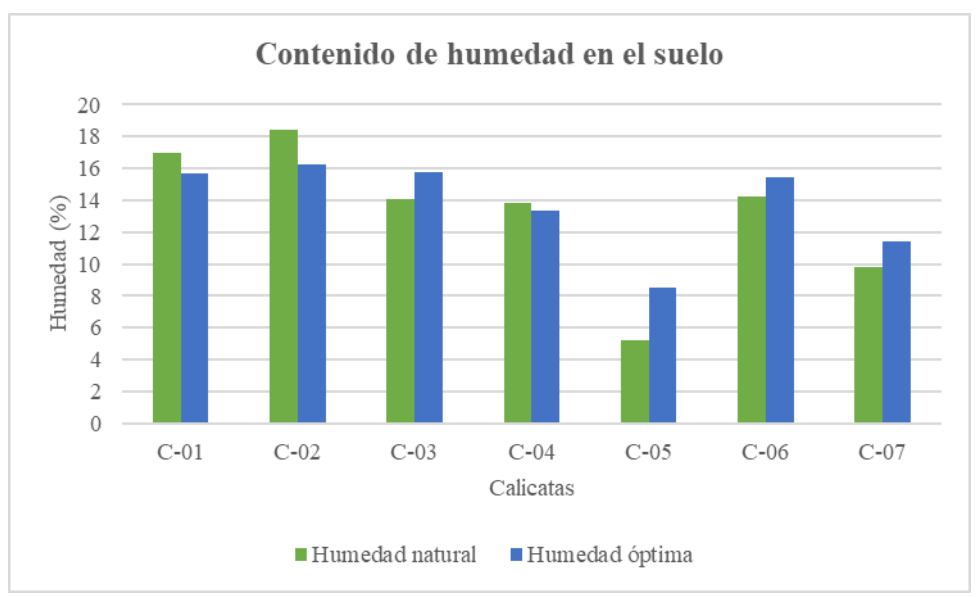


Figura 14. Contenido de humedad natural y humedad ótpima

Nota: Elaboración propia

4.1.1.3. Límite líquido, límite plástico e índice de plasticidad

El límite líquido, el límite plástico y el índice de plasticidad; son parámetros que permiten distinguir entre suelos arcillosos, limosos y arenosos, proporcionando información detallada sobre la capacidad del suelo para retener agua y la susceptibilidad a la deformación. Además de su contribución a la clasificación del suelo, los resultados de los ensayos de límites de consistencia desempeñan un papel importante para la estabilización del suelo. La tabla muestra los valores de límite líquido, límite plástico e índice de plasticidad obtenido del suelo de las 7 calicatas realizadas.

Tabla 16. Limites de consistencia del suelo en estado natural

Calicata	Estrato	Límite	Límite plástico(%)	Índice de plasticidad
		líquido (%)		(%)
C-01	E-02	33.80	28.17	5.63
C-02	E-02	38.80	29.97	8.83
C-03	E-02	46.70	32.10	14.60
C-04	E-02	37.00	29.27	7.73
C-05	E-02	22.70	18.69	4.01
C-06	E-02	30.70	28.53	2.17
C-07	E-02	34.70	30.35	4.35

Nota: Elaboración propia

La siguiente figura muestra el índice de plasticidad del material encontrado en las calicatas estudiadas.

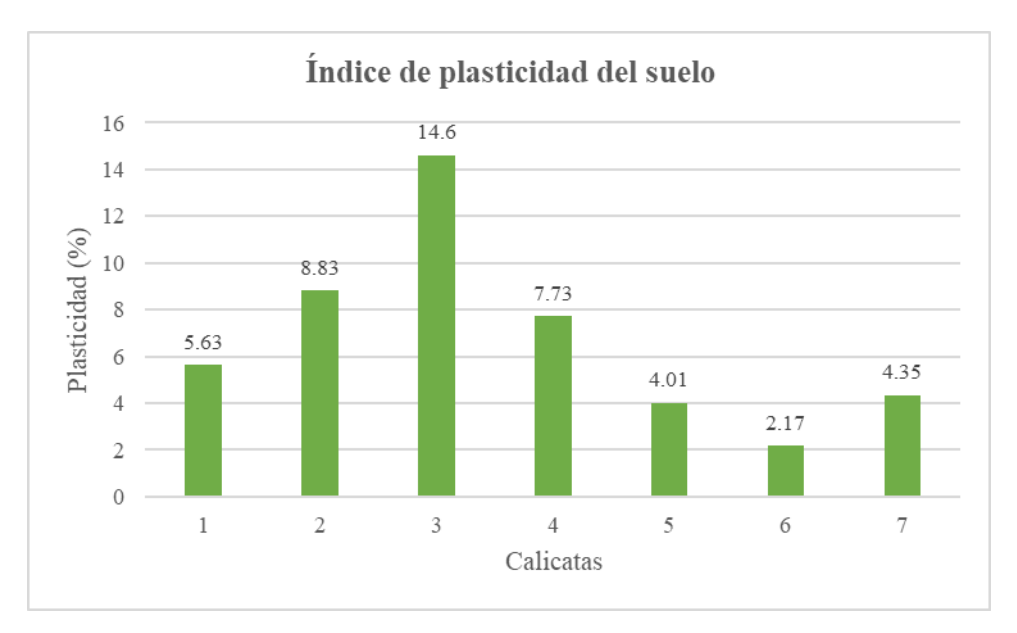


Figura 15. Relación porcentaje de humedad – número de golpes (calicata 1)

Nota: Elaboración propia

De acuerdo con la tabla y figura adjuntas, el suelo evaluado en las 7 calicatas se puede claisificar con una plasticidad baja a media característico de los suelos arcillosos, de acuerdo con el Manual de suelos, geología, geotécnia y pavimentos del Ministerio de Transportes y Comunicaciones.

4.1.2. Caracterízacion mecanicas de los suelos evaluados

4.1.2.1.Adición de ceniza de cabuya y fibras PET en la compactación del suelo arcilloso para subrasante

La prueba de compactación permite evaluar el contenido de humedad y la densidad seca máxima del suelo, así también desempeña un papel importante para garantizar la eficiencia y la durabilidad del suelo, en la tabla siguiente se detallan los resultados de los tratamientos aplicados.

Tabla 17. Óptimo contenido de humedad y Máxima densidad seca del suelo

Calicata	Estrato	Suelo nat	Suelo natural Suelo con 3% de CC+5% de PET				% de PET
	-	Humedad Optima	DMS	Humedad Optima	DMS	Humedad Optima	DMS
C-01	E-02	15.66	1.905	12.18	2.009	15.18	2.018
C-02	E-02	16.25	1.850	10.51	2.060	16.09	2.003
C-03	E-02	15.74	1.869	8.81	2.004	6.91	2.146
C-04	E-02	13.33	1.853	13.45	2.030	12.56	2.161
C-05	E-02	8.55	1.960	10.61	2.058	14.78	2.110
C-06	E-02	15.41	1.950	14.00	2.041	14.26	2.074
C-07	E-02	11.38	1.986	14.00	2.008	10.72	2.031

Nota: Elaboración propia

Las siguientes figuras muestran el óptimo contenido de humedad y la máxima densidad seca del suelo con ceniza de cabuya y fibras PET.

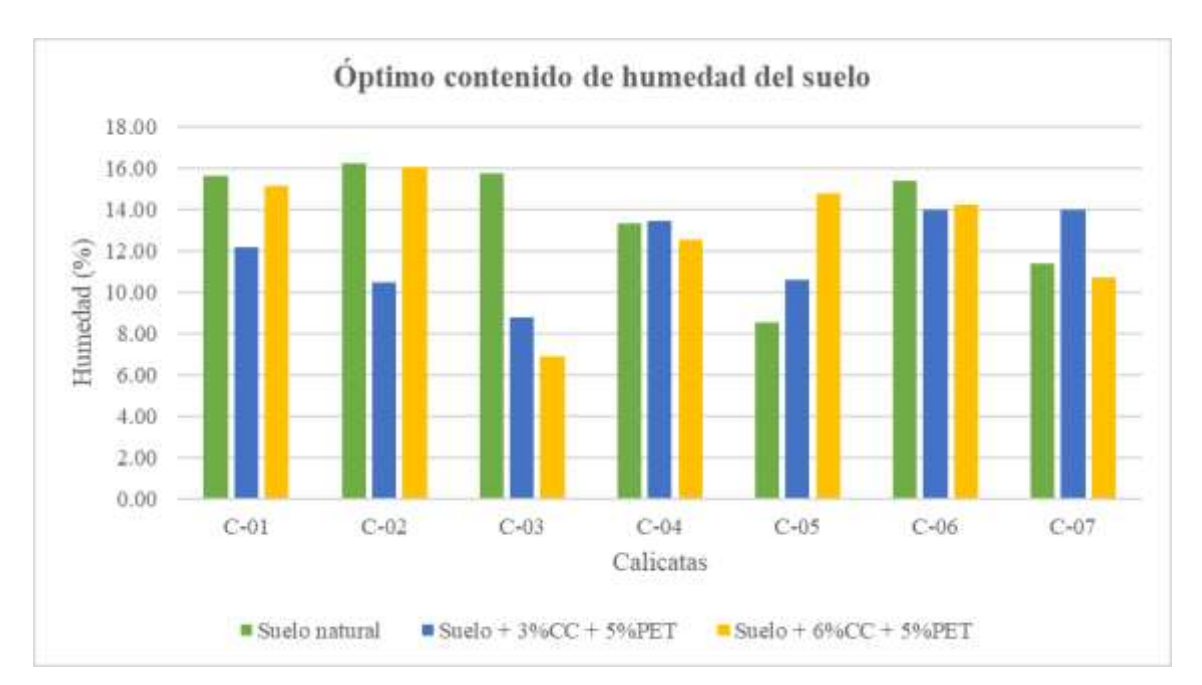


Figura 16. Óptimo contenido de humedad del suelo con ceniza de cabuya y fibras PET Nota: Elaboración propia

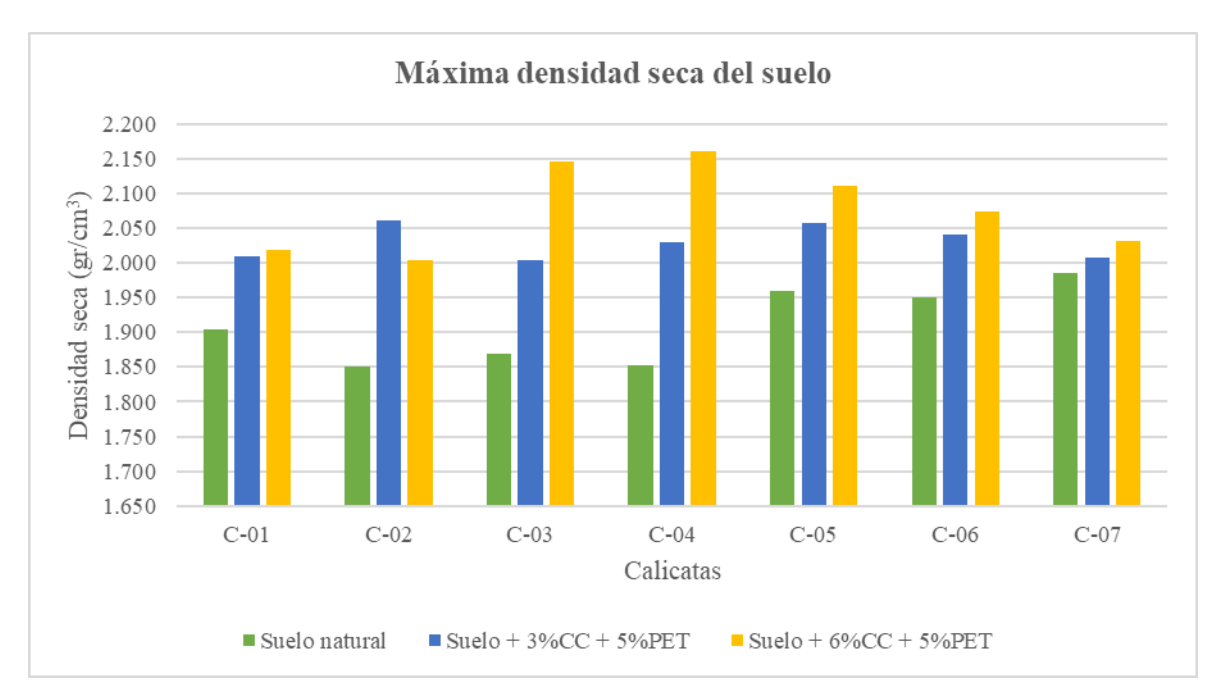


Figura 17. Máxima densidad seca del suelo con ceniza de cabuya y fibras PET

Nota: Elaboración propia

Los resultados muestran el efecto de la adición de ceniza de cabuya (CC) y fibras PET en la humedad óptima y densidad máxima seca del suelo en siete calicatas del estrato E-02. En todos los casos, se observa el incremento de la máxima densidad seca al incorporar los estabilizantes, pasando de valores entre 1.850 y 1.986 g/cm³ en el suelo natural a valores que superan los 2.000 g/cm³ con las mezclas, alcanzando un máximo de 2.161 g/cm³ en C-04 con 6% CC + 5% PET, lo que indica una mayor compactación y mayor resistencia del suelo tratado. En cuanto a la humedad óptima, los cambios varían según la muestra, debido a que en algunas calicatas como C-01, C-02 y C-03 se evidenció una reducción significativa al tratarse con 3% CC + 5% PET, lo que implica menor necesidad de agua para alcanzar la máxima densidad; mientras que en el suelo de las calicatas C-05 y C-07 presentaron un aumento, posiblemente por la capacidad de absorción de las proporciones de CC y fibras PET. En conjunto, los resultados indican que la combinación de ceniza de cabuya y PET mejora las propiedades de compactación del suelo arcilloso, haciéndolo más adecuado como subrasante para carreteras rurales.

4.1.2.2. Adición de ceniza de cabuya y fibras PET en la capacidad de soporte del suelo arcilloso para subrasante

La tabla siguiente muestra el resumen de los valores CBR del suelo con las proporciones de ceniza de cabuya y fibras PET.

Tabla 18. CBR del suelo con ceniza de cabuya y fibras PET

Calicata	Suelo natural			Suelo +	Suelo + 3% CC+5% FP			Suelo + 6% CC+5% FP		
	CBR 1" 90%DM	CBR 1" 95%DM	CBR 1" 100%DM	CBR 1" 90%DM	CBR 1" 95%DM	CBR 1" 100%DM	CBR 1" 90%DM	CBR 1" 95%DM	CBR 1" 100%DM	
C-01	2.2	4.0	5.1	23.4	27.6	29.7	32.4	36.6	40.8	
C-02	2.2	4.1	5.7	20.9	25.4	28.2	53.8	57.0	64.4	
C-03	2.6	3.7	5.8	52.6	57.8	63.0	57.5	75.6	85.0	
C-04	3.1	4.0	5.4	28.2	35.9	55.6	55.7	68.3	89.6	
C-05	4.1	5.1	6.0	27.9	35.6	41.1	44.2	58.9	77.0	
C-06	2.8	3.4	4.9	28.9	33.1	38.9	36.4	51.0	69.5	
C-07	3.5	4.8	5.7	30.3	38.0	47.2	42.7	60.8	82.7	

Nota: Elaboración propia

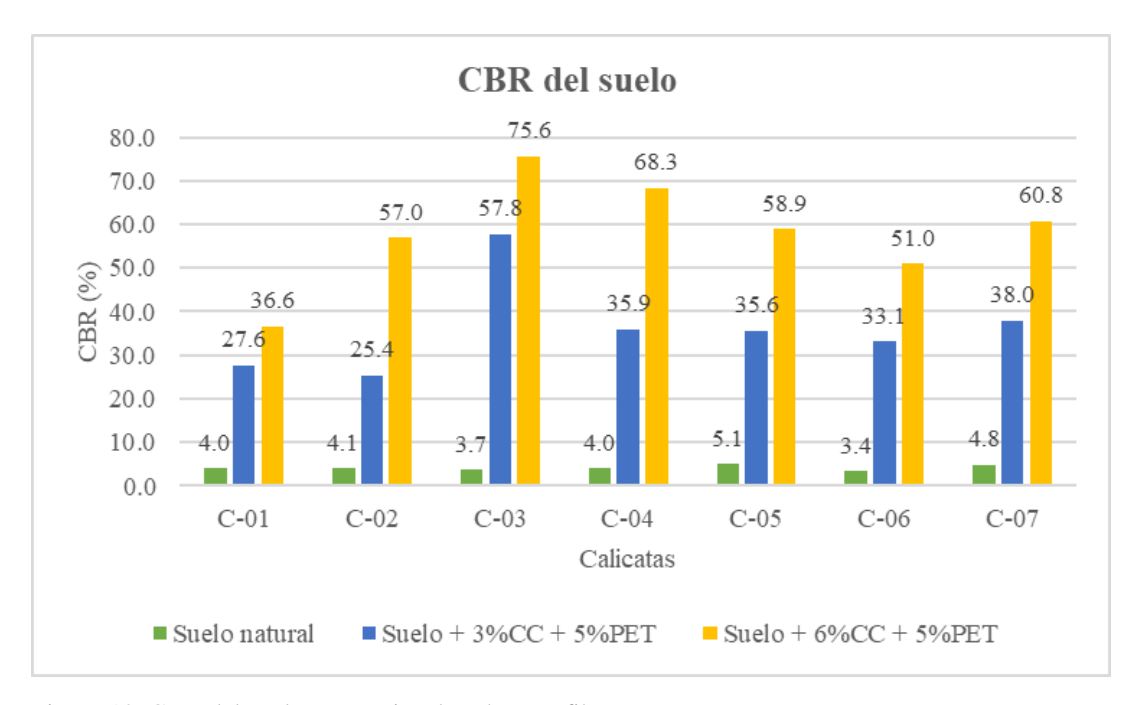


Figura 18. CBR del suelo con ceniza de cabuya y fibras PET

Nota: Elaboración propia

La figura adjunta, muestra los valores de CBR (California Bearing Ratio) para las 7 calicatas (C-01 a C-07) con los 3 tratamientos: natural, con 3% de ceniza de cabuya y 5% de PET, y con 6% de ceniza de cabuya y 5% de PET. Se observa que el suelo natural tiene los valores más bajos de CBR, variando entre 3.7% y 5.1%, lo cual indica una subrasante de pobre. Al incorporar 3% de ceniza de cabuya y 5% de PET, el CBR del suelo mejora notablemente, alcanzando valores entre 25.4% y 57.8%, lo que sugiere una mejora significativa en la resistencia del suelo, además de clasificarse como una subrasante muy buena a excelente. La mayor mejora se observó al aplicar 6% de ceniza de cabuya y 5% de PET, donde los valores

de CBR llegan hasta 75.6% que se clasifica como una subrasante excelente, mostrando un incremento sustancial en todas las calicatas. Esto evidencia que la estabilización del suelo arcilloso con ceniza de cabuya y PET reciclado es efectiva, y que un mayor porcentaje de ceniza mejora la capacidad de soporte del suelo.

4.2. Prueba de hipótesis

La prueba de hipótesis se llevó a cabo por medio del diseño completamente al azar (DCA) para evaluar la influencia de la ceniza de cabuya y las fibras PET recicladas, de las cuales se obtuvo el análisis de varianza y la prueba de Duncan, para los resultados de compactación y capacidad de soporte.

4.2.1. Adición de ceniza de cabuya y fibras PET en la compactación del suelo arcilloso para subrasante

Las hipótesis a comprobar fueron las siguientes.

$$H0: u_1 = u_2 = u_3$$

$$H1: u_1 \neq u_2 \neq u_3$$

En la siguiente tabla se muestra el análisis de varianza para el óptimo contenido de humedad de la compactación del suelo arcilloso con ceniza de cabuya y fibras PET.

Tabla 19. ANOVA: óptimo contenido de humedad del suelo con ceniza de cabuya y fibras PET

Origen	Tipo III de suma	gl	Media cuadrática	F	Sig.	
	de cuadrados					
Modelo corregido	222,357 ^a	8	27.795	2.614	.014	
Intersección	14086.492	1	14086.492	1324.784	.000	
Calicatas	175.429	6	29.238	2.750	.018	
Tratamientos	46.929	2	23.464	2.207	.117	
Error	797.479	75	10.633			
Total	15106.328	84				
Total corregido	1019.836	83				

Nota: Elaboración propia

Según el cuadro de análisis de varianza, el valor de F calculado para los tratamientos aplicados fue 2.207 y el valor de F tabulado (gl tratamiento 2; gl error 75) fue 3.126 que, al

ser mayor al valor F calculado, se acepta la hipótesis nula de que la ceniza de cabuya y las fibras PET no influyen significativamente en el óptimo contenido de humedad del suelo para subrasante. Para determinar las diferencias de los tratamientos aplicados se desarrolló la prueba de Duncan que se muestra en la siguiente tabla.

Tabla 20. Prueba de Duncan: óptimo contenido de humedad del suelo con ceniza de cabuya y fibras PET

Tratamientos	N	Subconjunto
		1
2,00	28	12.153
1,00	28	12.747
,00	28	13.950
Sig.		.054

Nota: Elaboración propia

De la prueba de Duncan, se puede apreciar que los tratamientos aplicados son similares, donde el tratamiento 0 evidenció el mayor promedio en óptimo contenido de humedad con 13.950%, seguido de los tratamientos 1 y 2 con humedades óptimas de 12.747% y 12.153% respectivamente.

En la siguiente tabla se muestra el análisis de varianza para la máxima densidad seca de la compactación del suelo arcilloso con ceniza de cabuya y fibras PET.

Tabla 21. ANOVA: máxima densidad seca del suelo con ceniza de cabuva y fibras PET

Origen	Tipo III de suma	gl	Media cuadrática	F	Sig.
	de cuadrados				
Modelo corregido	,431 ^a	8	.054	3.805	.001
Intersección	293.549	1	293.549	20721.571	.000
Calicatas	.170	6	.028	1.996	.077
Tratamientos	.262	2	.131	9.235	.000
Error	1.062	75	.014		
Total	295.043	84			
Total corregido	1.494	83			

Nota: Elaboración propia

Según el cuadro de análisis de varianza, el valor de F calculado para los tratamientos aplicados fue 9.235 y el valor de F tabulado (gl tratamiento 2; gl error 75) fue 3.126 que, al ser menor al valor F calculado, se acepta la hipótesis alterna de que la ceniza de cabuya y

fibras PET influyen significativamente en la máxima densidad seca del suelo para subrasante. Para determinar las diferencias de los tratamientos aplicados, se desarrolló la prueba de Duncan que se muestra en la siguiente tabla.

Tabla 22. Prueba de Duncan: máxima densidad seca del suelo con ceniza de cabuya y fibras PET

Tratamientos	N	Subconjunto		
	_	1	2	
,00	28	1.810		
1,00	28	1.854		
2,00	28		1.944	
Sig.		.165	1.000	

Nota: Elaboración propia

De la prueba de Duncan, se puede apreciar que los tratamientos 0 y 1 son similares, con densidades de 1.810 gr/cm³ y 1.854 gr/cm³ y el tratamiento 2 presentó una máxima densidad seca de 1.944 gr/cm³, evidenciando una mayor compactación del suelo arcilloso con ceniza de cabuya y fibras PET.

4.2.2. Adición de ceniza de cabuya y fibras PET en la capacidad de soporte del suelo arcilloso para subrasante

Las hipótesis a comprobar fueron las siguientes.

$$H0: u_1 = u_2 = u_3$$

$$H1: u_1 \neq u_2 \neq u_3$$

En la siguiente tabla se muestra el análisis de varianza para la capacidad de soporte del suelo arcilloso con ceniza de cabuya y fibras PET.

Tabla 23. ANOVA: CBR del suelo con ceniza de cabuya y fibras PET

Origen	Tipo III	gl	Media	F	Sig.
	de suma		cuadrática		
	de				
	cuadrados				
Modelo	11311,877 ^a	8	1413.985	25.213	.000
corregido					
Intersección	22717.452	1	22717.452	405.077	.000
Calicatas	931.385	6	155.231	2.768	.063
Tratamientos	10380.492	2	5190.246	92.548	.000
Error	672.981	12	56.082		
Total	34702.310	21			
Total	11984.858	20			
corregido					

Nota: Elaboración propia

Según el cuadro de análisis de varianza, el valor de F calculado para los tratamientos aplicados fue 92.548 y el valor de F tabulado (gl tratamiento 2; gl error 12) fue 3.885 que, al ser menor al valor F calculado, se acepta la hipótesis alterna de que la ceniza de cabuya y fibras PET influyen significativamente en la capacidad de soporte del suelo estabilizado para subrasante. Para determinar las diferencias de los tratamientos aplicados, se desarrolló la prueba de Duncan que se muestra en la siguiente tabla.

Tabla 24. Prueba de Duncan: CBR del suelo con ceniza de cabuya y fibras PET

Tratamientos	N	St	bconjunto		
	_	1	2	3	
,00	7	4.157			
1,00	7		36.200		
2,00	7			58.314	
Sig.		1.000	1.000	1.000	

Nota: Elaboración propia

De la prueba de Duncan, se puede apreciar que los tratamientos aplicados son diferentes, donde el tratmiento 2 evidenció la mayor capacidad de soporte o CBR con 58.314%, seguido de los tratamientos 1 y con 36.200% y 4.157% respectivamente. De esta foma, se comprueba estadísticamente que la adición de ceniza de cabuya y fibras PET influye de forma significativa en la subrasante de un suelo arcilloso.

4.3. Discusión de resultados

El análisis granulométrico del suelo realizado en las siete calicatas del tramo Socos – Yanayacu permitió identificar la distribución de partículas en el suelo natural del estrato E-02. Los resultados evidenciaron que en todas las calicatas el 100% del material pasa por la malla de ¾" (19 mm), lo cual indica la ausencia de grava gruesa. Al descender en la escala de tamices, se observó una disminución progresiva del porcentaje que pasa, siendo más notable en las caliacatas C-05 y C-07, lo cual evidencia una mayor proporción de partículas gruesas. En contraste, las muestras C-01 a C-04 y C-06 presentaron porcentajes pasantes elevados en los tamices finos como el tamiz No. 200, lo cual refleja una mayor cantidad de limos y arcillas, que son materiales de baja resistencia y alta compresibilidad.

Estos resultados, se refuerzan con la tabla 14, donde se clasificó el material de acuerdo a las proporciones de grava, arena y finos. Las calicatas C-01, C-02, C-03, C-04 y C-06 presentaron más del 44% de finos, destacando la calicata C-04 con 74%, lo cual indica una

alta susceptibilidad a la deformación y pérdida de soporte bajo cargas. Por otro lado, el suelo de las calicatas C-05 y C-07 presentaron mayor proporción de grava y arena, lo cual sugiere un comportamiento más granular. Estos resultados permiten identificar como zonas críticas los tramos 0+000 (C-07), 0+500 (C-06), 1+000 (C-05), 2+000 (C-03) y 2+500 (C-02), debido a su alta proporción de arenas y finos, lo que justifica técnicamente la necesidad de estabilización del suelo de la subrasante.

Respecto al contenido de humedad, se observó que en la mayoría de las calicatas el contenido de humedad natural supera al contenido óptimo de compactación, especialmente en C-01, C-02 y C-06, lo que podría generar condiciones de sobrehumedecimiento si no se controla adecuadamente en obra. Solo las calicatas C-05 y C-07 presentaron contenidos de humedad natural significativamente por debajo del óptimo, lo cual puede influir en la compactación si no se corrige con humedecimiento.

Así también, los resultados de límites de consistencia como; el límite líquido, límite plástico e índice de plasticidad permitieron caracterizar los suelos como arcillosos de baja a media plasticidad, de acuerdo con el Manual de Suelos, Geología, Geotecnia y Pavimentos del (MTC, 2014). De este modo, se destaca que las calicatas C-03 con IP = 14.60% y C-02 con IP = 8.83% muestran los valores más altos, lo que indica mayor cohesividad, pero también mayor expansividad y retracción con cambios de humedad. A diferencia de la calicata C-06 con IP = 2.17% y C-05 con IP = 4.01% que presentan suelos de baja plasticidad, más frágiles pero con menor potencial de hinchamiento.

4.3.1. Adición de ceniza de cabuya y fibras PET en la compactación del suelo arcilloso para subrasante

La compactación del suelo es un proceso fundamental para el diseño y construcción de subrasantes, ya que influye directamente en la capacidad de soporte, la estabilidad estructural y la durabilidad del pavimento. Por lo que en la investigación, se evaluó el comportamiento del suelo arcilloso del segundo estrato en siete calicatas del tramo Socos – Yanayacu de 3 Km, aplicando tres tratamientos; T0 (suelo natural), T1 (suelo con 3% de ceniza de cabuya + 5% de fibras PET) y T2 (suelo con 6% de ceniza de cabuya + 5% de fibras PET). Los parámetros analizados fueron la humedad óptima (OCH) y la densidad máxima seca (MDS), obtenidos del ensayo Proctor modificado.

En cuanto a la densidad máxima seca (MDS), los resultados demostraron una mejora en todas las calicatas al añadir los estabilizantes. El suelo natural presentó densidades entre 1.850 g/cm³ y 1.986 g/cm³, a diferencia del suelo con las proporciones de ceniza de cabuya y fibras PET, los valores se incrementaron por encima de 2.000 g/cm³, alcanzando un máximo de 2.161 g/cm³ en la calicata C-04 con el tratamiento de 6% CC + 5% PET. Este aumento de la MDS refleja una mejor estructuración del suelo, lo que se traduce en mayor resistencia y menor deformación bajo cargas repetidas, que son factores críticos para el desempeño de la subrasante en vías rurales.

Respecto al contenido óptimo de humedad (OCH), se observaron variaciones en el material de las siete calicatas. En algunas calicatas como C-01, C-02 y C-03, la humedad óptima disminuyó significativamente con el tratamiento de 3% CC + 5% PET. Por ejemplo, en la calicata C-03 se redujo de 15.74% a 8.81%, lo cual implica que se requiere menos agua para alcanzar la máxima densidad, lo que puede ser ventajoso en contextos donde la disponibilidad de agua es limitada. En cambio, en otras calicatas como C-05 y C-07, se observó un incremento en la humedad óptima, lo cual podría estar relacionado con la mayor capacidad de absorción de los materiales incorporados, especialmente la ceniza de cabuya, que al tener una naturaleza vegetal porosa, puede demandar mayor humedad para alcanzar la compactación deseada.

La comparación entre ambos tratamientos demostró que el uso del 6% de ceniza de cabuya combinado con 5% de fibras PET genera los mejores resultados en términos de densidad máxima seca, sin comprometer significativamente la humedad óptima en la mayoría de los casos. Esto permite afirmar que, una mayor proporción de ceniza mejora el desempeño mecánico del suelo, debido al efecto puzolánico que contribuye a la reacción química con los finos del suelo, mejorando la cohesión y rigidez.

Los resultados del análisis estadístico mediante el análisis de varianza (ANOVA) para el óptimo contenido de humedad indican que no existe una diferencia significativa entre los tratamientos aplicados con respecto a este parámetro. El valor de F calculado (2.207) fue menor al valor de F tabulado (3.126), por lo tanto, se aceptó la hipótesis nula (H_o), afirmando que la adición de ceniza de cabuya y fibras PET no influye significativamente en la humedad óptima del suelo arcilloso evaluado. Este resultado, se refuerzó con la prueba de Duncan, en la que los tres tratamientos (0%, 3% y 6% de ceniza de cabuya con 5% de PET) presentaron subconjuntos estadísticamente similares, aunque se observó una tendencia a la reducción de

la humedad óptima con el aumento del porcentaje de ceniza y fibras PET. Por lo que, la reducción se puede atribuir a una mayor eficiencia en la reorganización de las partículas del suelo al compactarse.

En contraste, el análisis de varianza aplicado a la densidad máxima seca (MDS) sí muestra diferencias estadísticamente significativas entre tratamientos, con un valor F calculado de 9.235, superior al F tabulado (3.126), lo que condujo a rechazar la hipótesis nula y aceptar la hipótesis alterna (H₁). Esto implica afirmar que la adición de ceniza de cabuya y PET sí influye de manera significativa en la mejora de la compactación del suelo. Así también, la prueba de Duncan evidenció que el tratamiento con 6% de CC + 5% de PET (tratamiento 2) obtuvo la mayor densidad seca (1.944 g/cm³), seguido del tratamiento con 3% de CC + 5% PET (1.854 g/cm³), ambos superiores al suelo sin tratamiento (1.810 g/cm³). Esta diferencia confirma que la combinación de ceniza de cabuya y PET reciclado mejora la estructura interna del suelo, favoreciendo la compactación y, en consecuencia, aumentando la resistencia mecánica de la subrasante, haciéndola más adecuada para soportar cargas vehiculares en carreteras rurales.

En conjunto, los resultados numéricos y estadísticos confirman que la combinación de ceniza de cabuya y PET reciclado es eficaz para mejorar las propiedades de compactación del suelo arcilloso, haciéndolo más adecuado para cumplir con los requisitos de una subrasante en carreteras rurales. Además, de promover el uso de materiales sostenibles y de bajo costo, contribuyendo a una infraestructura vial más ecológica y económica, especialmente en regiones con limitaciones técnicas y presupuestales.

La investigación coincide con los antecedentes revisados en cuanto a los efectos positivos del uso de materiales naturales y reciclados para mejorar las propiedades mecánicas de la subrasante. Así como, el estudio de Mishra y Kumar (2018), donde la combinación de fibra PET y ceniza volante mejoró significativamente la resistencia del suelo medida a través del CBR, los resultados del presente trabajo demostraron que la inclusión de 6% de ceniza de cabuya y 5% de fibras PET generó un incremento sustancial en la densidad máxima seca (hasta 2.161 g/cm³), superando los valores del suelo natural. Aunque, en el estudio de Michra y Kumar no se reportó el CBR, la mejora en la compactación sugiere un incremento en la capacidad portante. Así también, el estudio de Tupia (2021) reportó un aumento del CBR y la MDS al incorporar ceniza de hojas de eucalipto. Al igual que el estudio de Hoyle y

Rodríguez (2019) quienes comprobaron que la mezcla de ceniza vegetal y fibras naturales mejoran la densidad y resistencia de los suelos en trochas carrozables.

No obstante, una diferencia clave entre los antecedentes y esta investigación radica en el efecto sobre el contenido óptimo de humedad (OCH). Pues, en el estudio de Tupia (2021), y Hoyle y Rodríguez (2019) se reportaron ligeros incrementos del OCH con sus aditivos naturales, en el presente estudio se observó que la adición de ceniza de cabuya y PET en proporción de 3% y 6% respectivamente produjo en varias calicatas una disminución notable del OCH, especialmente en C-03 (de 15.74% a 6.91%), lo que sugiere una mayor eficiencia de compactación con menor demanda de agua. Sin embargo, desde el punto de vista estadístico, dicha disminución no fue significativa, lo que se alinea parcialmente con los resultados de los antecedentes, donde el comportamiento del OCH no siempre es concluyente. En contraste, el aumento significativo de la densidad máxima seca encontrado en la investigación (F = 9.235; p < 0.05) se respalda por los estudios anteriores y demuestra que la combinación de residuos orgánicos y plásticos reciclados representa una estrategia técnica y sostenible para mejorar subrasantes arcillosas en vías rurales.

4.3.2. Adición de ceniza de cabuya y fibras PET en la capacidad de soporte del suelo arcilloso para subrasante

Los resultados obtenidos en el índice CBR (California Bearing Ratio) reflejan claramente el efecto positivo de la adición de ceniza de cabuya (CC) y fibras PET recicladas en la capacidad de soporte del suelo arcilloso para subrasante en el tramo Socos – Yanayacu. El suelo natural, sin tratamiento, presentó valores de CBR bajos, entre 3.7% y 5.1%, lo que indica un comportamiento pobre e insuficiente para resistir cargas vehiculares. Sin embargo, al aplicar el tratamiento con 3% de CC y 5% de fibras (Tratamiento 1), se logró una mejora significativa, ya que el valor de CBR se elevó en todas las calicatas hasta rangos entre 25.4% y 57.8%, lo que representa un nivel de resistencia adecuado y clasifica al suelo como una subrasante buena a excelente. La mayor mejora se obtuvo con 6% de CC y 5% de fibras (Tratamiento 2), alcanzando valores de CBR de hasta 89.6% en la calicata C-04, lo que indica un comportamiento sobresaliente del suelo estabilizado. Estos resultados evidenciaron que el aumento del porcentaje de ceniza de cabuya incrementa considerablemente la capacidad de soporte del suelo, gracias al comportamiento puzolánico y su interacción con las partículas finas del suelo, mientras que las fibras PET aportan refuerzo estructural al distribuir mejor las tensiones.

Desde el punto de vista estadístico, los resultados fueron igualmente concluyentes. El análisis de varianza (ANOVA) demostró una diferencia significativa entre los tratamientos aplicados, con un valor de F calculado de 92.548, superior al valor F tabulado de 3.885, lo que llevó a rechazar la hipótesis nula (Ho) y aceptar la hipótesis alterna (H1), confirmando que la combinación de ceniza de cabuya y fibras PET influyen significativamente en la mejora de la capacidad de soporte del suelo arcilloso. La prueba de Duncan complementó este análisis, demostrando tres subconjuntos claramente diferenciados: el tratamiento 0 (suelo natural) con un promedio de 4.157%, el tratamiento 1 con 36.200%, y el tratamiento 2 con 58.314% de CBR. Este incremento progresivo confirma que el tratamiento con 6% de CC + 5% de PET es el más eficiente para incrementar la resistencia del suelo, situándose muy por encima de los valores iniciales del suelo natural. En conjunto, estos resultados confirman que la estabilización con aditivos orgánicos y elementos reciclados representa una solución técnica, económica y ambientalmente viable para mejorar la subrasante en vías rurales.

Los resultados obtenidos en el tramo Socos — Yanayacu, con valores de CBR se incrementaron desde un mínimo de 3.7% (suelo natural) hasta un máximo de 89.6% con el tratamiento de 6% de ceniza de cabuya y 5% de PET, superando ampliamente los reportados en varios estudios previos. Por ejemplo, en el estudio de Ormeño (2020), al utilizar ceniza de cascarilla de arroz en proporciones de hasta 30%, logró mejorar el CBR del suelo, aunque también observó una disminución en la densidad seca. A diferencia de ello, en el estudio, no solo se incrementó de forma destacada el CBR, sino que además se conservaron o mejoraron las condiciones de compactación, lo que sugiere una mayor eficiencia del material combinado (ceniza de cabuya y fibras PET) como estabilizante. De manera similar, en la investigación de Tupia (2021) se empleó la ceniza de hojas de eucalipto, cuyo valor máximo de CBR fue 33.90% con 11% de ceniza, mientras que en el estudio se superó el rendimiento con menores porcentajes de adición, lo que refleja una mayor efectividad de los tratamientos aplicados en el suelo del tramo Socos — Yanayacu.

Asimismo, los resultados encontrados presentaron similitudes con el estudio de Terrones (2018), quien utilizando el 15% de ceniza de bagazo de caña de azúcar alcanzó un valor de CBR de 22.27%, lo que representa una mejora importante respecto al suelo natural, aunque también considerablemente inferior al máximo obtenido en la investigación. En este caso, la mezcla de material vegetal (ceniza de cabuya) con fibras sintéticas (PET reciclado) ha

generado una sinergia técnica, mejorando no solo la capacidad de soporte sino también la distribución de tensiones y la resistencia estructural ante cargas repetitivas en el suelo. Por su parte, en el estudio de Ramos (2022) se utilizó solo fibra de cabuya y se obtuvo un CBR máximo de 38.5% con 20% de fibras, resultado que se supera en el estudio incluso con proporciones mucho menores, lo que reafirma que la combinación con PET potencia el efecto estabilizante de la fibra natural. Finalmente, la investigación de Márquez (2019), enfocada en el uso de fibras PET recicladas, logró duplicar el CBR respecto al suelo natural, sin alterar significativamente la granulometría; sin embargo, el valor alcanzado fue menor al logrado en el estudio cuando se usó la mezcla con ceniza de cabuya, lo que demuestra que el refuerzo combinado es más eficaz que el uso individual de los componentes.

CONCLUSIONES

- 1. En el primer objetivo específico, se concluye que la adición de ceniza de cabuya y fibras PET influyen significativamente en la compactación del suelo arcilloso para subrasante, tal como lo demuestra el análisis estadístico aplicado a la densidad máxima seca, donde el tratamiento con 6% de ceniza de cabuya y 5% de PET alcanzó el mayor valor de 2.161 g/cm³, reflejando una mejor compactación del suelo y mayor capacidad portante. Aunque la variación en el contenido óptimo de humedad no resultó estadísticamente significativa, se evidenció una tendencia de disminución en varias calicatas, que representa una ventaja operativa en contextos con limitada disponibilidad de agua.
- 2. Para el segundo objetivo específico, se concluye que la adición de ceniza de cabuya y fibras PET influyen significativamente en la capacidad de soporte del suelo arcilloso para subrasante, tal como lo evidencia el incremento progresivo de los valores de CBR, pasando de un rango inicial entre 3.7% y 5.1% en el suelo natural, a valores que alcanzaron hasta 89.6% con el tratamiento de 6% de ceniza de cabuya y 5% de PET, clasificando al suelo como una subrasante excelente. Esta mejora sustancial fue respaldada estadísticamente por el análisis de varianza y la prueba de Duncan destacó al tratamiento 2 como el más eficaz.
- 3. De forma general, se concluye que la adición de ceniza de cabuya y fibras PET influyen significativamente en la mejora de la subrasante de suelo arcilloso en el tramo Socos Yanayacu, Ayacucho, ya que los resultados obtenidos demostraron mejoras en los parámetros clave de comportamiento del suelo, como la densidad máxima seca (hasta 2.161 g/cm³) y el índice CBR (hasta 89.6%), en comparación con el suelo natural. Estas mejoras reflejan una mayor capacidad de soporte, mejor compactación y mayor resistencia mecánica del suelo, para garantizar la estabilidad estructural y durabilidad del pavimento que se colocará. Además, el análisis estadístico confirmó la significancia de los tratamientos aplicados, además de demostrar que la combinación de ceniza de cabuya con fibras PET representa una alternativa técnica, económica y ambientalmente sostenible para el mejoramiento de subrasantes en vías rurales de la región.

RECOMENDACIONES

- 1. Para el primer objetivo específico, se recomienda utilizar la combinación de 6% de ceniza de cabuya y 5% de fibras PET recicladas como tratamiento estabilizante en suelos arcillosos destinados a subrasantes, ya que ha demostrado mejorar significativamente la densidad máxima seca del suelo, lo que se entiende como mayor capacidad de soporte y mejor comportamiento estructural. Además, esta alternativa permite promover el uso de materiales sostenibles y de bajo costo, aprovechando residuos orgánicos e inorgánicos disponibles localmente.
- 2. Para el segundo objetivo específico, se recomienda implementar la adición de 6% de ceniza de cabuya y 5% de fibras PET recicladas como técnica de estabilización para suelos arcillosos destinados a subrasantes de carreteras rurales, especialmente en zonas con baja capacidad portante, como se evidenció en el tramo Socos Yanayacu. Para garantizar un adecuado proceso constructivo, se sugiere realizar una mezcla homogénea en seco del suelo con la ceniza y las fibras antes del proceso de compactación, seguido de la dosificación y control de humedad óptima en campo, asegurando una adecuada energía de compactación. Asimismo, se recomienda incluir esta metodología en los planes de mantenimiento y rehabilitación de caminos rurales, promoviendo el uso de materiales locales y reciclados para reducir costos y minimizar el impacto ambiental.
- 3. De forma general, se recomienda aplicar la adición de de ceniza de cabuya al 6% y fibras PET al 5% para el mejoramiento de subrasantes de suelos arcillosos, como el caso del tramo Socos Yanayacu, Ayacucho, debido a los resultados positivos obtenidos en términos de compactación y capacidad de soporte (CBR). Para asegurar la correcta colocación de la subrasante, se debe controlar estrictamente el contenido óptimo de humedad y aplicar una energía de compactación adecuada, siguiendo los procedimientos del ensayo Proctor modificado, para lograr el máximo desempeño del material estabilizado. Finalmente, se sugiere fomentar el uso de residuos orgánicos y materiales reciclados como parte de una estrategia sostenible y de bajo costo para mejorar la infraestructura vial en regiones con recursos limitados.

REFERENCIAS BIBLIOGRÁFICAS

- AASHTO. (1991). Standard Specification for Classification of Soils and Soil. Estados Unidos de America.
- ANGULO, M., & ZAVALETA, C. (2020). Estabilización de suelos arcillosos con cal para el mejoramiento de las propiedades físico mecánicas como capa de rodadura en la Prolongación Navarro Cauper, Distrito San Juan Maynas Iquitos, 2019. Loreto.
- ASTM. (s.f.). Standard Practice for Classification of Soils for Engineering Purposes. Estados Unidos de America.
- Bismarck, A., Aranberri, J., Springer, K., Mohanty, A., Misra, M., Hinrichsenand, G., & Czapla, S. (2001). Surface characterization of natural fibers; surface properties and the water up-take behavior of modified sisal and coir fibers. Green Chemistry.
- Condori Yalli, J. D., & Carlos Herrera, D. Q. (2016). *Propiedades mecánicas de los materiales*. Universidad Nacional de ingenieria.
- Cook, O. (1989). History of the Coconut Palm in América. XIV(Parte 2).
- CRESPO, C. (2004). Mecanica de Suelos y Cimentaciones. Mexico: Limusa.
- DAS, B. (2004). Fundamentos de Ingenieria de Cimentaciones. Mexico: Limusa.
- Duarte, Queiroz, Sanches, Vicentini, & Dedini. (2012). *Ethnobotant of Natural Fibres-Bactris setosa (tucum) in a Traditional Rural Community*. Poland: Fibres & Textiles in Eastern Europe.
- Estrella, S. A. (2016). Estudio de un material compuesto a base de fibras naturales de cabuya para mejorar las propiedades mecánicas de elementos de concreto reforzado. Ecuador: Universidad Nacional de Chimborazo.
- Gomez Palacios, S. A. (2009). Diseño, Experimentación y evaluación del sistema constructivo Sam (sistema de bloques fibrorreforzados con fibra del desecho del fruto del coco, para la construcción de vivienda). Obtenido de http://biblioteca.usac.edu.gt/tesis/08/08_2996_C.pdf
- Granados-Sánchez, D., & López-Ríos, G. (2002). Manejo de la palma de coco (Cocos nucifera L.) en México. 8(1).

- Gutierrez, A. (19 de Mayo de 2014). Fibra de coco utilizada en la construcción. Recuperado el 19 de Agosto de 2021, de https://www.nuevamujer.com/lifestyle/2014/05/19/fibra-de-coco-utilizada-en-la-construccion.html
- Hernández, (2016). Analisis Comparativo de un material estabilizado con Cal y Cemento [en linea]. Tesis (Título de Ingeniero Civil). Mexico: Instituto Politécnico Nacional, 2016 Disponible en: https://tesis.ipn.mx/bitstream/handle/123456789/19529/Memoria%20de%20Experienxia% 20Profesional_AHD.pdf?sequence=1&isAllowed=y
- Hernandéz, Fernández, & Baptista, (2010). *Metodología de la investigación*. Mexico: Jesús Mares Chacón.
- Instituto Nacional de defensa Civil. (2011). Mapa de peligros, plan de usos de suelo ante desastes y medidas de mitigación de la ciudad de Huancayo. Huancayo: Sistema nacional de defensa Civil.
- KRAEMER, C., & PARDILLO, J. y. (2004). *Ingenieria de Carreteras*. España: McGraw-Hill.
- Maya, J., & Sabu, T. (2008). Biofibres and biocomposites. Carbohydrate Polymer, 343-364.
- MTC. (2014). Manual de Carreteras: Suelos, Geologia, Geotecnia y Pavimentos. Lima: MTC. NTP 400.012. (2013). Agregados. Analisis granulométrico. Lima: INDECOPI.
- NTP 400.021. (2013). Agreagados. Métodod de ensayo normalizado para la densidad, la densidad relativa (peso específico) y absorción del agregado grueso. Lima: INDECOPI.
- Perez, (2014). Mejoramiento de suelos arcillosos con cenizas de carbón para su uso como subrasante mejorada [en linea]. Lima-Perú, 2014 [fecha de consulta: 28 octubre 2023]. Disponible en: https://renati.sunedu.gob.pe/handle/sunedu/3259557
- Quintero García, S. L., & González Salcedo, L. O. (2006). Uso de fibra de estopa de coco para mejorar las propiedades mecánicas del concreto. *1*(20).
- RICO, A., & DEL CASTILLO, H. (2005). La Ingenieria de Suelos en las Vías Terrestres: Carreteras, Ferrocarriles y Aeropistas. México: Limusa.
- Silva, G., De Souza, D., Machado, J., & Hourston, D. (2000). *Mechanical and Thermal Characterization of Native Brazilian Coir Fiber*. Brazilian.

- SOWER, G., & SOWER, G. (1972). *Introducción a la Mecanica de Suelos y Cimentaciones*. Mexico: Limusa.
- USACE (US Army Corps Of Engineers, Estados Unidos de America). Soil Stabilization for Pavements: Mobilization Construction [en linea]. Engineer Manual EM 110-3-137. Washington, Estados Unidos de America. Disponible en: http://www.publications.usace.army.mil/Portals/76/Publications/EngineerManuals/EM_11 10-3-137.pdf?ver=2013-09-04-070839-903
- Yuan, Q., Shi, C., De Schutter, G., Audenaert, K., & Deng, D. (Enero de 2009). *Chloride binding of cement-based materials subjected to external chloride environment*. Obtenido de https://www.sciencedirect.com/science/article/abs/pii/S095006180800055X

ANEXOS

Anexo 1: Operacionalización de variables

Variable	Definición conceptual	Definición operacional	Dimensiones	Indicadores	Unidad de	Escala de
					medida	medición
Variable independiente 1: Ceniza de cabuya	La ceniza de cabuya es un subproducto resultante de la combustión controlada de las fibras de Cabuya, utilizadas tradicionalmente para fabricar sogas o tejidos. Esta ceniza, rica en compuestos minerales como sílice, calcio y potasio, ha demostrado potencial como material	La variable de ceniza de cabuya se operacionaliza y estudia por medio de las proporciones al 3% y 6% en la mezcla de suelo arcilloso para	Proporción de ceniza de cabuya	3% de ceniza	Gr	Razón
	puzolánico en la estabilización de suelos. En aplicaciones viales, se investiga su uso como aditivo natural y sostenible para mejorar las propiedades geotécnicas de suelos arcillosos, tales como la resistencia a la compresión y la reducción de la plasticidad, ofreciendo una alternativa ecológica y de bajo costo (Evaluación de la ceniza de cabuya como aditivo para la estabilización de suelos arcillosos, 2020).	subrasante.		6% de ceniza	Gr	Razón
Variable independiente 2: Fibras PET	Las fibras PET (polietileno tereftalato) son materiales sintéticos obtenidos a partir del reciclaje de botellas plásticas, que se utilizan como refuerzo en mezclas de suelo o concreto en ingeniería vial. Estas fibras presentan alta resistencia a la tracción, estabilidad química y durabilidad, lo que las hace útiles para mejorar las propiedades mecánicas del suelo, como el aumento de la capacidad portante, la reducción de la deformación plástica y el control de fisuras (Uso de fibras PET recicladas en estabilización de suelos para aplicaciones viales, 2018).	La variable de fibras PET se operacionaliza y estudio por medio de la proporción del 5% en la mezcla de suelo arcilloso para subrasante.	Proporción de fibras PET	5% PET	Gr	Razón
Variable dependiente: Subrasante	Capa natural o preparada, sobre la cual se apoya la estructura del pavimento en una carretera. Su función principal es proporcionar soporte estructural a las capas	La variable de subrasante de suelo arcilloso, se operacionaliza y estudia por	Compactación	Óptimo contenido de humedad	%	Razón
de suelo arcilloso	superiores, distribuyendo las cargas del tráfico hacia el terreno natural. Cuando esta subrasante está compuesta predominantemente por suelo arcilloso, se habla de una	medio de las propiedades mecánicas de compactación y capacidad de soporte con las		Máxima densidad seca	%, gr/cm ³	Razón
	subrasante de suelo arcilloso, que requiere de tratamientos o estabilización para mejorar su comportamiento frente a cargas y condiciones climáticas (Ministerio de Transportes y Comunicaciones, 2014).	adiciones de ceniza de cabuya y fibras PET.	Capacidad de soporte	Capacidad de soporte (CBR)	%	Razón

Anexo 2: Matriz de consistencia

Problema	Objetivos	Hipótesis	Variables	Dimensiones	Indicadores	Metodología
Problema general	Objetivo general	Hipótesis general:	V.I. 1: Ceniza	D1: Proporción	I1: 3% de	Método: Científico
¿De qué forma influye la	Determinar la influencia	La adición de ceniza de	de cabuya	de ceniza de	ceniza	Tipo: Aplicada
adición de ceniza de	de la adición de ceniza de	cabuya y fibras PET		cabuya	I2: 6% de	Nivel: Explicativo
cabuya y fibras PET para	cabuya y fibras PET para	influyen			ceniza	Diseño: Experimental
mejorar la subrasante de	mejorar la subrasante de	significativamente en la	V.I. 2: Fibras	D2: Proporción	I1: 5% PET	Población: Conformada
suelo arcilloso en el	suelo arcilloso en el tramo	mejora de la subrasante de	PET	de fibras PET		por el suelo de la
tramo Socos –	Socos – Yanayacu,	suelo arcilloso en el tramo	V.D.:	D1:	I1: Óptimo	subrasante en la progresiva
Yanayacu, Ayacucho?	Ayacucho.	Socos – Yanayacu,	Subrasante de	Compactación	contenido de	0+000 km a 3+000 km de
		Ayacucho.	suelo arcilloso		humedad	Socos – Yanayacu,
Problemas específicos	Objetivos específicos				I2: Máxima	Ayacucho
a. ¿De qué forma	a. Determinar la	Hipótesis específicas:			densidad seca	Muestra: Delimitada por
influye la adición de	influencia de la	a. La adición de ceniza		D2: Capacidad	I2: Capacidad	el suelo de las 7 calicatas
ceniza de cabuya y	adición de ceniza de	de cabuya y fibras PET		de soporte	de soporte	dentro del tramo de estudio.
fibras PET en la	cabuya y fibras PET en	influyen			(CBR)	Técnicas e instrumentos
compactación del	la compactación del	significativamente en				de recolección de datos:
suelo arcilloso para	suelo arcilloso para	la compactación del				La técnica corresponde a la
subrasante?	subrasante.	suelo arcilloso para				observación directa y los
b. ¿De qué forma	b. Determinar la	subrasante.				instrumentos corresponden
influye la adición de	influencia de la adición	b. La adición de ceniza				a los registros de los
ceniza de cabuya y	de ceniza de cabuya y	de cabuya y fibras PET				ensayos en laboratorio.
fibras PET en la	fibras PET en la	influyen				Procesamiento de datos: El procesamiento de
capacidad de soporte	capacidad de soporte	significativamente en				consistió en la organización
del suelo arcilloso	del suelo arcilloso para	la capacidad de				y presentación de
para subrasante?	subrasante.	soporte del suelo				resultados en tablas y
		arcilloso para				gráficos para la
		subrasante.				comprensión.

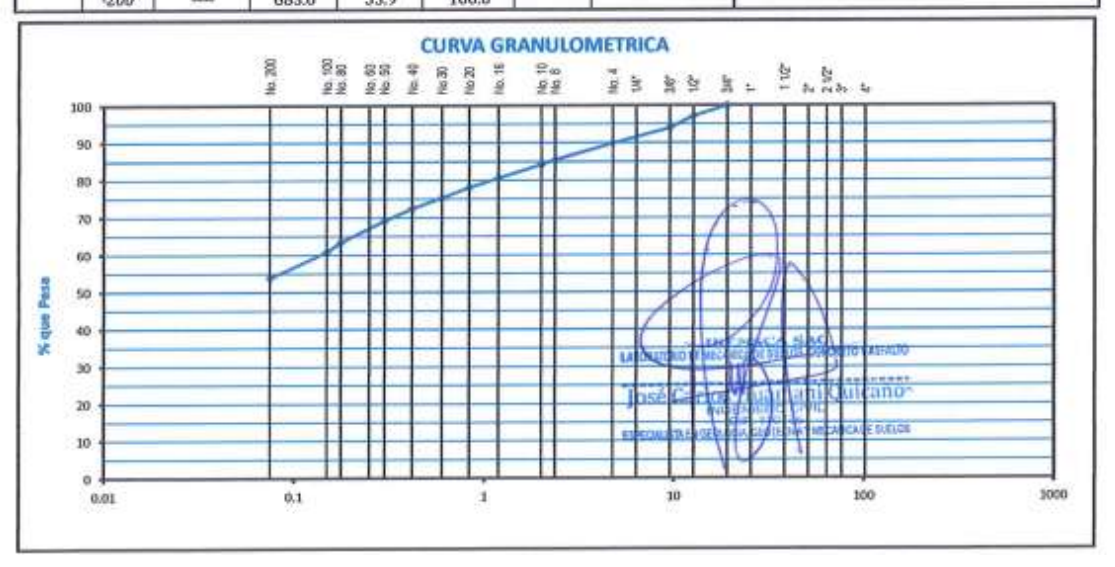
Anexo 3: Resultados de los ensayos de laboratorio



ANALISIS GRANULOMETRICO POR TAMIZADO MTC E 107 - ASTM D 6913 - ASTM D 2487

OBRA	: "INFLUENCIA DE LA ADICIÓN DE CENIZA DE CABUYA Y FIBR EL TRAMO SOCOS- YANAYACU, AYACUCHO, 2023"	INFLUENCIA DE LA ADICIÓN DE CENIZA DE CABUYA Y FIBRAS DE PET PARA MEJORAR LA SUBRASANTE DEL SUELO ARCILLOSO E TRAMO SOCOS- YANAYACU, AYACUCHO, 2023"				
SOLICITANTE	: JHONATAN AYALA GUEVARA					
UBICACIÓN	: SOCOS-VANAYACU-AYACUCHO	FECHA	: NOVIEMBRE DEL 2023			
CALICATA LUGAR PROFUNDIAD	: C-D1 : PROG. KM 0+000 : 160 m					

	/	Tamiz	Abertura	Peso	16 B	etenido	% que	Especificaciones	Descripción de Muestra
1		ASTM	THE PARTY OF THE P	Retenido	Parcial	Acumulado	Pasa	Obra	Descripcion de sincara
THE P	man 4° 10		101.600						
CANTOS		3"	76.200	0.0			0.0		Grava > 3*
		21/2"	63.500	0.0	0.0	0.0	0.0		Grava 1 10.10 %
		2"	50.800	0.0	0.0	0.0	0.0		Агела : 36.00 %
	OUESA	11/2"	38.100	0.0	0.0	0.0	0.0		Finos , 53.90 %
	8	1"	25,400	0.0	0.0	0.0	0.0		
name		3/4"	19.050	0.0	0.0	0.0	100.0		Humedad Natural , 17.00 %
2		1/2*	12.700	35.0	2.8	2.8	97.2		- Maria - Mari
	8	3/8"	9.525	40.0	3,2	6.0	94.0		Limite Liquido 7 33.80
- 1	FINA	1/4*	6.350		0.0	0.0	0.0		Limite Plastico 28.17
		No. 4	4.760	52.0	4.1	10.1	89.9		LP ; 5.63
	ASSURE	No. B	2.360	55.0	4.4	14.5	85,5		CLASSIFICACION AASSIITO: A-4(1
	8	No. 10	2.000	16.0	1.3	15.8	84.2		ASSESSMENT AND ASSESSMENT OF THE PARTY OF TH
		No. 16	1.190	45.0	3.6	19,4	80.6		CLASIFICACION SUCS: ML
	5	No 20	0.834	31.0	2.5	21.9	78.1		CLICIPPENCION SINCE. INC.
	MEDIA	No 30	0.600	36.0	2.8	24.7	75,3		- Limia
MEM		No. 40	0.420	36.0	2.8	27.5	72.5		- 20110
		No. 50	0.300	42.0	3.3	30.8	69.2		Peso Inicial Seco (gr) 1264.0
		No. 60	0.250	0.0	0.0	0.0	0.0		Peso Inicial lavado seco(gr) : 581.0
	HIN	No. 80	0.177	73.0	5.8	36.6	63.4		Peso Fracción (gr) 1137.0
		No. 100	0.149	33.0	2.6	39.2	60.8		
		No. 200	0.075	87.0	6.9	46.1	53.9		
_	-	-200		683.0	53.9	100.0			





CONTENIDO DE HUMEDAD

ASTM D 2216 - MTC E-108

OBRA		LUENCIA DE LA ADICIÓN DE CENIZA DE CABUYA Y FIBRAS DE PET PARA MEJORAR LA SUBRASANTE UELO ARCILLOSO EN EL TRAMO SOCOS- YANAYACU, AYACUCHO,2023"				
SOLICITANTE	: JHONATAN AYALA GUEVARA					
UBICACIÓN	: SOCOS-YANAYACU-AYACUCHO	FECHA: NOVIEMBRE DEL 2023				
CALICATA LUGAR PROFUNDIAD	: C-01 : PROG. KM 0+000 : 1.60 m					

CONTE	AUTO DE HOMEDA	D PARA SUELOS MUESTRA INTE	
Muestra	Ma	1	PROMEDIO
Recipiente	No	00	
Peso recipiente + suelo húmedo	gr	385.0	
Peso recipiente + suelo seco	gr	329.0	
Peso del recipiente	gr	0.0	
Peso de agua	gr	56.0	
Peso del suelo seco	gr	329.0	
Contenido de Humedad	96	17.0	17.0

Obsevaciones:

21123



DETERMINACION DE LOS LIMITES DE CONSISTENCIA

AST	M D	431	18	

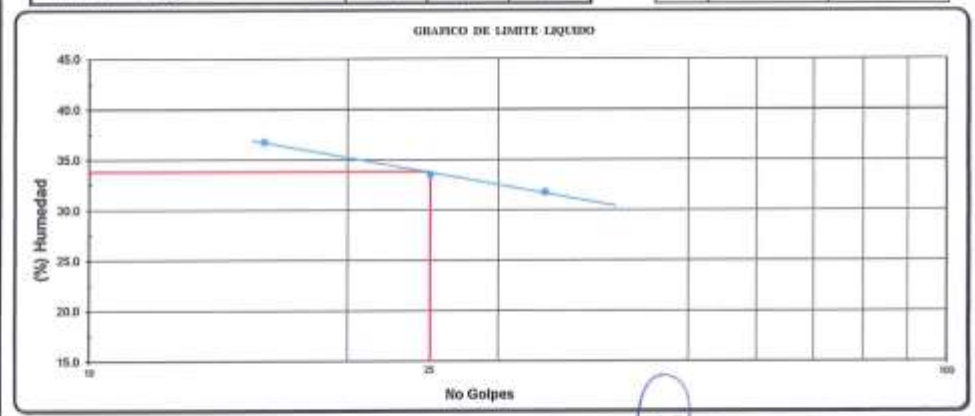
OBKA	2 "INFLUENCIA DE LA ADICIÓN DE CENIZA DE CABUTA Y FURAS DE PET PARA MEJORAR LA SUBRASANTE DEL SUBLO ARCELOSO E TRAMO SOCOS-YANAYACU, AYACUCHO, 2023"							
SOLICITANTE	; JHONATAN AYALA GUEVARA							
UNIOCACIÓN	-SOCOE-YANAYACU-AYACUGRO	PECHA	, NOVSEMBRE DEL 2023					
CALICATA LIIGAR PROFUNDIAD	: C-01 : PROG. KM:0+000 : 1.60 es							

Capanda New	- 4		PROMEDIC
Peno-de la Capoula (gr)	14.78	13.91	
Peso de la Capitala-Suelo Humedo (gr)	16.62	16.52	
Peso de la Capsula+Surlo Seru (gr)	16.22	15/94	
Pesa del Agua (gr)	E40	0.58	
Peso del Suelo Seco (gr)	1.44	2.03	
Contenido de Humedail (%)	27.78	20.57	20,17

LIMITELIQUIDO MTCE110

Caprola Nro	1	2	3	
Peso de la Capvala (gr)	14.74	14.53	15.00	
Peso de la Capsula+Sucio Humedo (gr)	23.63	24.40	25.09	
Peso de la Capoula-Suelo Sera (gr)	21.24	21.92	22.65	
Numero de Golpes	16	25	34	
Peso dol agua (g)	2.39	2.48	2.43	
Pens del Surlo Surv (gr)	6.50	7.39	7.65	
Contenido de Humedad (%)	36.77	33.56	31.76	

	RESULTADOS	ESPECIFICADO
LL:	33.80	Lance Co.
L.F. ;	28.17	V
LP. c	5.63	V-102



OBSERVACIONES:

AMONODO II SELECTION AND CONTROL OF THE SELECTION OF THE

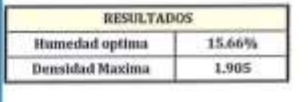
2021



RELACION HUMEDAD DENSIDAD (PROCTOR MODIFICADO) ASTM-1557 MTCE115									
OERA	: "INFLUENCIA DE LA ADICIÓN DE CENIZA DE CABUY/ ARCILLOSO EN EL TRAMO SOCOS-YANAYACU, AYACUC	. Y FIBRAS DE PET PARA MEJORAR LA SUBRASANTE DEL SUELO HO,2023°							
SOLICITANTE	: 3HONATAN AYALA GUEVARA	10							
UBICACIÓN	: SOCOS-YANAYACU-AYACUCHO	FECHA : NOVIEMBRE DEL 2023							
CALICATA LUGAR PROFUNDIAD	1 C-01 1 PROG. KM 0+000 ± 1.60 m								

				C				
Numero de golpes Numero de capas								
107	11205	11372	11439	11239				
101	6760	6760	6760	6760				
cc	2124	2124	2124	2124				
101	4445	4612	4679	4479				
gr/cc	2.09	2.17	2.20	2.11				
CALCU	LO DE HUMEDAD							
ar .	502.0	512.0	526.0	515.0				
gr	443.0	446.0	452.0	438.0				
gr	59.0	66.0	74.0	77				
10'	0.0	0.0	0.0	0.0				
III.	443.0	446.0	452.0	438.0				
96	13.32	14.80	16,37	17.58				
94	13.32	14.80	16.37	17.58				
CALCULO	DE DENSIDAD SEC	A						
gr/cc	1.847	1.891	1.893	1.793				
	BF BF CALCULO	## 11205 ### 6760 ### 6760 ### 4445 ### 4445 ### 502,0 ### 443,0 ### 443,0 ### 443,0 ### 443,0 ### 443,0 ### 443,0 ### 443,0 ### 443,0 ### 443,0 ### 443,0 ### 443,0 ### 443,0 #### 443,0 #### 443,0 #### 443,0 #### 443,0 #### 443,0 #### 443,0 ###################################	BY 6760 6760 CC 2124 2124 BY 4445 4612 BY 209 2.17 CALCULO DE HUMEDAD BY 502.0 512.0 BY 443.0 446.0 BY 59.0 66.0 BY 0.0 0.0 BY 442.0 446.0 W 13.32 14.80 CALCULO DE DENSIDAD SECA	### 11205				









ENSAYO VALOR DE SOPORTE (C.B.R.) ASTM D1883 MTC E-132

ORRA	: 'INPLUENCIA DE LA ADICIÓN DE CENIZA DE CABUYA Y PE TRAMO SOCOS- YANAYACU, AYACUCHO, 2023'	BRAS DE PET PARA MEJORAR LA SUBRASANTE DEL SUELO ARCILLOSO EN EL
SOLICITANTE	: JHONATAN AYALA GUEVARA	
UBICACIÓN	: SOCOS-YANAYACU-AYACUCHO	FECHA 1 NOVIEMBRE DEL 2023

CALICATA : C-01 LUGAR : PROG. KM 0+000 PROFUNDIAD : 1.60 m

DATOS DEL PROCTOR

PLACONA DENCRIDAD SPCA : 1,965

OPTIMO CONTENIDO DE HEMEDAD : 15.66 %

Molde Nº		- 1		2		3		
Nº Capa				5		5		
Golpes por capa N ^p Cond. de la muestra		Se	6	2!	5	12		
		NO SATURADO	SATURADO	NO SATURADO	SATURADO	NO SATURADO	SATURADO	
Peso molde + suelo hámedo	gr.	13018		13267		12592		
Peso de molde	gr.	8470		8668		8491	1	
Peso del suelo húmodo	gr.	4548		4599		4101	W.	
Volumen del molde	cm²	2124		2124		2124		
Densidad Inimeda	gr/cm ³	2.141		2.165		1,931	C-	
			CALCULO I	E HUMEDAD				
Tarro №								
Tarra + Saelo būmedo	gr.	210.0		465.0		424.0	FI.	
Tarro + Suelo seco	gr.	193.0		402.0		389.0	0	
Peso del Agua	gr.	17.0		63.0		35.0		
Peso del tarro	gr.	0.0		0.0		0.0		
Peso del suelo seco	gr.	193.0		402.0		389.0		
Humedad	96	8.81		15.67		9.00		
Densidad seca	gr/cm ³	1.968		1.872		1,772		

					EXPANSI	ON	-	1,000	· · ·	1	
FECHA HORA	THMPO	POAL.	EXPA	NSION	DIAL	EXIVA	ISION	DIAL	EXPA	NEIGH	
	нопх	Hr.	put	rate.	16	mar	mets	16	/ 1	majo	- 4
			NO E	XPANS	SIVO			Linne		noec cocopay	SEALO.
			NOE	APAN	SIVO			Torri		- CO.	

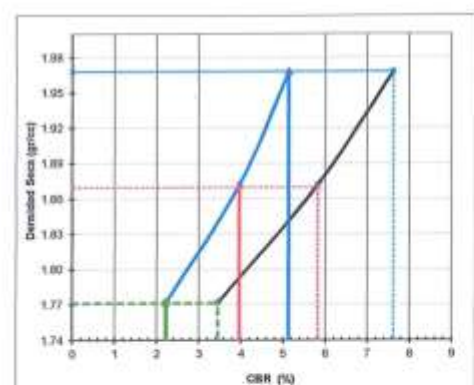
					PENE	THACION				- 11			
	CANGA		BIOLDES!		1		MOUDE Nº		3		MOLDE Nº		- 1
PENETRACION	STAMB.	CAS	IGA.	COURS	XXXIOW	CAF	HOA .	CORRE	CCION	CAI	NOV	CORRE	CCION
tota kg/css	lqg/cm2	Disk (div)	lig/ent	hg/on2	76	Dial (div)	hg/cm2	bg/cm2	94	Dist(stly)	lug/cm2	Ag/cm2	- 14
0.00		0	0			0	0			0	0		
0.63		21	92			15	59			11	43		
1.27		35	137			26	101			17	66		
1.90		56	219			37	144			20	109		
2.64	20.9	70	305	3.6	5.1	68	266	2.8	4.0	47	183	1.6	23
3.17	100000	103	403			84	329			67	262	110-117-1	
3.01	105.5	156	610	8.0	7.6	104	407	6.1	5.8	93	363	3.6	31.2
5.09		232	910			168	658			146	571		
7,62		432	1702			318	1249			355	1000		
10.16		574	2270			464	1829			394	1559		
12.70		643	2547			543	2145			453	1786		



GRAFICO DE PENETRACION DE CBR ASTM D 1883 MTC E-132

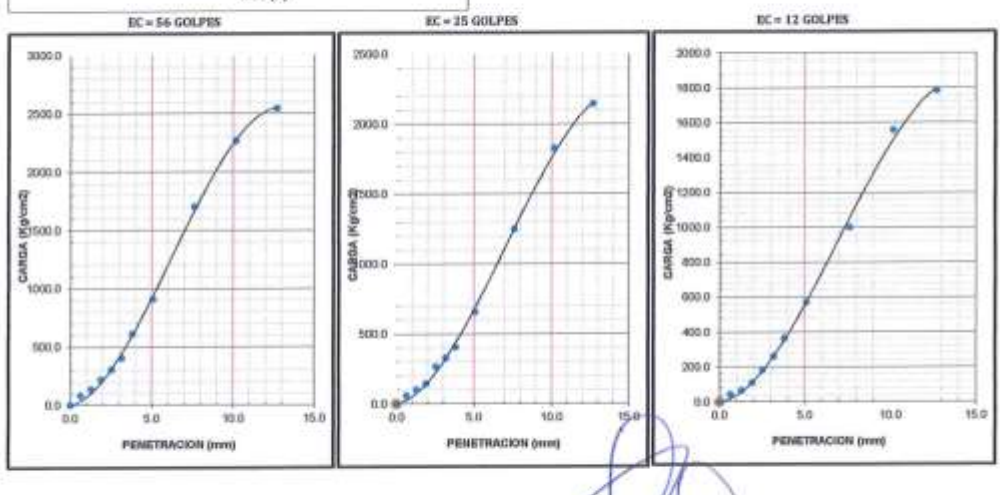
OBRA	I "INFLUENCIA DE LA ADICIÓN DE CENIZA DE CABUYA Y FIBRAS DE PET PARA MEJORAR LA SUBRASANTE DEL SUELO ARCILLOSO EN EL TRAMO SOCOS- YANAYACU, AYACUCHO,2023"					
SOLICITANTE	: JHONATAN AYALA GUEVARA	: JHONATAN AYALA GUEVARA				
UBICACIÓN	: SOCOS-YANAYACU-AYACUCHO	FECHA	; NOVIEMBRE DEL 2023			

CALICATA : C-01
LUGAR : PROG. KM 0+000
PROFUNDIAD : 1.60 m



C.B.R. AL 100% DE M.D.S. (%)	0.1%	5,1	0.2%	7.6
C.B.R. AL 95% DE M.D.S. (%)	0.17	4.0	0.2":	5,8
CBR. AL 90% DEM.D.S. (%)	0.1%	2.2	0.2%	3.5

OBSERVACIONES:



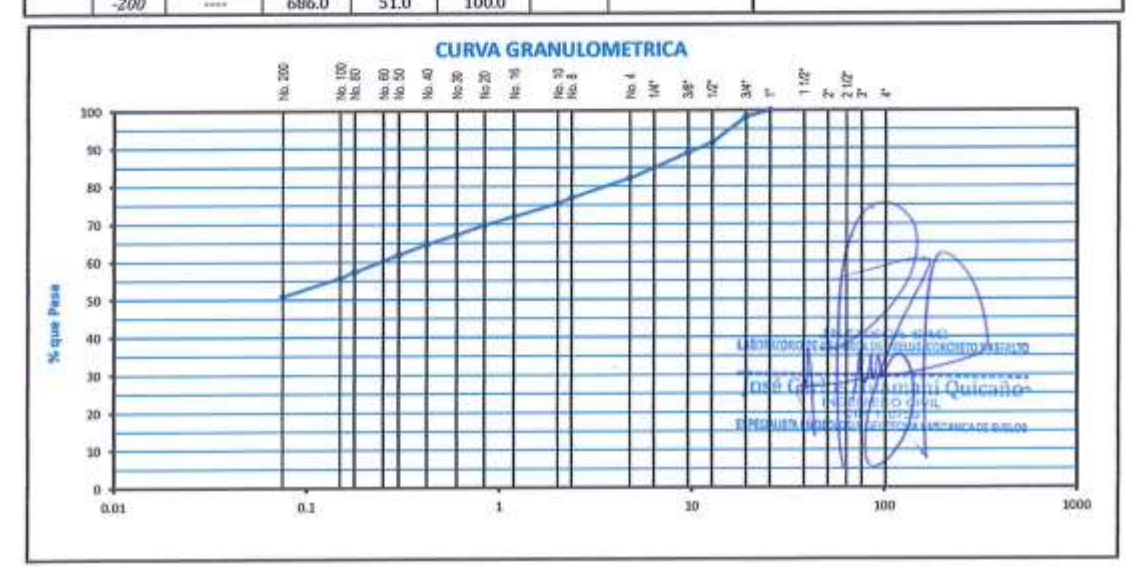
COSC CAPTURE THE STATE OF ACCUSTON ASSETS THE STATE OF TH



ANALISIS GRANULOMETRICO POR TAMIZADO MTC E 107 - ASTM D 6913 - ASTM D 2487

OBRA	: "INFLUENCIA DE LA ADICIÓN DE CENIZA DE CABUYA Y FIBRAS DE PET PARA MEJORAR LA SUBRASANTE DEL SUELO ARCILLO EL TRAMO SOCOS- YANAYACU, AYACUCHO,2023"				
SOLICITANTE	: JHONATAN AYALA GUEVARA				
UBICACIÓN	: SOCOS-YANAYACU-AYACUCHO	FECHA	: NOVIEMBRE DEL 2023		
CALICATA LUGAR PROFUNDIAD	: C-02 : PROG, KM 0+500 : 1.50 m				

	Tamiz		Abertura	Peso	% R	etenido	% que	Especificaciones	Descripción de Muestra
/	3	ASTM	(mm.)	Retenido	Parcial	Acumulado	Pasa	Obra	Description of minimum
	UA O	4"	101.600		37000			13.100	
CAM	103	3"	76.200	0.0			0.0		Grava > 3°
П	5 2	21/2"	63.500	0.0	0.0	0.0	0.0		Grava : 17.80 %
- 1		2"	50.800	0.0	0.0	0.0	0.0		Arena : 31,20 %
- 1		11/2"	38.100	0.0	0.0	0.0	0.0		Finos : 51.00 %
اء	3	1"	25.400	0.0	0.0	0.0	100.0		AN ANDRES AS THE SECOND STATE OF
		3/4"	19.050	22.0	1.6	1.6	98.4		Humedad Natural : 18.40 %
1		1/2*	12.700	92.0	6.9	8.5	91.5		
- 1	•	3/8*	9.525	35.0	2.6	6 11.1 88.9			Limite Liquido 38.80
- 1	FINA	1/4"	6.350		0.0	0.0	0.0		Limite Plastico 29.97
		No. 4	4.760	90.0	6.7	17.8	82.2		I,P ± 8.83
	GRUTSA	No. 8	2.360	71.0	5.3	23.1	76.9		CLASIFICACION AASHTO: A-4[3
-	8	No. 10	2.000	19.0	1.4	24.5	75.5		Compression of the Compression o
1		No. 16	1.190	47.0	3.5	28.0	72.0		CLASTRICACIÓN SUCS: ML
-	5	No 20	0.834	30.0	2.2	30.2	69.8		CENTRICION SOUS.
٠	МЕБТА	No 30	0.600	35.0	2.6	32.8	67.2		- Limo
		No. 40	0.420	33.0	2.5	35.3	64.7		- 2400
No. 50 0.300 37.0 2.8 38.1		61.9		Peso Inicial Seco (gr) 1342.0					
-1		No. 60	0.250	0.0	0.0	0.0	0.0		Peso Inicial lavado seco(gr) : 656.0
1	NA.	No. 80	0.177	60.0	4.5	42.6	57.4		Peso Fracción (gr) : 1103.0
Ι,	-	No. 100	0.149	21.0	1.6	44.2	55.8		
- 1		No. 200	0.075	64.0	4.8	49.0	51.0		
_		-200		686.0	51.0	100.0			





CONTENIDO DE HUMEDAD

ASTM D 2216 - MTC E-108

OBRA	: "INFLUENCIA DE LA ADICIÓN DE CENIZA DE CABUYA Y FIBRAS DE PET PARA MEJORAR LA SUBRASAN DEL SUELO ARCILLOSO EN EL TRAMO SOCOS- YANAYACU, AYACUCHO, 2023"			
SOLICITANTE	: JHONATAN AYALA GUEVARA			
UBICACIÓN	: SOCOS-YANAYACU-AYACUCHO	FECHA: NOVIEMBRE DEL 2023		
CALICATA LUGAR PROFUNDIAD	: C-02 : PROG. KM 0+500 : 1.50 m			

CONTENIDO DE HUMEDAD PARA SUELOS MUESTRA INTEGRAL					
Muestra	Ma	1	PROMEDIO		
Recipiente	No.	00			
Peso recipiente + suelo húmedo	gr	379.0			
Peso recipiente + suelo seco	gr	320.0			
Peso del recipiente	gr	0.0			
Peso de agua	gr	59.0			
Peso del suelo seco	gr	320.0			
Contenido de Humedad	96	18.4	18.4		

Obsevaciones	
	José Carles HALDRAN OUICADO
	EPPERATE TO THE PROPERTY OF TH



DETERMINACION DE LOS LIMITES DE CONSISTENCIA ASTM D 4318

CORRA	1 "INFLUENCIA DE LA ADICIÓN DE CENIZA DE CABUYA Y FIBRAS DE PET PARA MEJORAR LA SUBRASANTE DEL SUELO ARCILLOSO EN TRAMO SOCOS-YANAYACU, AYACUCHO, 2023"			
SOLKITANTK	: JBONATAN AYALA GUEYARA	TAN AYALA GUEVARA		
UNICACIÓN	SOCOS-YANAYAGU-AYAGUCHO	FECHA	MOVIEMBRE DEL 2023	
CALICATA	(C-02			

| PROG. KM 8+500 | \$.50 m LUGAR PROFUNDIAD

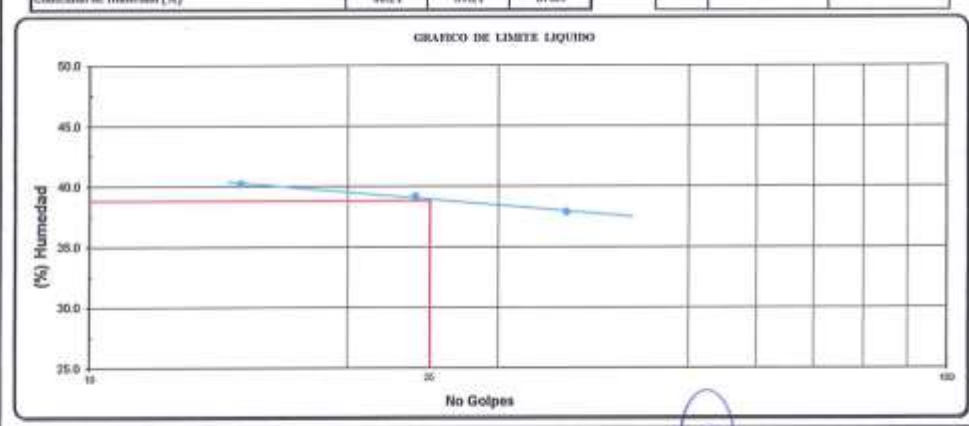
LIMITE PLASTICO MTC E 111

Cagarula Nro	9	10	PROMEDIO
Peso de la Caposte (pr)	14.58	14.19	
Paso de la Capsula» Suelo Humodo (gr)	16.77	16.03	
Passa de la Capsula+Stacio Seco (gr)	16.26	15.61	
Peso del Agua (gr)	0.51	6.42	
Peso del Suela Seco (gr)	1.00	1.42	
Contendo de Humedad (%)	30.36	29.58	29.97

LIMITELIQUIDO MTCE 110

Capaula Neo	- 6	7	0
Peso de la Capsuda (gr)	1471	14,52	14.01
Peso de la Capsula+Seelo Humodo (gr)	24.12	23.68	23.80
Peso de la Caprada+Sterio Seco (gr)	21.42	21.10	21,11
Numero de Golpes	15	24	36
Peso del agua (g)	2.70	2.50	2,69
Pesu del Suelo Suco (gr)	671	650	7.10
Contenido de Humedad (%)	40.24	39.21	37.89

	RESULTADOS	ESPECIFICADO
Lis	38.80	
t.P. s	29.97	
1P.i	8.83	



OBSERVACIONES:

Asociación Miraflores Mz. N1 Lote 02 - San Juan Bautista - Ayacucho Cel. 954000684 - RPM #954000684 E-mail: jkemsca@hotmail.com



	RELACION HUMEDAD DENSIDAD (ASTM - 1557 MT	PROCTOR MODIFICADO) CE115			
OBRA	I "INFLUENCIA DE LA ADICIÓN DE CENIZA DE CABUYA Y ARCILLOSO EN EL TRAMO SOCOS-YANAYACU, AYACUCHO	FIBRAS DE PET PARA MEJORAR LA SUBRASANTE DEL SUELO ,2023"			
SOLICITANTE	: JHONATAN AYALA GUEVARA				
UBICACIÓN	: SOCOS-YANAYACU-AYACUCHO	PECHA : NOVIEMBRE DEL 2023			
CALICATA LUGAR PROFUNDIAD	: C-02 : PROG. KM 0+500 : 1.50 m	***			

Aetodo de compactacion							
Numero de golpes	lumero de golpes						
lumero de capas							
	CALCULO D	E DENSIDAD HUMI	EDA				
1. Peso suelo humedo. + molde	81	11016	11148	11341	11054		
2. Peso del molde	gr	6760	6760	6760	6760		
3. Volumen del molde	cc	2124	2124	2124	2124		
4. Peso suelo humedo	g/	4256	4366	4581	4294		
. Densidad suelo humedo gr/cc 2.00 2.07 2.16							
	CALCU	LO DE HUMEDAD					
6. Capeuša N ^a							
7. Peso del suelo húmedo.+ capsula	gr	518.0	536.0	476.0	519.0		
8. Peso del suelo seco+capsula	gr.	459.0	470.0	408.0	434.0		
9. Pesu del agua	gr	59.0	66.0	68.0	85		
10. Peso de la capsula	gr.	0.0	0.0	0,0	0.0		
11. Peso del suolo seco	gr	459.0	470.0	408.0	434.0		
12. Contenido de humedad	96	12.85	14.04	16.67	19.59		
12. Contenido de Humedad	%	12.05	14.04	16.67	19.59		
	CALCULO	DE DENSIDAD SEC	A				
13. Densidad seca del Auelo	gr/cc	1.776	1.012	1.849	1.691		



HESULTAD	05
Humedad optima	16.25%
Densidad Maxima	1.850

Jose Centre Frankalti Quicano
introducida uma estato de la reconstitución de la reconstitució



ENSAYO VALOR DE SOPORTE (C.B.R.) ASTM D1883 MTC E-132

: "INFLUENCIA DE LA ADICIÓN DE CENIZA DE CABUYA Y FIBIRAS DE PET PARA MEJORAR LA SUBRASANTE DEL SUILO ARCILLOSO EN EL TRAMO SOCOS- YANAYACU, AYACUCHO, 2023" OBRA SOLUTTANTE : HONATAN AYALA GUEYARA FECHA: NOVIEMBRE DEL 2023 UBICACIÓN : SOCOS-YANAYACU-AYACUCHO

CALICATA : C-02 LUGAR : PROG. KM 0+500 PROFUNDIAD : 1.50 m

DAYOS DEL PROCTOR MATORA DESCRIDAD TECA OPTERO CONTENEDO DE HUMEDAD 1.856 10.75 %

Molde Nº Nº Capa Golpes por capa Nº		1		2		3		
		S		5	P.	S		
		56		23	5	12		
Cond. de la muestra		NO SATURADO	SATURADO	NO SATURADO	SATURADO	NO SATURADO	SATURADO	
Peso molde + suelo húmedo	gr.	13112		12908		12969		
Peso de molde	gr.	9611	·	8471		8668		
Peso del suelo húmedo	gr.	4501		4437		4301		
Volumen del molde	CHr ³	2124		2124		2124		
Demidad húmeda	gr/cm ³	2.119		2,099		2,025		
			CALCULO I	DE HUMEDAD				
Tarro Nº								
Tarro + Snelo húmedo	gr.	859.0		772.0		692.0		
Tarro + Suelo seco	gr.	795.0		689.0	1	602.0		
Peso del Agna	gr.	64.0		83.0		90.0		
Peso del tarro	gr	0.0		0.0		0.0		
Pese del suelo seco	gr.	795.0		689,0		602.0		
Humedad	96	8.05		12.05		14,95		
Densidad seca	gr/cm ³	1.961		1.864		1.762	-	

					EXPAN	SION									
FECHA	HORA	65360	0.000	THEMPO	DIAL	EXPANSION		DIAL	EXPANSION		DIAL		7/px	uniqu	ON
		116.	DIAL	1000	96	Dista	THEFT	16	V	/mas		1	16		
						T			/	A					
			NO E	XPANS	OVIS					SHIPSK	56 67	C.	1		
			NOE	APAN	3140				-	HOY	1	CALLED .	711		
									DSP Com		-	r E	1		
							0		- 11	Shine is	C 4 no	C.	nen		
									ESTRONOUSK IN CO.	CONTRACTOR	The same	CONTRACTOR	ADEX		

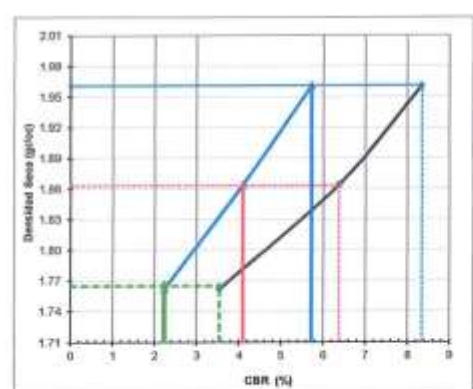
					PENE	TRACION					1		
	CARGA		MOLDE N		1.		MOLDEN		- 2	MOLDEN* 3			
PENETRACION	STAND.	CARGA CORRECCION		CAI	ANGA CONFRECCION		CARGA		CORRECCION				
anem.	kg/cm2	titul pliv)	hg/ord:	lig/mil	. %	Dial (die)	leg/cm2	hg/cm2	16	Dist (dis)	kg/cut	hg/cm2	
0.00		0	0			0	0			0	0		
0.63		14	55			11	41			9	35		
1.27		- 33	129			20	78			23	90		
1.90		58	226			40	156			41	160		
2.54	76.3	84	329	4.0	5.7	79	300	2.0	41	55	215	1.6	2.
3.17	1	100	422			121	473			73	295		
3,81	105.5	143	559	8.8	8.3	185	724	6.7	6.4	103	403	3.7	3.
5.08		229	898			275	1079			153	599		
7.62		443	1746			476	1077			314	1233		
10.16		616	2438			646	2558			443	1746		
12.70		753	2991			732	2906			521	2057		



GRAFICO DE PENETRACION DE CBR ASTM D 1883 MTC E-132

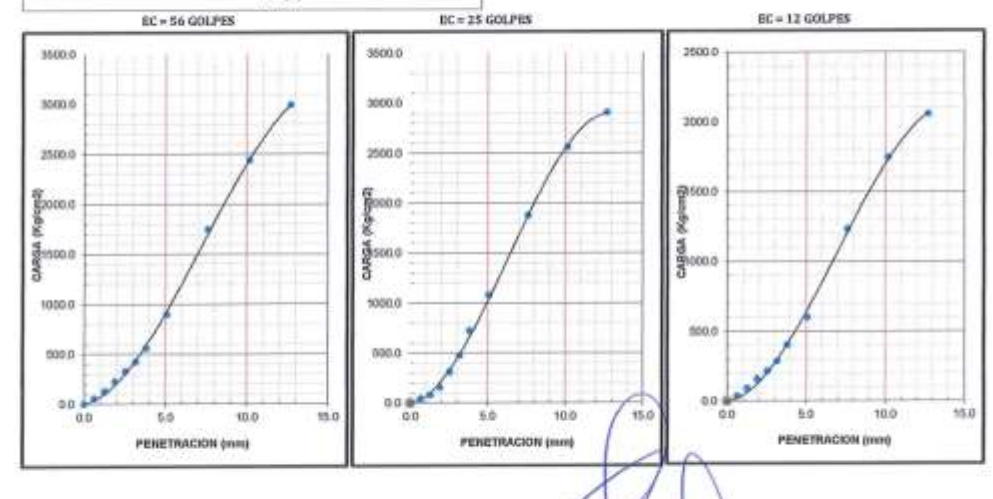
OBRA	: "INFLUENCIA DE LA ADICIÓN DE CENIZA DE CABUY SUELO ARCILLOSO EN EL TRAMO SOCOS- YANAYACU,		LA SUBRASANTE DEL
SOLICITANTE	: JHONATAN AYALA GUEVARA		
UBICACIÓN	: SOCOS-YANAYACU-AYACUCHO	FECHA: : N	OVIEMBRE DEL 2023

CALICAYA : C-02 LUGAR : PROG. RM 0+500 PROFUNDIAD : 1.50 m



C.B.R. AL 100% DE M.D.S. (%)	0.1"1	5.7	0.2":	0.3
CBR. AL 95% DEM.D.S. (%)	0.1%	4.1	0.2%	6,4
C.H.R. AL 90% DE M.D.S. (%)	0.1%	2.2	0.7"	3.5

ORSENVACIONES:



Tose Casers Walnum Quicano-

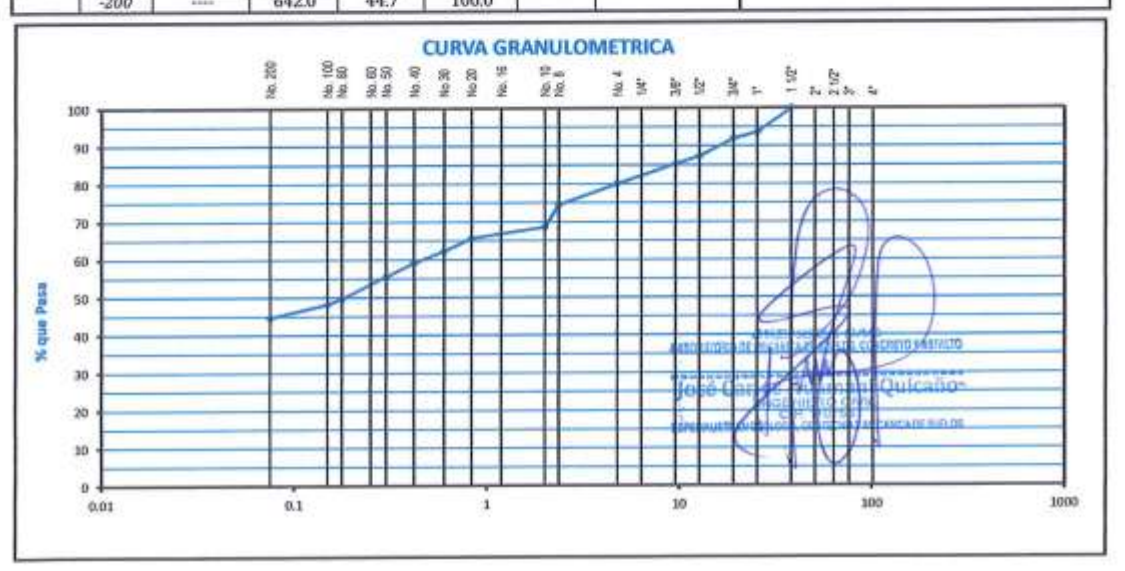
Asociación Miraflores Mz. N1 Lote 02 - San Juan Bautista - Ayacucho Cel. 954000684 - RPM # 954000684 E-mail: jkemsca@hotmail.com



ANALISIS GRANULOMETRICO POR TAMIZADO MTC E 107 - ASTM D 6913 - ASTM D 2487

OBRA	: "INFLUENCIA DE LA ADICIÓN DE CENIZA DE CABUYA Y EL TRAMO SOCOS- YANAYACU, AYACUCHO,2023"	FIBRAS DE PET PARA MEJORAR I	A SUBRASANTE DEL SUELO ARCILLOSO E
SOLICITANTE	: JHONATAN AYALA GUEVARA		
UBICACIÓN	: SOCOS-YANAYACU-AYACUCHO	FECHA	: NOVIEMBRE DEL 2023
CALICATA LUGAR PROFUNDIAD	: C-03 !PROG. KM 1+000		

-	1	Tamiz	Abertura	Peso	% R	etenido	% que	Especificaciones	Descripción de Muestra
/		ASTM	(mm.)	Retenido	Parcial	Acumulado	Pasa	Obra	Description de Plateire
HDS		4*	101.600	.,					
CANT	3"		76.200	0.0			0.0		Grava > 3"
П		21/2"	63.500	0.0	0.0	0.0	0.0		Grava ₁ 19.90 %
	4	2"	50.800	0.0	0.0	0.0	0.0		Arena : 35.40 %
	CRUESA	11/2"	38.100	0.0	0.0	0.0	100.0		Fines : 44.70 %
ااد	Θ.	1"	25.400	90.0	6.3	6.3	93.7		- DVILL GOOGGE FRANK AND THE PARTY OF THE PA
CENTA		3/4"	19.050	25.0	1.7	8.0	92.0		Humedad Natural ± 14.10 %
⁰		1/2"	12.700	68.0	4.7	12.7	87.3		
- 1	<	3/8*	9.525	28.0	2.0	14.7	85.3		Limite Liquido 1 46.70
	FBA	1/4"	6.350		0.0	0.0	0.0		Limite Plastico 232.10
		No. 4	4.760	75.0	5.2	19.9	80.1		LP : 14.60
7	CKUESA	No. B	2.360	80.0	5.6	25.5	74.5		CLASHFICACION AASHTO: A-7-5[4
- 1	dia.	No. 10	2.000	84.0	5.9	31.4	68.6		SAMONG NEW TOTAL CONTROL OF THE SAMONG SAMON
-		No. 16	1.190	0.0	0.0	0.0	0.0		CLASIFICACION SUCS: SM
- 1	5	No 20	0.834	42.0	2.9	34.3	65.7		Capturational stress Sign
<	мери	No 30	0.600	50.0	3.5	37.8	62.2		- Arena linusa
MENA		No. 40	0.420	43.0	3.0	40.8	59.2		170 6000 1000000
ो		No. 50	0.300	52.0	3.6	44.4	55.6		Peso Inicial Seco (gr) 1434.0
- 1		No. 60	0.250	0.0	0.0	0.0	0.0		Peso inicial lavado seco(gr) 792.0
- 1	N.	No. 80	0.177	84.0	5.9	50.3	49.7		Peso Fracción (gr) 1140.0
. 1		No. 100	0.149	20.0	1.4	51.7	48.3		
		No. 200	0.075	51.0	3.6	55.3	44.7		
_		-200	****	642.0	44.7	100,0			





Obsevaciones:

CONTENIDO DE HUMEDAD

ASTM D 2216 - MTC E-108

OBRA	: "INFLUENCIA DE LA ADICIÓN DE CENIZA DE CAB DEL SUELO ARCILLOSO EN EL TRAMO SOCOS- YANA	UYA Y FIBRAS DE PET PARA MEJORAR LA SUBRASANTI YACU, AYAGUCHO,2023"
SOLICITANTE	: JHONATAN AYALA GUEVARA	
UBICACIÓN	: SOCOS-YANAYACU-AYACUCHO	FECHA: NOVIEMBRE DEL 2023
CALICATA LUGAR PROFUNDIAD	: C-03 : PROG. KM 1+000 : 1.55 m	

TO STATE OF THE PARTY OF THE PA	11-11-11-11-11-11-11-11-11-11-11-11-11-		2000 0 0 0000 0 0
Muestra	Ne	1	PROMEDIO
Recipiente	Me	00	
Peso recipiente + suelo húmedo	gr	404.0	
Peso recipiente + suelo seco	gr	354.0	
Peso del recipiente	gr	0.0	
Peso de agua	gr	50.0	
Peso del suelo seco	gr	354.0	
Contenido de Humedad	96	14.1	14.1

		loh-
		47/1
		make and
		LATERATURE THE PROPERTY OF THE
		Jose Cartos Muaguani Quicaño
		MICHAELON CHA.
		ESPECIALE MENTIONS AND



DETERMINACION DE LOS LIMITES DE CONSISTENCIA ASTM D 4318

: "INFLUENCIA DE LA ADICIÓN DE CENIZA DE CABUYA Y FIBILAS DE PET PARA MEJORAR LA SUBRASANTE DEL SUELO ARCILLOSO EN EL TRAMO SOCOS- VANAYACO, AYACUCHO, 2023" OBBA SOLICITANTE IBONATAN AYALA GUEVARA SOCOS-VANAVACU-AVACUCIO URICACIÓN

CALICATA LUGAR PROFUNDIAD : PROG. KM 1+000 : 1.55 m

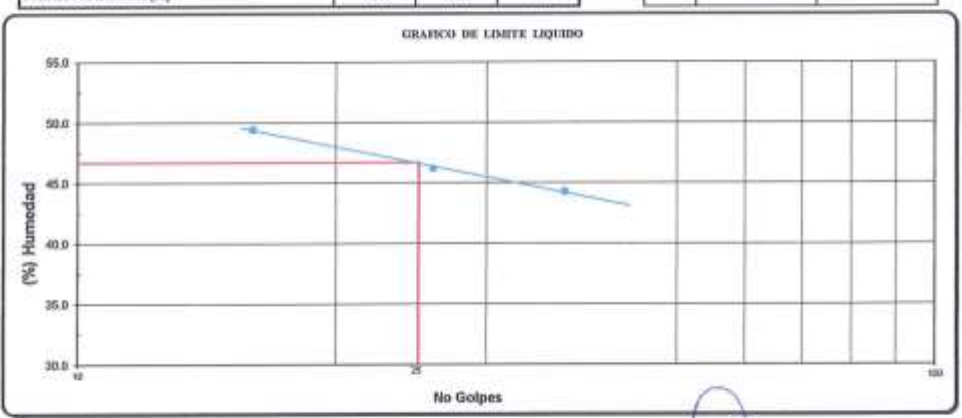
LIMITEPLANTICO MTC E 111

Capaula Nec	.19	18	PROMEDIC
Peso de la Capsula (gr)	2539	2680	
Feso de la Capsula+Suafa Humodo (gr)	27.64	28.22	1
Peso de la Capouta+Siario Sero (gr)	27.18	27.71	1
Peso del Agua (gr)	0.46	0.51	1
Peso del Suela Seco (gr)	139	1.64	
Contenido de Humedad (%)	23.09	33,10	32,10

LIMETE LIQUIDO MTC E 118

Capsula Nru	15	16.	17
Peso de la Capsula (gr)	25.90	32.31	28.17
Peso de la Capsada+Suelo Humedo (gr)	33.91	40.63	36.99
Peso de la Caprada+Sueto Soco (gr)	31.26	30.00	34.22
Numero de Golpes	16	26	37
Penn del agua (g)	2.65	2.63	2.60
Peso del Suelo Seco (gr)	536	5.09	6.05
Contenido de Humedad (%)	49,44	46.22	94.30

	HESULYADOS	ESPECIFICADO
LL:	46,70	
LP.:	32.10	
18.1	14.40	



OBSERVACIONES:

Asociación Miraflores Mz. N1 Lote 02 - San Juan Bautista - Ayacucho Cel. 954000684 - RPM #954000684 E-mail: jkemsca@hotmail.com



	RELACION HUMEDAD DENSIDAD (P ASTM - 1557 MTC)	\$200 PER PROPERTY AND PROPERTY
OBRA	: "INFLUENCIA DE LA ADICIÓN DE CENIZA DE CABUYA Y F ARCILLOSO EN EL TRAMO SOCOS-YANAYACU, AYACUCHO, 2	IBRAS DE PET PARA MEJORAR LA SUBRASANTE DEL SUELO 823°
SOLICITANTE	: JHONATAN AYALA GUEVARA	
UBICACIÓN	: SOCOS-YANAYACU-AYACUCHO	PECHA: NOVIEMBRE DEL 2023
CALICATA LUGAR PROFUNDIAD	1 C-03 1 PROG. KM 1+000 1 1.55 m	7

Metodo de compactación					C	
Numero de golpes					56	
Numero de capas	2223011242	2220 H. C.			5	
	CALCULO D	E DENSIDAD HUM	EDA			
1. Pesu suelo humedo. + molde	itr	10719	11262	11341	10954	
2. Peso del molde	87	6759	6759	6759	6759	
3. Volumen del molde	ec.	2124	2124	2124	2124	
4. Pesu surfo humedo	gr	3960	4503	4592	4195	
5. Densidad suelo humedo	gr/cc	1.86	2.12	2.16	1.98	
	CALCU	ILO DE HUMEDAD				
6. Capsuta Nº						
7. Peso del suelo húmedo.+ capsula	gr	514.0	517.0	568.0	517.0	
8. Peso del suelo seco+capsula	gr.	459.0	450.0	488.0	439.0	
9. Peso del agua	Rt.	\$5.0	67.0	0,08	78	
10. Peso de la capsula	gr	0.0	0.0	0,0	0.0	
11. Pesu del suelo seco	gr	459.0	450.0	488,0	439.0	
12. Contenido de humedad	%	11.98	14.89	16.39	17.77	
12. Contenido de Humedad	56	11.98	14.89	16.39	17.77	
	CALCULO	DE DENSIDAD SEC	A		-	
13. Densidad seca del suelo	gr/cc	1.665	1.845	1.853	1.677	





RESULTADOS

15.74%

1.869

Humedad optima



ENSAYO VALOR DE SOPORTE (C.B.R.) ASTM D1883 MTC E-132

: "INFLUENCIA DE LA ADICIÓN DE CENIZA DE CABUYA Y FIBRAS DE PET PARA MEJORAR LA SUBBASANTE DEL SUELO ARCILLOSO EN EL TRAMO SOCOS- YANAYACI, AYACUCHO,2023" OBSA SOLICITANTE : JHONATAN AYALA GUEVARA FECHA: NOVIEMBRE DEL 2023 : SOCOS-YANAYACU-AYACUCHO

CALICATA : C-03 LUGAR : PROG. KM 1+000 PROFUNDIAD : 1.55 m

UBICACIÓN

DATOS DEL PROCTOR

MASINA DENSIDAD SECA

OPTIMO CONTEMBO DE MIMEDAD 15,74%

Molde N ⁹		1	0	2	19	3		
Nº Capa		5		5		5		
Golpes por capa Nº	r capa Nº 56		5	25			2	
Cond. de la muestra		NO SATURADO	SATURADO	NO SATURADO	SATURADO	NO SATURADO	SATURADO	
Peso molde + suelo hámedo	gr	13215		12799		12623		
Peso de molde	gr.	8827		8612		8616		
Peso del maelo hámedo	gr.	4388		4187		4007		
Volumen del molde	cm ³	2124		2124		2124		
Dennidad hümeda	fit/cm3	3,066		1,971		1.897		
		y.	CALCULO I	DE HUMEDAD				
Tarro Nº								
Tarro + Suelo húmedo	gr.	406.0		491.0		447.0		
Tarro + Suelo seco	gr.	373.0		448.0		405.0		
Peso del Agua	gr.	33.0		43.0		42.0		
Peso del tarro	gr	0.0		0.0		0.0		
Peso del suelo seco	gr.	373.0		448.0		405.0		
Humedad	96	8.85		9.60		10,37		
Densidad seca	gr/cm ³	1.898		1,798	1	1.710		

					EXTAN	BON					
FICHA HORA	CHART	THEMPO	DIAL	EXPA	NSION	DIAL	EXPA	MSHOW.	har	EX	PANSION
	ROBA HORA SIG. STALL ST	HORA	men %	ir.	mm 16	Dink	mm:	76		O nem	- 9
					di .				(1)		
		+	NO E	XPAN	SIVO			Laborator	35/60	FFC SECTION	ANGER
									AIM		
								Tosé (Zelle-Winter	ini Outo	nio-

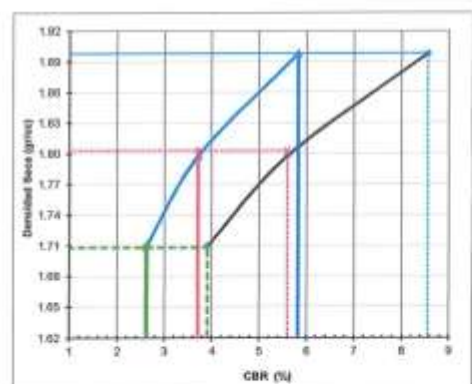
					PENE	TRACION			Tory of	umacut.	-	INDIVIDUE SE	2008
	CARGA MOLDEN [®] E MOLDEN [®]						1	NOLDER					
TO STATE OF THE PARTY OF THE PA	STAND.	CAF	RGA.	COHINE	DOM	CAL	NOA	CORRE	DESIGN	CAS	IGA	CORRECT	CCHON
	hg/cm2	(vib) burt)	kg/em2	lig/cmil	96	Did (div)	log/em2	hg/cm2	76	Distribution	kg/en/2	hg/cm2	- 9
0.00		0	0			0	0			0	.0		
0.63		20	78			15	59			12	47		
1.27		43	164			20	109			16	62		
1.90		57	223			37	144			28	109		
2,54	70.3	00	344	4.1	5.8	##	230	2.6	3.7	41	160	1.0	2
3.17		122	477			95	332			62	242	-000	
3.81	105.5	160	626	9.0	8.6	123	483	5.9	5,6	78	305	4.1	3
5,019		243	953			206	807			131	512		
7.62		494	1949			342	1344			229	890		
10,16		678	2688			473	1865			317	1245		
12.70		R31	3307			523	2065			353	1388		



GRAFICO DE PENETRACION DE CBR ASTM D 1883 MTC E-132

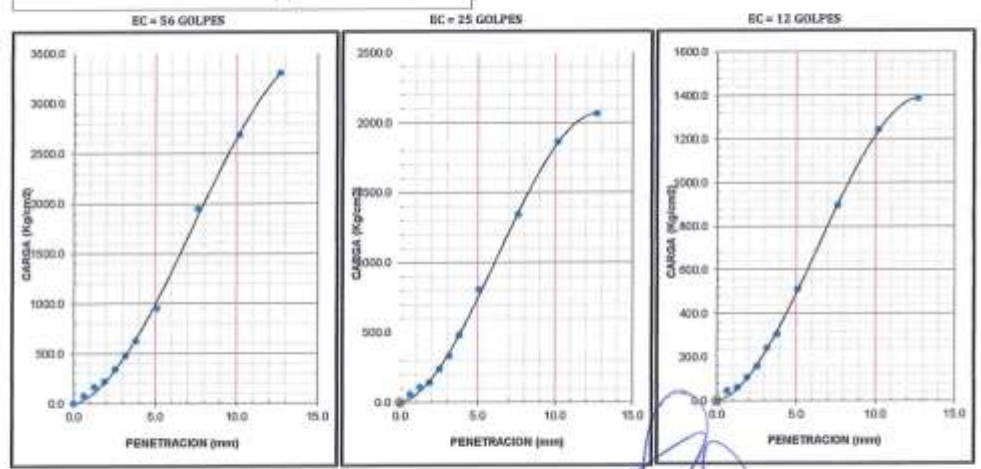
OBRA	: "INFLUENCIA DE LA ADICIÓN DE CENIZA DE CABUY SUELO ARCILLOSO EN EL TRAMO SOCOS-YANAYACU,	A Y FIBRAS DE PET PARA MEJORAR LA SUBRASANTE DEL AYACUCHO,2023°
SOLICITANTE	: JHONATAN AYALA GUEVARA	
никастом	SOCOS-VANAVACII-AVACIICIIO	FECHA : NOVIEMBRE DEL 2023

CALICATA : C-03
LUGAR : PROG. KM 1+000
PROFUNDIAD : 1.55 m



C.R.R. AL 100% DE M.D.S. (%) C.R.R. AL 95% DE M.D.S. (%)	0.1*1	5.0	0.2%	8.6
C.B.R. AL 95% DE M.D.S. (%)	0.1%	3.7	0.2"	5,6
C.B.R. AL 90% DE M.D.S. (%)	0.1%	2.6	0,2"1	3.9

OBSERVACIONES:



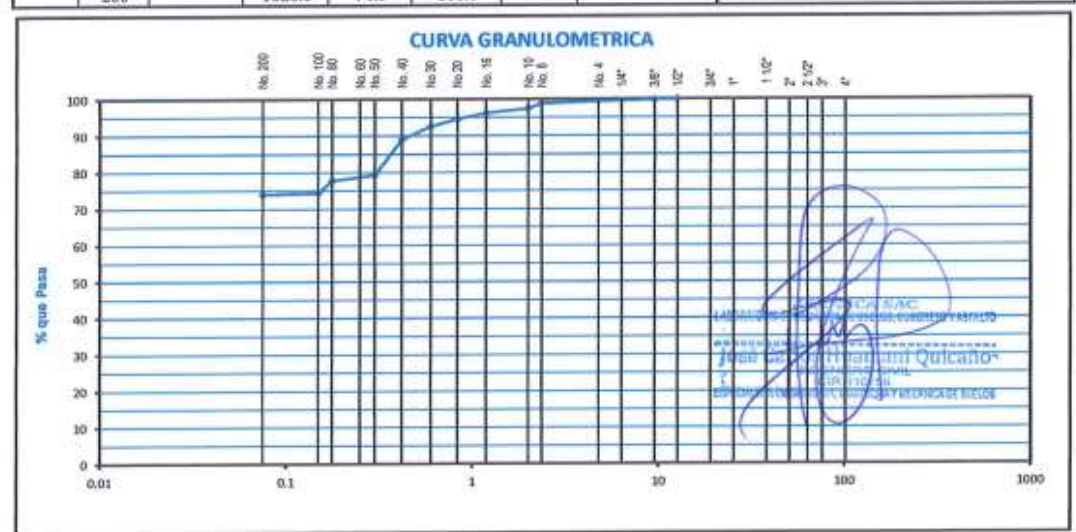
IOSE CAD HUMANI QUICAÑO



ANALISIS GRANULOMETRICO POR TAMIZADO MTC E 107 - ASTM D 6913 - ASTM D 2487

OBRA	: "INFLUENCIA DE LA ADICIÓN DE CENIZA DE CABUYA Y FIBRAS DE PET PARA MEJORAR LA SUBRASANTE DEL SUELO ARCILLO EL TRAMO SOCOS-YANAYACU, AYACUCHO, 2023"			
SOLICITANTE	: JHONATAN AYALA GUEVARA			
UBICACIÓN	: SOCOS-YANAYACU-AYACUCHO	FECHA	: NOVIEMBRE DEL 2023	
CALICATA LUGAR PROFUNDIAD	: C-04 : PROG. KM 1+500 : 1.50 m			

	/	Tamiz	Abertura	Peso	56.80	etenido	% que	Especificaciones	Descripción de Muestra	
/		ASTM	(mm.)	Retenido	Parcial	Acumulado	Pasa	Obra	Description of Street	
чир	RAIL	4"	101.600							
CAN	105	3"	76.200	0.0			0.0		Grava > 3*	
		21/2"	63.500	0.0	0.0	0.0	0.0		Grava : 0.50 %	
	2"	2"	50.800	0.0	0.0	0.0	0.0		Arena : 25.50 %	
	CRUESA	11/2"	38.100	0.0	0.0	0.0	0.0		Fines 74.00 %	
	0	1"	25.400	0.0	0.0	0.0	0.0		I SOME THE RESIDENCE	
CENTA		3/4"	19.050	0.0	0.0	0.0	0.0		Humedad Natural ± 13.80 %	
0		1/2"	12.700	0.0	0.0	0.0	100.0			
	PSNA	3/8"	9.525	1.0	0.1	0.1	99.9		Limite Liquido 1 37.00	
	2	1/4"	6.350		0.0	0.0	0.0		Limite Plastico 29.27	
		No. 4	4.760	5.0	0.4	0.5	99.5		LP 7.73	
	discress	No. 8	2.360	8.0	0.6	1.1	98.9		CLASIFICACION AASHTO: A-4	
	9	No. 10	2.000	20.0	1.4	2.5	97.5			
- 1		No. 16	1.190	16.0	1.2	3.7	96.3		CLASHFICACION SUCS: ML	
	5	No 20	0.834	23.0	1.7	5.4	94.6		CASE OF PERSONS STORES. MAIL	
<	MEDIA	No 30	0.600	28.0	2.0	7.4	92.6		- Limo	
AMENA		No. 40	0.420	49.0	3.6	11.0	89.0		2380	
7		No. 50	0.300	134.0	9.7	20.7	79.3		Peso Inicial Seco (gr) 1380.0	
		No. 60	0.250	0.0	0.0	0.0	0.0		Peso Inicial lavado seco(gr) ; 357.0	
- 1	100	No. 80	0.177	21.0	1.5	22.2	77.8		Peso Fracción (gr) 1374.0	
		No. 100	0.149	47.0	3.4	25.6	74.4			
		No. 200	0.075	5.0	0.4	26.0	74.0			
_		-200		1023.0	74.0	100.0				



OBS.:



CONTENIDO DE HUMEDAD

ASTM D 2216 - MTC E-108

OBRA	: "INFLUENCIA DE LA ADICIÓN DE CENIZA DE CABUYA Y FIBRAS DE PET PARA MEJORAR LA SUBRASAN DEL SUELO ARCILLOSO EN EL TRAMO SOCOS- YANAYACU, AYACUCHO, 2023"				
SOLICITANTE	: JHONATAN AYALA GUEVARA				
UBICACIÓN	: SOCOS-YANAYACU-AYACUCHO	OS-YANAYACU-AYACUCHO FECHA: NOVIEMBRE DEL 2023			
CALICATA LUGAR PROFUNDIAD	: C-04 : PROG. KM 1+500 : 1.50 m				

CONTENIDO DE HUMEDAD PARA SUELOS MUESTRA INTEGRAL				
Muestra	Me	1	PROMEDIO	
Recipiente	No	00		
Peso recipiente + suelo húmedo	gr	478.0		
Peso recipiente + suelo seco	gr	420.0		
Peso del recipiente	gr	0.0		
Peso de agua	gr	58.0		
Peso del suelo seco	gr	420.0		
Contenido de Humedad	%	13.8	13.8	

sevaciones;	
	Legis Control of Discourse
	Control of the state of the sta



DETERMINACION DE LOS LIMITES DE CONSISTENCIA ASTN D 4318

OHRA	1 "INFLUENCIA DE LA ADICIÓN DE CENIZA DE CABUYA Y FIBRAS DE PET PARA MEJORAR LA SUBRASANTE DEL SUELO ARCILLOSO EN E TRAMO SOCOS-YANAYACU, AYACUCHO, 2023"			
SOLICITANTE	I SHONATAN AYALA GUEVARA	JHONATAN AYALA GUEVARA		
UBICACIÓN	(80 COS-YANAYACU-AYACUCHD	PECHA	NOVIEMBRE BEL 2023	
CALICATA LUGAR PROPUNDIAD	: C-04 : PROG, KM 1+540 : 1.50 m			

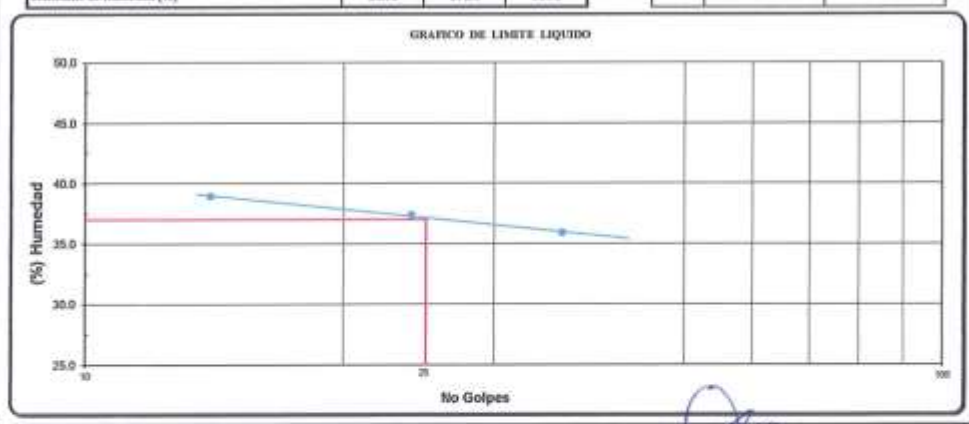
LIMITEPLASTICO MTCE 111

Capsula New	13	14	PROMIDIO
Penn de la Capoulu (gr)	26.02	29.38	
Pess de la Caprola+Suelo Humedo (gr)	20.00	31.20	
Peso de la Caprada-Surio Sera (gr)	28.40	30.00	
Peso del Agua (gr)	33.48	0.40	
Pesu del Suelo Seco (gr)	1.50	1.42	
Contenido de Humodad (%)	30.38	28.17	29.27

LIMITELIQUIDO MTCE 110

Capacia Nro	24	23	- 22
Peso de la Capoula (gr)	25.58	25.66	26.69
Peso de la Capsula+Suelo Bumedo (gr)	33.50	32.90	33.50
Peso de la Capsula+Suelo-Seco (gr)	31.28	30.93	31.70
Numero de Gelpes	16	24	76
Peso del agua (g)	2.22	1.97	1.80
Penn del Sunto Secu (gr)	5.70	527	5.01
Centenirio de Humedad (%)	38.95	37,38	35.93

	RESULTADOS	ESPECIFICADO
Mar	37.00	
LP.:	29.27	-
12.1	7,71	_



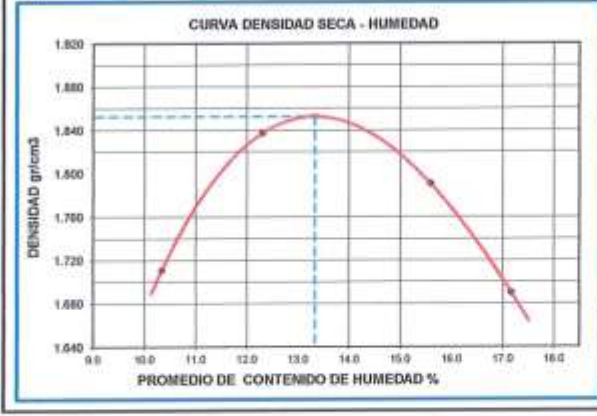
OBSERVACIONES:

Asociación Miraflores Mz. N1 Lote 02 - San Juan Bautista - Ayacucho Cel. 954000684 · RPM #954000684 E-mail: jkemsca@hotmail.com



	RELACION HUMEDAD DENSIDAD (ASTM-1557 MT	PROCTOR MODIFICADO) 12 115		
DBRA	: "INFLUENCIA DE LA ADICIÓN DE CENIZA DE CABUYA Y ARCILLOSO EN EL THAMO SOCOS-YANAYACU, AYACUCHO	PIBRAS DE PET PARA MEJORAR LA SUBRASANTE DEL SUELO ,2023"		
SOLICITANTE	: JHONATAN AYALA GUEVARA			
UBICACIÓN	: SOCOS-YANAYACU-AYACUCHO PECHA : NOVIEMBRE DEL 2023			
CALICATA LUGAR PROFUNDIAD	: C-04 : PROG. KM 1+500 : 1.50 m			

Metodo de compactacion					C
Numero de golpes					56
Numero de capas					5
	CALCULO D	E DENSIDAD HUMI	EDA		
1. Peso suelo humedo. + molde	ET.	10769	11142	11155	10965
2. Peso del molde	gr	6759	6759	6759	6759
3. Volumen del molde	inc	2124	2124	2124	2124
4. Peso suelo hamedo	gr	4010	4383	4396	4206
5. Densidad suelo humedo	gr/cc	1.89	2.06	2.07	1.98
	CALCU	LO DE HUMEDAD			
6. Capsula Nº					
7. Peso del melo húmedo,+ capsula	Rr.	587.0	511.0	519.0	512.0
B. Peso del saelo seco+capsulu	Hr.	532.0	455.0	449.0	437.0
9. Peso del agua	gr	55,0	56.0	70.0	75
10. Peso de la capsula	gr	0.0	0.0	0.0	0.0
11. Peso del suelo seco	gr	532.0	455.0	440.0	437.0
12. Contenido de humedad	166	10.34	12.31	15.59	17.16
12. Contenido de Humedad	56	10.34	12.31	15.59	17.16
	CALCULO	DE DENSIDAD SEC	A		i control
13. Densidad seca del suelo	gr/cc	1.711	1.837	1.791	1.690



Humedad optima 13.33%
Densidad Maxima 1.853

Jose Car Post Timber Quicano



T'INFLUENCIA DE LA ADICIÓN DE CENIZA DE CABUYA Y FIBRAS DE PET PARA MEJORAR LA SUBRASANTE DEL SUELO ARCILLOSO EN EL TRAMO SOCOS- YANAYACU, AYACUCHO,2023"

SOLICITANTE : JHONATAN AYALA GUEYARA
UBRCACIÓN : SOCOS-YANAYACU-AYACUCHO FECHA : NOVIEMBRE DEL 2023

CALICATA : C-04 LUIGAR : PROG. KM 1+500 PROFUNDIAD : 1.50 m

OBRA.

DATOS DEL PROCTOR

MAZINA DERISDAD SECA | 1,853

OPTISSO CONTENSION DE BIUMEDAD | 12,73 %

Molde Nº		1		2		3	
Nº Capa						5	
Golpes por capa Nº		56	6	2	5	17	2
Cond. de la muestra		NO SATURADO	SATURADO	NO SATURADO	SATURADO	NO SATURADO	SATURADO
Peso molde + suelo húmedo	gr.	13205		12902		12978	
Peso de molde	gr.	8611		8471		9669	
Peso del saeto húmedo	gr.	4594		4431		4310	
Volumen del mulde	cmi	2124		2124		2124	
Denstdad hümeda	gr/cm ²	2.163	-	2.006		2.029	
			CALCULO I	DE HUMEDAD		72	
Tarro Nº							
Tarro + Suelo bilmodo	gr.	552.0		485.0		698.0	
Tarro + Suelo seco	gr.	512.0		443,0		621.0	
Peso del Agua	gr.	40.0		42.0		77.0	
Peso del tarro	gr.	0.0		0.0		0.0	
Peso del xuelo seco	gr.	512.0		443.0		621.0	
Humedad	5%	7.81		9.48		12.40	
Densidad seca	gr/cm³	2.006	a i	1.905		1.805	

		-		-	EXPANS	IDN	-		_	_	1	-	100
PEDIA	MORA	THEMPO	DIAL	EXPA	NSEON	DIAL	RXPA	NSION	100	IN	11	EXPA	NSIDS
FELMA	- month	Hr.	Dina	mm.	76		3101	76				mm	9
				16 4	100				/	1		1	
			NO E	XPANS	SIVO		-	DESIRE	na di	1	4	C	*******
				(a) (b)		-2		- apierre	1	IN.	H	i Chele	Sor
				10 10				1000	-	101 000	11	- Letter	-

					PEME	TRACION			-	101	10		
	CARGA		MOLDENS		- 1		MOLDEN		2		MOLDE Nº		_ 3
PENETRACION	STAND.	CAS	BGA	CORRE	OCION	CAU	IGA	CORRE	CCION .	CAT	NOA.	CONNE	CCIO
2000	bg/cm2	Dist (div)	kg/cm2	lig/codt	76	Bial (div)	kg/ent	kg/cm2	- %	Dial (div)	hg/me2	kg/cm2	-
00.0		0	0			.0	.0			0	0		
0.63		21	84			9	35			- 5	20		
1.27		42	164			27	105			15	59		
1.90		74	291			49	191			31	121		
2.54	70.3	103	400	3.0	5.4	76	297	2.0	4.0	54	515	2.2	3
3.17		144	565			113	442		- 1	75	293		
3.81	105.5	190	744	0.0	0.3	151	591	6.5	6.2	107	410	5.0	- 4
5.08		312	1225			256	1004			153	599		
7.62		572	2261			618	1646			294	1115		
10.16		765	3041			578	2284			379	1490		
12.70		851	3388			614	2430			421	1658		

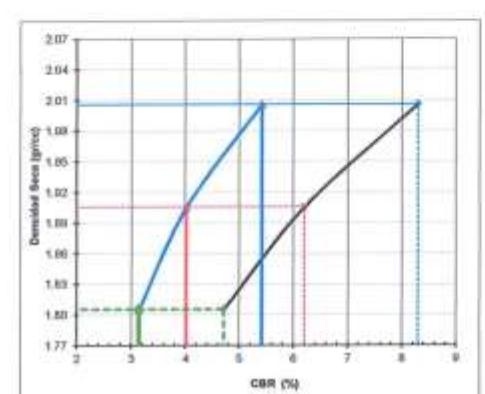


GRAFICO DE PENETRACION DE CBR

ASTM	D 1883	MTCE	132

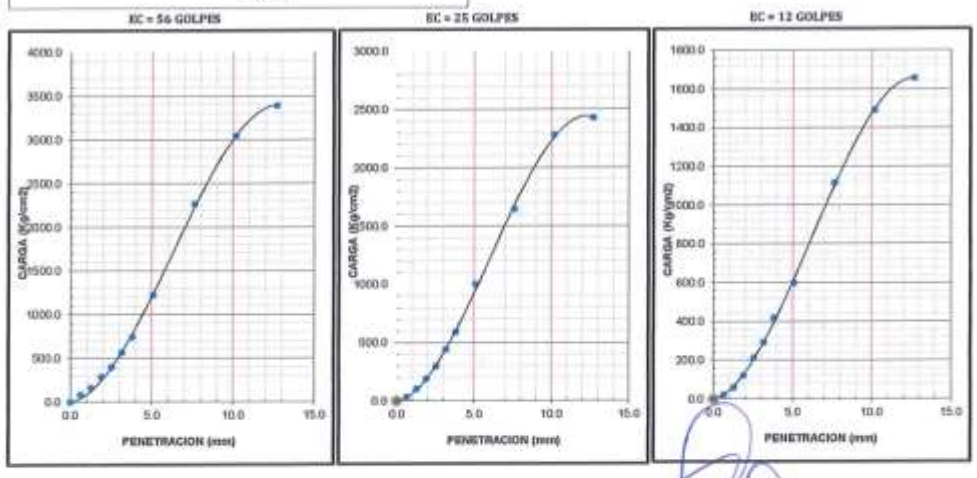
OHRA	: "INFLUENCIA DE LA ADICIÓN DE CENIZA DE CABU SUELO ARCILLOSO EN EL TRAMO SOCOS- YANAYACU,	YA Y FIBRAS DE PET PARA MEJORAR LA SUHIKASANTE DEL AYACUCHO,2023*
SOLICITANTE	: JHONATAN AYALA GUEVARA	
UBICACIÓN	: SOCOS-YANAYACU-AYACUCHO	FECHA: : NOVIEMBRE DEL 2023

CALICATA : C-04 LUGAR : PROG. KM 1+500 PROFUNDIAD : 1.50 m



C.B.R. AL 100% DE M.D.S. (%)	0,1*;	5.4	0.25	9.3
C.B.R. AL 95% DE MID.S. (%)	0.1%	4.0	0.2%	6.2
C.B.H. AL 90% DE M.D.S. (%)	0.1%	3.1	0.27:	4.7

OBSERVACIONES:



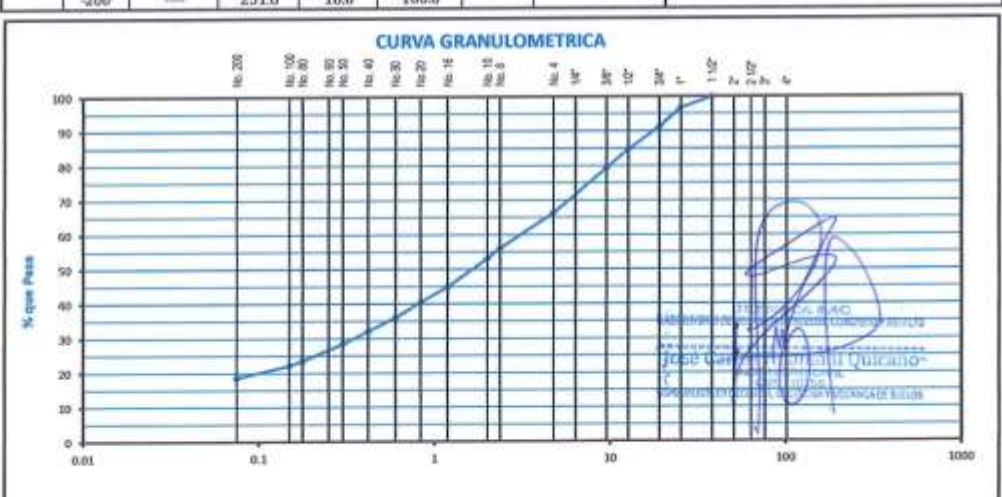
Justin a straight of the strai



ANALISIS GRANULOMETRICO POR TAMIZADO MTC E 107 - ASTM D 6913 - ASTM D 2487

OBRA	: "INFLUENCIA DE LA ADICIÓN DE CENIZA DE CABUYA Y EL TRAMO SOCOS- YANAYACU, AYACUCHO,2023"	FIBRAS DE PET PARA MEJORAR I.	A SUBRASANTE DEL SUELO ARCILLOSO EN
SOLICITANTE	; JHONATAN AYALA GUEVARA		
UBICACIÓN	: SUCOS-YANAYACU-AYACUCHO	FECHA	± NOVIEMBRE DEL 2023
CALICATA LUGAR PROFUNDIAD	: C-05 PROG. KM 2+000 : 1.60 m		

	1	Tamiz	Abertura	Peso	14.80	etenido	% que	Expecificaciones	Descripción de Muestra
/		ASTM	(mm)	Retenidu	Parcial	Acumulado	Pass	Ohrw	percipcion de minorca
PEDI	BAD	4*	101.600						
CAN	108	3"	76.200	0.0			0.0		Grava > 3"
\neg		21/2"	63,500	0.0	0.0	0.0	0.0		Grava : 33.70 %
- 1	2	2"	50.800	0.0	0.0	0.0	0.0		Arena - 47,70 %
- 1	GREEKA	1.1/2"	38,100	0.0	0.0	0.0	100.0		Finos , 18.60 %
.	8	I.	25.400	43.0	3.1	3.1	96.9		
GRAWA		3/4"	19.050	77.0	5,6	8.7	91.3		Humedad Natural 5.20 %
9		1/2"	12.700	89.0	6.5	15.2	84.8		
- 1	· V	3/8"	9.525	75.0	5.5	20.7	79.3		Limite Liquido 1 22.70
- 1	YML	1/4"	6.350		0.0	0.0	0.0		Limite Plastico 10.69
		No. 4	4.760	178.0	13.0	33.7	66.3		LP : 4.01
	WEGE	No. 8	2.360	140.0	10.2	43.9	56.1		CLASHVICACION ARSITYO A-1-b(t
- 1	8	No. 10	2.000	41.0	3.0	46.9	53.1		
- 1		No. 16	1.190	111.0	8.1	55.0	45.0		CLASSFICACION SUCS SC-SN
- 1	5	No 20	0.834	62.0	4.5	59.5	40.5		SEELING SEELING SEELING SEELING
٧l	VICTIN	No 30	0.600	62.0	4.5	64.0	36.0		Arema limo arcillosa
MEN	~~	No. 40	0.420	52.0	3.8	67.8	32.2		- Avenu ham accinom
ী		No. 50	0.300	50.0	3.7	71.5	28.5		Peso Inicial Seco (gr) 1367.0
- 1	1	No. 60	0.250	0.0	0.0	0.0	0.0		Peso Inicial lavado seco(gr) ; 1116.0
- 1	ž	Na. 80	0.177	69.0	5.0	76.5	23.5		Peso Fracción (gr) 905.0
-1		No. 100	0.149	19.0	1.4	77.9	22.1		2
- 1		No. 200	0.075	48.0	3.5	81.4	18.6		
_		-200		251.0	18.6	100.0			0



OBS. 1

3034



CONTENIDO DE HUMEDAD ASTM D 2216 - MTC E-108

OBRA	: "INFLUENCIA DE LA ADICIÓN DE CENIZA DE CAB DEL SUELO ARCILLOSO EN EL TRAMO SOCOS- YANA	UYA Y FIBRAS DE PET PARA MEJORAR LA SUBRASANTI YACU, AYACUCHO,2023°
SOLICITANTE	: JHONATAN AYALA GUEVARA	
UBICACIÓN	: SOCOS-YANAYACU-AYACUCHO	FECHA: NOVIEMBRE DEL 2023
CALICATA LUGAR PROFUNDIAD	: C-05 : PROG. KM 2+000 : 1.60 m	

CONTE	VIDO DE HUMEDA	D PARA SUELOS MUESTRA INTE	GRAL
Muestra	Ma	1	PROMEDIC
Recipiente	No	00	
Peso recipiente + suelo húmedo	gr	526.0	
Peso recipiente + suelo seco	Rt.	500.0	
Peso del recipiente	gr	0.0	
Peso de agua	gr	26.0	
Peso del suelo seco	Br.	500.0	
Contenido de Humedad	%	5.2	5.2

and the same
José Cart III all Di Quicano



DETERMINACION DE LOS LIMÍTES DE CONSISTENCIA ASTRIO 4318

OURA	1 "INFLUENCIA DE LA ADICIÓN DE CENEZA DE CABUYA Y FIBRAS DE PET PARA MEJ TRAMO-SOCOS-YANAYACII, AYACUCIRO, 2023"	ORAR I	A SUBRASANTE DEL SUELO ARCILLOSO EN EL
SOLICITANCE	HONATAN AVALA GUEVARA		
UBICACIÓN	SOCOS-VANAYACID-AVACUCHO	recess	NOVIEMBRE DEE, 2023
CALICATA	+C-05		

1 E60 m LOGAR PROFUNDIAD

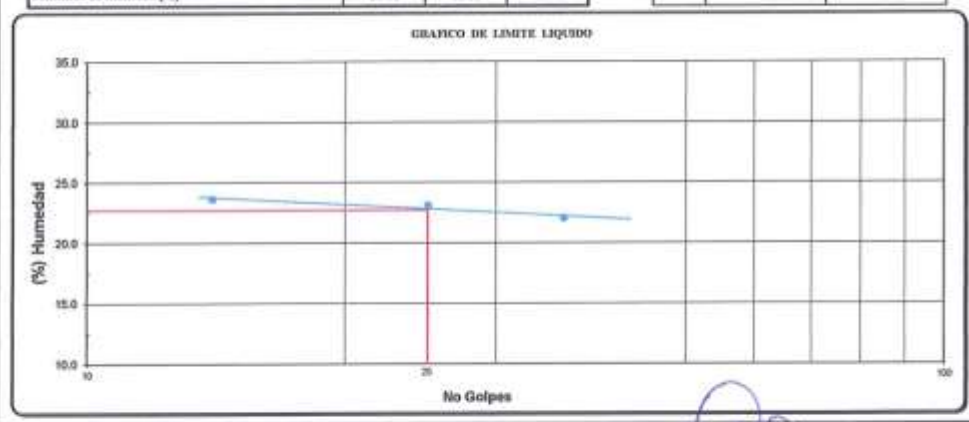
LIMITE PLANTICO MTC E 111

Capasila Niro	20	23	PROMEDIC
Penn de la Caproda (gr)	27.04	25.66	
Peso de la Capoula+Suela Burncdo (gr)	30.16	29.33	
Peszo de la Capoula+Suelo Suco (gr)	29.60	27,90	
Peso del Agua (gr)	0.48	0.43	
Peso del Suelo Seco (gr)	2.64	2.24	
Centenido de Humedad (%)	10,10	19,20	10.69

LIMITE LIQUIDO MTCE 110

Capaula Neo	- 11	12	7
Peno de la Capsula (gr)	14,33	1450	14.52
Peso de la Capvala+Suelo Humedo (gr)	24.00	25,40	23.93
Peso de la Capoula+Saelo Seco (gr)	22.15	23.42	22.23
Numero de Golpes	14	25	36
Pero del agua (g)	1.86	2.06	1.70
Penn del Suelo Soco (gr)	7.80	8.92	7.71
Contenido de Humedad (%)	23.66	22.09	22.05

	RESULTADOS	ESPECIFICADO
LL:	22.70	
LP. r	18.69	
LP. c	4.01	

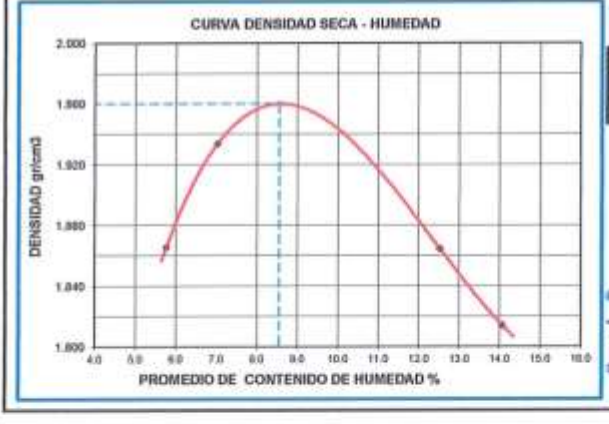


OBSERVACIONES:



	RELACION HUMEDAD DENSIDAE ASTM - 1557	PROCTOR MODIFICADO)
OBRA	: "INFLUENCIA DE LA ADICIÓN DE CENIZA DE CABUY. ARCILLOSO EN EL TRAMO SOCOS- VANAYACU, AYACUC	A Y PIBRAS DE PET PARA MEJORAR LA SUBRASANTE DEI, SUELO HO,2023"
SOLICITANTE	: JHONATAN AYALA GUEVARA	
UBICACIÓN	: SOCOS-YANAYACU-AYACUCHO	FECHA : NOVIEMBRE DEL 2023
CALICATA LUGAR PROFUNDIAD	; C-05 : PROG. KM 2+000 : 1.60 m	

Metodo de compactacion							
Numero de golpes							
Numero de capas					5		
	CALCULO D	E DENSIDAD HUM	EDA		v .		
Peso suelo humedo. + molde	ar .	10950	11155	11215	11154		
2. Peso-del molde	gr	6759	6759	6759	6759		
3. Volumen del molde	ec.	2124	2124	2124	2124		
4. Peso suelo humedo	gr	4191	4396	4456	4395		
5. Densidad suelo humedo	gr/cc	1.97	2.07	2.10	2.07		
	CALCU	LO DE HUMEDAD			.1.		
6. Capsula Nº			9				
7. Peso del suelo húmedo.+ capsula	gr	514.0	579.0	530.0	527.0		
B. Peso del snelo seco+capsula	gr	486.0	541.0	471.0	462.0		
9. Peso del agua	gr	28.0	38.0	59.0	65		
10. Peso de la capsula	lit.	0.0	0.0	0.0	0.0		
11. Peso del suelo seco	gr	486.0	541.0	471.0	462.0		
12. Contenido de Immedad	56	5.76	7.02	12.53	14.07		
12. Contenido de Humedad	. 56	5.76	7.02	12.53	14.07		
	CALCULO	DE DENSIDAD SEC	A				
13. Densidad seca del suelo	gr/cc	1.866	1.934	1.864	1.014		





RESULTADOS



DBRA : "INFLUENCIA DE LA ADICIÓN DE CENEZA DE CABUYA Y FHIRAS DE PET PARA MEJORAR LA SUBRASANTE DEL SUELO ARCILLOSO EN EL TRAMO SOCOS- YANAYACU, AYACUCHO, 2023"

SOLICITANTE IBRONATAN AYALA GUEVARA

UBICACIÓN : SOCOS-YANAYACU-AYACUCHO FECHA I NOVIEMBRE DEL 2023

CALICATA : C-05 LUGAR : PROG. ICM 2+000 PROFUNDIAD : L60 m

 DATES DEL PROCTOR

 MARINA DERISIDAD SICA
 1.960

 OPTIMO CINTESTIDO DEL HIBREDAD
 8.55 %

Molde Nº		1		1		3		
Nº Capa				5		5 12		
Golpes per capa Nº		56	,	2	5			
Cond. de la muestra		NO SATURADO	SATURADO	NO SATURADO	SATURADO	NO SATURADO	SATURADO	
Peso molde + suelo húmedo	gr.	13346		13656		13605		
Peso de molde	gr.	8470		8611		8616		
Peso del suelo hómedo	gr.	4876		5045		4989		
Volumen del mulde	cm1	2124		2124		2124		
Densidad hümeda	gr/cm ²	2.296		2.375		2.349		
			CALCULO I	DE HUMEDAD				
Tarro Nº								
Tarro + Suelo húmedo	gr.	469.0		419.0		499.0		
Tarro + Suelo seco	17.	434.0		357.0		406.0		
Peso del Agua	gr.	35.0		62.0		93.0		
Pesn del tarro	gr.	0.0		0.0		0,0		
Peso del suelo seco	gr.	434.0		357.0		406.0		
Humedad	96	8.06		17.37		22.91		
Densidad seca	gr/cm ²	2.125		2.024		1,911	1	

SOPANSION											1		
200	Haston	ТИВИРО	DIAL	100PA	EXPANSION		DOPAN	VSEON.	DIAL		1/	EXPAR	ristos:
PECHA	HORA	itte,	DIAL	1001	. 96	DIAL	mm	*6	NOAE.	1		110	- 166
									1112	4	5.54	10	
			MOE	XPANS	OVIE			6100	Whitein at social	W	Acres (100	MARKET THE
			NOE	APAN	SIVO			To the	co Con for	1	100	10	Jensey.
								-	ING	gran	1019	+-1	
					8 = 8			159	CALLES TARRESTON	Distr	Date	s the co	ATTE

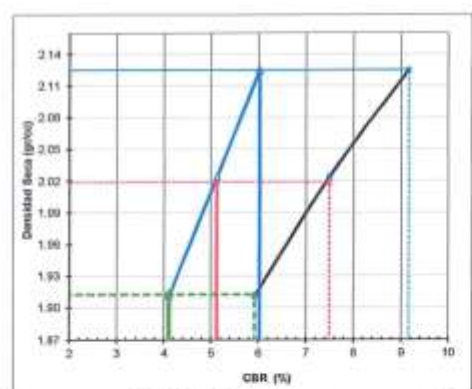
					PENE	TRACKOW					1		
	CARGA		MOLDE NY		1		MOLDEN		- 2		MOTDEN: 3		
PERETRACION	STAND.	CAR	CARGA CORR		CORRECTION		CARGA		CORRECCION		CARGA		OCION
am	hg/emZ	Dist() list	hg/cm2	kg/cm2	79	Dial (div)	hg/cm2	kg/cm2	16	Dud (div)	kg/cm2	hg/cm2	- 5
0.00		0	0			.0	0			0	0		
0.63		22	06			15	59			12	42		
1.27		35	137			27	105			20	70		
1.90		67	262			50	195			41	160		
2.54	70.3	107	410	4.2	6.0	72	291	3.6	5.1	40	107	2.0	4
3.17		140	579			94	367	7/11		65	254		
3.01	105.5	210	054	9.7	9.2	136	532	7.9	7.5	94	367	6.2	5.
5,08		331	1300			201	787			154	683		
7,62		591	2337			373	1467			278	1091		
10,16		764	3037			470	1853			364	1432		
12.70		830	3303			509	2009			432	1702		



GRAFICO DE PENETRACION DE CBR ASTM D 1883 MTC E-132

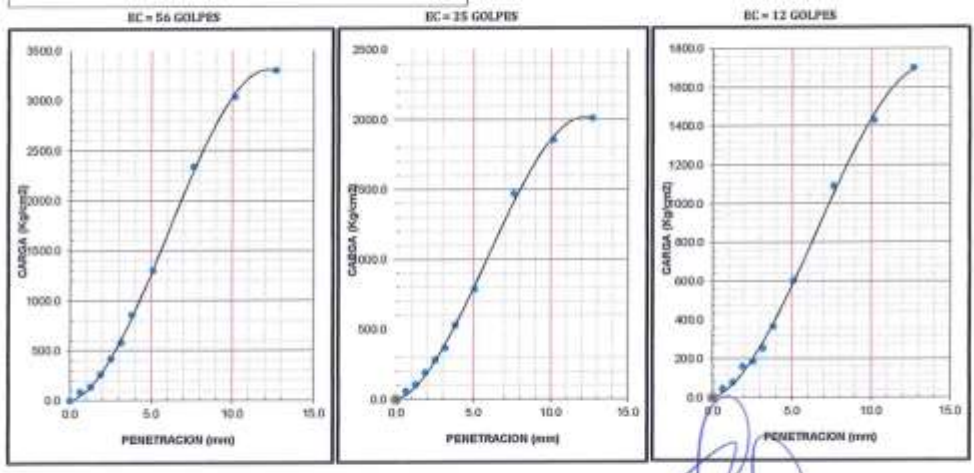
OBRA	: "INFLUENCIA DE LA ADICIÓN DE CENIZA DE CABRI SUELO ARCILLOSO EN EL TRAMO SOCOS- YANAYACU	YA Y FIBRAS DE PET PARA MEJORAR LA SUHRASANTE DEL , AYACUCHO,2023"
SOLICITANTE	: BIONATAN AYALA GUEVARA	
UBICACIÓN	: SOCOS-YANAYACU-AYACUCHO	FECHA: : NOVIEMBRE DEL 2023

CALICATA LUGAR PROFUNDIAD : C-05 : PROG. ICM 2+000 : 1.60 m



C.B.R. AL 100% DE M.D.S. (%)	0.17/	6.0	0.2")	9.2
CILIL AL 95% DEM.D.S. [%]	0.1%	5.1	0.2":	7.5
C.H.R. AL 90% DEM.D.S. (%)	0.1%	4.1	0.2%	5.9

OBSERVACIONES:

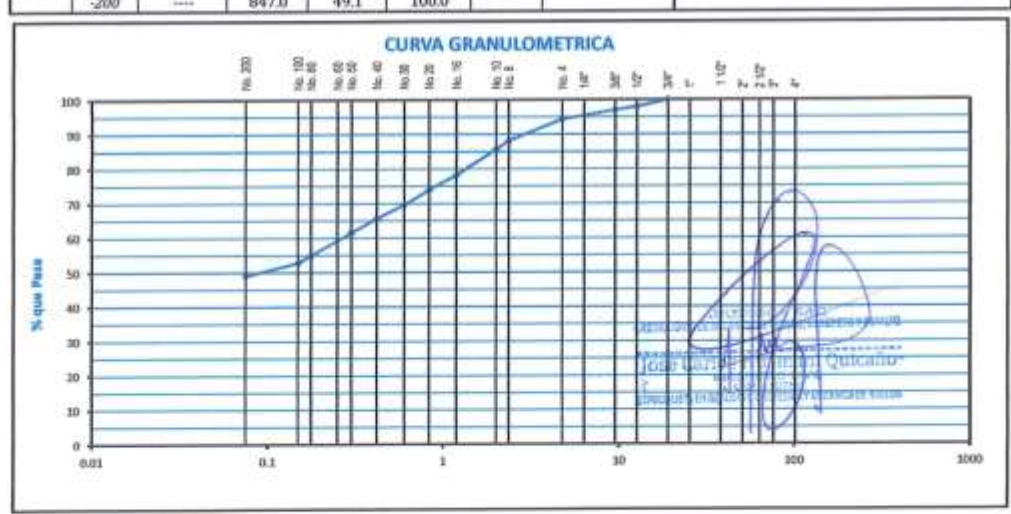




ANALISIS GRANULOMETRICO POR TAMIZADO MTC E 107 - ASTM D 6913 - ASTM D 2487

OHRA	: "INFLUENCIA DE LA ADICIÓN DE CENIZA DE CAIRIYA Y EL TRAMO SOCOS- YANAYACU, AYACUCHO,2023"	FIBRAS DE PET PARA MEJORAR I	A SUBRASANTE DEL SUELO ARCILLOSO EN
SOLICITANTE	: JHONATAN AYALA GUEVARA		
UBICACIÓN	: SOCOS-YANAYACU-AYACUCHO	PECHA	: NOVIEMBRE DEL 2023
CALICATA LUGAR PROFUNDIAD	: C-06 : PROG. KM 2+500 : 1.55 m		

- 8	1	Tamix	Abertura	Fesa	96.18	etenido	% que:	Especificaciones	Descripción de Muestra		
/		ASTM	(mm.)	(mm.) Reteutdo	Parcial	Acumulade	Pasa	Otica	Strate applied to the search at		
PHUS		4"	101.600	9100							
CANT	98	3"	76.200	0.0		-	0.0		Grava > 3"		
П		21/2"	63.500	0.0	0.0	0.0	0.0		Grans ± 5.60 %		
	*	2"	50.800	0.0	0.0	0.0	0.0		Arem ; 45.30 %		
	NE SEA	11/2"	38.100	0.0	0.0	0.0	0.0		Finos : 49.10 %		
.	12	1"	25.400	0,0	0.0	0.0	0.0				
Water		3/4"	19.050	0.0	0.0	0.0	100.0		Himsedad Natural ± 14.20 %		
	THA	1/2"	12.700	33.0	1.9	1.9	98.1				
		3/8°	9.525	18.0	1.0	2.9	97.1		Limite Liquido ; 30.70		
		1/4"	6.350	10000	0.0	0.0	0.0		Limite Plastico ; 28,53		
		No. 4	4.760	47.0	2.7	5.6	94.4		LP 2.17		
19	GREEN	No. B	2.360	107.0	6.2	11.8	99,2		CLASHFICACION AASIITO A-4(0)		
-		No. 10	2.000	43.0	2.5	14.3	85.7		The second of th		
ı		No. 16	1.190	127.0	7.4	21.7	78.3		CLASIFICACION MICS: SM		
-	3	No 20	0.834	74.0	4.3	26.0	74.0		CARANT HARASTON AND AND AND AND AND AND AND AND AND AN		
	HEDIN	No 30	0.600	76.0	4.4	30.4	69.6		- Arena Basowi		
	m	No. 40	0.420	68.0	3.9	34.3	65.7		- Jorna amon		
1	-	No. 50	0.300	70.0	4.1	38.4	61.6		Peso Inicial Seco (gr) , 1725.0		
-		No. 60	0.250	0.0	0.0	0.0	0.0		Peso Inicial lavado seco(gr) : 878.0		
-	183	No. 80	0.177	113.0	6.6	45.0	55.0		Peso Fracción (gr) 1627.0		
- 1		No. 100	0.149	38.0	2.2	47.2	52.8				
-1	Ш	No. 200	0.075	64.0	3.7	50.9	49.1				
_		-200	2000	847.0	49.1	100.0					



OBS.:

Asociación Miraflores Mz. N1 Lote 02 - San Juan Bautista - Ayacucho Cel. 954000684 - RPM # 954000684 E-mail: jkemsca@hotmail.com



CONTENIDO DE HUMEDAD

ASTM D 2216 - MTC E-108

OBRA	: "INFLUENCIA DE LA ADICIÓN DE CENIZA DE CABUYA Y FIBRAS DE PET PARA MEJORAR LA SUBRASANTE DEL SUELO ARCILLOSO EN EL TRAMO SOCOS- YANAYACU, AYACUCHO, 2023"					
SOLICITANTE	: JHONATAN AYALA GUEVARA					
UBICACIÓN	: SOCOS-YANAYACU-AYACUCHO	FECHA: NOVIEMBRE DEL 2023				
CALICATA LUGAR PROFUNDIAD	: C-06 : PROG. KM 2+500 : 1.55 m					

CONTENIDO DE HUMEDAD PARA SUELOS MUESTRA INTEGRAL						
Muestra	Ma	1	PROMEDIO			
Recipiente	No	00				
Peso recipiente + suelo húmedo	gr	425.0				
Peso recipiente + suelo seco	gr	372.0				
Peso del recipiente	gr	0.0				
Peso de agua	gr	53.0				
Peso del suelo seco	gr	372,0				
Contenido de Humedad	%	14.2	14.2			

Observaciones:

| Construction | Con



DETERMINACION DE LOS LIMITES DE CONSISTENCIA

A51			

OBRA	1 TRANDESCLA DE LA ADICIÓN DE CENIZA DE CABUYA Y FIBRAS. TRAND SOCOS-YANAYACU, AYACUCHO, 2023"	DE PET PARA MEJORAR L	A SUURASANTII DEL SUELO ARCILLOSO EN EL
SOLICITAWIE	: JHONATAN AYALA GUEVARA		1,11-
THEACIÓN	SDC05-YANAYACU-AYAGUENO	FECHA	NOVEMBRE DEL 2023
CALICATA LUGAR PROFUNDIAD	: C-06 : PROG, KM 2+500 : 1.55 m		

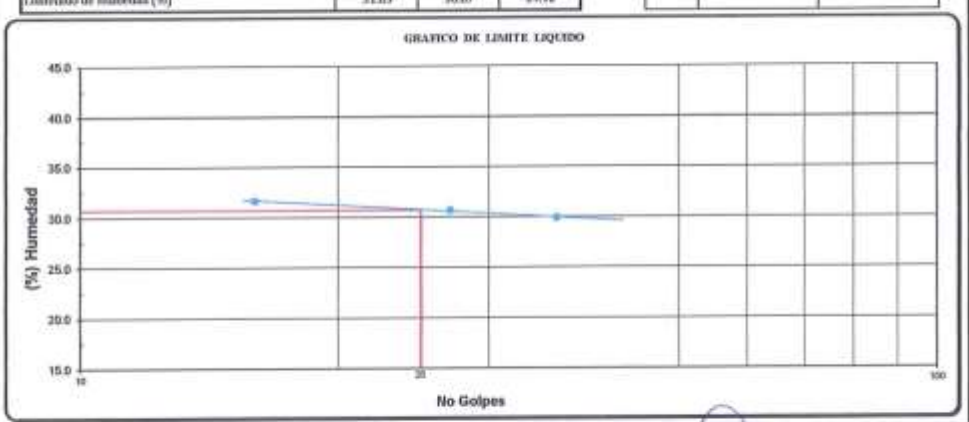
LIMITE PLASTICO MTC E LLL

Capitalia Niro	4	5	PROMEDEC
Penn de la Capada (gr)	14.78	1351	
Peno de la Capsulo+Sorio Humodo (gr)	17.22	16.55	
Peso de la Capsida+Suelo Soco (gr)	16.69	15.96	
Pero del Agus (gr)	0.54	0.59	
Pero del Suelo Seco (gr)	1.91	2.05	
Contemido de Buntedad (%)	28.27	28.78	29.53

LIMITELIQUIDO MTCE.110

Caponila Neo	1	2	
Pero de la Capsala (gr)	14.74	1451	15.00
Peso de la Capsula-r Socie Stamedo (gr)	23.60	23.33	24.25
Proo de la Capuala+Sucio Soco (39°)	21.47	21.26	22.12
Numero de Golpen	16	27	36
Peso del agua (g)	2.13	2.07	2.13
Peso del Suelo Seco (gr)	6,73	6.75	7.12
Contenido de Buroedad (%)	31.65	70.67	29,92

	RESULTADOS	ESPECIFICADO
	30.70	-
LP.r	28.53	
LP.	2.17	



OBSERVACIONES:

Asociación Miraflores Mz. N1 Lote 02 - San Juan Bautista - Ayacucho Cel. 954000684 - RPM #954000684 E-mail: jkemsca@hotmail.com



	RELACION HUMEDAD DENSIDAD ASTM - 1557 N	(PROCTOR MODIFICADO) TCE 115
OBRA	: "INFLUENCIA DE LA ADICIÓN DE CENIZA DE CABUY; ARCILLOSO EN EL TRAMO SOCOS- YANAYACU, AYACUC	Y FIBRAS DE PET PARA MEJORAR LA SUBRASANTE DEL SUELO 10,2023"
SOLICITANTE	: JHONATAN AYALA GUEVARA	
UBICACIÓN	: SOCOS-YANAYACU-AYACUCHO	FECHA : NOVIEMBRE DEL 2023
CALICATA LUGAR PROFUNDIAD	; C-06 : PROG, KM 2+500 : 1.55 m	· · · · · · · · · · · · · · · · · · ·

Metodo de compactación					C		
Numero de golpes					56		
iumero de capas							
104.00 104.00 104.00 104.00 104.00 104.00 104.00 104.00 104.00 104.00 104.00 104.00 104.00 104.00 104.00 104.0	CALCULO D	E DENSIDAD HUM	EDA				
1. Pesu suelo humedo. + molde	10"	11040	11387	11488	11154		
2. Peso del molde	gr	6759	6759	6759	6759		
3. Volumen del molde	00	2124	2124	2124	2124		
4. Peso suelo humedo	gr	4281	4628	4729	4395		
S. Densidad suelo humedo	gr/cc	2.02	2.18	2.23	2.07		
	CALCU	LO DE HUMEDAD					
6. Capsula Nº				Y			
7. Peso del suelo húmedo.+ capsula	gr	485.0	519.0	512.0	521.0		
8. Peso del suelo seco+capsula	gr	437.0	457.0	436.0	437.0		
9. Pexo del agua	gr.	48.0	62.0	76.0	194		
10. Peso-de la capsula	gr.	0.0	0.0	0.0	0.0		
11. Peso del suelo seco	gr	437.0	457.0	436.0	437.0		
12. Contenido de humedad	%	10.98	13.57	17.43	19.22		
12. Contenido de Humedad	96	10.98	13.57	17,43	19.22		
	CALCULO	DE DENSIDAD SEX	CA				
13. Densidad seca del suelo	gr/cc	1.816	1.919	1,896	1.736		



Humedad optima	15.41%
Densidad Maxima	1.950

Jose Carrello Living Colombia



OBRA : "INFLUENCIA DE LA ADICIÓN DE CENIZA DE CABUYA Y FIBRAS DE PET PARA MEJOBAR LA SUBRASANTE DEL SUELO ARCILLOSO EN EL TRAMO SOCOS- YANAYACU, AYACUCHO,2023"

SOLICITANTE : JHONATAN AYALA GUEYARA
UBECACIÓN : SOCOS-YANAYACU-AYACLICHO FECHA : NOVIEMBRE DEL 2023

CALICATA : C-06 LUGAR : PROG. KM 2+500 PROFUNDIAD : 1.55 m

Molde Nº		1		2		3	100
Nº Capa		5		5		5	
Golpes por capa N*		56		25		12	
Cond. de la muestra		NO SATURADO	SATURADO	NO SATURADO	SATURADO	NO SATURADO	SATURADO
Peso molde + xuela hámedo	gr.	13459		13284		13379	
Peso de molde	gr.	8611		8471		8668	
Peso del suelo húmedo	gr.	4840		4813		4711	
Volumen del molde	cm ²	2124		2124		2124	
Deneidad hilmeda	gr/cm ¹	2.282		2,266		2.218	
			CALCULO I	DE HUMEDAD			
Tarro Nº							
Tarro + Suelo bûmedo	itr.	724.0		409.0		525.0	
Turro + Suelo seco	gr	685.0		370.0	7	460.0	
Peso del Agua	gr	39.0		39.0		65.0	
Peno del tarro	Hr.	0.0		0.0		0.0	
Peso del surlo soco	gr.	685.0		370.0		460.0	
Humodad	96	5.69		10.54		14.13	
Densidad soca	gr/cm ²	2.159		2.050		1.943	

					EXPANS	10W	All marks	Name of the last			
PRCHA	нопа	THIMPO	MPO	EXPANSION		DEAL	EXPA	NSION	DIM	EXPANSION	
		Hr. DIAL	DIAL	rem	96	DIAL	1000	76.		100	-
			NO E	XPANS	SIVO				4/	LIIO.	
							-	Tour.		To a second	NAME OF THE PERSON NAME OF T

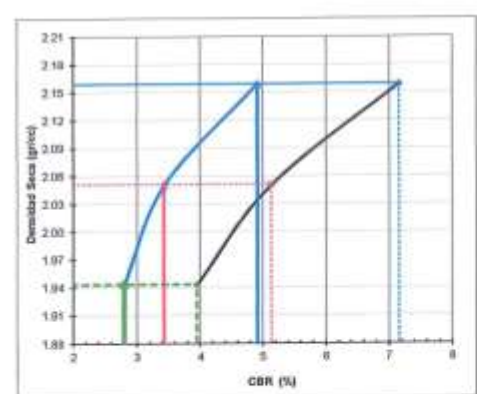
					PENE	TRACEON:			2199	HILTO-FIT GOLD	L burney or	LYSTERMAND	\$50,00
	CARGA		MOLDENS	5	1.		HOLDE Nº		2		MOLDIE Nº	A.	3
PENETRACOR	STANO.	CARGA		CORRECCION		CARGA		COMPLETICION		CARGA	EA.	CORRECCION	
rese	hg/cm2	Distribution	lqg/enuZ	lq/cut.	16	Disk (db)	kg/cm2	hg/out	76	Dist (div)	hg/cm2	hg/cm2	91
0.00		0	0		1	0	0			0	.0		
0,63		13	51			10	39			7	27		
1.27		29	113			22	- 86			12	47		
1.90		51	199			28	109			27	105		
2.54	70.3	67	262	3.6	4.9	64	280	2.4	35-6	20	109	2.0	2.0
3.17	-	94	347			83	324			40	156	10.00	
3.01	105.5	113	481	7.6	7.2	108	422	5.4	5.1	61	238	4.2	4.6
5.00	1000000	201	767			167	654			102	399		
7.62		365	1436			317	1245			117	457		
30.36		528	2005			432	1702			297	1166		
12.70		627	2483			502	1901			333	1309		



GRAFICO DE PENETRACION DE CBR ASTM D 1883 MTC E-132

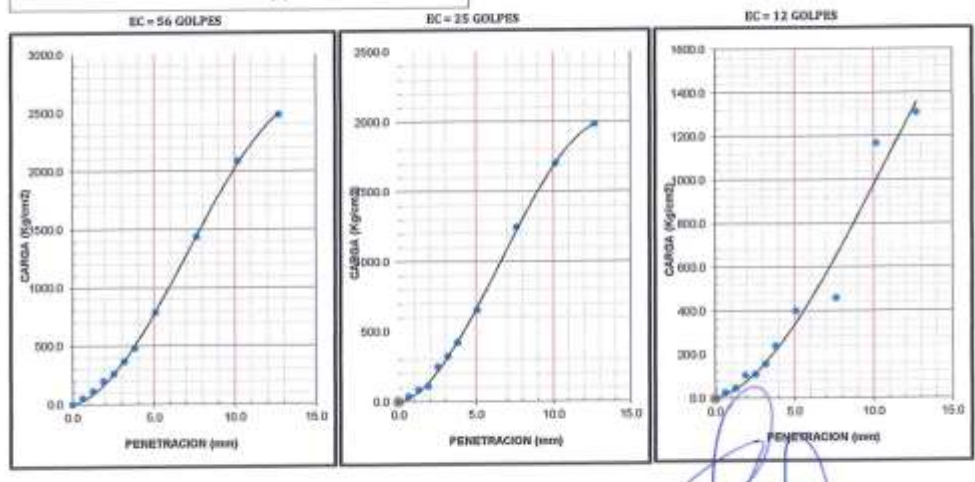
OBRA	t "INFLUENCIA DE LA ADICIÓN DE CENIZA DE CABU SUELO ARCILLOSO EN EL TILAMO SOCOS- YANAYACU,	YA Y FIBRAS DE PET PARA MEJORAR LA SUBRASANTE DEL , AYACUCHO,2023°
SOLICITANTE	; JHONATAN AYALA GUEYARA	
UBICACIÓN	: SOCOS-YANAYACU-AYACUCHO	FECHA: 1 NOVIEMBRE DEL 2023

CALICATA : C-06 : PROG. KM 2+500 : 1.55 m LUGAR PROFUNDIAD



C.B.R. AL 100% DE M.D.S. (%)	0.1":	4.9	0.2%	7.2
CBLIL AL 95% DE M.D.S. (%)	0.1"1	3.4	0.2":	5.1
C.B.R. AL 90% DE M.D.S. (%)	0.1%	2.11	0.2":	4.0

OBSERVACIONES:





ANALISIS GRANULOMETRICO POR TAMIZADO MTC E 107 - ASTM D 6913 - ASTM D 2487

OBRA.	: "INFLUENCIA DE LA ADICIÓN DE CENIZA DE CABUYA Y FIBRAS DE PET PARA MEJORAR LA SUBRASANTE DEL SUELO ARCILLOSO EN EL TRAMO SOCOS-YANAYACU, AYACUCHO, 2023"						
SOLICITANTE	: JHONATAN AYALA GUEVARA						
UBICACIÓN	: SOCOS-VANAYACU-AYACUCHO	FECHA	: NOVIEMBRE DEL 2023				
CALICATA LUGAR PROFUNDIAD	: C-07 PROG. KM 3+000 1.50 m						

- 2	1	Tamtz	Abertura	Peso-	% B)	etenido	% que	Expecificaciones	Descripción de Muestra
1		ASTH	(mm.)	Retenido	Paccial	Acumulado	Pasa	Obra	Descripcion de Allesta
TED	OSA III	4"	101.600						
CWN	300	3*	76.200	0.0			0.0		Grava > 3"
	П	21/2"	63.500	0,0	0.0	0.0	0.0		Grava , 44.80 %
	J.	2"	50.800	0,0	0.0	0.0	100.0		Arena : 36.20 %
	CELESA	11/2"	38 100	183.0	10.4	10.4	B9.6		Pinos : 19.00 %
	9	1"	25.400	142.0	8.0	18.4	81.6		E COMMING TO THE STATE OF THE S
Change		3/4"	19.050	0.0	0.0	0.0	0.0		Humodad Natural _ 9.80 %
,		1/2"	12.700	165.0	9.3	27.7	72.3		
	PINA	3/8"	9.525	74.0	4.2	31.9	68.1		Limite Liquido 34.70
	£	1/4"	6.350		0.0	0.0	0.0		Limite Plastico ; 30.35
		Na. 4	4.760	228.0	12.9	44.8	55.2		LP 1 4.35
	A2000	No. 8	2.360	195.0	11.0	55.8	44.2		CLASHFICACION AASHFO A-1-b(0
	8	No. 10	2.000	52.0	2.9	58.7	41.3		
1		No. 16	1.190	134.0	7.6	66.3	33.7		CLASHICACION SUCS: GM
	5	No 20	0.834	65.0	3.7	70.0	30.0		
è	WEDSA	No 30	0.600	53.0	3.0	73.0	27.0		- Grava Rossor
AKENA.		No. 40	0.420	37.0	2.1	75.1	24.9		
		No. 50	0.300	31.0	1.8	76.9	23.1		Peso Inicial Seco (gr) : 1766.0
		No. 60	0.250	0.0	0.0	0.0	0.0		Peso Inicial lavado seco(gr) : 1432.0
	ž	No. 80	0.177	20.0	1.1	78.0	22.0		Peso Fracción (gr) 974.0
	7	No. 100	0.149	12.0	0.7	78.7	21.3		
		No. 200	0.075	41.0	2.3	81.0	19.0		
		-200		334.0	19.0	100.0			



OBS.:

2027



CONTENIDO DE HUMEDAD

ASTM D 2216 - MTC E-108

OBRA	: "INFLUENCIA DE LA ADICIÓN DE CENIZA DE CABUYA Y FIBRAS DE PET PARA MEJORAR LA SUBRASANTE DEL SUELO ARCILLOSO EN EL TRAMO SOCOS- YANAYACU, AYACUCHO, 2023"						
SOLICITANTE	: JHONATAN AYALA GUEVARA						
UBICACIÓN	: SOCOS-YANAYACU-AYACUCHO	FECHA: NOVIEMBRE DEL 2023					
CALICATA LUGAR PROFUNDIAD	: C-07 : PROG. KM 3+000 : 1.50 m						

CONTEN	VIDO DE HUMEDA	D PARA SUELOS MUESTRA INTE	GRAL
Muestra	Na	1	PROMEDIO
Recipiente	Na	00	
Peso recipiente + suelo húmedo	gr	402.0	
Peso recipiente + suelo seco	gr	366.0	
Peso del recipiente	gr	0.0	
Peso de agua	gr	36.0	
Peso del suelo seco	gr	366.0	
Contenido de Humedad	96	9.8	9.8

Obsevaciones:	A
	Carpa and
	Land Bridge of State Concept variety
	CONTROL OF THE PROPERTY OF THE
	ETHEORETIC CHECKING ETHING AND



DETERMINACION DE LOS LIMITES DE CONSISTENCIA ASTM D 4318

CHRA	"INFLUENCIA DE LA ADICIÓN DE CENTZA DE CABLIZA Y FIBRAS DE FET PABA MEJORAB LA SUBRASANTE DEL SUELO ARCILLOSO EN EL TRAMO SOCOS- YAMAYACU, AYACUCHO, 2023"						
SOLICITANTE	: DEOSATAN AYALA GUEVARA						
UNICACIÓN	SOCOS-VANAVACU-AVACUCHO	PECHA	NOVIEMBRE DISC 2027				
CALICATA	DESCRIPTION						

LUGAR PROFUNDIAD 150 m

LIMITE PLASTICO MTC E 111

Capessia Neo	13	14	PROMEDIO
Peon de la Caposda (gr)	26.82	29.38	
Peno de la Capsula+Sorbi Humodo (gr)	28.94	31.60	
Peso de la Capoula+Surlo Seco (gr)	28.46	31.13	
Peso del Agua (gr)	0.48	0.55	
Peso del Suelo Sero (gr)	1.64	1.75	
Contentdo de Humedad (%)	29.27	31.43	39,35

LIMITE LIQUIDO MTCE 118

Caputila Neo	- 6		9
Perso de la Caprolla (gr)	1449	14.01	14.58
Peso de la Capsula+Sorio Hamolo (gr)	24.41	24.30	23.89
Peso de la Capsula+Sorio Soco (gr)	21.84	21.70	21.55
Numero de Golpes	16	24	37
Pesso del agna (g)	257	2.68	2.34
Penn del Sunto Seco (gr)	7.15	7.69	6.97
Contentdo de Humedad (%)	35.94	34.85	33.57

	RESULTADOS	ESPECIFICADO
LL:	34.70	
l.P.i	30.35	
DP. i	4.35	-



OBSERVACIONES:



	RELACION HUMEDAD DENSIDAD (ASTM - 1557 MT	PROCTOR MODIFICADO) CE 115
OBRA	: "INFLUENCIA DE LA ADICIÓN DE CENIZA DE CABUYA Y ARCILLOSO EN EL TRAMO SOCOS-YANAYACU, AYACUCHO	FIBRAS DE PET PARA MEJORAR LA SUBRASANTE DEL SUBLO ,2023"
SOLICITANTE	: JHONATAN AYALA GUEVARA	
UBICACIÓN	: SOCOS-YANAYACU-AYACUCHO	PECHA : NOVIEMBRE DEL 2023
CALICATA LUGAR	: C-07 : PROG, KM 3+000	

Metodo de compactacion Numero de golpes							
100000	CALCULO D	E DENSIDAD HUM	EDA				
1. Peso suelo humedo. + molda	67	10585	11246	11478	10856		
2. Peso del moide	gr	6759	6759	6759	6759		
3. Volumen del molde	cc	2124	2124	2124	2124		
4. Peso suelo humedu	gr	3826	4487	4719	4097		
5. Densidad auelo humedo	gr/cc	1.80	2.11	2.22	1.93		
	CALCU	LO DE HUMEDAD					
6. Capsula Nº							
7. Peso del suelo húmedo.+ capsula	gr	431.0	564.0	502.0	538.0		
8. Peso del suelo seco+capsula	gr	404.0	516.0	446.0	449.0		
9. Pean del apus	gr.	27.0	40.0	56.0	89		
10. Peso de la capsula	D.	0.0	0.0	0:0	0.0		
11. Peso del nuelo seco	No.	404.0	516.0	446.0	449.0		
12. Contenido de humedad	96	6.68	9.30	12.56	19.82		
12. Contenido de Humedad	96	6.68	9.30	12.56	19.82		
	CALCULO	DE DENSIDAD SE	CA				
13. Densidad seca del suelo	gr/cc	1.688	1.933	1.974	1.610		



RESULTADOS					
Humedad optima	11.38%				
Densidad Maxima	1.986				

Jose Carlos Huomani Quicang-



OBRA : "INFLUENCIA DE LA ADICIÓN DE CENIZA DE CABUYA Y FIBRAS DE PET PARA MEJORAR LA SUBRASANTE DEL SUILO ARCILLOSO EN EL TRAMO SOCOS- YANAYACU, AYACUCHO, 2023"

SOLICITANTE IJHONATAN AYALA GUEVARA

UBICACION : SOCOS-YANAYACU-AYACUCHO FIECHA : NOVIEMBRE DEL 2023

CALICATA : C-07 LUGAR : PROG. KM 3+000 PROFUNDIAD : 1.50 m

Molde Nº Nº Capa		1		2		3		
		8				5		
Golpes por capa Nº	1 Nº 56			2:	5	12		
Cond. de la muestra		NO SATURADO	SATURADO	NO SATURADO	SATURADO	NO SATURADO	SATURADO	
Peso molde + suelo húmedo	gr.	13264		12922		12823		
Peso de molde	gr	8826		.8652		8616		
Peso del suelo himodo	er-	4438		4270		4207		
Volumes del molde	cm ³	2124		2124		2124		
Dennifad húmeda	gr/cm ³	2.009		2.010		1.981		
			CALCULO	DE HUMEDAD	-			
Tarro Nº								
Tarro + Socio húmedo	gr.	412.0		464.0		412.0		
Tarro + Suelo seco	gr.	379.0		422.0		359.0		
Peso del Agua	gr.	33.0		42.0		53.0		
Peso del tarro	gr.	0.0		0.0		0.0		
Peso del suelo seco	er.	379.0		422.0		359.0		
Humedad	56	8.71		9.95		14.76		
Densidad seca	gr/cm ³	1.922		1.828		1.726		

PECNA HORA	THEMPO											
FECNIA HORA		DIAL	EXPA	NSION	DIAL	EXPA	NSION	6	AL.		EXPA	STON
300 may 1 3000	Hr.	DIAL	8101	96.	Dien	mm.	16		1	1	nn	- 9
		NO E	XPANS	SIVO			4.6500.00	4	#			.7720

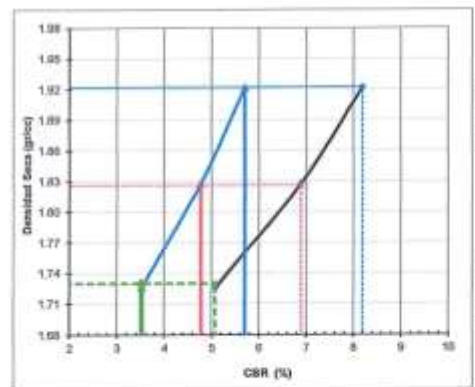
					PENE	THACKON					1/1	- worth is	1100
	CARGA		MOLDEN [®]		1		MOLDEN!		- 2	-	MOLDE Nº		. 3
PENETRACION	STAND.	CAR	IGA	CORRE	COOL	CAR	KIA	CORRE	CCION	CAI	GA	CORRE	CCHOM
Control of the contro	lg/cu2	Disk (div)	hg/mr2	hg/cm2	16.	Ond (div)	hg/cm2	lqt/cm2	%	Dist (dis)	hg/cm2	hg/cm2	19
0.00		0	a			0	0			0	0		
0.63		15	59			12	42			8	31		
1.27		31	121			24	.94			14	55		
1.90		53	267			41	160			32	125		
2.54	70.3	69	260	4.0	5.7	66	356	3.4	4.0	41	160	2.5	3.
3.17		96	375	- 100		95	332			63	246		
3.01	105.5	125	489	8.6	0.2	111	634	7.3	6,9	83	324	5.4	- 5
5.09		205	803			171	609			124	685		
7.62		367	1443			321	1501			224	979		
10.16		530	2094			436	1717			300	1170		
12.70		630	2495			502	1981			335	1317		



GRAFICO DE PENETRACION DE CBR ASTM D 1883 MTC E-132

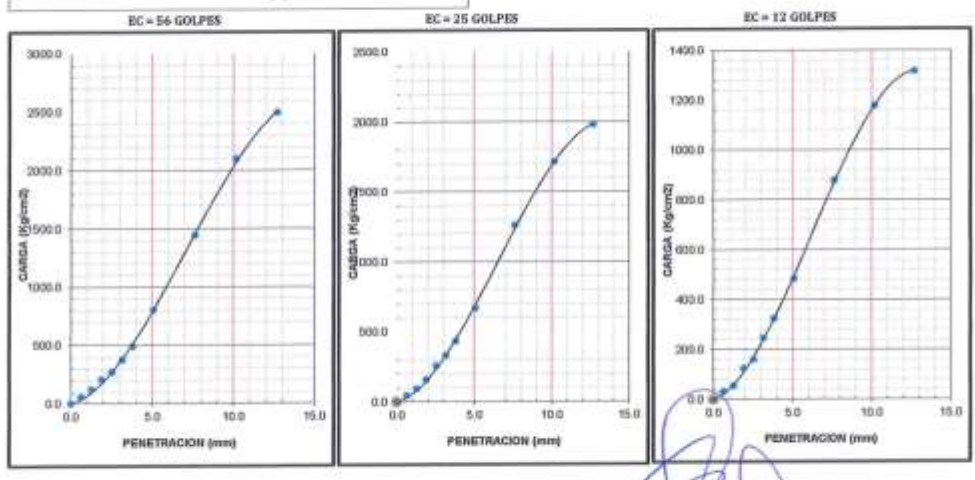
OBRA	: "INFLUENCIA DE LA ADICIÓN DE CENIZA DE CABUYA Y FIBRAS DE PET PARA MEJORAR LA SUBRASANTE SUELO ARCILLOSO EN EL TRAMO SOCOS- YANAYACU, AYACUCHO, 2023"							
SOLICITANTE	: JHONATAN AYALA GUEVARA	: JHONATAN AYALA GUEVARA						
UBICACIÓN	: SOCOS-YANAYACU-AYACUCHO	FECHA: : NOVIEMBRE DEL 2023						

CALICATA LUGAR PROFUNDIAD : PROG. KM 3+000 : 1.50 m



C.B.R. AL 100% DE M.D.S. (%)	0.17	5.7	0.2":	8.2
CJUIL AL 95% DE M.D.S. (%)	0.1*:	4.0	0.2":	6.9
C.B.R. AL 90% DE M.D.S. (%)	0.1%	3.5	0.2%	5.1

OBSERVACIONES:





	RELACION HUMEDAD DENSIDAD (ASTM - 1557 MT					
OBRA	: "INFLUENCIA DE LA ADICIÓN DE CENIZA DE CABUYA Y ARCILLOSO EN EL TRAMO SOCOS-YANAYACU, AYACUCHO	FIBRAS DE PET PARA MEJORAR LA SUBRASANTE DEL SUELO ,2023*				
SOLICITANTE	I JHONATAN AYALA GUEVARA					
UBICACIÓN	: SOCOS-YANAYACU-AYACUCHO	FECHA : NOVIEMBRE DEL 2023				
CALICATA LUGAR MATERIAL	: C-O1 : PROG. KM 0+000 : SUBRASANTE +3 % CENIZA DE CABUYA Y 5% PET	11.41				

Metodo de compatizción Numero de golpes Numero de capas													
									CALCULO D	E DENSIDAD HUM	EDA		
								I. Peso suelo humedo, » molde	to.	10005	11331	11335	10752
2. Peso del molde	W	6579	6579	6579	6579								
3. Volumen del molde	cc	2124	2124	2124	2124								
4. Peso suelo humedo	87	4226	4752	4756	4173								
5. Densidad suelo humedo	gr/cc	1.99	2.24	2.24	1.96								
	CALCU	LO DE HUMEDAD			-								
6. Capsula Nº													
7. Peso del suelo húmedo.+ capsula	D.	6.09.0	789.0	0,008	847.0								
8. Peso del suelo seco+caponla	W.	621.0	705.0	710.0	740.0								
9. Peso del agun	87	68.0	84,0	90,0	107								
10. Peso de la capsula	tr.	0.0	0.0	0.0	0.0								
11. Peso del suelo seco	10*	621.0	705.0	710.0	740.0								
12. Contenido de humedad	36	10.95	11,91	12.68	14.46								
12. Contenido de Humedad	%	10.95	11.91	12.68	14.46								
	CALCULO	DE DENSIDAD SEC	:A										
13. Densidad seca del suelo	gr/cc	1.793	1.999	1,987	1.716								





RESULTADOS

Humedad optima Densidad Maxima 12.19%



	2 "INFLUENCIA DE LA ADICIÓN DE CENIZA DE CABUYA Y FIBRAS TRAMO SOCOS- YANAYACU, AYACUCHO, 2023"	S DE PET PARA MEJORAR LA SUBRASANTE DEL SUELO ARCILLOSO EN EL
SOLICITANTE	; JHONATAN AYALA GUEVARA	
URICACIÓN	: SOCOS-YANAYACU-AYACUCHO	FECHA: NOVIEMBRE DEL 2023

CALICATA : C-01

LUGAR : PROG. ICM 0+000

MATERIAL : SUBRASANTE + 3 % CENIZA DE CABUYA Y 5% PET

DATES DEL PROCTOR

MARIMA DENSENAD SECA : 2.609

OPTINO CONTENDO DE HUMEDAD : 12.35 %

Molde Nº		1		2		3	0
Nº Capa		5			1	5	
Golpes poe capa Nº		50	5	2:	5	1	Z
Cond. de la muestra		NO SATURADO	SATURADO	NO SATURADO	SATURADO	NO SATURADO	SATURADO
Peso molde + suelo hümedo	101.	13289		13319		13560	
Peso de molde	gr.	B496		8547		8856	
Peso del suelo hómedo	gr	4793		4772		4704	
Volumen del molde	cm ³	2124		2124		2124	
Densidad hömeda	gr/cm²	2.257		2.247		2,215	
	777		CALCULO	DE HUMEDAD			
Tarro Nº	- 4						
Tarro + Suelo húmedo	gr.	689.0		458.0		578.0	
Tarro + Suelo seco	gr.	632.0		401.0		487.0	
Peso del Agua	87	57.0		\$7.0		91.0	
Peso del tarro	Er.	0.0		0.0		0.0	
Peso del suelo seco	gr.	632.0		401.0		487.0	
Humedad	96	9.02		14.21		10.69	
Depsidad seca	gr/cm³	2.070		1.967		1.866	

					EXPANS	ROM					
ender d	TIENFO EO	EXPA	EXPANSION .		EXPANSION		DIAL	EXPANSION			
FECHA	HORA	Bir.	DIAL	800	- 96	DIAL	mm	.96	1 1	100	.39
- 51						703			///	1	
			NO E	XPAN	OVIIS				11		
			NOE	VLWIA-	SIVO			4/03000		Total State 1	einligh
									A.W		
								Jose	Car Fe T	III Quic	M)O
_				-					100000	1.0	

					PENE	ERACION					V	-		
	CARGA	MOLDEN* 1				T	MOLDENY 2				MOLDER*		1	
PENETRACION	STAND.	CUI	IGA	CONNECCION		CARGA		CURRE	CCION	CAI	IGA	COMBROCION		
Bette	lig/cm2	Dial (div)	hg/ms2	hg/em2	%:	Dist (day)	hg/mc2	hg/cur2	96	Dist (dby)	kg/cutl	lig/cm2	76	
0.00		8	0			0	0			0	0			
0.63.		42	164			36	141			24	94			
1.27		47	185			41	162			29	315			
1.90		91	354			85	331		10000	73	204		- 44	
2.54	70.3	135	490	20/9	29.7	119	466	19.4	27.6	107	419	16.5	33.	
3.17		158	618			152	594			140	547		- 7.0	
3.01	105.5	186	730	41.6	39.4	180	706	38.7	36.7	368	659	32.9	-31.	
5.09		230	903		-1000	224	9100		1	212	832	1000	-	
7.62		327	1204			321	1260			369	1213			
10.16		397	1561			391	1538			379	1490			
12.70		480	1895			474	1871	100		462	1923			

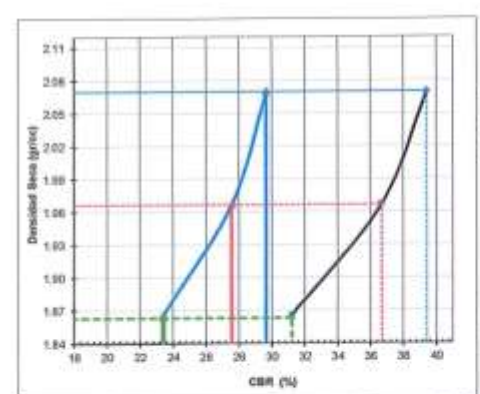


GRAFICO DE PENETRACION DE CBR ASTM D 1883 MTC E-132

OHRA	: "INFLUENCIA DE LA ADICIÓN DE CENIZA DE CABUYA SUELO ARCILLOSO EN EL TRAMO SOCOS- YANAYACU, AY		A MEJORAR LA SUBRASANTE DEL
SOLICITANTE	: JHONATAN AYALA GUEVARA		
UBICACIÓN	: SOCOS-YANAYAGU-AYAGUCHO	FECHA	: NOVIEMBRE DEL 2023

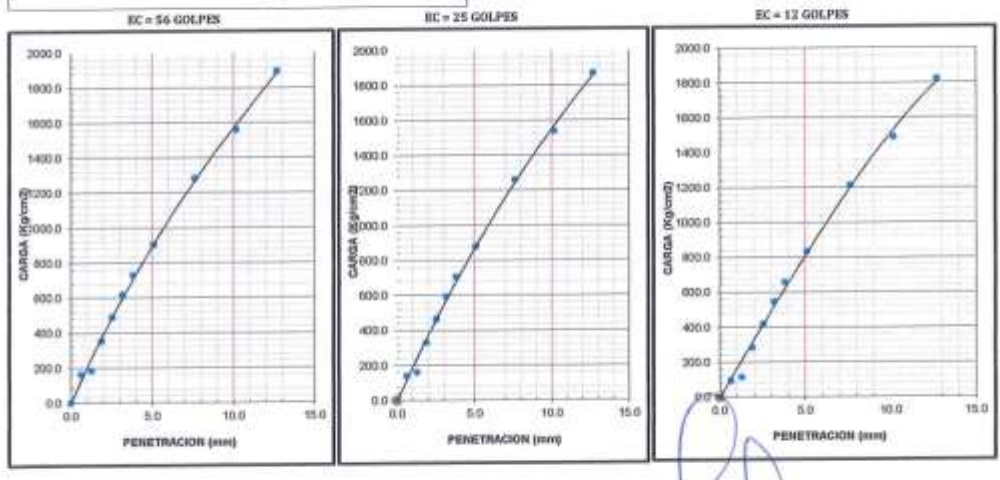
CALICATA : C-01. : PROG. KM 0+000 LUGAR MATERIAL

: SUBRASANTE + 3 % CENEZA DE CABUYA Y 5% PET



CB.B. AL 100% DE M.D.S. (%)	0.1"1	29.7	0.2":	39.4
CR.R. AL 100% DE M.D.S. (%) CR.R. AL 95% DE M.D.S. (%) CR.R. AL 90% DE M.D.S. (%)	0.1%	27.6	0.2"	36.7
C.B.R. AL 90% DE M.D.S. (%)	0.17	23.4	0.27	31.3

OBSENT/ACTONES:





	RELACION HUMEDAD DENSIDAD (PRO- ASTM - 1557 MTCE 11:	
OBRA	: "INFLUENCIA DE LA ADICIÓN DE CENIZA DE CABUYA Y FIBRA ARCILLOSO EN EL TRAMO SOCOS-YANAYAGU, AYACUCHO, 2023"	
SOLICITANTE	: JHONATAN AYALA GUEVARA	
UBICACIÓN	: SOCOS-YANAYACU-AYACUCHO	PECHA: NOVIEMBRE DEL 2023
CALICATA LUGAR MATERIAL	: C-01 PROG, KM 0+000 : SUBRASANTE + 6 % CENTZA DE CABUYA Y 5% PRT	

Metodo de compactación					c
Numero de golpes					56
Numero de capas		1			5
	CALCULO D	E DENSIDAD HUM	EDA		
1. Pestr suelo humedo. + meldo	10"	10981	11342	11447	11039
2. Peso del moide	gr	6579	6579	6579	6579
3. Volumen del molde	cc	2124	2124	2124	2124
4. Peso suelo humodo	gr	4402	4763	4968	4460
5. Densidad suelo humedo	gr/cc	2.07	2.24	2.29	2.10
	CALCU	LO DE HUMEDAD			
6. Capsula Nº					
7. Peso del suelo húmedo.+ capsista	Nr.	519.0	516.0	515.0	515.0
8. Peso del suelo seco+capsula	gr	456.0	451.0	444.0	438.0
9. Peso del agua	g/	63.0	65.0	71.0	77
10. Peso de la capsula	gr	0.0	0.0	0.0	0.0
11. Peso del suelo seco	gr	456.0	451.0	444.0	438.0
12 Contenido de humedad	%	13.82	14.41	15.99	17.58
12. Contenido de Humedad	56	13.82	14.41	15.99	17.58
	CALCULO	DE DENSIDAD SE	CA		
13. Densidad seca del suelo	gr/cc	1.821	1.960	1.976	1.786



RESULTADOS

Humedad optima

15.18%



OBRA : "INFLUENCIA DE LA ADICIÓN DE CENIZA DE CABUYA Y FIBRAS DE PET PARA MEJORAR LA SUBRASANTE DEL SUELO ARCILLOSO EN EL
SOLICITANTE : JHONATAN AYALA GUEVARA
UDICACIÓN : SOCOS-YANAYACU-AYACUCHO FECHA : NOVIEMBRE DEL 2023

CALICATA : C-01

LUGAR : PROG. EM 0+000 MATERIAL : SUBRASANTE +

MATERIAL : SUBRASANTE + 6 % CENIZA DE CABUYA Y 5% PET

DATOS DEL PROCTOR

MARONA DESMINAD SECA. 1 2.019

OPTINO CONTENIDO DE HUNEDAD 1 15.30 %

Molde No		1		2	E .	3	15	
Nº Capa				5				
Golpes por capa Nº	- 9	50	6	2	5	1	2	
Cond. de la muestra		NO SATURADO	SATURADO	NO SATURADO	SATURADO	NO SATURADO	SATURADO	
Peso molde + suelo húrsedo.	gr.	12393		12400		12216		
Peso de molde	gr.	8624		8652		8638		
Peso del suelo húmedo	gr.	3769		3748		3578		
Volumen del molde	cm3	2124		2124		2124		
Dennidad Irianeda	gr/cm ⁸	1.774		1.765		1.605		
			CALCULO I	E HUMEDAD				
Tarro Nº								
Tarro + Suelo húmedo	gr.	371.0		363.0		436.0		
Tarro + Suelo seco	gr.	344.0		322.0		383.0		
Peso del Agua	gr.	27.0		41.0		53.0		
Peso del tarro	gr.	0.0		0.0		0.0		
Peso del suelo seco	gr.	344.0		322.0		383,0		
Humedad	96	7,85		12.73		13.84		
Demsidad xeca	gr/cm³	1.645		1.566	4 7	1.400		

					EXPANS	ION	-11					
FECHA	HDRA	THMFO	DIAL	EXPANSION		NPANSION		KSHON		m 17	EXPA	MSHOW
FREIDA	most.	Hir.	Dink	****	16.	DIAL	1000	%		//	m	16
		0 1				- 975	18 -5		/	11	13	
		-	NO E	XPANS	SIVO	_	-	Limit	6	10	No.	THE PERSON
						-		los	V Co 210	· /	mil Chil	100
								7	111	1-1-	FINIT	

					PENE	TRACION							
	CARGA		MOLDEN [®] 1			HOLDE Nº 2			MOLDE Nº			3	
PENETRACION	STAND.	CAT	CARGA		CORRECCION		CARGA		CORRECCION		HGA	CHRRECCOON	
1600	hg/cm2	Dist (dist)	hg/cm2	lig/cm2	.96	Dul (db)	kg/ced	lig/owd	94	Dial (div)	hg/end	hg/cm2	- 96
0.00		0	. 0			. 0	0			0	0		
0.63		38	149			26	102			14	55		
1.27		613	326			71	279			59	232		
1.90		127	495	to a	0.05	115	448			103	401		
2.54	70.3	161	621	20.7	40.0	149	204	29.7	36.6	127	537	22.0	32
3.17		194	759			182	712			170	665		
3.01	105.5	322	671	57.0	54.0	210	824	51.2	46.5	198	777	45.4	43.
5.00		266	1045			254	998			247	951	7.772	
7.62		363	1427			351	1379			339	1332		
10.18		433	1705			421	1657			409	1609		
12.70	-01	516	2039			504	1991			492	1943		

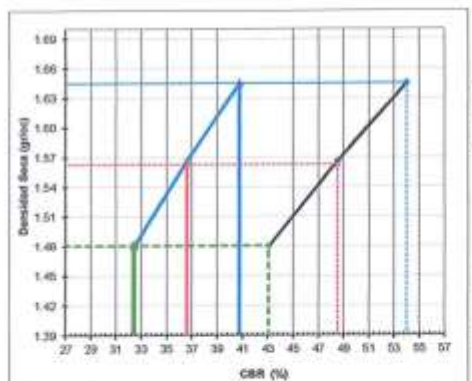


GRAFICO DE PENETRACION DE CBR ASTM D 1883 MTC E-132

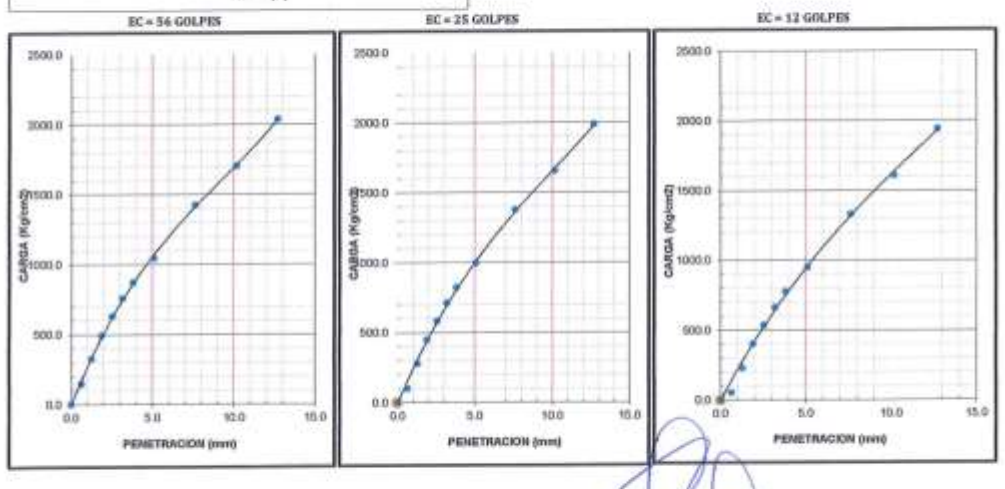
OBRA	: "INFLUENCIA DE LA ADICIÓN DE CENIZA DE CABUYA Y FIBRAS DE PET PARA MEJORAR LA SUBRASANTE DE SUELO ARCILLOSO EN EL TRAMO SOCOS- YANAYACU, AYACUCHO,2023"							
SOLICITANTE	: JHONATAN AYALA GUEVARA		100					
UBICACIÓN	: SOCOS-YANAYACU-AYACUCHO	FECHA	: NOVIEMBRE DEL 2023					

CALICATA LUGAR MATERIAL : C-01 : PROG. KM 0+000

: SUBRASANTE + 6 % CENIZA DE CABUYA Y 5% PET



CBJC AL 100% DEM.D.S. (%)	0.15	40.0	0.2%	54.0
CB.R. AL 95% DEM.D.S. (%)	0.1%	36.6	0.2%	48.5
CB.R. AL 90% DE M.D.S. (%)	0.171	32.4	0.2"	43.1





	RELACION HUMEDAD DENSIDAD (PI ASTM - 1557 MTC E	
OBRA	: "INFLUENCIA DE LA ADICIÓN DE CENIZA DE CABUYA Y FI ARCILLOSO EN EL TRAMO SOCOS-YANAYACU, AYACUCHO, 20	
SOLICITANTE	: JHONATAN AYALA GUEVARA	
UBICACIÓN	: SOCOS-YANAYACU-AYACUCHO	FECHA: NOVIEMBRE DEL 2023
CALICATA LUGAR MATERIAL	: C-02 : PROG. KM 0+500 : SUBRASANTE + 3 % CENIZA DE CABUYA Y 5% PET	

Metodo de compactación					c				
Numero de golpes	Sumero de golpes								
Numero de capas									
•	CALCULO D	E DENSIDAD HUM	EDA						
1. Peso suele hamedo. + molde	gr	10557	11055	11174	10999				
2. Peso dei molde	gr	6701	6701	6701	6701				
3. Volumen del molde	ee-	2124	2124	2124	2124				
4. Peso suelo humedo	gr	3856	4354	4473	4298				
S. Densirlad suelo humedo	gr/cc	1.82	2.05	2.11	2.02				
	CALCU	LO DE HUMEDAD			-				
6. Capsulia Nº									
7. Peso del suele húmedo.+ capsula	gr	513,0	517.0	525.0	508.0				
8. Peso del suelo seco+capsula	gr	451.0	450.0	449.0	434.0				
9. Peso del agua	6*	62.0	67.0	76,0	74				
10. Peso de la capsula	gr	0.0	0.0	0.0	0.0				
11. Peso del suelo seco	gr	451.0	450,0	449.0	434.0				
12. Contenido de Iwmedad	96	13.75	14.89	16.93	17.05				
12. Contenido de Humedad	16	13.75	14.09	16.93	17.05				
	CALCULO	DE DENSIDAD SE	CA		N				
13. Densidad seca del suelo	gr/cc	1.596	1,784	1.801	1.729				



House dod software	16.09%
Humedad optima	10.0710
Densidad Maxima	2.003

Jose Caro Hundran Quicano



OBRA	1 "INFLUENCIA DE LA ADICIÓN DE CENIZA DE CABRIYA Y FIBR TRAMO SOCOS- YANAYACU, AYACUCHO, 2023"	AAS DE PET PARA MEȘORAR LA SUBRASANTE DEL SUELO ARCILLOSO EN EL
SOLICITANTE	: JHONATAN AYALA GUEVARA	
UBICACIÓN	: SDCOS-YANAYACU-AYACUCHO	FECHA: NOVIEMBRE DEL 2023

CALICATA : C-0

LUGAR PROG. ICM 0+500

MATERIAL: : SUBRASANTE + 3 % CENIZA DE CABUYA Y 5% PET

DATOS DEL PROCTORI
MARIMA DENSENO SECA : 2.003
DITURO CONTENDO DE HUMEDAO : 16.07 %

Molde Nº		- 1		2	ē.	3		
N° Capa Golpes por capa N°		5		5		5 12		
		Si	6	25	5			
Cond. de la muestra		NO SATURADO	SATURADO	NO SATURADO	SATURADO	NO SATURADO	SATURADO	
Peso molde + suelo himedo	gr.	13015		13263		12589		
Peso de molde	gr	8470		8668		8491		
Peso del suelo búmedo	gr.	4545		4595		4098		
Volumen del molde	cm²	2124		2124		2124		
Denoidad hümeda	gr/cm ³	2.140		7.163		1.929		
			CALCULO I	DE HUMEDAD				
Tarre Nº								
Tarro + Suelo húmedo	gr.	211.0		466.0		425.0		
Tarro + Suelo seco	gr.	194.0		403.0		390.0		
Peso del Agos	gr.	17.0		63.0		35.0		
Peso del tarro	gr.	0.0		0,0		0.0		
Peso del suelo seco	gr.	194.0		403.0		390.0		
Humedad	56	8.76		15.63		8.97		
Demsidad swca	gr/cm ³	1.968		1.871		1.770		

		144 94			EXPENSE	HON				1	1	_	-	
Solido:	32/32/17	тимео	7/45/2011	EXPA	NSTON	DIAL	ENTW	HERON		DILL		L	\$30%	W210H
FECHA	HORA	Mr.	DIAL	1111	16:	DINC	31111	96			0	1	1010	:196
										1	1/		1	
			NO E	XPANS	SIVO			1400	dec to	1		+	2	YARRIS
	-							****		-,44	-1	_ \	J	
_		1						Joseph	Mil	1	144	T al	ii Qu	kaño

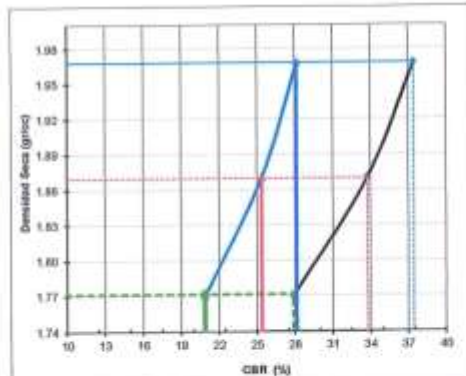
					PENC	PRACTON				1			
	CARGA		MOLDE Nº		1		MOTOE Ma		# .	1	MOLDEN		- 3
PENETRACION	STARD	CAT	IGA .	CORRE	осном	CAR	IGA	COURT	OCHOW.	CAI	IGA	CORRE	CCION
2010	lig/cnt2	Dist(div)	kg/m2	hg/co2	16	Doub (div)	kg/ms2	lig/miX	100	Dist (div)	leg/cm2	kg/cm2	. 14
0.00		0	.0			0	0			0	0		
0.63		39	152			31	121			.18	70		
1.27		41	160			33	129			20	78		
1.50		87	340			79	309			66	250		
2.54	79.7	110	661	19.0	29.2	110	430	17.9	25.4	97	379	14.7	20.
3.17		149	580			141	552			128	501		
3.01	105.5	176	697	39.5	37.4	170	665	35.6	33.8	157	614	29.4	27.
5.08	-0.1910	227	890			219	858	200	300	206	807		
7.62		317	1245			309	1214			296	1162		
10.16		385	1515			377	1402			364	1432		
12.70		478	1885			470	1953			457	1802		



GRAFICO DE PENETRACION DE CBR ASTM D 1883 MTCE-132

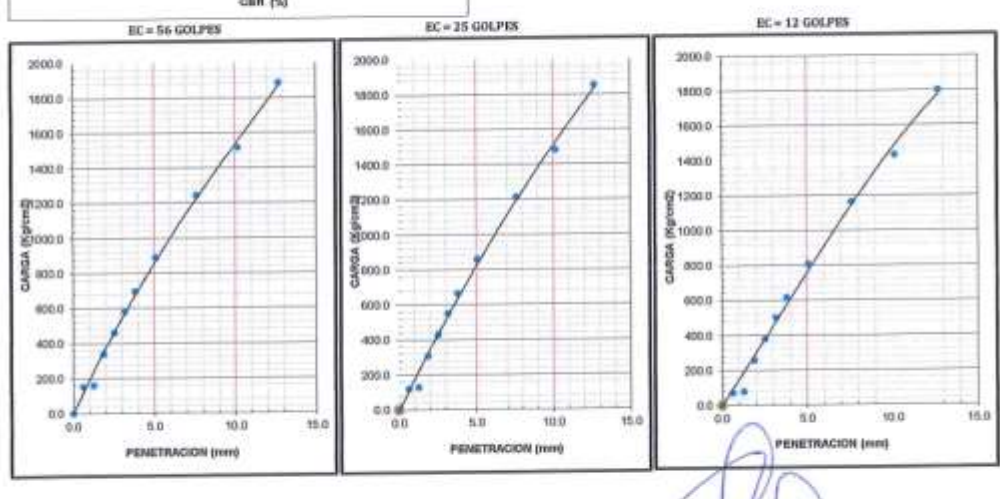
OBRA	1 "INFLUENCIA DE LA ADICIÓN DE CENIZA DE CABUY SUELO ARCILLOSO EN EL TRAMO SOCOS- YANAYACU, A	A Y FIBRAS DE PET PARA YACUCHO,2023*	MEJORAR LA SUBRASANTE DEL
SOLICITANTE	: JHONATAN AYALA GUEVARA		
UBICACIÓN	: SOCOS-YANAYACU-AYACUCHO	FECHA	; NOVIEMBRE DEL 2023

CALICATA : PROG, KM 0+500 : SUBRASANTE + 3 % CENIZA DE CABUYA Y 5% PET LUGAR MATERIAL



C.B.R. AL 100% DE M.D.S. (%)	0.1"	29.2	0.2":	37.4
C.H.R. AL 95% DE M.D.S. (%)	0.17	25.4	0.2%	33.0
C.B.B. AL 90% DEM.D.S. (%)	0.1":	20.9	6.2%	27.9

OBSERVACIONES:





	RELACION HUMEDAD DENSIDAD (F ASTM - 1557 MTC	PROCTOR MODIFICADO) E 115
OBRA	: "INFLUENCIA DE LA ADICIÓN DE CENTZA DE CABUYA Y ARCILLOSO EN EL TRAMO SOCOS-YANAYACU, AYACUCHO,	FIBRAS DE PET PARA MEJORAR LA SUBRASANTE DEL SUELO 2023°
SOLICITANTE	: JHONATAN AYALA GUEYARA	
UBICACIÓN	: SOCOS-YANAYACU-AYACUCHO	PECHA: NOVIEMBRE DEL 2023
CALICATA LUGAR MATERIAL	; C-02 ; PROG. KM 0+500 ; SUBRASANTE + 6 96 CENIZA DE CABUYA Y 596 PET	

Metodo de compactación	Aetodo de compactación								
Numero de golpes					56				
fumero de capas									
	CALCULO D	E DENSIDAD HUM	EDA						
1. Peso suelo humedo. + molde	th.	10325	11487	11525	10924				
2. Peso del molde	gr	6701	6701	6701	6701				
3. Volumen del molde	ce	2124	2124	2124	2124				
4. Peso suelo hamedo	gr	3624	4786	4824	4223				
5. Densidad suele humedo	gr/cc	1.71	2.25	2.27	1.99				
	CALCU	LO DE HUMEDAD							
6. Capeula No					.00.66				
7, Peso del suelo húmedo.» capsula	Ric.	687.0	624.0	578.0	534.0				
8. Peso del suelo seco+capsula	gr	641.0	567.0	521.0	475.0				
9. Peso del agua	gr.	46.0	57.0	57.0	59				
10. Peso de la capsula	gr	0.0	0.0	0.0	0.0				
11. Peso del suelo seco	pr-	641.0	567.0	521.0	475.0				
12. Contenido de humedad	96	7.18	10.05	10.94	12.42				
12. Contenido de Humedad	96	7.18	10.05	10.94	12.42				
	CALCULO	DE DENSIDAD SEC	A						
13. Densidad seca del suelo	gr/cc	1.592	2.047	2.047	1.769				



RESULTAD	us
Humedad optima	10.51%
Densidad Maxima	2.060

Tem Carbo Mushmin Quicario



OBRA 1 "INFLUENCIA DE LA ADICIÓN DE CENEZA DE CABUYA Y FIBRAS DE PET PARA MEJORAR LA SUBRASANTE DEL SUELO ARCILLOSO EN EL TRAMO SOCUS- YANAYACU, AYACUCHO, 2023"

SOLICITANTE 1 JHONAYAN AYALA GUEVARA
UBICACIÓN 1: SOCOS-YANAYACU-AYACUCHO FECHA 1: NOVIEMBRE, DEL 2023

CALICATA : C-0

LUGAR | PROG. KM 0+500

MATERIAL : SUBRASANTE + 6 % CENIZA DE CABUYA Y 5% PET

DATOS DEL PROCTOR

MARINA DEPOSIDAD SECA , 2,058

OPTIMO CONTERNIDO DE BUNNEDAD , 18,51 %

Molde N° N° Capa Golpes por capa N°		1		2	l.	3		
		5		5		5 12		
		50	5	23	5			
Cond. de la muestra	- 113	NO SATURADO	SATURADO	NO SATURADO	SATURADO	NO SATURADO	SATURADO	
Peso molde + suelo himedo	gr.	13018		13154		12976		
Peso de molde	gr.	B470		8668		8491		
Peso del suelo húmedo	III.	4548		4486		4485		
Volumen del molde	cm ³	2129		2124		2124		
Dessidud hümeda	gr/cm ³	2.141		2.112		2.112		
			CALCULO I	DE HUMEDAD		10		
Tarro Nº								
Tarro + Surio húmedo	ar.	200,0		425.0		455.0		
Tarro + Suelo seco	gr.	187.0		385.0		389.0		
Peso del Agus	gr.	13.0		40.0		66.0		
Peso del tarro	gr.	0.0		0.0		0.0		
Peso del suelo seco	gr.	197.0		385.0		389.0		
Humedad	96	6.95		10.39		16.97		
Densidad seca	gr/cm³	2.002		1.913		1.806		

		LL THE			EXPANS	ION	45	COLUMN TO A STATE OF THE PARTY		0			
PECHA HOR	00000000	TIEMPO	DIAL	EXPANSION		DUAL	EXPANSION			DIAL		EXPANSION	
	HDRA	Mr.		9889	76	DUAL	mm	76			1	mm	.76
			NO EXPANSIVO				6	1	-0.00				
							-	DOM/USA:	T	7	100	CLEO LINA	25

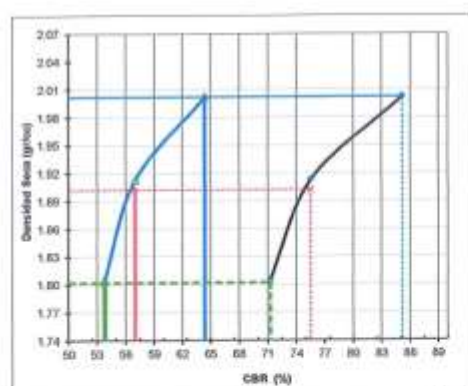
					MINIE	TRACION			1000000			100000000000000000000000000000000000000	
PEMETRACION	CARGA	MOLDEN* 1			MOLDE Nº Z				MOLDEN	3			
	STAND. log/cos2	CARGA		CONTROCTOR		CARGA		CORRECCION		CARGA		COMMUNICION	
		Disk (div).	hg/cerZ	hg/cm2	.76	Dud (div)	hg/on2	kg/cm2	%	Dist (div)	hg/mil	lig/cm2	16
0.00	1000	0	0			0	0			0	0		
9.63		13	255			9	35			7	25	2	
1.27		27	392			66	259			44	173		
1.90		171	668			113	443			138	538		
3.54	79.3	252	990	45.3	644	228	895	40.1	57/0	319	859	37.8	53
3.17	-	310	1219			305	1199		Contract of	277	1089		
3.81	105.5	352	1386	89.9	85.2	347	1366	79.7	75.5	319	1255	75.2	73
5.00		407	1602			402	15H2			374	1470		
7.62		440	1815			455	1795			427	1684		
10.16		514	2021			509	2009			481	1996		
12.70		570	2251			565	2231			537	2119		4



OBRA	: "INFLUENCIA DE LA ADICIÓN DE CENIZA DE CABUYA Y FIBRA SUELO ARCILLOSO EN EL TRAMO SOCOS- YANAYACU, AYACUCHO, 2		MEJORAR LA SUBRASANTE DEL
SOLICITANTE	: JHONATAN AYALA GUEVARA		
UBICACIÓN	: SOCOS-YANAYACU-AYACUCHO	FECHA	: NOVIEMBRE DEL 2023

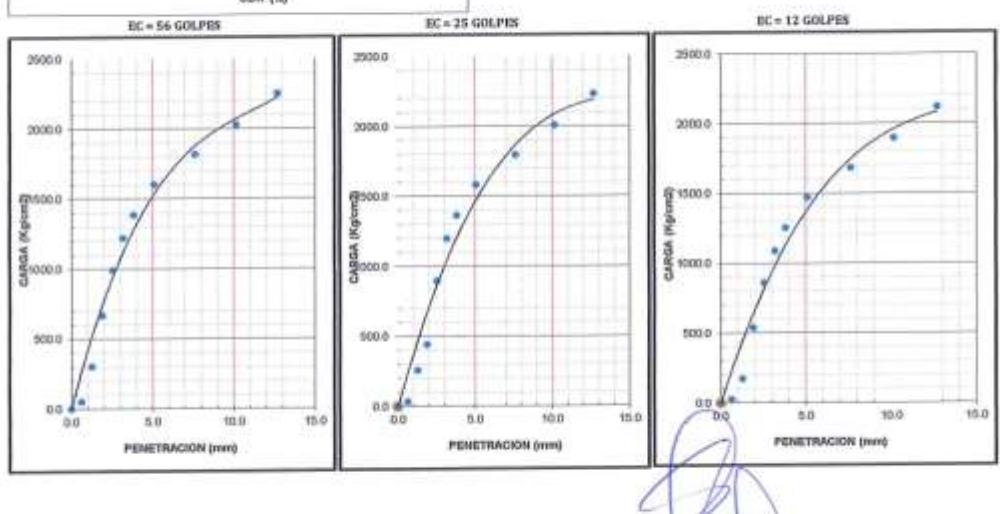
CALICATA LUGAR MATERIAL : C-02 : PROG. KM 0+500

: SUBRASANTE + 6 % CENIZA DE CABUYA Y 5% PET



CILR AL 100% DEM.B.S. (%)	0.1%	64.4	0,2":	85.2
CB.R. AL 95% DE M.D.S. (%)	0.1%	57.0	0.2":	75.5
CH.R. AL 90% DEM.D.S. (%)	0.1%	53.0	6.27	71.3

OBSERVACIONES

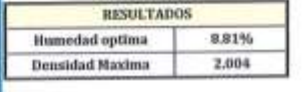




	RELACION HUMEDAD DENSIDAD (PR ASTM - 1557 MTCE	
OBRA	: "INPLUENCIA DE LA ADICIÓN DE CENIZA DE CABUYA Y FIR ARCILLOSO EN EL TRAMO SOCOS- YANAYACU, AYACUCHO, 202	
SOLICITANTE	: JHONATAN AYALA GUEVARA	
UBICACIÓN	: SOCOS-YANAYACU-AYACUCHO	PECHA: NOVIEMBRE DEL 2023
CALICATA LUGAR MATERIAL	: C-03 : PROG. KM 1+000 : SUBRASANTE + 3 % CENIZA DE CABUYA Y 5% PET	

Metodo de compactación				- 1	C.
Numero de golpes					56
Numero de capas				17	5
	CALCULO D	E DENSIDAD HUM	EDA		
1. Peso suelo humedo. + molde	801	10425	11022	11145	10587
2. Peso del molde	gr	6701	6701	6701	6701
3. Volumen del molde	cc	2124	2124	2124	2124
4. Peso sucto humedo	gr	3724	4321	4444	3886
S. Densidad suelo humedo	gr/ce	1.75	2.03	2.09	1.03
	CALCU	LO DE HUMEDAD		8	
6, Capeula Nº					
7. Pero del suelo húmodo.+ capsula.	gx	745.0	648.0	574.0	478.0
R. Peso del suelo seco+capsula	gr	701.0	603.0	522.0	431.0
9: Paso del agua	gr	44.0	45.0	52.0	47
10. Peso de la capsula	gr	0.0	0.0	0.0	0.0
11. Peso del sudo seco	gr.	701.0	603.0	522,0	431.0
12. Contenido de humedad	196	6.28	7.46	9,96	10,90
12. Contenido de Humedad	96	6.28	7.46	9.96	10.90
	CALCULO	DE DENSIDAD SE	CA		
13. Densidad seca del suelo	gr/cc	1.650	1,893	1.903	1.650





José Carlos Hindman Quicano-



: "INFLUENCIA DE LA ADICIÓN DE CINIZA DE CABUYA Y FIBRAS DE PET PARA MEJORAR LA SUBRASANTE DEL SUELO ARCILLOSO EN EL TRAMO SOCOS-YANAYACU, AYACUCHO,2023" OBRA

SOLICITANTE : JHONATAN AYALA GUEVARA

: SOCOS-YANAYACU-AYACUCHO UBICACIÓN

FECHA: NOVIEMBRE DEL 2023

CALICATA

PROG. KM 1+000 LUGAR

MATERIAL : SUBRASANTE + 3 % CENIZA DE CABUYA Y 5% PET

DATUS DEL PROCTOR

MACOMA DERIENDO SOCA

OPTIMO CONTENBRO DE HUMIDAD

Molde Nº		1		2		3	
Nº Capa		5		5		5	
Golpes poe capa Nº		.50	1	2	5	15	ž
Cond. de la muestra		NO SATURADO	SATURADO	NO SATURADO	SATURADO	NO SATURADO	SATURADO
Peso molde + sselo húmedo	gr.	13767		13708		13440	
Peso de mulde	p.	8470		D668		8491	
Peso del suelo húmedo	gr.	5297		5040		4949	
Volumen dei molde	cm ₃	2124	3	2124		2124	
Densidad hümeda	gr/cm ^T	2,494		2,373		2.330	
			CALCULO I	DEHUMEDAD			
Tacro Nº							
Tarro + Suelo húmedo	gr.	400.0		448,0		466.0	
Tarro + Suelo seco	gr.	431.0		401.0		403.0	
Peso del Agua	gr.	49.0		47.0		63.0	
Peso del tarro	gr.	0.0		0.0		0,0	
Peso del suelo seco	gr.	43L0		401.0		403.0	
Humedad	96	11.37		11.72		15.63	
Densidad seca	gr/cm ²	2.239		2.124		2.015	

2002	******	THEMPO	6664	EXPA	RSION	non	EXPA	MSIGN	fore	EXP	AVSTON
FECHA	HORA	Hr.	DIAL	inn	16	DIAL	mon	.96		f nn	9
			NO E	XPANS	SIVO				4		
		1				_	-	840 111	1 / Just	in the same	18000

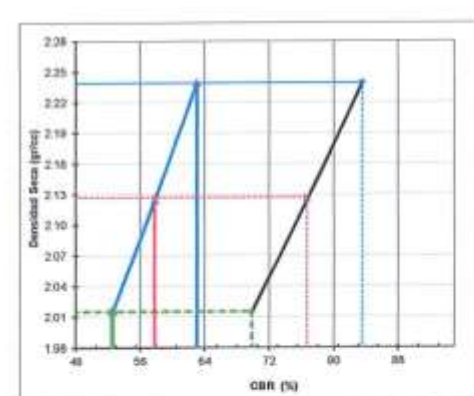
				PENE	TRACKON				1	1	(XIII)	-	
	CARGA	CARGA MOUDENS			- 1	MOLDE Nº 2			, k	MOLDE Nº		1	
PENETHACION	STAND.	CAL	GA	CORRE	CCSON	CAL	0GA	CONR	CCTON	CAI	IGA.	CORRE	CCHON
200	hg/cutz	Dua (div)	hg/cedl	kg/cm2	. 16	Dist (div)	hg/cm2	kg/cm2	-96	Dist (div)	kg/en/L	hg/cm2	74
0,00		0	.0			0	0			0	0		
0.63		98	383			83	324			68	265		
1.27		135	520			120	469	1		105	410		
1.90		191	740			176	689	- Charles		161	630		
2.54	70.3	257	1000	44.3	69.0	242	949	40.6	\$7.8	227	890	37,0	52.6
3.17		304	3194			209	1135			274	1075		
3.81	105.5	343	331466	80.1	83.6	328	1209	80.9	76.7	313	1229	73.6	69.0
5,00	-	416	1639	284017	0.0	401	1579			386	1519		
7,62		529	2009			514	2029			499	1969		
10.16		670	2656			655	2595			640	2535		
12.70		705	2795			690	2735			675	2674		



OBRA	: "INFLUENCIA DE LA ADICIÓN DE CENIZA DE CABUYA Y SUELO ARCILLOSO EN EL TRAMO SOCOS- YANAYACU, AYAC		A MEJORAR LA SUBRASANTE DEL
SOLICITANTE	: JHONATAN AYALA GUEVARA		
UBICACIÓN	: SOCOS-YANAYACU-AYACUCHO	FECHA	: NOVIEMBRE DEL 2023

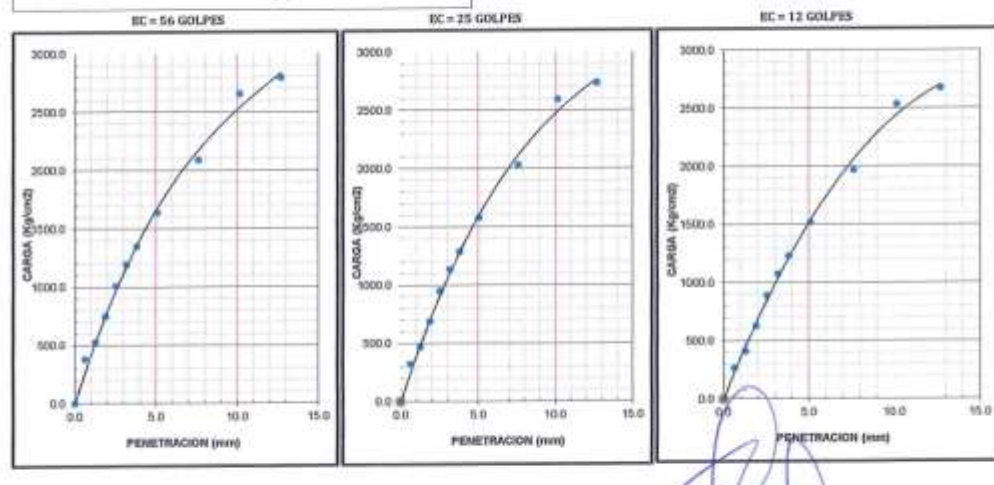
CALICATA : C-03 : PROG. KM 1+000

LUGAR MATERIAL : SUBRASANTE + 3 % CENIZA DE CABUYA Y 5% PET



C.B.R. AL 100% DE M.D.S. (%)	0.1%	63.0	0.2%	83.6
C.R.R. AL 95% DE M.D.S. (%)	0,1")	57.8	0.2%	76.7
C.R.R. AL 90% DE M.D.S. (%)	0,1"1	52.6	0.2":	69.8

OBSERVACIONES:





	RELACION HUMEDAD DENSIDAD (PF ASTM - 1557 MTCE	
OBRA	: "INFLUENCIA DE LA ADICIÓN DE CENTZA DE CABUYA Y PI ARCILLOSO EN EL TRAMO SOCOS-YANAYACU, AYACUCHO, 20	
SOLICITANTE	: JHONATAN AYALA GUEYARA	
UBICACIÓN	: SOCOS-YANAYACU-AYACUCHO	PECHA: NOVEEMBRE DEL 2023
CALICATA LUGAR MATERIAL	: C-03 : PROG. KM 1+000 : SUBRASANTE + 6 % CENIZA DE CABUYA Y 5% PET	

Metodo de compactacion					C
Numero de golpes					56
Numero de capas					5
	CALCULO D	E DENSIDAD HUM	EDA	A	
1. Peso suelo humedo. + molde	gr	10836	11444	11557	10997
2, Peso del molde	gr	6701	6701	6701	6701
3. Volumen del molde	ce	2124	2124	2124	2124
4. Peso suelo humedo	gr	4135	4743	4856	4296
5. Densidad suelo humedo	gr/cc	1.95	2.23	2.29	2.02
	CALCU	LO DE HUMEDAD			
6. Capsula Nº			7.00		100000
7. Peso del suelo húmedo.+ capsula	gr	635.0	621.0	598.0	423.0
B. Peso del soelo seco+capsula	gr	612.0	587.0	555.0	385.0
9, Passo del agua	gr	23.0	34.0	43.0	36
10. Peso de la capvula	gr	0.0	0.0	0.0	0.0
11. Peso del suelo seco	gr	612.0	587.0	555.0	385.0
12. Contenido de humedad	96	3.76	5.79	7,75	9.87
12. Contenido de Humedad	46	3.76	5.79	7.75	9.87
	CALCULO	DE DENSIDAD SEC	A		
13. Densidad seca del suelo	gr/cc	1.876	2,111	2.122	1.841



RESULTADO5					
Humedad optima	6.91%				
Densidad Maxima	2.146				

Jose Grand In Quicano



OBRA : "INFLUENCIA DE LA ADICIÓN DE CENIZA DE CABUYA Y FIBRAS DE PET PARA MEJORAR LA SUBRASANTE DEL SUELO ARCILLOSO EN EL TRAMO SOCOS- YANAYACU, AYACUCHO, 2023"

SOLICITANTE : INONAYAN AYALA GUEVARA

UBICACIÓN : SOCOS-YANAYACU-AYACUCHO FECHA : NOVIEMBRE DEL 2023

CALICATA : C-03

LUGAR : PROG. KM 1+000

MATERIAL : SUBRASANTE + 6 % CENIZA DE CABUYA Y 5% PET

Molde N*		1		2	87	3	
N* Capa						5	115
Golpes por capa Nº		.54	6	2:	5	13	2
Cond. de la muestra		NO SATURADO	NO SATURADO SATURADO NO SATURADO SATURADO		SATURADO	NO SATURADO	SATURADO
Peso molde + suelo húmedo	gr.	13956		14008		13899	
Peso de molde	gr.	8470		8668		8491	
Peso del suelo húmedo	gr.	5486		5340		5408	
Volumen del molde	cu*	2124		2124		2124	
Dennidad hümeda	gr/cm ³	2.583		2.514		2.546	
	-115200 1		CALCULO I	DE HUMEDAD			
Tarro Nº		2100732					
Tarro + Suelo húmedo	gr.	521.0		625.0		698.0	
Tarro + Saelo seco	gr.	501.0		587.0		612.0	
Peso del Agus	gr.	20.0		38.0		86.0	
Peso del tarro	gr.	0.0		0.0		0.0	
Peso del suelo seco	gr.	501.0		\$87.0		612.0	
Humedad	96	3.99		6.47		14.05	
Densidad seca	gr/cm ⁵	2,404		2.361		2.232	

				10	EXPAR	108		- 11.	2/20		
27777	14123	DAMMAL	1000	EXPANSION		EXPANSION EXPANSION		DIAL	EXPA	NSHON	
FECHA	HORA	Hr.	DIM	1000	-96	DOAL	1000	.16	and a	9100	.76
						V 400			111		
			NO E	XPAN	SIVO				11	1	(Wh
_		1		1				100000	1 700		
								Trees	1	Onles	CO.

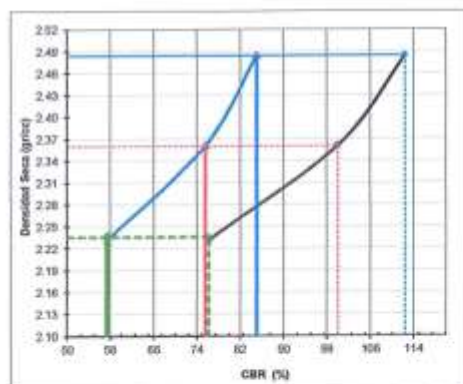
					PENET	HACION			Rodomia	armal of	1	CONCRETE	144
	CARGA		MOLDE Nº	T MOLDEN ^a					. 2		MOTOR #*		3
PENETRACION	STAND.	CAR	NGA .	CORRE	CCION	CAR	ISA .	CORRE	OCHON	CAI	iGA	CONTROCTOR	
(Table)	Ng/cm2	Dist (day)	hg/med	kg/cm2	76	Dial (dov)	hg/cm2	hg/cm2	76	Dist (div)	kg/cm2	lig/cm2	- 19
0.00		0	. 0			0	0			. 0	0		
0.63		161	638			134	524			82	320		
1.27		198	775			171	669			119	465		
1.90		254	996			227	099			175	685		
2.54	70.3	320	1257	59.0	95,0	293	1150	53.2	75.6	241	945	40.4	57
3.17		367	1443			340	1336			188	1131		
3.81	105.5	406	1598	110.6	112.4	379	1491	105.5	100.0	327	1205	80.4	76
5.0W		479	1889			457	1782			400	1575		
7.62		592	2342			565	2233			513	2025		
10.16		733	2910			706	2801			654	2591		
12.70		768	3050			741	2941	1/2		689	2730		



OBRA	: "INFLUENCIA DE LA ADICIÓN DE CENIZA DE CABU SUELO ARCILLOSO EN EL TRAMO SOCOS-YANAYACU,		MEJORAR LA SUBRASANTE DEL
SOLICITANTE	: JHONATAN AYALA GUEVARA		
UBICACIÓN	: SOCOS-YANAYACU-AYACUCHO	FECHA	1 NOVIEMBRE DEL 2023

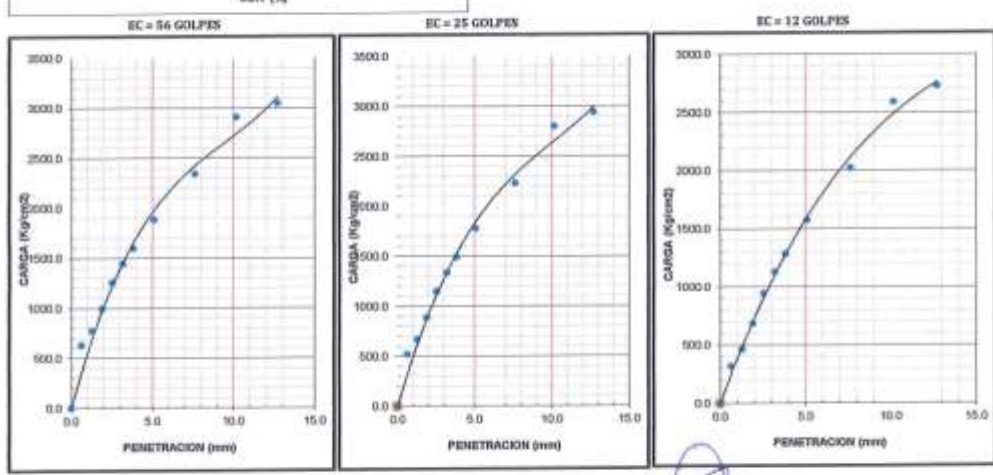
CALICATA : C-03 : PROG. KM 1+000 LUGAR MATERIAL

: SUBRASANTE + 6 % CENIZA DE CABUYA Y 5% PET



CBR AL 100% DEM.B.S. (%)	0.1%	85.0	0,2")	113.4
C.B.H. AL 95% DE M.D.S. (%)	0.1":	75.6	0.27	100.0
C.H.R. AL 90% DE M.D.S. [%]	0.1%	57.5	0.27	76.2

OBSERVACIONES:





	RELACION HUMEDAD DENSIDAD (ASTM - 1557 MT	(PROCTOR MODII CE 115	FICADO)
OBRA	: "INFLUENCIA DE LA ADICIÓN DE CENIZA DE CABUYA I ARCILLOSO EN EL TRAMO SOCOS-YANAYACU, AYACUCHO		HEJORAR LA SUBRASANTE DEL SUELO
SOLICITANTE	: JHONATAN AYALA GUEVARA		
UBICACIÓN	: SOCOS-YANAYACU-AYACUCHO		FECHA: NOVIEMBRE DEL 2023
CALICATA LUGAR MATERIAL	: C-04 : PROG. KM 1+500 : SUBRASANTE + 3 % CENIZA DE CABUYA Y 5% PET		

Metodo de compactación					C				
iumero de golpes									
Numero de capas					5				
	CALCULO D	E DENSIDAD HUM	EDA						
1. Peso suelo humedo. + molde .	epr	10774	11394	11565	10774				
2. Peso del moide	ø	6701	6701	6701	6701				
3. Volumen del molde	ec.	2124	2124	2124	2124				
4. Peso suelo humedo	Br .	4073	4693	4864	4073				
5. Densidad suelo humedo	gr/cc	1.92	2.21	2.29	1.92				
	CALCU	LO DE HUMEDAD							
6. Capreals Nº									
7. Peso del suelo bámedo.+ capsula	gr	587.0	510.0	507,0	512.0				
B. Peso del suelo seco+capsula	BF .	531.0	455.0	443,0	435.0				
9. Peso del agua	gr	56.0	55,0	64.0	77				
10. Peso de la capsula	gr	0.0	0.0	0.0	0.0				
11. Peso del suelo seco	gr	531.0	455.0	443.0	435.0				
12. Contenido de humedad	96	10.55	12.09	14.45	17.70				
12. Contenido de Humedad	36	10.55	12.09	14.45	17.70				
	CALCULO	DE DENSIDAD SEC	A						
13. Densidad seca del suelo	gr/cc	1.735	1.971	2.001	1.629				



HESULTADOS						
Humedad optima	13.45%					
Densidad Maxima	2.030					

Jose Carlos African Culcumore Control of Con



OBRA : "INFLUENCIA DE LA ADICIÓN DE CENIZA DE CABUYA Y FIBRAS DE PET FARA MEJORAR LA SUBRASANTE DEL SUELO ARCILLOSO EN EL TRAMO SOCOS-YANAYACU, AYACUCHO, 2623"

SOLICITANTE : INONATAN AYALA GUEYARA
UBICACION : SOCOS-YANAYACU-AYACUCHO FECHA : NOVIEMBRE DEL 2023

CALICATA : C-04

LUGAR PROG. KM 1×500

MATERIAL : SUBRASANTE + 3 % CENEZA DE CABUYA V 5% PET

Molde No		- 1		2		3	
Nº Capa		5		5		5	
Golpes por capa N ^a		54	6	2	5	1	r
Cond. de la muestra		NO SATURADO	SATURADO	NO SATURADO	SATURADO	NO SATURADO	SATURADO
Peso molde + aueto húmedo	gr.	12881	110000000000000000000000000000000000000	12865		12498	
Peso de molde	gr.	8470		8668		8491	
Peso del suelo húmedo	gr	4411		4197		4007	
Volumen del molde	cm ²	2124		2124		2124	
Densidad hómeda	gr/cm ³	2.077		1.976		1.887	
A CONTRACTOR OF THE PARTY OF TH			CALCULO	DE HUMEDAD		25	
Tarro Nº							
Tarro + Suelo húmedo	gr.	400.0		370.0		397.0	
Tarro + Spelo seco	gr.	350.0		323.0		344.0	V
Peso del Agua	gr.	50.0		47.0		53.0	
Peso del tarro	gr	0.0		0.0		0.0	
Peso del suelo seco	gr.	350.0		323.0		344,0	
Humedad	%	14.29		14.55		15.41	
Densidad seca	gr/cm ³	1.817		1.725		1,635	-

		12.			EXPANS	OW				1		_	at the same			
		THOUPO	3126	EXPANSION		EXPANSION:		DIAL	EXPAI		p	he		S	KXPA	NSION
FECHA	HORA	Hr.	DIAL.	(nex	16	Dist.	3101	16			1	1	men	95		
					- 1			-			1		1			
			NO F	VDANI	2010				11/	11	SA	1,71	c\	- in		
			NOE	XPANS	SIVU			110-11-1	1	ď	1					
_		1						Television of		Ē.		17	Onice	ide		
		_		_				3	- (side	No.	I	4.4				

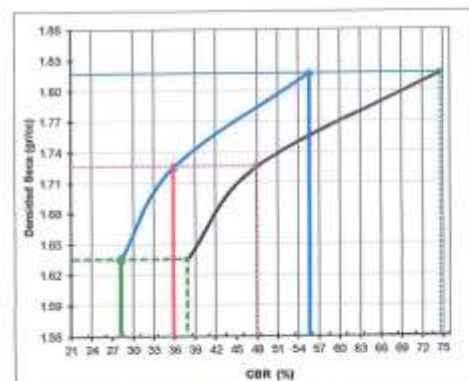
					PENE	FRACION					0.4		
	CARGA		MOLDEN		T	MOLDE Nº			MOLDEN:		3		
PENETRACION.	STAND.	CAL	CARGA		CORRECCOUR		CARGA		CONTROCCION		iga:	CONTRECCION	
onems .	hg/cett	Dist(div)	hg/on2	hg/cm2	16	Dist (div)	kg/cm2	hg/cm2	96	Dud (day)	lqg/cm2	hg/cm2	- 91
90.0		0	. 0.			0	.0			0	0		
0.63		30	117			20	78			11	43		
1.27		88	345			57	222			44	171		
1.90		132	516			113	441			07	340		
2.54	79.3	220	662	39.1	85.0	179	701	29.2	35.9	153	599	19.8	26
3.17		408	1606			226	806			200	763		
3.03	105.5	486	1917	78.7	74.6	265	3040	50.5	47.9	239	937	39.9	17
5.08		629	2491	-0.00	-	338	1328			312	1226		
7.62		825	2204			451	1778			425	1674		
10.16		987	3947			592	2342			566	2237		
12.70		1099	4409			627	2481			601	2376		



OBRA	: "INFLUENCIA DE LA ADICIÓN DE CENIZA DE CABRIY SUELO ARCILLOSO EN EL TRAMO SOCOS- YANAYACU, A'	A Y FIBRAS DE PET PAR YACUCHO,2023"	A MEJORAR LA SUBRASANTE DEL
SOLICITANTE	: JHONATAN AYALA GUEVARA		
UBICACIÓN	: SOCOS-YANAYACU-AYACUCHO	FECHA	: NOVIEMBRE DEL 2023

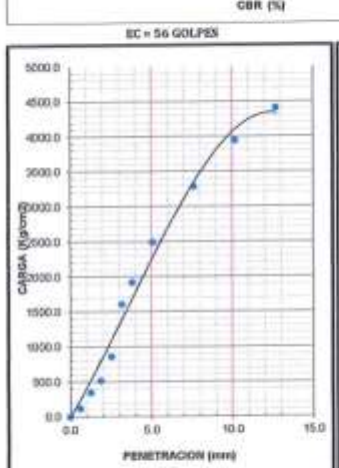
CALICATA : C-04

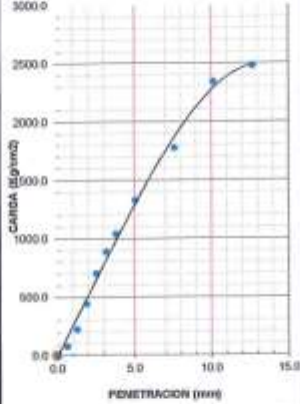
: PROG. KM 1+500 : SUBRASANTE + 3 % CENIZA DE CABUVA Y 5% PET LUGAR MATERIAL



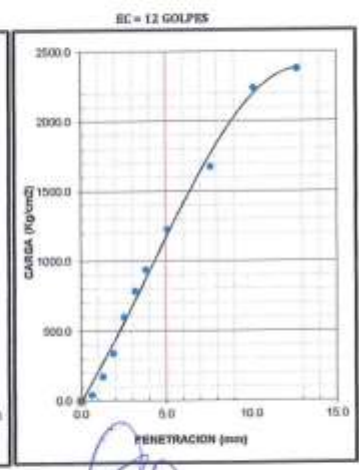
C.B.R. AL 100% DE M.D.S. (%)	0.1":	55.6	0.2%	74.6
C.B.R. AL 95% DE M.D.S. (%)	0.1%	35.9	0.2")	47.9
CBR AL 90% DEM.D.S. (%)	0.1%	28.2	0.2":	37.9

OBSERVACIONES:





BC = 25 GOLPES





	RELACION HUMEDAD DENSIDAD (PF ASTM - 1557 MTC E	
OBRA	: "INFLUENCIA DE LA ADICIÓN DE CENIZA DE CABUYA Y FI ARCILLOSO EN EL TRAMO SOCOS-YANAYACU, AYACUCHO, 20	
SOLICITANTE	: JHONATAN AYALA GUEVARA	
UBICACIÓN	: SOCOS-YANAYACU-AYACUCHO	FECHA : NOVIEMBRE DEL 2023
CALICATA LUGAR MATERIAL	± C-O4 ± PROG, KM 1+500 ± SUBRASANTE + 6 % CENIZA DE CABUYA Y 5% PET	

Metodo de compactación					C
Numero de golpes					56
Numero de capas					5
	CALCULO D	E DENSIDAD HUM	EDA		
1. Peso suelo humedo. + molde	101	10987	11582	11791	10947
2. Peso del molde	87	6701	6701	6701	6701
3. Volumen del molde	cc	2124	2124	2124	2124
4. Peso suelo humodo	gr	4286	4881	5090	4246
5. Densidad suelo humedo	gr/cc	2.02	2.30	2.40	2.00
	CALCU	LO DE HUMEDAD			
6. Capsula N ^o					
7. Peso del suelo húmedo,+ capsula	gr	686.0	620.0	600.0	611.0
B. Peso del surlo seco+capsula	gr	632.0	561.0	532.0	522.0
9. Peso del agua	w	54.0	59.0	76.0	89
10. Peso de la capsula	No.	0.0	0.0	0.0	0.0
11. Peso del suelo seco	gr	632.0	561.0	532.0	522.0
12. Contenido de humedad	%	B.54	10.52	14.29	17.05
12. Contenido de Humedad	96	8.54	10.52	14.29	17.05
	CALCULO	DE DENSIDAD SE	CA	111	
13. Densidad seca del suelo	gr/cc	1.859	2.079	2.097	1.708



Humedad optima	12.56%
Jensidad Maxima	2,161

Fore Land Hunthall Quicano



OSBA 1 "INFLUENCIA DE LA ADICIÓN DE CENIZA DE CABRIYA Y FIBRAS DE PET PARA MEJORAR LA SUBRASANTE DEL SUELO ARCILLOSO EN EL TRAMO SOCOS-YANAYACU, AYACUCHO, 2023"

SOLICITANTE : JHONATAN AYALA GUEVARA
UBICACIÓN : SOCOS-YANAYACU-AYACUCHO FECHA : NOVIEMBIRE DEL 2023

CALICATA : C-04

LUGAR : PROG. KM 1+500 MATERIAL : SUBRASANTE + 0

MATERIAL : SUBRASANTE + 6 % CENEZA DE CABUYA Y 5% PET

DATES DEL PROCEDIR

MANUNA DESCRIPAD SECA | 2.561

CPTIMO CONTENDO DE HUMEDAD | 1.2.56 %

Molde Nº		- 1		2		3	
Nº Capa		5 5			5		
		56		25		13	ž.
Golpes por capa N ⁶	_	The second secon		NO SATURADO SATURADO		NO SATURADO SATURAD	
Cond. de la muestra		NO SATURADO	34100000	200 0000	1011-0111-0-0	13602	
Pesa molde + suelo hámedo	gr.	13978		13956			
Peso de molde	gr.	8470		8660		8491	
Pevo del suelo himedo	gr.	5508		\$200		5111	
Volumen del molde	cm ³	2124		2124		2124	
Densidad hûmeda	gr/cm2	2.593		2.490		2.406	
	-		CALCULO	DE HUMEDAD			
Tarro Nº						1000	
Tarro + Suelo húmedo	gr.	500.0		469.0		487.0	
Tarro + Suelo seco	gr.	452.0		420,0		426.0	
Peso del Agua	gr.	48.0		49,0		61.0	
Peso del tarro	gr.	0.0		0.0		0.0	
Peso del suelo seco	gr.	452.0		420.0		426.0	
Hunedad	96	10.62		11.67		14.32	
Densidad seca	gr/cm²	2.344		2.230		2.105	

					EXPANS	IGN.				_	-	
7	U manus	TIENPO		EXPA	NSIDN	mat	EXPANSION		DIAL		EXPANSION	_
PECHA	Anon	Hr	BOLL	1000	166	BIAL	2000	76	-0	-	mm	9
		\pm	NO E	XPANS	SIVO			- 87051870	1	100	The grown	euh
							-	1020	W	15	ii Qulci	ino-

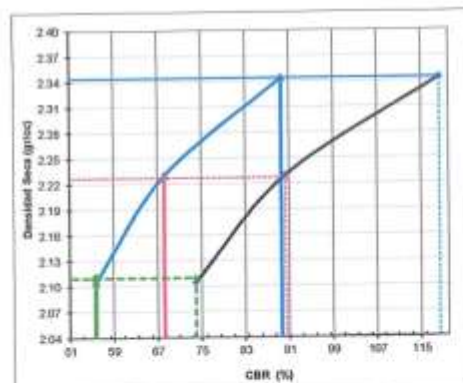
					PENET	TRACION					10		
	CANGA		MOLDE NO		1.		MOLDIC Nº		2	1	MOLDENS		- 3
PENETRACION	STAND.	CAR	IGA	CORRE	CCHON	CAF	IGA.	CONRE	CCION	CAI	IGA	CORRE	CCION
- Table 1	hg/cm2	Disk (div)	hg/cm2	hg/cm2	16	Dist (dh)	lqt/cm2	hg/em3	- %	Dial (div)	lig/cm2	kg/end	- %
0.00		0	0			0	0			0	0		
0.63	_	174	180			113	441	-		.77	300		
1.27	_	211	826			150	587			114	445		
1.90		267	1047			206	887			170	665		
2.64	70.3	333	1309	:43.0	.09.6	272	1067	48.0	68.9	236	925	39.2	55.7
3.17		300	1495			319	1253			283	1111		
3.81	105.5	419	1650	124.9	1184	358	1400	95.4	90.4	322	1265	78.0	73.5
5.08	1000	492	1943			431	1090		00000	395	1555		
7.62	_	405	2394			544	2149			568	2005		
10.16	_	746	2963			685	2716			649	2571		
12.70	-	781	3103			728	2056			684	2710		



OBRA	: "INFLUENCIA DE LA ADICIÓN DE CENIZA DE CAB SUELO ARCILLOSO EN EL TRAMO SOCOS- YANAYACU	UYA Y FIBRAS DE PET PAR. , AYACUCHO,2023"	A MEJORAR LA SUBRASANTE DEL
SOLICITANTE	: JHONATAN AYALA GUEVARA		
UBICACIÓN	: SOCOS-YANAYACU-AYACUCHO	FECHA	: NOVIEMBRE DEL 2023

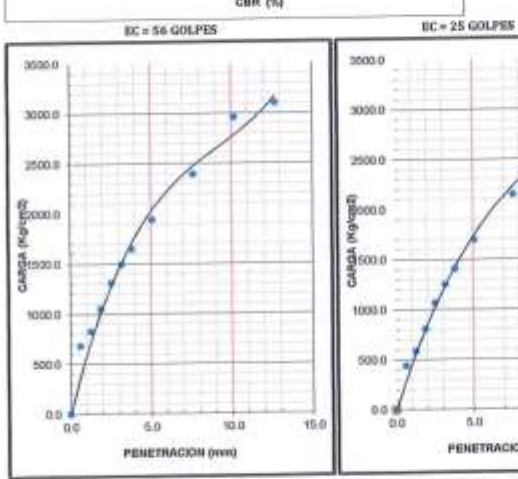
CALICATA LUGAR : C-04

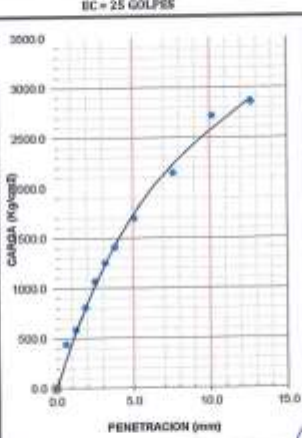
: PROG. KM 1+500 : SUBRASANTE + 6 % CENIZA DE CABUYA Y 5% PET MATERIAL

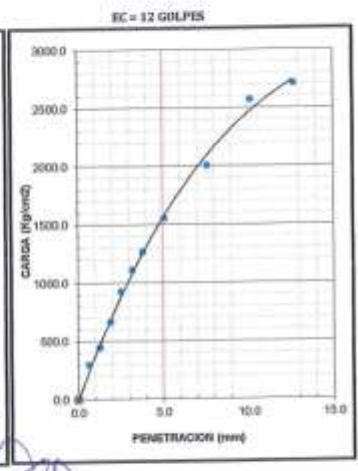


C.H.H. AL 100% DE M.D.S. (%)	0.17	89.6	0.2":	1184
C.B.B. AL 95% DE M.D.S. (%)	0.1%	69.3	0.2":	90.4
C.B.R. AL 90% DE M.D.S. [%]	0.17	55.7	0.27	73.9

OBSERVACIONES:







Community of Quicano



	RELACION HUMEDAD DENSIDAD (P. ASTM - 1557 MTC I	S-2-2-2-2-2-2-2-2-2-2-2-2-2-2-2-2-2-2-2
OBRA	: "INFLUENCIA DE LA ADICIÓN DE CENIZA DE CABUYA Y FI ARCILLOSO EN EL TRANO SOCOS- YANAYACU, AYACUCHO, 2:	IIIRAS DE PET PARA MEJORAR LA SUBRASANTE DEL SUELO 023"
SOLICITANTE	: JHONATAN AYALA GUEVARA	103
UBICACIÓN	: SOCOS-YANAYACU-AYACUCHO	FECHA : NOVIEMBRE DEL 2023
CALICATA LUGAR MATERIAL	: C-05 : PROG. KM 2+000 : SUBRASANTE + 3 % CENIZA DE CABUYA Y 5% PET	

Metodo de compactacion					c	
Numero de golpes					56 5	
Numero de capas						
	CALCULO D	E DENSIDAD HUM	EDA.			
1. Peso suelo humedo. + molde	gr	10861	11397	11391	10908	
2. Peso del molde	gr	6579	6579	6579	6579	
3. Volumen del molde	00	2124	2124	2124	2124	
4. Peso suelo hamedo	gr	4202	4808	4012	4229	
5. Densidad suelo bumedo	gr/cc	2.02	2.26	2.27	1.99	
	CALCU	LO DE HUMEDAD				
6. Capsula Nº			1000000			
7. Peso del suelo húmedo.+ capsula	gr .	689.0	789.6	0.008	047.0	
8. Peso del suelo seco+capaula	gr	631.0	715.0	720.0	750,0	
9. Peso del agua	gr	58,0	74.0	0.00	97	
10. Peso de la capsula	gr	0.0	0.0	0.0	0.0	
11. Pesu del suelo seco	lp*	631.0	715.0	720.0	750.0	
12. Contenido de humedad	56	9.19	10.35	11.11	12.93	
12. Contenido de Humedad	56	9.19	10.35	11.11	12,93	
	CALCULO	DE DENSIDAD SEC	A			
13. Densidad seca del suelo	gr/cc	1.846	2.051	2.039	1,763	





RESULTADOS

Humedad optima Densidad Maxima



DBRA : "INFLUENCIA DE LA ADICIÓN DE CENEZA DE CABUYA Y FIBRAS DE PET PARA MEJORAR LA SUBRASANTE DEL SUELO ARCILLOSO EN EL TRANO SOCOS-YANAYACU, AYACUCHO, 2023*

SOLICITANTE : JHONATAN AYALA GUEVARA

UHICACIÓN : SOCOS-YANAYACU-AYACUCHO | PECHA : NOVIEMBRE DEL 2023

CALICATA : C-05

LAIGAR : PROG. KM 2+000

MATERIAL : SUBRASANTE + 3 % CENIZA DE CABUYA Y 5% PET

Molde Nº		1		2		3	
Nº Capa	_	5		5		5	0
Control of the Contro	_	50		21	5	13	1
Golpes por capa Nº			SATURADO	NO SATURADO	SATURADO	NO SATURADO	SATURADO
Cond. de la muestra		NO SATURADO	SATUKADO	111	Jack F. Constitution St.	13616	
Peso molde + suelo húmedo	gr.	13345		13375		The State of	
Peso de molde	gr.	8496		B547		8856	
Peso del suelo húmedo	gy.	4849		4828		4760	
Volumen del molde	cm ³	2124		2124		2124	
Densidad hümedu	gr/cm²	2,293		2.273		2.241	
	900		CALCULO I	DE HUMEDAD			
Tarro Nº		120 m					
Tarro + Suelo hûmedu	gr.	685.0		453.0		578.0	
Tarvo + Suelo seco	gr.	616.0		388.0		477.0	
Peso del Agua	gr.	69.0		65.0		101.0	
Peso del tarro	231.	0.0		0.0		0.0	
Peso del suelo seco	gr.	616.0		388,0		477.0	
Humedad	96	11.20		16.75		21.17	
Demidad seca	gr/cm ³	2.053		1.947		1.849	

					EXPANS	KON			_		-	-
FSCHA	RORA	THEMPO	5200	EXPANSION		DIAL.	EXPANSION			DIAL	EXPANSION	
		Hr.	DLAL	1900	- %	23/0	ли	160	1	1	i den	. 9
						_	-		JIKE	MSCA B	4c	
		-	NO E	XPANS	SIVO			NACH TORROD	T	WATER	COMPRETO TAMES	
-		-						José Ca	rios	uamai	ti Quicaño	-
								1	PAGE	IN THORSE		-

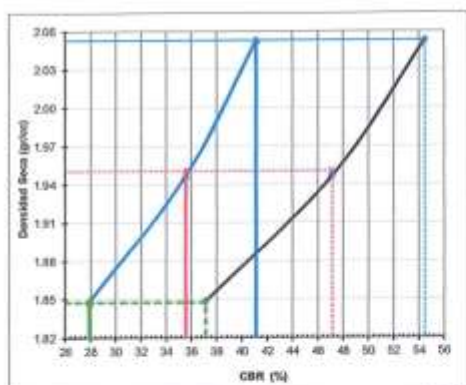
					PENET	RACION							-
	CARGA	MOLDER* I MOLDEN* I								-	MOLDS Nº		
PENETRACION	STAND.	CARGA		CORRECCION		CARGA		CORRE	CCHON	CARGA		CORRE	CCION
NAME AND POST OF	hg/cm2	Dud (div)	lig/ms2	kg/vn2	96	Dud (div)	kg/cm2	hg/cm2	.7%	mud pite)	kg/end	kg/cm2	- %
0.00		0	0			0	0			- 0	0		
0.63		75	293			59	230			37	144		
1.27		00	314			64	252			42	166		
1.90	_	124	403			108	421			B6	334		
2.54	70.3	158	619	20.9	41.1	142	556	25.0	35.6	120	470	19.6	27
3.17	7760	191	749			175	685			153	598		
3.01	105.5	219	859	57.4	54.5	203	796	49.7	47.2	181	710	39.2	37
5.08	1000	263	1033		-01410	247	970			225	884		
7.62		360	1415			344	1351			321	1264		
10.16		430	1693			414	1629			392	1542		
12.70	-	513	2027			497	1963			475	1875		



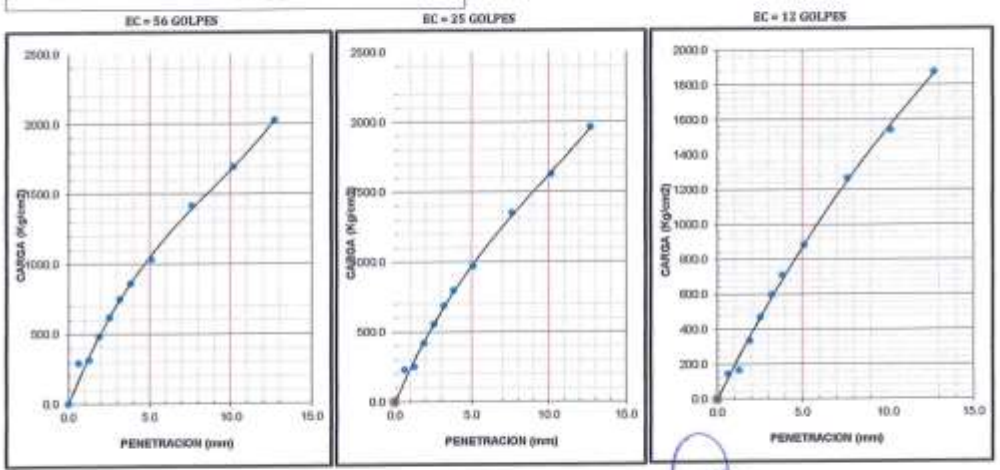
OBRA : "INFLUENCIA DE LA ADICIÓN DE CENIZA DE CABUYA Y FIBRAS DE PET PARA MEJORAR LA SUE SUELO ARCILLOSO EN EL TRAMO SOCOS- YANAYACU, AYACUCHO,2823"							
SOLICITANTE	: JHONATAN AYALA GUEVARA						
UBICACIÓN	: SOCOS-YANAYACU-AYACUCHO	FECHA	: NOVIEMBRE DEL 2023				

CALICATA LUGAR MATERIAL ; C-05 ; PROG. KM 2+000

: SUBRASANTE + 3 % CENIZA DE CABUYA Y 5% PET



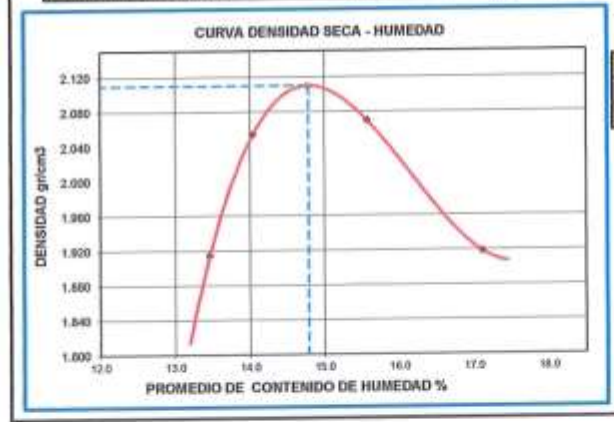
C.B.R. AL 100% DE M.D.S. (%)	0.1"1	41.1	0.2":	54,5
CRULAL 95% DEM.D.S. (%)	0.17:	35.6	0.2"1	47.2
C.B.R. AL 90% DE M.D.S. (%)	0.17:	27.9	0.25	37.1





	RELACION HUMEDAD DENSIDAD (PROC ASTM-1557 MTCE 115	
OBRA	: "INFLUENCIA DE LA ADICIÓN DE CENIZA DE CABUYA Y FIBRA: ARCILLOSO EN EL TRAMO SOCOS- YANAYACU, AYACUCHO, 2023"	
SOLICITANTE	; JHONATAN AYALA GUEVARA	
UBICACIÓN	: SOCOS-YANAYACU-AYACUCHO	FECHA : NOVIEMBRE DEL 2023
CALICATA LUGAR MATERIAL	; C-05 ; PROG. KM 2+000 ; SUBRASAWTE + 6 % CENIZA DE CABUYA Y 5% PET	

Metodo do compactación					c
Numero de golpes					56
Numero de capas					5
	CALCULO D	E DENSIDAD HUM	EDA		
1. Peso suelo humedo. + molde	gr	11193	11554	11659	11351
2. Peso del molde	Er	6579	6579	6579	6579
3. Volumen det moide	cc	2124	2124	2124	2124
4. Peso suelo humedo	Mt	4614	4975	5080	4772
5. Densidad suelo humedo	gr/cc	2.17	2.34	2.39	2.25
	CALCU	LO DE HUMEDAD			
6. Capsula Nº					
7. Pesu del suelo húmedo.+ capsula	gr	531.0	528.0	527.0	527.0
8. Peso del suelo seco+capsula	Rr.	468.0	463.0	456.0	450.0
9. Peso del agua	W.	63.0	65.0	71.0	77
10. Peso de la capsula	ST ST	0.0	0,0	0.0	0.0
11. Peso del suelo seco	gr	468.0	463,0	456.0	450.0
12. Contenido de humedad	36	13.46	14.04	15.57	17.11
12. Contenido de Humedad	96	13.46	14.04	15.57	17.11
	CALCULO	DE DENSIDAD SE	CA		(0)
13. Densidad seca del suelo	gr/cc	1,915	2.054	2.069	1.918



Humedad optima	14,78%
Densidad Maxima	2.110

LINOUSSES SHAPE CARRY MALTO METERS SHAPE CONCERNS ANALTO METERS THURST THE TH



OBRA : "INFLUENCIA DE LA ADICIÓN DE CENIZA DE CABUYA Y FIBRAS DE PET PARA MEJORAR LA SUBRASANTE DEL SUELO ARCILLOSO EN EL TRAMO SOCOS- YANAYACU, AYACUCHO, 2023"

SULCITANTE : JHONATAN AYALA GUEYARA

UBRCACIÓN : SOCOS-YANAYACU-AYACUCHO FECHA : NOVIEMBRE DEL 2023

CALICATA : C-05

LUGAR PROG. KM 2+000

MATERIAL : SUBRASANTE + 6 % CENIZA DE CABUYA Y 5% PET

DATOS DEL PROCTOR

| MAZDMA DERSIDAD SECA | 2.119
| IDPTINO CONTENNOO DE HILMEDAD | 1.4.70.76.

Molde Nº		1		2		3		
and the second s		5	0	5		5		
Nº Capa	_	56		25	5	32		
Golpes por capa Nº		The second secon		NO SATURADO	SATURADO	NO SATURADO	SATURADO	
Cond. de la muestra		NO SATURADO	SALIUMADO	32.0 0111 000	districtory.	12321		
Peso molde + suelo húmedo	gr.	12498		12505		-		
Peso de molde	gr.	8624		8652		8638		
Peso dol suelo húmedo	gr.	3874		3853		3683		
Volumen del molde	cm ³	2124		2124		2124		
Densidad hûmeda	gr/cm ³	1.824		1.814		1.734		
		1,0	CALCULO I	DE HUMEDAD				
Tarro Nº		1 - OTG - 1				1440		
Tarro + Suelo húmedo	gr.	381.0		373.0		446.0		
Tarro + Suelo seco	ge.	355.0		332.0		393.0		
Peso del Agua	gr.	26.0	1	41.0		53.0		
Peso del tarro	EF.	0.0		0.0		0.0		
Peso del suelo seco	67.	355.0		332.0		393.0		
Humedad	96	7.32		12.35		13.49		
Densidad seca	gr/cm*	1,700		1,615		1.528		

					EXPAN	HOV.			-	-	-
FECHA HORA TIEMPO Hr.		TIEMPO	-	EXPANSION		BIAL	EXPANSION		DIAN	EXP	MESSON
		DIAL non %	2000	100	76		7/104	90			
			NO E	XPAN	SIVO			LANDARD	JHENE	CA BAC	- AAAA
							-	Jose	Carlos Hu	ament Ou	icaño

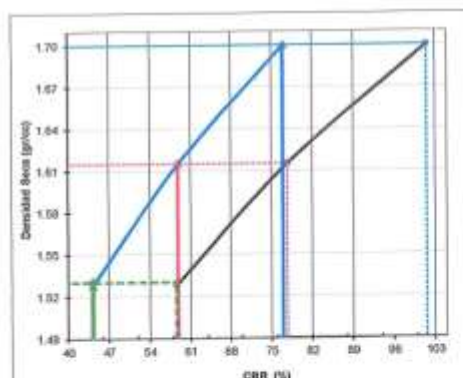
-		1	eministration or per-				WACION	PONIT					
3		WOTON PA		1		MOLDE Nº		. 1		HOLDEN!		CARGA	
CORRECCION		CARGA		CONHECCIÓN		CARGA		A CONTROCTON		GA .	CAR	STAND.	PENETRACION
76	kg/cm2	hg/cm2	Dist (div)	16	hg/cm/t	kg/cm2	Disk (disk)	.96	kg/m/2	hg/cos2	Dtd (div)	lig/cm2	mm
		0	0			0	. 0	V - 1		0	0		0.00
		3.90	48		- 1	352	90			556	142		0.63
		365	93			530	135			734	107		1.27
		534	137		7774	699	179			904	231		1.90
44.	31.1	620	171	34.9	41.4	635	213	27.0	24.2	1041	205	70.3	2.54
		790	294			964	246			1170	298	1.33	3.17
58.	61.0	911	232	77.8	82.0	1076	274	3.101	107.1	1282	326	105.5	3.01
		1005	276			1251	318			1457	370	1000	5.08
		1467	373			1633	415			1841	467	_	7.62
		1745	443			1912	485			2120	537		10.16
		2079	526			2247	569			2456	620	-	12.70



OBRA	: "INFLUENCIA DE LA ADICIÓN DE CENIZA DE CABUYA Y FIBRAS DE PET PARA MEJORAR LA SUBRASANTE DE SUELO ARCILLOSO EN EL TRAMO SOCOS- YANAYACU, AYACUCHO, 2023"								
SOLICITANTE	: JHONATAN AYALA GUEVARA								
UBICACIÓN	: SUCOS-YANAYACU-AYACUCHO	FECHA	: NOVIEMBRE DEL 2023						

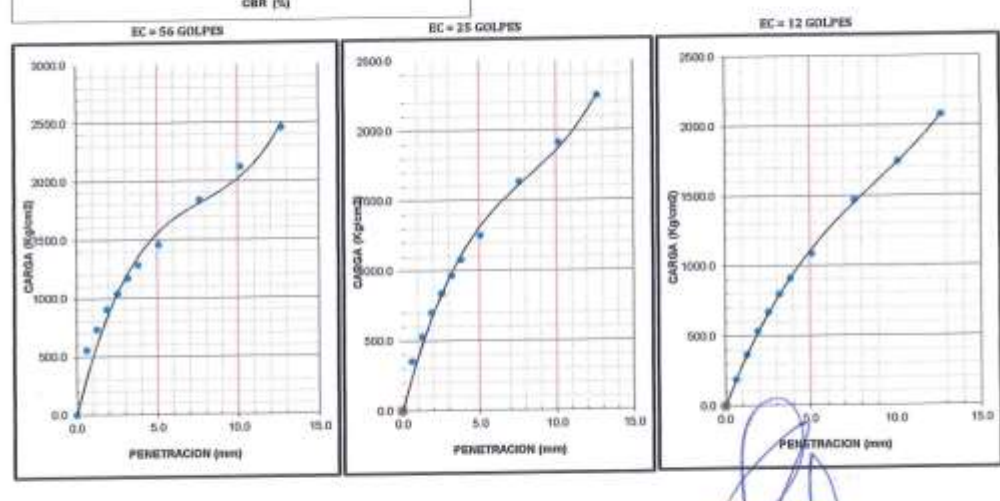
CALICATA

: PROG. KM 2+000 : SUBRASANTE + 6 % CENIZA DE CABUYA Y 5% PET LUGAR MATERIAL



C.B.R. AL 100% DE M.D.S. (%)	0.1%	77.0	0.2":	101.6
CHUCAL 95% DEMINS [%]	0.1%	58.9	0.2":	77.8
C.B.R. AL 90% DE M.D.S. (%)	9.1%	44.2	6.2":	58.6

ORSERVACIONES:





	RELACION HUMEDAD DENSIDAD (F ASTM-1557 MTC	
OBRA	: "INFLUENCIA DE LA ADICIÓN DE CENIZA DE CABUYA Y ARCILLOSO EN EL TRAMO SOCOS-YANAYACU, AYACUCHO,	FIBRAS DE PET PARA MEJORAR LA SUBRASANTE DEL SUELO 2023°
SOLICITANTE	: JHONATAN AYALA GUEVARA	
UBICACIÓN	: SOCOS-YANAYACU-AYACUCHO	FECHA : NOVIEMBRE DEL 2023
CALICATA LUGAR MATERIAL	: C-06 : PROG. KM 2+500 : SUBRASANTE + 3 % CENIZA DE CABUYA Y 5% PET	

Metodo de compactacion					C	
Numero de golpes					56	
Numero de capas					- 5	
minute of the Caput	CALCULO D	E DENSIDAD HUM	EDA			
1. Peso suele humedo. + molde	ur	11176	11534	11633	11233	
2. Peso del molde	gr	6701	6701	6701	6701	
3. Volumen del molde	-00	2124	2124	2124	2124	
4. Peso melo lumedo	gr gr	4475	4933	4932	4537	
5. Densidad suclo humedo	gr/cc	2.11	2.28	2.32	2.13	
5, 5-1-1-1-1	CALCU	LO DE HUMEDAD				
6. Cigisula N ^e						
7. Peso del suelo húmedo.» capsula	gr	517,0	529.0	516.0	535.0	
B. Peso del suelo seco+capsula	lt.	463.0	468.0	450.0	460.0	
9. Peso del agua	gr	54.0	61.0	66.0	75	
10. Peso de la capsula	gr	0.0	0.0	0.0	0,0	
11. Peso del suelo secu	ll*	463.0	468.0	450.0	460.0	
12. Contenido de humedad	96	11.66	13.03	14.67	16.30	
12. Contenido de Humedad	94	11.66	13.03	14.67	16.30	
	CALCULO	DE DENSIDAD SE	CA			
13. Densidad seca del suelo	gr/cc	1.887	2.013	2.025	1.835	



Humedad optima	14.00%			
Densidad Maxima	2.041			

USOCIONE DE RECA SAC USOCIONE PARALLE DE CONTROL PARALLE DE CONTROL PARALLE DE CONTROL PARALLE DE CONTROL PARALLE DE LO CONTROL PARA



OBRA : "INFLUENCIA DE LA ADICIÓN DE CENIZA DE CABUYA Y FIBRAS DE PET PARA MEJORAR LA SUBRASANTE DEL SUELO ARCILLOSO EN EL TRAMO SOCOS- YANAYACU, AYACUCHO, 2023"

SOLICITANTE : JHONATAN AYALA GUEYARA

UBICACIÓN : SOCOS-YANAYACU-AYACUCHO FECHA : NOVIEMBRE DEL 2023

CALICATA : C-06

LUGAR PROG. KM 2+500

MATERIAL : SUBRASANTE + 3 % CENIZA DE CABUYA Y 5% PET

DATOS DEL PROCTOR

HACORIA DESSEDAD SECA | 2.941

OPTINO CONTENDO DE HEMEDAD : 14.80 %

Molde Nº		1		2		3		
21777		5		5		5		
Nº Capa		54		25	5	12		
Golpes por capa N ^e			SATURADO	NO SATURADO	SATURADO	NO SATURADO	SATURADO	
Cond. de la muestra		NO SATURADO	36100000	12719	355000000000000000000000000000000000000	12394		
Peso molde + sueto trimedo	gr.	12750		A STATE OF THE PARTY OF THE PAR		8638		
Peso de moide	gr.	8610		8665		100000		
Peso del suelo húmedo	gr.	4148		4054		3756		
Volumen del molde	cm ⁵	2124		2124		2124		
Densidad hūmedu	gr/cm ³	1.953		1.909		1.768		
			CALCULO I	DE HUMEDAD				
Tarro Nº		1 10000 3				100.0		
Tarro + Suelo húmedo	gr:	316.0		440.0		400.0		
Tarro + Suelo seco	gr.	253.0		342.0		319.0		
Peso del Agua	gr.	63.0		98.0		81,0		
Peso del tarro	gr.	0.0		0.0		0,0		
Peso del suelo seco	gr.	253.0		342.0		319.0		
Humedad	96	24.90		28.65		25.39		
Densidad seca	gr/cm²	1.564	5	1.484		1.410		

		тимео	7.00	EXPANSION		DIAL	EXPA	EXPANSION	DEAC)	EXPAN	SION
FECHA	HORA	Hr.	DIAL	mm	96	DIAL	1000	16	1	- June	- 0
			NO E	XPANS	SIVO			LIADAG	JANE HISCA	SAC	ISPAL!
_								Tose	Carlos Huan	arii Quid	añ

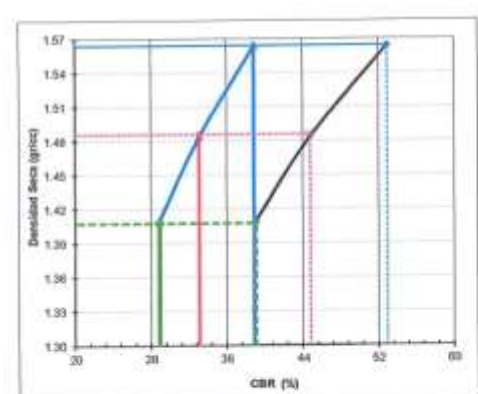
					PENE	RACION				-			_
	CARGA		MOLDENS		1 -		HOLDERS		1		MOTOERA		3
PENETRACION	STAND.	CAR	IGA .	CORRE	CCION	CAI	IGA	COURSE	OCHUN	CAR	IGA	CORRE	-
men.	lgs/cm2	Dist (div)	lig/ced	kg/cer2	76	Distribute)	lqt/cmit	hg/cm2	76	Dist (dis)	kg/cm2	hg/cm2	16
0.00		0	0		-	0				0	0		_
0.63	_	54	211			35	137			31	121		
1.27	_	71	277			65	254			51	199		
1.90	_	152	395			113	442			91	356		
2.54	79.3	209	819	27.4	30.9	170	600	23.3	33.1	145	567	20.3	28
	79.4	326	1281	2017		217	850			186	721		
3.17	105.5	441	1738	55.8	52.9	396	1559	47.3	44.0	365	1436	41.2	39.
3,81	105.3		2579	190.0	- STATE	483	1905			405	1594		
5.00	_	651	and the second			761	2781			620	2454		
7.62		928	3705	-	_	100000	3525			725	2870		
10.16		1006	4355		_	884		-		934	3321		
12.70		1170	4737			1007	4029			11.314	ASET.		_



OBRA	: "INFLUENCIA DE LA ADICIÓN DE CENIZA DE CABUYA SUELO ARCILLOSO EN EL TRAMO SOCOS- YANAYACU, AY	Y FIBRAS DE PET PAR ACUCHO,2023*	A MEJORAR LA SUBRASANTE DEL
SOLICITANTE	: JHONATAN AYALA GUEVARA		
UBICACIÓN	: SOCOS-YANAYACU-AYACUCHO	FECHA	: NOVIEMBRE DEL 2023

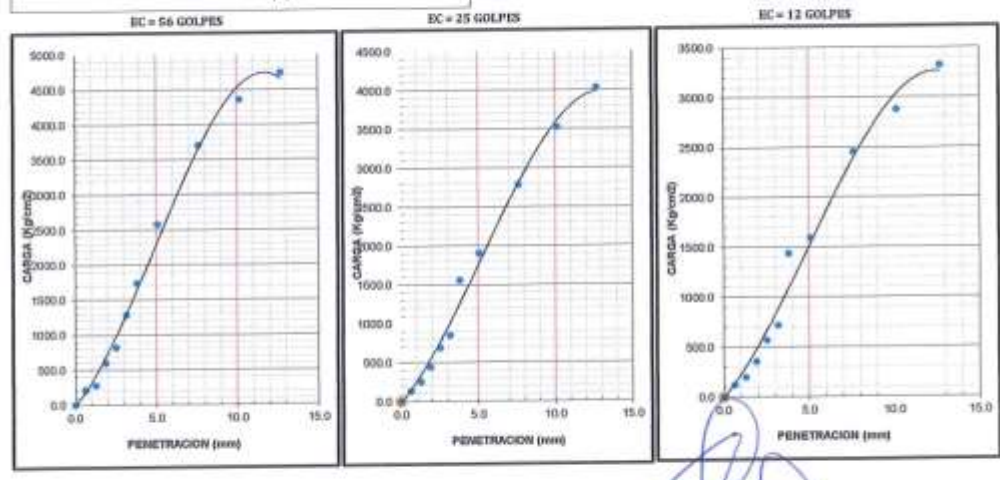
CALICATA

: PROG. KM 2+500 : SUBRASANTE + 3 % CENIZA DE CABUYA Y 5% PET LUGAR MATERIAL



C.B.R. AL 100% DEM.D.S. (%)	0.1")	30.9	0.2")	52.9
C.B.R. AL 95% DE M.D.S. (%)	0.1"1	33.1	0.2":	44.0
C.B.R. AL 90% DE M.D.S. (%)	0.1":	28.9	0.2":	39.1

ORSERVACIONES:



Jose Carlos Huamani Quicano



OBRA : "INFLUENCIA DE LA ADICIÓN DE CENIZA DE CABUYA Y FIBRAS DE PET PARA MEJORAR LA SUBRASANTE DEL SUELO ARCILLOSO EN EL TRAMO SOCOS- YANAYACU, AYACUCHO, 2023"

SOLICITANTE : JHONATAN AYALA GUEYARA

UBICACIÓN : SOCOS-YANAYACU-AYACUCHO PECHA : NOVIEMBRE DEL 2023

CALICATA : C-06

LUGAR PROG. KM 2+500

MATERIAL : SUBRASANTE + 6 % CENIZA DE CABUYA Y 5% PET

Molde Nº		1		2		3		
		5		5		5		
Nº Capa	_	54		25		13	ž	
olpes por capa Nº			-	NO SATURADO	SATURADO	NO SATURADO SATURADO		
Cond. de la muestra		NO SATURADO	SATURADO	-	SOLI UNUNDO	12715		
Peso molde + suelo búmedo	gr.	13079		13040		8638		
Pesso de molde	gr.	8610		8665				
Peso del suelo húmedo	gr.	4469		4375		4077		
Volumen del molde	cm ³	2124		2124		2124		
Densidad hûmeda	gr/cm ²	2.104		2.060		1,919		
	110000	/	CALCULO	DE HUMEDAD				
Tarro Nº		vivore of	U					
Tarro + Suelo hómedo	96.	316.0		440.0		400.0		
Tarro + Suelo seco	gr.	281.0		380.0		351.0		
Peso del Agua	gr.	35.0		60.0		49.0		
Peso del tarro	gr.	0.0		0.0		0.0		
Peso del suelo seco	gr.	281.0		380.0		351.0		
Humedad	96	12.46		15.79		13.96		
Densidad seca	gr/cm ¹	1.971		1.779		1.684		

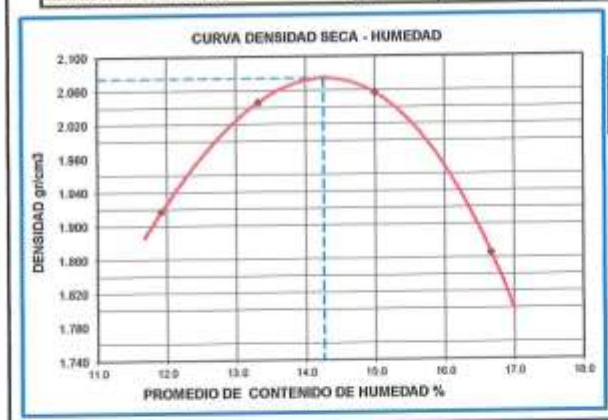
				74	EXPANS	aon aon	-		_		117	
- 1		THOMPO	12.000	EXPANSION		DIAL	EXPANSION			er(a)	EXPA	A510#
PECHA	AROH	Hr.	DIAL	1000	- 56	prost.	2000	16	1	7/	med	- 96
		-		1						1/		
		=	NO E	XPANS	SIVO			LASONA	-	STATE OF THE PARTY	- Conserva	MLTO.
_		+						Tose	THE	e Hunari	of Quic	ño

					PENIT	MACHIN			-				_
	CARGA	7	HOLDER?		1.		MOLDEN		3		MOLDENT		1
PENETRACION	STAND.	CAR	6GA	CORRE	OCEDA	CAR	HIA	CORRE	DODON	CAR	NGA.	CORRE	
min	hg/cm2	Dist (div)	leg/cm2	hg/em2	.%	Dud (day)	hg/cvr2	leg/end	16	Bial (div)	hg/cm2	kg/cm2	- %
0.00		0	- 0			0.	0.			0	0		_
0.63		119	348			63	246			34	133		
1.27		125	409			111	310			54	211		
1.90	_	201	7117			110	430			86	336		
3.54	703	334	1313	40.0	69.5	303	795	96.9	51.0	179	701	25.6	36
3.17	year	451	1778			355	1396			225	992		
3.01	105.5	500	2237	98.1	93.2	534	2109	72.4	66.6	345	1356	51.7	49
5.08	100.0	276	3085			621	2458		2	502	1981	- 4	
	_	1053	4219			829	3341			623	2466		
7.62	-		4074			1022	4091			728	2890		
10.16	-	1211	5259	-		1145	4600			837	3333		



	RELACION HUMEDAD DENSIDAD (I ASTM - 1557 MTC	PROCTOR MODIFICA E 115	ADO)
OBRA	: "INFLUENCIA DE LA ADICIÓN DE CENIZA DE CABUYA Y ARCILLOSO EN EL TRAMO SOCOS-YANAYACU, AYACUCHO,	FIIIRAS DE PET PARA MEJO 2023°	RAR LA SUBRASANTE DEL SUELO
SOLICITANTE	: JHONATAN AYALA GUEVARA		
UBICACIÓN	: SDCOS-YANAYACU-AYACUCHO	PECH	A : NOVIEMBRE DEL 2023
CALICATA LUGAR MATERIAL	: C-06 : PROG. KM 2+500 : SUBRASANTE + 6 % CENIZA DE CABUYA Y 5% PET		

Metodo de compactación					С		
Numero de golpes Numero de capas							
1. Peyo suolo humodo. + molde	gr	11258	11625	11725	11325		
2. Peso del molde	87	6701	6701	6701	6701		
3. Volumen del molde	cc	2124	2124	2124	2124		
4. Peso suelo humedo	gr	4557	4924	5024	4624		
5. Densidad suolo humedo	gr/cc	2.15	2.32	2.37	2.18		
TO THE REAL PROPERTY OF THE PERSON OF THE PE	CALCU	LO DE HUMEDAD					
6. Capsula Nº							
7. Peso del suelo húmedo.+ capsulu	ID.	507.0	519.0	506.0	525.0		
8. Peso del suelo seco+capoula	gr .	453.0	458.0	440.0	450.0		
9. Peso del agua	w	54.0	61.0	66.0	75		
10. Peso de la capsula	W	0.0	0.0	0.0	0.0		
11. Peso del suelo seco	gr	453.0	458.0	440.0	450.0		
12. Contenido de lesmedad	%	11.92	13.32	15.00	16,67		
12. Contenido de Humedad	56	11.92	13.32	15.00	16.67		
	CALCULO	DE DENSIDAD SE	CA	10			
13. Depsidad sera del suelo	gr/oc	1.917	2.046	2.057	1,866		



RESULTAD	08
Humedad optima	14.26%
Densidad Maxima	2.074

JANUARIO OF HERMANIA DI QUICANOINSENIE POLICIA.

JOSE CAFIOS HUBANIANI QUICANOINSENIE POLICIA.

GRIDARIO E ENERGIO DE PROCESSO PIENES

GRIDARIO E ENERGIO PIENES

GRIDARIO E ENERGIO DE PROCESSO PIENES

GRIDARIO E ENERGIO PIENES

GRIDARIO PIENES

GRIDARIO E ENERGIO PIENES

GRIDARIO E ENERGIO PIENES

GRI



GRAFICO DE PENETRACION DE CBR

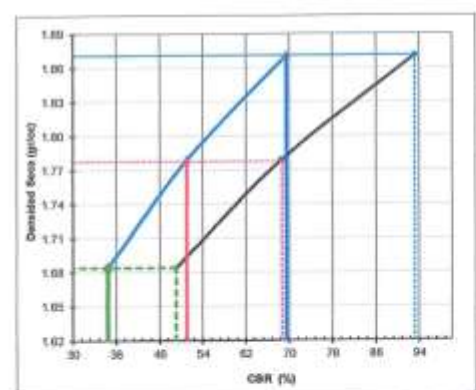
ASTM D 1883 MTC E-132

OBRA : "INFLUENCIA DE LA ADICIÓN DE CENIZA DE CABUYA Y FIBRAS DE PET PARA MEJORAR I SUELO ARCILLOSO EN EL TRAMO SOCOS- YANAYACU, AYACUCHO, 2023"						
SOLICITANTE	: JHONATAN AYALA GUEVARA					
UBICACIÓN	: SOCOS-YANAYACU-AYACUCHO	FECHA	: NOVIEMBRE DEL 2023			

CALICATA LUGAR MATERIAL

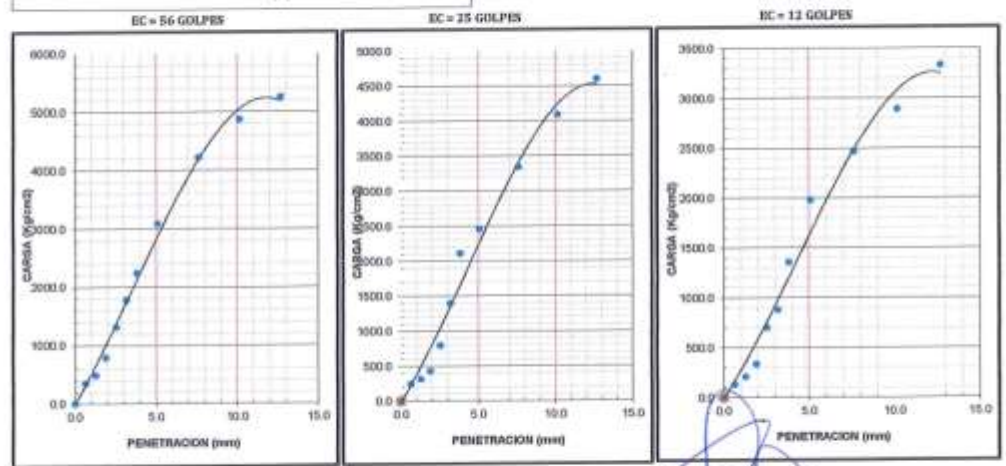
: PROG. KM 2+500

: SUBRASANTE + 6 % CENIZA DE CABUYA Y 5% PET



CIER AL 100% DE M.D.S. (%)	0.1%	69.5	0.2%	93.2
C.B.R. AL 95% DE M.D.S. (%)	0.1%	51.0	0.27:	68.6
C.R.R. AL 90% DE M.D.S. (%)	0.1%	36.4	0.35	49.0

OBSERVACIONES:





	RELACION HUMEDAD DENSIDAD (1 ASTM - 1557 MTC	PROCTOR MODIFICADO) E 115
DBRA	: "INFLUENCIA DE LA ADICIÓN DE CENIZA DE CABUYA Y ARCILLOSO EN EL TRAMO SOCOS-YANAYACU, AYACUCHO,	FIBRAS DE PET PARA MEJORAR LA SUBRASANTE DEL SUELO 2023°
SOLICITANTII	: JHONATAN AYALA GUEVARA	
UBICACIÓN	: SDCOS-YANAYACU-AYACUCHO	FECHA : NOVIEMBRE DEL 2023
CALICATA LUGAR MATERIAL	: C-07 : PROG. KM 3+000 : SUBRASANTE + 6 % CENIZA DE CABRIYA Y 5% PET	

Metodo de compactación					C		
Numero de golptes Numero de capas							
1. Peso suelo humedo, + moldo	gr.	11128	11420	11496	11409		
Z. Peso del molde	pr.	6701	6701	6701	6701		
3. Volumen del molde	er	2124	2124	2124	2124		
6. Peso suelo humedo	BT.	4427	4719	4797	4708		
5. Densidad suelo humedo	gr/cc	2.08	2.22	2.26	2.22		
IL DESIGNATION AND ADDRESS OF THE PARTY OF T		LO DE HUMEDAD					
6. Capsula Nº							
7. Peso del suelo húmedo.+ capsula	gr	508.0	516.0	516.0	525.0		
8. Peso del suelo seco+capsula	gr	472.0	470.0	461.0	461.0		
9. Peso del agus	ar	36.0	46.0	55.0	64		
10. Peso de la capsula	gr.	0.0	0,0	0.0	0.0		
11. Peso del suelo seco	87	472.0	470.0	461.0	461.0		
12: Contenido de humedad	96	7.63	9.79	11.93	13.88		
12. Contenido de Humedad	56	7.63	9.79	11.93	13.88		
	CALCULO	DE DENSIDAD SE	CA	V			
13. Densidad seca del suelo	gr/cc	1.937	2.024	2.018	1.946		



RESULTADOS				
Humedad optima	10.72%			
Densidad Maxima	2.031			

JOSE CAPIOS FUNDAMENTO TABLES.

JOSE CAPIOS FUNDAMENTO COME TABLES.

JOSE CAPIOS FUNDAMENTO COM.

1992/URB ROTOR OF TOTAL TABLES.



OBRA I "INFLUENCIA DE LA ADICIÓN DE CENIZA DE CABUYA Y FEBRAS DE PET PARA MEJORAR LA SUBRASANTE DEL SUELO ARCILLOSO EN EL TRAMO SOCOS-TANAYACU, AYACUCHO, 2923"

SOLICITANTE : JHONATAN AYALA GUEVARA

UBRCACIÓN : SOCOS-YANAYACU-AYACUCHO PRICHA : NOVIEMBRE DEL 2023

CALICATA : C-07

LUGAR : PROG. KM 3+000

MATERIAL : SUBRASANTE + 6 % CENIZA DE CABUYA Y 5% PET

DATOS DEL PROCTORI
MANDAN DERMEDAO SECA : 2,931
OPTIMO CONTENDO DE HUMEDAO : 10,72 %

Molde Nº		1		2		3		
Nº Capa		5		5		5		
iolpes por capa N*		56		2!	5	12		
Cond. de la muestra		NO SATURADO	SATURADO	NO SATURADO	SATURADO	NO SATURADO	SATURADO	
Peso molda + suelo himedo	gr.	13250		13112		12835		
Puso de moldo	gr.	8610		8665	7.	8638		
Peso del suelo biosedo	gr.	4640		4447		4197		
Volumen del molde	cm ⁵	2124		2124		2124		
Demotad hûmeda	gr/cm ²	2.185		2.094		1.976		
			CALCULO	DE HUMEDAD				
Tarro Nº								
Tarro + Suelo himedo	ET.	316.0		440.0		400.0		
Tarro + Suelo seco	gr.	278.0		384.0		350.0		
Peso del Agua	27	38.0		56.0		50.0		
Peso del tarro	gr.	0.0		0.0		0.0		
Peso del suelo seco	gr.	278.0		384.0		350.0		
Hemedad	96	13.67		14.50		14.29		
Densidad seca	gr/cm ³	1.922		1.820		1.729		

FECHA BORA THEMPO DIAL EXPANSION DIAL EXPANSION HALL EXPANSION HAL			0.0			EDIPARIS	HON	the statement	-	-		412400000
100 100 100 100 100 100 100 100 100 100		52000	and the same of	222	EXPA	MSHOW	200.00	EXPANSION		dia	EXPA	NUM
NO EXPANSIVO	HICHA	BORA		DIAL	000	96	D. C.	7000	16		free	- 96
				NO E	XPANS	SIVO		-	LABORATE	THE PASSA	250000	SPACE.

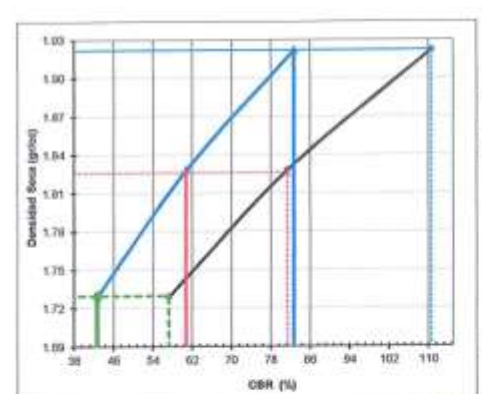
					PENET	MACION					-		
	CARDA		MOUDEN!		.1	- 5	MOUNTRY		1/	4	MOLDENS		3
PENETRACION	STARD.	CAF	ana	COURT	OCHON .	CAL	IGA:	CORRE	CCHON	- CAI	IGA.	CORRE	CCION
tests	lig/cm2	Dial (div)	kg/en/2	hg/cm2	96	Dist (dlv)	kg/cm2	kg/cm2	94	Dist (div)	kg/cm2	lqt/cm2	16
0.00		0.	0			0	0			0	0		
0.63		127	497			91	356			53	203		
1.27		163	638			109	426			72	201		
1.90		239	937			138	540			104	407		
2.54	70.3	371	t+63	58.2	82.7	231	906	62.7	60.0	197	378	30.0	42
3.17		489	1929			363	1507	410		243	953		
3.61	105.5	604	2390	116.6	110.6	562	2221	05.9	81.4	363	1429	66.4	57.
5.00	-	814	3239	-		649	2571			520	2053		
7.62		1091	4376			067	3455			641	2539		
10.16		1249	5033			1050	4296			746	2963		
12.70		1341	5419			1173	4716			855	71406		



OBRA	: "INFLUENCIA DE LA ADICIÓN DE CENIZA DE CABUY SUELO ARCILLOSO EN EL TRAMO SOCOS- YANAYACU, A		MEJORAR LA SUBRASANTE DEL
SOLICITANTE	: JHONATAN AYALA GUEVARA		//
UBICACIÓN	: SOCOS-YANAYACU-AYACUCHO	FECHA	: NOVIEMBRE DEL 2023

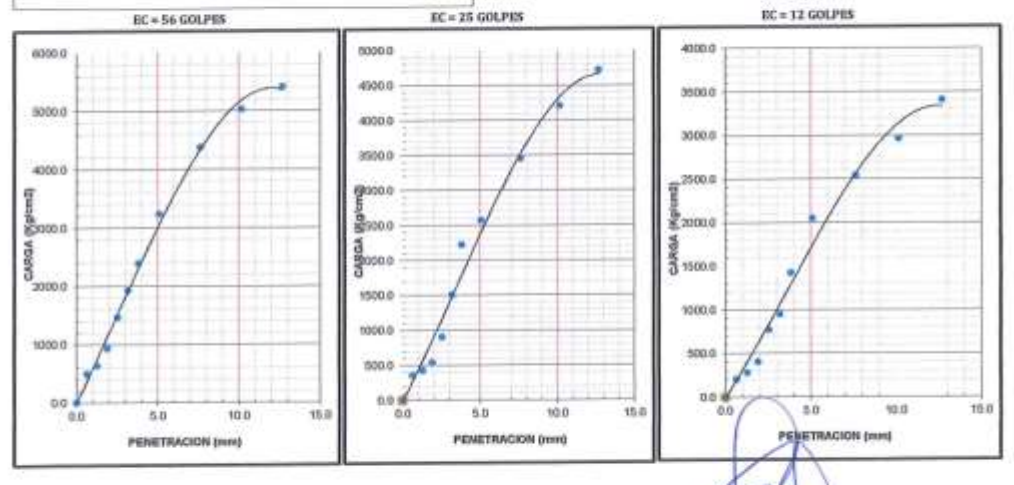
CALICATA LUGAR MATERIAL : C-07 : PROG. KM 3+000

: SUBRASANTE + 6 % CENIZA DE CABUYA Y 5% PET



C.B.R. AL 100% DE M.D.S. (%)	0.1%	82.7	0.2%	110.6
C.B.R. AL 95% DE M.D.S. (%)	0.1*1	60.8	0.27	81.4
C.R.R. AL 90% DE M.D.S. (%)	0.1*	42.7	0.25	57,2

OBSERVACIONES:





	RELACION HUMEDAD DENSIDAD (PI ASTM - 1557 MTC E	
OBRA	: "INFLUENCIA DE LA ADICIÓN DE CENIZA DE CABUYA Y FL ARCILLOSO EN EL TRAMO SOCOS- YANAYACU, AYACUCHO, 20	
SOLICITANTE	: JHONATAN AYALA GUEVARA	
UBICACIÓN	: SUCUS-YANAYACU-AYACUCHO	FECHA: NOVIEMBRE DEL 2023
CALICATA LUGAR MATERIAL	: C-07 : PROG. KM 3+000 : SUBRASANTE + 3 % CENIZA DE CABUYA Y 5% PET	

Metodo de compactacion					c
Numero de golpes					56
Numero de capas			Technic a		5
	CALCULO D	E DENSIDAD HUM	EDA		
1. Peso suelo humedo. + molde:	W.	11096	11454	11553	11153
2. Peso del molde	87	6701	6701	6701	6701
3. Volumen del molde	¢¢.	2124	2124	2124	2124
4. Peso suelo humedo	gr	4395	4753	4852	4452
5. Densidad suelo humedo	gr/cc	2.07	2.24	2.28	2.10
	CALCU	LO DE HUMEDAD			
6. Capsula N ^e					
7. Peso del suelo húmedo.« capsula	Nr.	517.0	529.0	516.0	535.0
8. Peso del suolo seco+capsula	gr	463.0	468.0	450.0	460.0
9. Peso del agua	gr	54.0	61,0	66.0	75
10. Peso de la capsala	gr	0.0	0.0	0.0	0,0
11. Peso del suelo seco	gr	463.0	468.0	450.0	460.0
12. Contenido de humedad	96	11.66	13.03	14.67	16.30
12. Contenido de Homedad	56	11,66	13.03	14.67	16.30
	CALCULO	DE DENSIDAD SE	CA		
13. Densidad seca del suelo	gr/cc	1.853	1.980	1.992	1.002



Humedad optima	14,00%
Densidad Maxima	2.008

Jose Carlos Handard Quicano-



ENSAYO VALOR DE SOPORTE (C.B.R.)

ASTM D1883 MTC E-132

OBRA I "INFLUENCIA DE LA ADICIÓN DE CENIZA DE CABUYA Y FIBRAS DE PET PARA MEJORAR LA SUBRASANTE DEL SUELO ARCILLOSO EN EL TRAMO SOCOS- YANAYACU, AYACUCHO, 2023"

SOLICITANTE IJHONATAN AYALA GUEVARA

UBICACIÓN ISOCOS-YANAYACU-AYACUCHO FECHA : NOVIEMBRE DEL 2023

CALICATA : C-07 LUGAR : PROG. KM 3+000

MATERIAL : SUBRASANTE + 3 % CENIZA DE CABUYA Y 5% PET

DATOS DEL PROCTOR

MARIMA DENSIDAD SECA : 2.008

OFFINO CONTENSIDO DE HIDRIDAD : 14.00%

Molde N ^e		1		2	8	-3		
Nº Capa						5		
Golpes por capa Nº		5	6	2:	5	12		
Cond. de la muestra		NO SATURADO	SATURADO	NO SATURADO	SATURADO	NO SATURADO	SATURADO	
Peso molde + suelo húmedo	Hr.	12816		12777		12452		
Peso de molde	gr.	8610		8665		B63H		
Peso del suelo húmedo	gr.	4206		4112		3814		
Volumen del molde	cm ¹	2124	(= = = E	2124		2124		
Densidad hümeda	gr/cm3	1,980		1.936		1,796		
			CALCULO I	DEHUMEDAD				
Tarco N ⁶								
Tarco + Suelo húmedo	87.	316.0		440.0		400.0		
Tarro » Suelo seco	gr.	254.0		343.0		219.0		
Peso del Agua	gr.	62.0		97.0		81.0		
Peso del tarro	gr.	0,0		0.0		0.0		
Peso del suelo seco	gr.	254,0		343.0		319.0		
Homedad	%	24.41		28.28		25.39		
Densidad seca	gr/cm³	1.592		1.509		1.432		

					EXPAR	BOW	-					
20000	80,000	THORPO	Times .	TXXPA	NSTON	DIAL	EXPA	HSBON	DIAM	EXPA	NODWATE	
FECHA HORA BIA.	BUAL	7000	%	DEAL	3111	76	11	mily	75			
_			NO E	XPANS	SIVO			LABORE	OND OF METABOLIST	SAC OL CONCERT	TASFAL	
			NOL	AFAIN	3140			Total	Carrentin	ani Chi	cañ	

					PEME	TRACION							
	CANIGA		HOLDEN		T.		MOLDE Nº		- 3		MOLDE Nº	-	- 3
PENETRACION	STAND.	CAS	IGA	CORRE	OCHON	CAR	IGA	CORRE	COIGN	CAI	IGA.	CORRE	CCHON
nem	log/crei2	Disk (disc)	lig/cmil	hg/cm2	- %	Dist (dirt)	kg/cm2	Ng/mil	96	Dtal (div)	hg/cm2	hg/cm2	16
0.00		0	0			0	0			0	.0		
0.63		78	366			49	191			35	137		
127		95	371			79	309			55	215		
1.90		176	689			127	497			95	371		
2.5±	79.3	233	913	33.2	47.2	190	744	26.7	381.0	149	583	21.3	30.
3.17		350	1376			231	906			108	736		2011
3.81	105.5	465	1833	67.4	63.9	410	1614	54.0	51.2	369	1451	43.2	49.
5.08		675	2676			497	1961			409	1610		
7.62		952	3803			715	2938			624	2470		
10.16		1110	4454			898	3582			729	2094		
12.70		1202	4837		7	1621	4087			838	3337		-

Anexo 4: Certificados de calibración de equipos



CERTIFICADO DE CALIBRACIÓN

CFM-122-2023

Expediente:

OBJETO DE PRUEBA:

01142-2023

Ascendente

MS-9

483

METROTEST

MAQUINA DE ENSAYOS C.B.R.

Lab. Fuerza de Metrotest E.I.R.L.

Rangos Dirección de carga FABRICANTE Modelo Serie

Indicador Digital (modelo / Serie) Celda de Carga (modelo / Serie)

Ubicación Codigo Identificacion

Norma utilizada

Intervalo calibrado

Inspección general

NO INDICA

315-X6 / HIW0193

A-FED / 5X70838

ASTM E4 // ISO 7500-1

Escala (s) De 500 a 4500 kgf

19,5

Temperatura de prueba "C

Inicial La prensa se encuentra en buen estado de funcionamiento

Final

19.1

Solicitante JKEMSCA S.A.C.

Dirección

Ciudad

MZA. N1 LOTE. 02 ASOC. MIRAFLORES ALTA - AYACUCHO -HUAMANGA - SAN JUAN BAUTISTA

AYACUCHO

PATRON(ES) UTILIZADO(S)

Tipo / Modelo CELDA "S" J10CC13261 No. serie

Certif. de calibr.

INF-LE-381-16A PUCP

Unidades de medida Sistema Internacional de Unidades (SI)

FECHA DE CALIBRACION **FECHA DE EMISION**

2023/05/05 2023/05/05

FIRMAS AUTORIZADAS

Jefe de Metrologia Luiggi Asenjo G.

484 Opts: 102 Utb. Parques de Vita Sol - Los Olivos — www.metrotestorf.com / metrotestogistica@boomail.com / ventas@metrotesteid.com / Telf. 528-7898 Telefox: 528-3324 Entel: 987 045 343 / #982 889 991
PROHIBIDA LA REPRODUCCIÓN TOTAL DE ESTE DOCUMENTO SIN LA AUTORIZACIÓN DE METROTEST EIRL 3r Aristines Sologuren 484 Opto 102 Urb. Parques de Villa Sol - Los Olivos



CERTIFICADO DE CALIBRACIÓN

CFM-122-2023

Pág, 2 de 3

Método de calibración : FUERZA INDICADA CONSTANTE

DATOS DE CALIBRACIÓN

acades ELEL O The state of the late of A Monday KIEL

in Manufact Class wa Manadani P.L.W.

Maria Santa

t in the street No. in his bearing) to

mental State

Administration

a Edward H. E.

ESCALA: 049 kN Resolución: 0,05 kN Dirección de la carga: Ascendente 5 000 kgf

0 005 kgf Factor de conversión: 0,00 ss kN/kgf

Indice	ación de la	maquina	Indi	caciones de	el patrón (serie	s de medio	iones)
	(F3)		0.	120"	No aplica	240*	Accesorios
%	RN	kgf	M	kN	kN	336	kN.
10	4,90	500	4,92	4,93	No aplica	4,95	No aplica
20	9,81	1 000	9,82	9,83	No aplica	9,84	No aplica
30	14,71	1 500	14,76	14,77	No aplica	14,78	No aptica
40	19,61	2 000	19,62	19,63	No aplica	19,65	No aplica
50	24,52	2 500	24.50	24,51	No aplica	24,51	No aplica
60	29,42	3 000	29,39	29,40	No aplica	29,41	No aplica
70	34,32	3 500	34.29	34,30	No aplica	34,31	No aplica
80	39,23	4 000	39,15	39,15	No aplica	39,17	No aplica
90	44,13	4 500	44,04	44,05	No aplica	44,07	No aplica
ndica	ción despu	és de carga	0.00	0.00	0.00	0.00	No aplica

ESCALA: 049.03 kN Incertidumbre del patrón: ± 0.096 %

Indica	sción de la i	māquina	Cál	culo de e	rrores relati	vos	Resolución
	(F,)		Exactitud	Repetblide	d Revensionded	Accesoros	Resolution
%	KN.	kgf	q (%)	b (%)	V (%)	Acces. (%)	# (%)
10	4,90	500	-0.56	0,60	No aplica	No aplica	1,00
20	9,81	1 000	-0,22	0,20	No aplica	No aplica	0,50
30	14,71	1 500	-0,39	0,13	No aplica	No aplica	0,33
40	19,61	2 000	-0,10	0.15	No aplica	No aplica	0,25
50	24,52	2 500	0,02	0,04	No aplica	No aplica	0,20
60	29,42	3 000	0,08	0,07	No aplica	No aplica	0.17
70	34,32	3 500	0.06	0,06	No aplica	No aplica	0.14
80	39,23	4 000	0,18	0.05	No aplica	No aplica	0.13
90	44,13	4 500	0,18	0.07	· No aplica	No aplica	0.11

0 000 0.000 0 000

FIRMAS AUTORIZADAS

Jefe de Metrologia Luiggi Asenjo G.





CERTIFICADO DE CALIBRACIÓN

CFM-122-2023

Pág. 3 de 3

CLASIFICACIÓN DE

MAQUINA DE ENSAYOS C.B.R.

Errores relativos máximos absolutos hallados

kgf

FSCALA. 5.000

week (18 h labor

THE LA

Manufacture Land

or Seemen (131

and the same

aparaga Ramad

to the second second

in la familiage Pa

Error de exactitud -0,56 % Error de cero

0 0.%

0,60 % Error de repebbilidad Error de Reversibilidad No aplica

Error por accesorio Resolución

0.50 En el 20 %

De acuerdo con los datos anteriores y según las prescripciones de la norma técnica colombiana NTC - ISO 7500-1, la máquina de ensayos se clasifica:

ESCALA 5 000 kgf Ascendente

TRAZABILIDAD

METROTEST EIRL, asegura el mantenimiento y la trazabilidad de sus patrones de trabajo utilizados en las mediciones, los cuales han sido calibrados y certificados por la Pontifica Universidad Catolica de Peru y la SNM (NDECOP)

OBSERVACIONES .

- 1. Los cartas de calibración sin las firmas no tienen validez.
- 2 El usuario es responsable de la recalibración de los instrumentos de medición. "El tiempo entre dos verificaciones depende del tipo de máquina de ensayo, de la norma de mantenimiento y de la frecuencia de uso. A menos que se específique lo contrario, se recomienda que se realicen verificaciones a intervalos no mayores a 12 meses." (ISO 7500-1).
- 3. 'En cualquier caso, la măquina debe verificarse si se realiza un cambio de ubicación que requiera desmontaje, o si se somete a l'ajustes o reparaciones importantes " (ISO 7500-1).
- 4. Este informe expresa fielmente el resultado de las mediciones realizadas No podrá ser reproducido parcialmente, excepto cuando se haya obtenido permiso previamente por escrito del laboratorio que lo emite:
- 5. Los resultados contenido parcialmente en este informe se refieren al momento y condiciones en que se realizaron las mediciones. El laboratorio que lo emite no se responsabiliza de los perjuicios que puedan derivarse del uso inadecuado de los instrumentos

FIRMAS AUTORIZADAS

Jefe de Metrologia Luiggi Asenjo G.



LABORATORIO DE METROLOGÍA



CERTIFICADO DE CALIBRACIÓN CT-132-2023

Página 1 de 5

JKEMSCA S.A.C. Solicitante

MZA, N1 LOTE, 02 ASOC, MIRAFLORES ALTA - AYACUCHO - HUAMANGA - SAN : JUAN BAUTISTA

Dirección

Expediente ± V-00582-2023

Equipo de Medición : HORNO ELECTRICO Marca : AG4 INGENIERIA

: AS-H80 Modeto PERÚ Procedencia Código de Ident. : NO INDICA Número de Serie : 846

T^e de trabajo : 110 °C ±5 °C

Ventifación : Natural

Lugar de Calibración ; Lab.Temperetura AG4 INGENEPIA

Fecha de Calibración : 2023-05-05 Fecha de Emisión : 2023-05-05

Nombre	Marca	Modelo	Código de Identificación	Alcance de indicación	División minima	Trpo de Indicación
Termometro controlador	NO INDICA	Neg	NO INDICA	200°C	1°C	Digital

Método de Calibración Empleado

La calibración se malizo tomando como referencia el Método de Comparación entre las indicaciones de lectura del termometro controlador del equipo a calibrar con Termometro patrón con 10 termopares utilizando el "Procedimiento de INDECOPI/SNM PC-605 1º Ed. "Procedimiento para la Celibración de Homos".

Observaciones

- (*) Identificación grabada en una etiqueta adherida en el instrumento.
- Se colocó una etiqueta con la indicación "CALIBRADO".
- La periodicidad de la calibración depende del uso, mantenimiento y conservación del instrumento.

(*) Código asignado por AG4 INGENIERIA & METROLOGIA S.R.L.



Luiggi Asenjo G Jefe de Metrologia

PROHIBIDA LA REPRODUCCIÓN TOTAL O PARCIAL DE ESTE DOCUMENTO SIN LA AUTORIZACIÓN DE AGA INGENIERIA Y METROLOGIA S.R.L.

961 739 849 955 851 191

🕜 01 622 5224 🄞 997 045 343 😡 ventasagkingenieria@gmail.com 📵 www.ag4ingenieria.com ventas@ag4im.com







CERTIFICADO DE CALIBRACIÓN CT-132-2023

Página 2 de 5

Condiciones Ambientales:

	Inicial	Final
Temperatura (°C)	22.3	22.8
Humedad (%)	54	56

Resultados de la calibración:

CALIBRACION PARA 110 °C ± 5 °C

THEMPO	City and complete the complete			ATURA		5 POS	ICION				(0)	T prom.	Tenax-Ter
(min.)	Termometro		gra Audicinimating	LSUP	EHROR	5	-0	MAR	LINFE	HOUR	10	(°C)	("0)
00	dal equipo	442.0	2	115.8	113.5	And remains	4447	114.8	444.0	114.7	113.8	114.8	4.6
00	110	-	117.9		113.7	114.1	-	114.4	-		113.7	114.8	4.2
1	and the same of the	and the same	-	and the second	-	-	Inches and a	114.4	-	-	-	114.8	4.1
04	110	-	117.8	115.7	113.7	114.1	-	114.6	17,774	114.6	113.8	114.8	4.1
100	110		117.7	-	-	-		-			100000	114.9	
06	110			115.7	113.7	27.1.111	115.0		115.1		113.7	-	4.1
10	110	. 1 10000		115.8		113.9	-	-	-	114.9	-	114.8	
12	110	114.1	sanda al Andrea	115.8		113.9	1111111	-	115.2	-	113.6	114.9	4.2
14	110		_	115.9		114.0	1000	-	115.1	And in case of the	Annual Property lies	114.8	4.3
16	110	-	-	115.8	-	114.1		-	-	114.9	-	114.9	4.6
18	110	114.2	STATE OF THE PARTY.	instruction.	NAME AND POST OFFI	113,9	NAME AND ADDRESS OF	114.4	115.0	****	113.4	114.9	4.7
20	110			115.8	-	114.0	-		115.1	-	114.0	114.9	4.4
22	110	and the latest terms	117.8	alkinsamenti	113.7	-	115.0	inamorimen	-	114.6	-	114.9	4.1
24	110	-	-	115.7	10,140,00	114.1	3 1 4 1 5	114.9	1 1 100	-	113.8	114.9	4.1
26	110	113.9	2.1.1.1	115.6	omalimación (estación	114.0		114.8	-		-	114.8	4.1
28	110	114,0	117.6	115.5	113.7	114.1	115.0	114.8	114.8	114.8	113.8	114.8	3.9
30	110	114.1	117.7	115.6	113,7	114.1	115.1	114.2	114.8	114,9	113.8	114.8	4.0
32	110	113,8	117.8	115.8	113.8	114.0	115.0	114.9	114.8	114.9	113.8	114.9	4.0
34	110	113.8	117.7	115.9	113.8	114.0	115.0	114.4	114.9	115.0	113.7	114.8	4.0
36	110	113.9	118.0	115.8	113.6	114.1	114.9	114.6	114.9	114.9	115.7	114.9	4.3
38	110	114.0	118.1	115.7	113.9	114.1	115.0	114.4	114.9	114.7	113.7	114.9	4.4
40	110	114.1	117.8	115.6	113.5	114.0	115.0	114.6	114.6	115.0	114.1	114.8	4.1
42	110	114.1	117.8	115.8	113.7	114.0	115.1	114.6	114.6	114.9	114.0	114.9	4.1
44	110	114.1	117.7	115.9	113.7	114.0	115.0	114.7	114.6	114.9	113.9	114.9	4.0
46	110	114.0	117.5	115.8	113.6	113.7	114.9	114.7	114.6	115,1	114.2	114.8	3.9
48	110	114.0	117.5	115.8	113.7	113.8	115.0	114.7	114.6	115.3	114,4	114.9	3.8
50	110	113.9	117.6	115.8	113.7	113.9	115.0	114.2	114.7	114.9	114.1	114.8	3.9
52	110	113.9	117.7	115.8	113.8	114.0	115.0	114.9	114,8	114.9	114.0	114.9	3.0
54	110	113.9	117.8	115.7	113.8	114.0	114.9	114.4	114.7	115.0	114.0	114.8	4.0
56	110	114.0	118.0	115.7	113.8	113.7	114.9	114.6	114.6	114.9	113.9	114.8	4.3
58	110	113.9	118.1	115.6	113.9	113.8	115.1	114.4	114.6	114.7	113.9	114,8	4.3
60	110	114.0	117.9	115.5	113.7	113.9	115.1	114.6	114.6	114.8	114.0	114.8	4.2
PROM	110	114.0	117.0	155.7	113.7	114.0	115.0	114.6	134.8	114.6	113.6	114.8	
XAM.	110	114.2	118.1	119.0	113.9	114.1	115.2	114.9	115.3	115.3	114.4		SERVA
T.MIN	110	113.8	117.5	115.5	113.5	113.7	114.7	114.2	114.6	114.8	113.4		1393

PROHIBIDA LA REPRODUCCIÓN TOTAL O PARCIAL DE ESTE DOCUMENTO SIN LA AUTORIZACIÓN DE AG4 INGENIERIA Y METROLOGIA S.R.L.



955 851 191









CERTIFICADO DE CALIBRACIÓN CT-132-2023

Página 3 de 5

PATRONES DE REFERENCIA:

Trazabilidad	Patrón utilizado	Certificado de calibración
Patron de referencia Nacional	Termometro de indicación Digital con sensores	CTM-001-2023
Patron de referencia Nacional	Termometro de Indicación digital	T-1174-2023

PARÁMETRO	Valor (°C)	Incortidumbre Expondida (°C)
Máxima Temperatura Medida	118.1	0.3
Minima Temperatura Medida	113.4	0.3
Desviación de Temperatura en el Tiempo	1	0.1
Desviación de Temperatura en el Espacio	4.1	0.3
Estabilidad	± 0.50	0.04
Uniformidad	4.7	0.3

T.PROM.: Promedio de la temperatura en una posición de medición durante el tiempo de calibración.

T.prom. : Promedio de la temperatura en las diez posiciones de medición para un instante dado.

T.MAX : Temperatura máxima T.MIN. : Temperatura minima

: Desviación de Temperatura en el tiempo. DTT.

Para cada posición de medición su "desviación de temperatura en el tiempo " DTT esta dada por la diferencia entre la máxima y la mínima temperatura registradas en dicha posición.

Entre dos posiciones de medición su "desviación de temperatura en el espacio" está dada por la diferencia entre los promedios de temperaturas registradas en ambas posicionas.

Incertidumbre expandida de las indicaciones del termometro propio del medio isotermo: 0.5 °C La uniformidad es la máxima diferencia medida de temperatura entre las diferentes posiciones espaciales para un mismo instante de tiempo.

La estabilidad es considerada igual a ±1/2 máx. DTT,



PROHIBIDA LA REPRODUCCIÓN TOTAL O PARCIAL DE ESTE DOCUMENTO SIN LA AUTORIZACIÓN DE AG4 INGENIERIA Y METROLOGIA S.R.L.



961 739 849 955 851 191

🕝 01 622 5224 🎒 997 045 343 🚭 ventasag4ingenieria@gmail.com 📵 www.ag4ingenieria.com ventas@ag4im.com

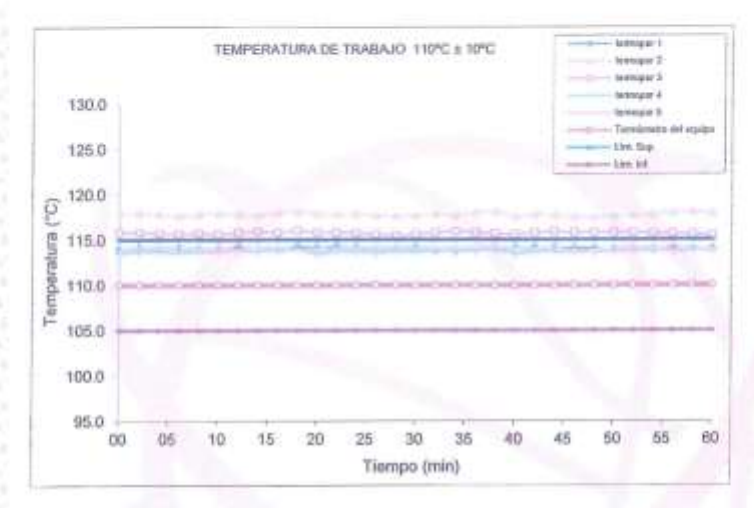


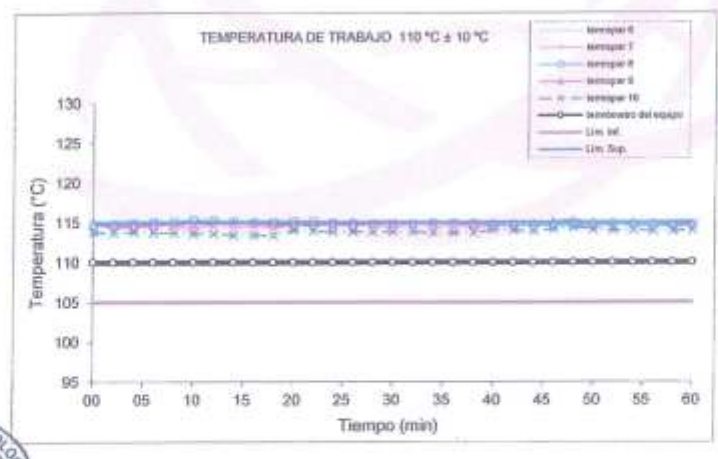
LABORATORIO DE METROLOGÍA



CERTIFICADO DE CALIBRACIÓN CT-132-2023

Pagina 4 de 5

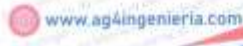




OHBIDA LA REPRODUCCIÓN TOTAL O PARCIAL DE ESTE DOCUMENTO SIN LA AUTORIZACIÓN DE AGA INGENIERIA Y METROLOGIA S.R.L.



955 851 191



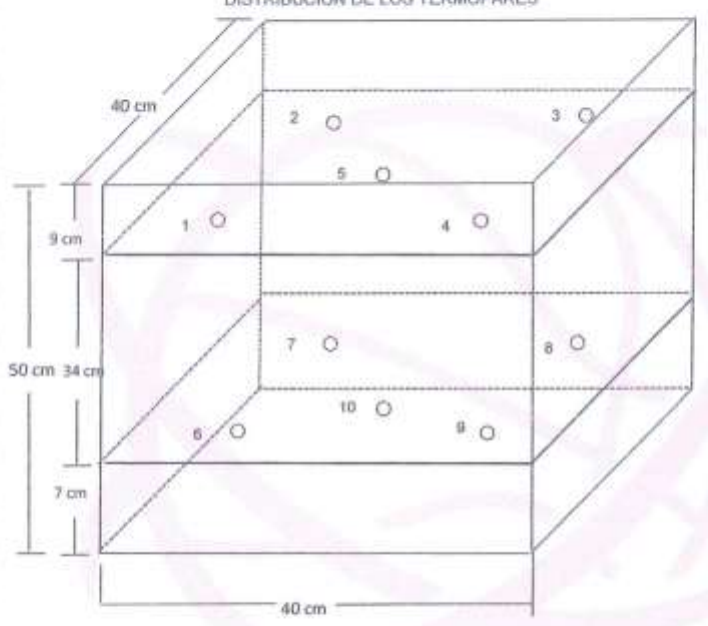




CERTIFICADO DE CALIBRACIÓN CT-132-2023

Página 5 de 5

DISTRIBUCIÓN DE LOS TERMOPARES



Los termopares 5 y 10 estan ubicados en el centro de los planos inferior y superior. Los termopares del 1 al 4 y del 6 al 10 estan ubicados a 9 cm de las paredes laterales.

Los termopares del 1 al 4 y del 6 al 10 estan ubicados a 10 cm y a 12 cm respectivamente de la parte superior e inferior del homo tal como se muestra en el dibujo.



PROHIBIDA LA REPRODUCCIÓN TOTAL O PARCIAL DE ESTE DOCUMENTO SIN LA AUTORIZACIÓN DE AG4 INGENIERIA Y METROLOGIA S.R.L.



② 01 622 5224 ● 997 0.45 343 ② ventasag4ingenieria@gmail.com ◎ www.ag4ingenieria.com ventas@ag4im.com



ALLIN QAMUT KACHUN YANAYACU
ALLIN QAMUT KACHUN YANAYACU
ILAQIYAYKUMAN.
AHA SUA, AMA QELLA, AMA LLULLA
BHAURMOS JI JA COMUNIDAB CAMPESINA
ALAC, HANAYACU
ILAQIYATI SILOSETI SILOSETI
ILAQIYATI SILOSETI SILO

Anexo 5: Panel Fotografico

Fotografía 01: Reconocimiento del tramo de estudio.



Fotografía 02: Ejecucion de las calicatas de evauacion.



Fotografía 02: Determinacion de la profundidad de excavación



Fotografía 04: Recojo de muestras de suelo.



Fotografía 05: Acondicionamiento de las muestras de suelo para traslado.



Fotografía 06: Ejecucion del ensayo CBR prog. 0+500



Fotografía 07: Ejecucion del ensayo CBR prog. 1+500



Fotografía 07: Ejecucion del ensayo CBR prog. 2+000